

საქართველოს ტექნიკური უნივერსიტეტი

GEORGIAN TECHNICAL UNIVERSITY

ГРУЗИНСКИЙ ТЕХНИЧЕСКИЙ УНИВЕРСИТЕТ

ISSN 1512-0996

გ მ თ ა ძ ბ ი
TRANSACTIONS
Т Р У Д Ы

№3(489)



თბილისი – TBILISI – ТБИЛИСИ
2013

სარედაქციო კოლეგია:

ა. ფრანგიშვილი (თავმჯდომარე), ლ. კლიმიაშვილი (თავმჯდომარის მოადგილე), ზ. გასიტაშვილი (თავმჯდომარის მოადგილე), ა. აბრალავა, გ. აბრამიაშვილი, ა. აბრალავა, თ. ამბროლაძე, ე. ბარათაშვილი, თ. ბაციქაძე, ჯ. ბერიძე, თ. გაბადაძე, ჯ. გახოვაძე, თ. გელაშვილი, ა. გიგინიშვილი, ალ. გრიგორიშვილი, ე. ელიზბარაშვილი, ს. ესაძე, ვლ. ვარდოსანიძე, უ. ზვიადაძე, თ. ზუმბურიძე, დ. თავხელიძე, ე. თევზაძე, მ. მესხი, ბ. იმნაძე, ი. ელიზბარაშვილი, ვლ. ვარდოსანიძე, თ. ლომინაძე, ი. ლომიძე, მ. მაცაბერიძე, თ. მეგრელიძე, ა. მოწონელიძე, დ. მდინარიშვილი, დ. ნატროშვილი, ხ. ნაცვლიშვილი, შ. ნემსაძე, დ. ნოზაძე, გ. სალუქვაძე, ქ. ქოქრაშვილი, ე. ქუთელია, ა. შარვაშიძე, მ. ჩხეიძე, თ. ჯაგოდნიშვილი, ხ. ჯიბლაძე, თ. ჯიშკარიანი.

EDITORIAL BOARD:

A. Prangishvili (chairman), L. Klimiashvili (vice-chairman), Z. Gasitashvili (vice-chairman), A. Abralava, G. Abramishvili, A. Abshilava, T. Ambroladze, E. Baratashvili, T. Batsikadze, J. Beridze, T. Gabadadze, J. Gakhokidze, O. Gelashvili, A. Gigineishvili, Al. Grigolishvili, E. Elizbarashvili, S. Esadze, Vl. Vardosanidze, U. Zviadadze, O. Zumburidze, D. Tavkhelidze, E. Tevzadze, M. Meskhi, B. Imnadze, I. Kveselava, T. Kvitsiani, T. Lominadze, I. Lomidze, M. Matsaberidze, T. Megrelidze, A. Motzonelidze, L. Mdzinarishvili, D. Natroshvili, N. Natsvlishvili, Sh. Nemsadze, D. Nozadze, G. Salukvadze, K. Kokrashvili, E. Kutelia, A. Sharvashidze, M. Chkheidze, T. Jagodnishvili, N. Jibladze, T. Jishkariani.

РЕДАКЦИОННАЯ КОЛЛЕГИЯ:

А. Прангишвили (председатель), Л. Климиашвили (зам. председателя), З. Гаситашвили (зам. председателя), А. Абралава, Г. Абрамишвили, А. Абшилава, Т. Амброладзе, Е. Бараташвили, Т. Бацикадзе, Дж. Беридзе, Т. Габададзе, Дж. Гахокидзе, О. Гелашвили, А. Гигинеишвили, Ал. Григолишвили, Э. Элизбарашвили, С. Эсадзе, Вл. Вардосанидзе, У. Звиададзе, О. Зумбуриძე, Д. Тавхелиძე, Е. Тевзадзе, М. Месхи, Б. Имнадзе, И. Квеселава, Т. Квициани, Т. Ломинадзе, И. Ломидзе, М. Мацаберидзе, Т. Мегрелиძე, А. Моционелиძე, Л. Мдзинаришвили, Д. Натрошиვи, Н. Нацвлишвили, Ш. Немсадзе, Д. Нозадзе, Г. Салуквадзе, К. Кокрашвили, В. Кутелия, А. Шарвашиძე, М. Чхеидзе, Т. Джагоднишвили, Н. Джиладзе, Т. Джишкариани.



საგამომცემლო სახლი „ტექნიკური უნივერსიტეტი“, 2013

Publishing House “Technical University”, 2013

Издательский дом “Технический Университет”, 2013

<http://www.gtu.ge/publishinghouse/>



Verba volant,
scripta manent

შინაარსი

მშენებლობა

ბ. გვასალია, თ. კვაჭაძე. მასალის ხარჯის მიხედვით სტრუქტურული კონსტრუქციის ოპტიმალური სიმაღლის გერჩევა.....	9
---	---

ნერგებიგა და ტელეკომუნიკაცია

ბ. გულიაშვილი. მცირე ჰიდროელექტროსადგურის დაპროექტების ბიზნესაროვების კომპიუტერული მოდელირება	13
--	----

სამორ-გეოლოგია

6. ჯაფარიძე. საყდრისის ოქრო-საილენდიანი მინერალიზაციის ლოკალიზაციის ტექტონიკური ვაკტორები	17
6. ჯაფარიძე, შ. ჯანაშვილი. საყდრისის ოქროს მინერალიზაციის თავისებურებანი მიწისძვრება და მიწისზედა სამორ გამონამუშევრებსა და ჟაგურლილებები	21
9. გუჯაბიძე, რ. მუავანაძე, ზ. ლებანიძე. გვირაბების მშენებლობის ტექნოლოგიური სტეპების საიმედოობის ანალიზური შეფასება	28

ძიგიშრი ტექნოლოგია, მეტალურგია

ი. ნახუცრიშვილი, ო. მიქაძე, ნ. მაისურაძე, გ. მიქაძე. დიფუზიის ეფექტური ზედაკირის შემცირების კოეფიციენტის განსაზღვრა ძროშის მხრევალმედები შენაღობის შანგვისას	31
ი. ცომაია, თ. ცინცაძე, ნ. გელოვანი, ხ. წიქარიშვილი, კ. ბაციკაძე. ვლავონერიდების განსაზღვრა რთული შედგენილობის ნაქვეში	35

სატრანსპორტო, მანქანათმშენებლობა

ზ. ჩიტიძე, თ. შეკედლიშვილი, ი. გელაშვილი, გ. აბაიშვილი, მ. ჩიტიძე. მრბვალხერხი ჩარხის ამტრაცის დინამიკის მათემატიკური მოდელის აზება	39
ზ. ჩიტიძე, თ. შეკედლიშვილი, ი. გელაშვილი, გ. აბაიშვილი, მ. ჩიტიძე. მრბვალხერხი ჩარხის დინამიკის საკითხები	44
ბ. სოსელია, მ. ზუბიაშვილი, ნ. კიკაძე. საზოგადოებრივი ტრანსპორტის განვითარების ისტორიული ეტაპები და პერსაპტივები	47
ბ. სოსელია, მ. ზუბიაშვილი, ნ. კიკაძე. საქალაქო საზოგადოებრივი ელექტრული ტრანსპორტის სახეების შედარებითი ეფექტურობა	49
რ. თურმანიძე, დ. ბუცხრიკიძე, მ. ბერიძე. მოდიფიცირებული სუვია ტიტანი – პროცესების მასალა მენჯ-ბარეტაზის სახსრის ედოკრონოსათვის.....	53

პრეზიდენტის, ურბანის ფიძა, დოზაინი	
ილგარ აიდინ ოდღი ისბატოვი. ბაქოს ქალაქშიმარებითი განვითარების გზები	
თანამედროვე ეტაპზე58	
გიზენსინერინგი	
6. გამყრელიძე, ლექსიკური და ფრაზეოლოგიური სინონიმია64	
6. გამყრელიძე. ვრაზეოლოგიური სინონიმია ენობრივი ვარიაციის ჰრილმი68	
6. ფაილოძე, გ. სულაშვილი, ლ. გაჩაძე. ვარმაცევტული გაზრის სახელმწიფო რეგულირების სისტემა71	
6. ფაილოძე, გ. სულაშვილი, ლ. გაჩაძე. ვარმაცევტული გაზრის ინოვაციური სტრატეგია74	
ინფორმაცია, მართვის სისტემები	
ზ. ღურჯაია, ზ. მგალობლიშვილი. კომპიუტერით მართვადი გალვანიზაციის აპარატი78	
ზ. ღურჯაია, დ. შერგელაშვილი. ბენზი ინფორმაციის კომპიუტერული ანალიზატორი83	
ნაგებობების, საეციალური სისტემებისა და საინჟინრო უზრუნველყოფის ინსტიტუტი	
6. წიგნაძე, 6. მემარიაშვილი, ო. თუშიშვილი, ლ. ფილიპენკო, ა. ჯახუა. გასამლელი კოსმოსური რეცლექტორი ჩასატებეროებიანი გამშლელი რბოლი, რომლის გაშლაც ხორციელდება ელექტროამპრაპის საშუალებით87	
6. მუსხელიშვილის სახელობის გამოთვლითი მათემატიკის ისტიტუტი	
ა. კანდელაკი, ზ. ყიფშიძე, ა. ჩალუნელი. ინფორმაცია და კომენციალი94	
ავტორთა საძირკელი101	
ავტორთა საზოგადოებრივ102	

CONTENTS

BUILDING

B. Gvasalia, T. Kvachadze. SELECTION OF OPTIMAL HEIGHT OF STRUCTURAL CONSTRUCTION BY THE FLOW MATERIAL	9
---	---

ENERGETICS AND TELECOMMUNICATION

M. Gudiashvili. SOFTWARE MODELING OF A SMALL HPP BUSINESS PROCESS MINING AND GEOLOGY	13
N. Japaridze. TECTONIC FACTORS OF LOCALIZATION OF SAKDRISI GOLD-COPPER MINERALIZATION.....	17
N. Japaridze, Sh. Janashvili. FEATURES OF SAKDRISI GOLD MINERALIZATION IN UNDERGROUND AND SURFACE MINES MANUFACTURES AND BORE-HOLES	21
I. Gujabidze, R. Mzhavanadze, Z. Lebanidze. ANALYTICAL EVALUATION OF RELIABILITY OF THE TUNNEL CONSTRUCTION TECHNOLOGICAL SCHEMES	28

CHEMICAL TECHNOLOGY AND METALLURGY

I. Nakhutsrishvili, O. Mikadze, N. Maisuradze, G. Mikadze. DETERMINATION OF A COEFFICIENT OF DECREASING EFFECTIVE DIFFUSION AREA IN OXIDATION OF HEAT-RESISTING CHROMIUM ALLOYS	31
I. Tsomaia, T. Tsintsadze, N. Gelovani, Kh. Tzikarishvili, K. Batsikadze. QUANTITATIVE DEFINITION FLAVONOIDS IN THE TINCTURE OF DIFFICULT STRUCTURE	35

TRANSPORT, MECHANICAL ENGINEERING

Z. Chitidze, T Mchedlishvili, I. Gelashvili, V. Abaishvili, M. Chitidze. CONSTRUCTION OF MATHEMATICAL MODEL OF CIRCULAR GRINDING MACHINE'S ACTUATOR DYNAMICS.....	39
Z. Chitidze, T Mchedlishvili, I. Gelashvili, V. Abaishvili, M. Chitidze. ON ISSUE OF ANALYSIS OF CIRCULAR GRINDING MACHINE'S DYNAMICS	44
B. Soselia, M. Zubiashvili, N. Kiknadze. HISTORICAL STAGES AND PERSPECTIVE OF DEVELOPMENT OF PUBLIC TRANSPORT.....	47
B. Soselia, M. zubiashvili, N. Kiknadze. COMPARATIVE EFFECTIVENESS OF FORMS OF URBAN PUBLIC ELECTRIC TRANSPORT	49
R. Turmanidze, D. Butskhrikidze, M. Beridz. MODIFIED PURE TITANIUM – PERSPECTIVE MATERIAL FOR ENDROPROSTHESIS OF HIPJOINT	53

ARCHITECTURE, URBANIZATION, DESIGN

J. Isbatov. WAYS OF CITY-BUILDING DEVELOPMENT OF BAKU CITY AT THE MODERN STAGE	58
---	----

BUSINESS-ENGINEERING

N. Gamkrelidze. LEXICAL AND PHRASEOLOGICAL SYNONYMY	64
N. Gamkrelidze. PHRASEOLOGICAL SYNONYMY IN THE LANGUAGE VARIANTS	68
N. Pailodze, G. Sulashvili, L. Vachadze. THE SYSTEM OF STATE REGULATION OF THE PHARMACEUTICAL MARKET	71
N. Pailodze, G. Sulashvili, L. Vachadze. PHARMACEUTICAL MARKET INNOVATIVE STRATEGY	74

INFORMATICS, MANAGING SYSTEMS

Z. Gurtzkaia, Z. Mgaloblishvili. COMPUTER CONTROLLED GALVANIZATION APPARATUS	78
Z. Gurtzkaia, D. Shergelashvili. COMPUTER ANALYSER OF GENIC INFORMATION TECHNOLOGIES	83

INSTITUTE OF CONSTRUCTIONS, SPECIAL SYSTEMS AND ENGINEERING MAINTENANCE OF GEORGIAN TECHNICAL UNIVERSITY

N. Tzignadze, N. Medzmariashvili, O. Tushishvili, L. Philipenko, A. Jakhua. DEPLOYABLE SPACE REFLECTOR WITH V-FOLD BAR DEPLOYABLE RING, WHICH DEPLOYMENT IS CARRIED OUT WITH MOTORS	87
--	----

MUSKHELISHVILI INSTITUTE OF COMPUTATIONAL MATHEMATICS

A. Kandelaki, Z. Kipshidze, A. Chaduneli. INFORMATION AND POTENTIAL	94
--	----

AUTHORS INDEX	101
----------------------------	-----

TO THE AUTHORS ATTENTION	104
---------------------------------------	-----

СОДЕРЖАНИЕ

СТРОИТЕЛЬСТВО

Б.А. Гвасалия, Т.Д. Квачадзе. ВЫБОР ОПТИМАЛЬНОЙ ВЫСОТЫ ПО РАСХОДУ МАТЕРИАЛА СТРУКТУРНОЙ КОНСТРУКЦИИ	9
---	---

ЭНЕРГЕТИКА И ТЕЛЕКОММУНИКАЦИИ

М.Н. Гудиашвили. КОМПЬЮТЕРНОЕ МОДЕЛИРОВАНИЕ БИЗНЕС – ПРОЦЕССА МАЛОЙ ГИДРОЭЛЕКТРОСТАНЦИИ	13
---	----

ГОРНОЕ ДЕЛО И ГЕОЛОГИЯ

Н.Н. Джапаридзе. ТЕКТОНИЧЕСКИЕ ФАКТОРЫ ЛОКАЛИЗАЦИИ ЗОЛОТОМЕДНОЙ МИНЕРАЛИЗАЦИИ САКДРИСИ	17
Н.Н. Джапаридзе, Ш.Г. Джанашвили. ОСОБЕННОСТИ САКДРИССКОЙ ЗОЛОТОНОСНОЙ МИНЕРАЛИЗАЦИИ В ПОДЗЕМНЫХ И НАДЗЕМНЫХ ГОРНЫХ ВЫРАБОТКАХ И СКВАЖИНАХ	21
И.К. Гуджабидзе, Р.В. Мжаванадзе, З.Б. Лебанидзе. АНАЛИТИЧЕСКАЯ ОЦЕНКА НАДЕЖНОСТИ ТЕХНОЛОГИЧЕСКИХ СХЕМ ПРОВЕДЕНИЯ ГОРНЫХ ВЫРАБОТОК	28

ХИМИЧЕСКАЯ ТЕХНОЛОГИЯ, МЕТАЛЛУРГИЯ

И.Г. Науцришвили, О.И. Микадзе, Н.И. Майсурладзе, Г.О. Микадзе. ОПРЕДЕЛЕНИЕ КОЭФФИЦИЕНТА УМЕНЬШЕНИЯ ЭФФЕКТИВНОЙ ПЛОЩАДИ ДИФФУЗИИ ПРИ ОКИСЛЕНИИ ЖАРОСТОЙКИХ СПЛАВОВ ХРОМА	31
И. В. Цомая, Т.Г. Цинцадзе, Н.Дж. Геловани, Х.Дж. Цикаришвили, К. Т. Бацикадзе. КОЛИЧЕСТВЕННОЕ ОПРЕДЕЛЕНИЕ ФЛАВОНОИДОВ В НАСТОЙКЕ СЛОЖНОГО СОСТАВА	35

ТРАНСПОРТ, МАШИНОСТРОЕНИЕ

З.Д. Читидзе, Т.Ф. Мчедлишвили, И.Н. Гелашвили, В.В. Абаишвили, М.З. Читидзе. ПОСТРОЕНИЕ МАТЕМАТИЧЕСКОЙ МОДЕЛИ ДИНАМИКИ ПРИВОДА КРУГЛОПИЛЬНОГО СТАНКА	39
З.Д. Читидзе, Т.Ф. Мчедлишвили, И.Н. Гелашвили, В.В. Абаишвили, М.З. Читидзе. К ВОПРОСУ АНАЛИЗА ДИНАМИКИ КРУГЛОПИЛЬНОГО СТАНКА	44
Б.Л. Соселиа, М.Г. Зубиашвили, Н.Т. Кикнадзе. ИСТОРИЧЕСКИЕ ЭТАПЫ И ПЕРСПЕКТИВА РАЗВИТИЯ ОБЩЕСТВЕННОГО ТРАНСПОРТА	47
Б.Л. Соселиа, М.Г. Зубиашвили, Н.Т. Кикнадзе. СРАВНИТЕЛЬНАЯ ЭФФЕКТИВНОСТЬ ВИДОВ ГОРОДСКОГО ОБЩЕСТВЕННОГО ЭЛЕКТРИЧЕСКОГО ТРАНСПОРТА	49
Р.С. Турманидзе, Д.С. Буцхрикидзе, М.Д. Беридзе. МОДИФИЦИРОВАННЫЙ ЧИСТЫЙ	

ТИТАН - ПЕРСПЕКТИВНЫЙ МАТЕРИАЛ ДЛЯ ЭНДОПРОТЕЗОВ ТАЗОБЕДРЕННОГО СУСТАВА	53	
АРХИТЕКТУРА, УРБАНИСТИКА, ДИЗАЙН		
Илгар Айдын оглы Исбатов. ПУТИ ГРАДОСТРОИТЕЛЬНОГО РАЗВИТИЯ ГОРОДА БАКУ НА СОВРЕМЕННОМ ЭТАПЕ	58	
БИЗНЕС-ИНЖЕНЕРИНГ		
Н.О. Гамкрелидзе. ЛЕКСИЧЕСКАЯ И ФРАЗЕОЛОГИЧЕСКАЯ СИНОНИМИЯ	64	
Н.О. Гамкрелидзе. ФРАЗЕОЛОГИЧЕСКАЯ СИНОНИМИЯ В ЯЗЫКОВЫХ ВАРИАНТАХ	68	
Н.Р. Паилодзе, Г.В. Сулашвили, Л.Ю. Вачадзе. СИСТЕМА ГОСУДАРСТВЕННОГО РЕГУЛИРОВАНИЯ ФАРМАЦЕВТИЧЕСКОГО РЫНКА	71	
Н.Р. Паилодзе, Г.В. Сулашвили, Л.Ю. Вачадзе. ФАРМАЦЕВТИЧЕСКИЙ РЫНОК ИННОВАЦИОННОЙ СТРАТЕГИИ	74	
ИНФОРМАТИКА, СИСТЕМЫ УПРАВЛЕНИЯ		
З.Т. Гурцкая, З.Т Мгалоблишвили. УПРАВЛЯЕМЫЙ КОМПЬЮТЕРОМ АППАРАТ ГАЛЬВАНИЗАЦИИ	78	
З.Т. Гурская, Д.Р. Шергелашвили. КОМПЬЮТЕРНЫЙ АНАЛИЗ ТЕХНОЛОГИЙ ГЕННОЙ ИНФОРМАЦИИ	83	
ИНСТИТУТ СООРУЖЕНИЙ, СПЕЦИАЛЬНЫХ СИСТЕМ И ИНЖЕНЕРНОГО ОБЕСПЕЧЕНИЯ		
Н.Г. Цигнадзе, Н.Э. Медзмариашвили, О.Ш. Тушишвили, А.П. Филипенко, А.А. Джахуа. РАСКРЫВАЮЩИЙСЯ КОСМИЧЕСКИЙ РЕФЛЕКТОР С РАЗВЕРТЫВАЮЩИМ КОЛЬЦОМ С V-ОБРАЗНЫМИ СТЕРЖНЯМИ, РАЗВЕРТЫВАНИЕ КОТОРОГО ОСУЩЕСТВЛЯЕТСЯ ЭЛЕКТРОПРИВОДАМИ	87	
ИНСТИТУТ ВЫЧИСЛИТЕЛЬНОЙ МАТЕМАТИКИ им. Н. МУСХЕЛИШВИЛИ		
А.П. Канделаки, З.Ш. Кипшидзе, А.Ш. Чадунели. ИНФОРМАЦИЯ И ПОТЕНЦИАЛ	94	
ПЕРЕЧЕНЬ АВТОРОВ		101
К СВЕДЕНИЮ АВТОРОВ		106

სამშენებლო სექტორი

უკა 681.3:624.01

მასალის ხარჯის მიხედვით სტრუქტურული კონსტრუქციის ოპტიმალური
სიმაღლის შერჩევა

ბ. გვასალია*, თ. გვაშაძე

მშენებლობის კომპანია გრიგორი დაპროექტის დეპარტამენტი, საქართველოს ტექნიკური უნივერსიტეტი,
საქართველო, 0175, თბილისი, ქოსტავას 68^ბ

E-mail: gvasbadal@posta.ge

რეზიუმე: შემოთავაზებულია სტრუქტურული
კონსტრუქციის ოპტიმალური სიმაღლის შერჩევის მეთოდი. პრობლემა წარმოდგენილია არა-
წრფივი მათემატიკური დაპროგრამების ამოცანის სახით. მოყვანილია მაგალითი და ამოცანის
გადაწყვეტის ალგორითმი. პროგრამა დაწერილია **VISUAL BASIC-ზე**.

საკვანძო სიტყვები: სტრუქტურული კონსტრუქციები; ოპტიმალური პარამეტრები; მათემატიკური დაპროგრამება.

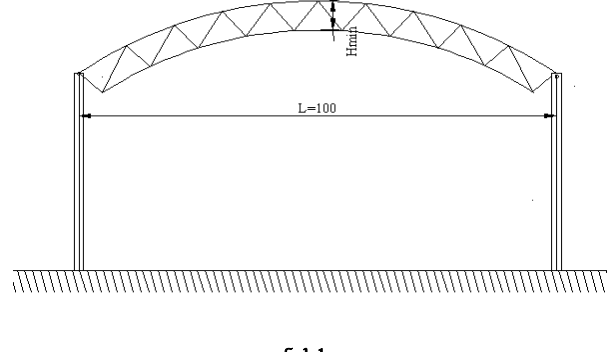
1. შესავალი

ინჟინერ-კონსტრუქტორს მშენებლობის პრაქტიკული ამოცანის გადაწყვეტისას ხშირად აქვს საქმე მრავალი ცვლადის, მრავალექსტრუმიანი და, ზოგადად რომ კონკრეტური კონფიგურაციის ქვენების ცვლილების გლობალური ექსტრუმის პოვნასთან მაშინ, როდესაც ფუნქციის ცვლადებზე დადებულია შეზღუდვები [1]. ასეთი ტიპის ამოცანის ამოხსნა როგორია და დიდი სიზუსტით შესაძლებელია მხოლოდ არაწრფივი მათემატიკური დაპროგრამების მეთოდის გამოყენებით [2].

ამ ტიპის ერთ-ერთი ამოცანაა სტრუქტურული კონსტრუქციის შეაფრებული სისტემების განვითარების თაობის მეთოდის შერჩევა (ნახ.1).

ამ ამოცანის გადასაწყვეტად ძირითადად იყენებენ გარიანტული შედარების მეთოდს. ამ მეთოდის მთავარი ნაკლია შრომატევადობა და საუკუ-

თესოდ ერთ-ერთი განხილული ვარიანტი მიიღება. სინამდვილეში კი შესაძლებელია ნამდვილი ოპტიმალური ვარიანტი განხილულ ვარიანტებს მიღმა აღმოჩნდეს. სიმაღლის არასწორი შერჩევა კი იწვევს არა მარტო კონსტრუქციის ზიდვის უნარის დაქვეითებას, არამედ სამშენებლო მასალის არარაციონალურ ხარჯებას.



ნახ.1

2. ძირითადი ნაწილი

დავუშვათ, მოცემულია სტრუქტურული კონსტრუქციის განვითარები (ნახ.1), რომლის სიმაღლე (სტრუქტურული კონსტრუქციის დაპროექტების რეკომენდაციიდან გამომდინარე [1]) განისაზღვრება ფორმულით:

$$H = (1 + 2.4 \frac{h}{l_i}) \beta \frac{a_w}{a_m} \frac{q_n}{q_d} \frac{(R_{yml} + \varphi_m R_{yms})}{E} \frac{l^2}{[f]}, \quad (1)$$

სადაც a_w და a_m შესაბამისად მომენტისა და

ჩაღუნვის რიცხვთი კოეფიციენტებია, რომლებიც მიიღება ისეთი ფირფიტების (ან ურთიერთგადამკეთი წამწების) ანალოგიურად, რომელთა დაყრდნობისა და დატვირთვის სქემები ემთხვევა გასაანგარიშებელი სტრუქტურის სქემას.

q_d და q_n არის გადახურვის საანგარიშო და ნორმატიული დატვირთვა;

l – გადახურვის სტრუქტურული მალი;

l_i – გეგმაში ოთხეუთხა გადახურვისას სტრუქტურული კონსტრუქციის მოკლე მალი;

$[f]$ – გადახურვის დასაშვები ჩაღუნვა;

$R_{y_{mi}}$ და $R_{y_{ms}}$ – სარტყლის დეროებში გამოყენებული მასალის საანგარიშო წინადობები;

E – დრეკადობის მოდული;

β – სტრუქტურული კონსტრუქციის გრეხის კოეფიციენტი;

φ_m – გრძივი ღუნვის კოეფიციენტი;

h – სტრუქტურული კონსტრუქციის გადახურვის სიმაღლე.

რიცხვითი მონაცემები [1,3]

მუდმივი სიდიდეები:

$$l = 100 \quad S=32000$$

$$R_{y_{mi}} = 290 \quad N=4$$

$$R_{y_{ms}} = 210 \quad M=8$$

$$\frac{h}{l_i} = 1/15 \quad R=10^6$$

$$\beta = 0.77$$

$$q_n = 400$$

$$q_d = 500$$

$$E = 2,1 \cdot 10^5$$

საანგარიშო სიდიდეები:

$$0.000603 \leq a_w \leq 0.00406$$

$$0.0182 \leq a_m \leq 0.0464$$

$$0.419 \leq \varphi_m \leq 0.7543$$

$$0.25 \leq [f] \leq 0.4$$

ამოცანის ამოხსნის ალგორითმი

ამოცანის ამოხსნის ალგორითმის მიხედვით:

1. განისაზღვრება კელი საწყისი მონაცემი. აქ იგულისხმება არა მარტო ის მონაცემები, რასაც ითვალისწინებს ტექნიკური დავალებას სტრუქტურული კონსტრუქციის გაანგარიშების შემთხვევისათვის, არამედ ისიც, რაც საჭიროა კომპიუტერული გამოთვლების ჩასატარებლად. მაგალითად, S – სტატისტიკური ცდების რაოდგნობა, M – შეზღუდვათა და N – ცვლადების რაოდგნობა, R – საწყის მომენტის მიზნის ფუნქციის მნიშვნელობის შესადარებელი, თეორიულად შესაძლო დიდი რიცხვი.

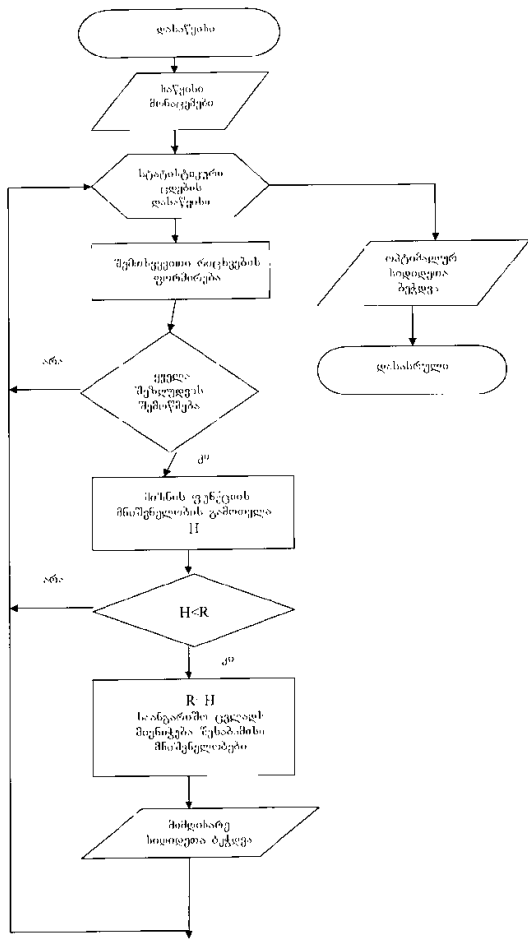
2. დაიწყება სტატისტიკური ცდების ჩატარების პროცესი, რომლის დროსაც შემთხვევითი რიცხვების გენერატორის მიერ გამომუშავდება რიცხვები, რომელიც შემდგება შესაბამის შეზღუდვათა გათვალისწინებით ფორმირდება როგორც საპროექტო პარამეტრების მნიშვნელობები.

3. მოხდება, წინასწარ მოცემული პირობის შესაბამისად, ყველა შეზღუდვის შემოწმება. თუ ყველა პირობა ერთდროულად შესრულდება, მაშინ მართვა გადაეცემა მომდევნო მე-4 პუნქტის შესრულებას, წინააღმდეგ შემთხვევაში მართვა გადაეცემა მე-2 პუნქტის შესრულებას და აირჩევა საპროექტო პარამეტრების ახალი, განსხვავებული მნიშვნელობები.

4. გამოითვლება მიზნის ფუნქციის მნიშვნელობა და შედარდება წინასწარ არჩეულ დიდ რიცხვს. თუ მიზნის ფუნქციის მნიშვნელობა ნაკლები იქნება ამ რიცხვზე, მაშინ ამ რიცხვს მიენიჭება მიზნის ფუნქციის მნიშვნელობა და ინახება სათანადო პარამეტრებთან ერთად, რათა გამოყენებულ იქნეს შემდეგი გამოთვლებისათვის. წინააღმდეგ შემთხვევაში, მართვა გადაეცემა მე-2 პუნქტის შესრულებას და გაგრძელდება ციკლური პროცესი. ციკლური გამოთვლები გაგრძელდება მანამ, სანამ არ ჩატარდება ყველა S ცდა. შედეგად მივიღებთ მიზნის ფუნქციის მინიმალურ მნიშვნელობას და პარამეტრების იმ მნიშვნელობებს, რომლებიც უზრუნველყოფს მიზნის ფუნქციის ოპტიმალურ მნიშვნელობას.

ალგორითმის ბლოკ-სქემა მოცემულია მე-2 ხას-ზე.

ალგორითმის ბლოკ-სქემა



ნახ 2

ქვემოთ მოცემულია პროგრამის მუშაობის შდეგები.

```

Hmin= 4.443739 am= 3.042078E-03 aw= 3.324256E-02 Fm= 0.131387 f= 0.2934344
Hmin= 1.456375 am= 1.646834E-03 aw= 4.004767E-02 Fm= 0.4236959 f= 0.3641085
Hmin= 1.200872 am= 9.7072E-04 aw= 4.638349E-02 Fm= 0.6455189 f= 0.2523556
Hmin= 0.92945 am= 9.741965E-04 aw= 4.030867E-02 Fm= 0.5729797 f= 0.3630532
Hmin= 0.7894428 am= 6.038329E-04 aw= 3.352277E-02 Fm= 0.6391134 f= 0.3316021
Hmin= 0.7626807 am= 6.16899E-04 aw= 3.020895E-02 Fm= 0.5157203 f= 0.3628814
Hmin= 0.6250762 am= 6.356595E-04 aw= 4.509147E-02 Fm= 0.4436675 f= 0.293995
Hmin= 0.597144 am= 8.07867E-04 aw= 4.429649E-02 Fm= 0.4338052 f= 0.396049
Hmin= 0.5934559 am= 7.401159E-04 aw= 6.11294E-02 Fm= 0.6146790 f= 0.3856636
Hmin= 0.5564491 am= 6.719254E-04 aw= 4.151647E-02 Fm= 0.4992656 f= 0.3907709
Hmin= 0.5509159 am= 6.410768E-04 aw= 4.439776E-02 Fm= 0.6130315 f= 0.3684639
Hmin= 0.5271715 am= 6.783872E-04 aw= 4.245589E-02 Fm= 0.4263856 f= 0.3914037
Hmin= 0.50239 am= 6.106955E-04 aw= 4.212676E-02 Fm= 0.4254175 f= 0.3724527
Hmin= 0.4695171 am= 6.064104E-04 aw= 4.576351E-02 Fm= 0.5886896 f= 0.3972116
optimum
Hmin= 0.4695171 am= 6.064104E-04 aw= 4.576351E-02 Fm= 0.5886896 f= 0.3972116
sakontrolo gaangarisheba
Hmin= 0.4695171 am= 6.064104E-04 aw= 4.576351E-02 Fm= 0.5886896 f= 0.3972116
statiachi mocemuli magaliti
Hmin= 1.970638 am= 0.000603 aw= 0.0182 Fm= 0.7 f= 0.25
  
```

უნდა აღინიშნოს, რომ ოპტიმალური თაღი გულისხმობს არა მარტო კონსტრუქციის განვითარების მიზანის შერჩევას, არა-

მედ თაღის დერძის კონფიგურაციისა და შემოწმების აწევის სიმაღლის შერჩევასაც.

ოპტიმალური კონფიგურაციის თაღის შერჩევის ამოცანა შეიძლება ჩაიწეროს შემდეგნაირად:

$$G = \int_0^s F(y(x), H(x); f) dx = \min, \quad (2)$$

სადაც $y(x)$ არის თაღის დერძის განტოლება, $H(x)$ – თაღის კვეთის სიმაღლის ცვლილების განონი, f – თაღის აწევის სიმაღლე.

(2) ინტეგრალის ამოცანა ზოგადად, დატვირთვების გათვალისწინებით, როგორც ამოცანაა, მაგრამ, იმ შემთხვევაში, როდესაც ჩეკ მიერ ზემოთ განსაზღვრული თაღის ოპტიმალური სიმაღლე და თაღის აწევის სიმაღლე შეიძლება განსაზღვროს კონსტრუქტორმა, (2) ინტეგრალის ამოცანა ადვილდება.

ამრიგად, მოითხოვება განვსაზღვროთ თაღის დერძის ორდინატები, რომლებიც მიანიჭებენ მინიმუმს (2) მიზნის ფუნქციას.

[4,5,6] ნაჩვენებია, რომ თაღის კონსტრუქციის სისტემები შეიძლება წარმოვადგინოთ შემდეგი მრავალწევრის სახით:

$$y = Ax + Bx^2 + Cx^3 + Dx^4. \quad (3)$$

განტოლება (3) მიიღება როგორც თაღის კონფიგურაცია და გამოითვლება თაღის დერძის ორდინატი:

$$y_i = Ax_i + Bx_i^2 + Cx_i^3 + Dx_i^4. \quad (4)$$

ამრიგად, თაღის ოპტიმალური კონფიგურაციის პოვნის ამოცანა დაიყვანება (2) გამოსახულების მინიმუმის პოვნაზე შემდეგი შეზღუდვების გათვალისწინებით:

$$q(A, B, C, D) \{ \leq \geq \} a_i, \quad (5)$$

რაც წარმოადგენს, აგრეთვე, არაწრფივი დაპროგრამების ამოცანას და ამოქნება ანალოგიურად, ზემოთ აღნიშეული მეთოდის გამოყენებით.

3. დასკვნა

ნაშრომში დასმული ამოცანის გადაწყვეტის შემოთვაზე ალგორითმი ანალოგიური ამოცანის გადაწყვეტის ვარიანტები შედარების მეთოდზე ბევრად უკეთეს შედეგს იძლევა, რაც რეალურად დასტურდება პრაქტიკული მაგალითის ამოცანის შემთხვევაში. ნაჩვენებია, აგრეთვე

ვკ, შემოთავაზებული ალგორითმის გამოყენების შესაძლებლობა სხვა, უფრო რთული ამოცანის გადაწყვეტისას, რაც, აგრეთვე, არანაკლებ მნიშვნელოვანია.

ლიტერატურა

1. Рекомендации по проектированию структурных конструкций. ЦНИИСК им. Кучеренко Госстроя СССР. Москва, 1984.
http://www.complexdoc.ru/ntdpdf/537365/rekomendatsii_po_proektirovaniyu_strukturnykh_konstruktsii.pdf
2. Мину М. Математическое программирование. М.: Наука, 1990.-485 с.
3. World congress on shell and spatial structures. Madrid, Spain, 1979.
4. Богза В., Богданов С. Практическая методика поиска оптимальной формы арок облегченной конструкции // MUTROL, 2008, 10B, p. 246-255.
5. Фахрудинов А.Ф., Кузнецов И.Л. Назначение оптимального очертания оси арки из унифицированных элементов // Известия КазГАСУ, 2011, 1(15). http://izvestija.kgasu.ru/files/1_2011/115_121_Fahrudinov_Kuznetsov.pdf
6. Бекирова М.М., Орлов А.Н., Хоменеко О.И. Оптимальная арка .
http://archive.nbuu.gov.ua/portal/natural/Vodaba/2010_38/index.files/St10_38.htm

UDC 681.3:624.01

SELECTION OF OPTIMAL HEIGHT OF STRUCTURAL CONSTRUCTION BY THE FLOW MATERIAL

B. Gvasalia, T. Kvachadze

Department of computer projecting of construction, Georgian Technical University, 68^b, Kostava str, Tbilisi, 0175, Georgia

Resume: There is proposed the method to determine the optimal height structural design. The problem is presented as a non-linear mathematical programming task. There is given the example and the algorithm to solve a problem.

Key words: structural design; optimal parameters; mathematical programming.

УДК 681.3:624.01

ВЫБОР ОПТИМАЛЬНОЙ ВЫСОТЫ ПО РАСХОДУ МАТЕРИАЛА СТРУКТУРНОЙ КОНСТРУКЦИИ

Гвасалия Б.А., Квачадзе Т. Д.

Департамент компьютерного проектирования строительства, Грузинский технический университет, Грузия, 0175, Тбилиси, ул. Костава, 68^b

Резюме: Предлагается метод выбора оптимальной высоты структурной конструкции. Проблема представлена как задача математического нелинейного программирования. Приводятся пример и алгоритм решения задачи.

Ключевые слова: структурные конструкции; оптимальные параметры; математическое программирование.

მიღებულია დახადვებად 10.06.2013

ენერგეტიკისა და ტელეკომუნიკაციის სექტორი

UDC 338.24

SOFTWARE MODELING OF A SMALL HPP BUSINESS PROCESS

M. Gudiashvili

Department of electroenergetics and electromechanics, Georgian Technical University, 75, Kostava str, Tbilisi, 0175, Georgia

E-mail: makagudiashvili@yahoo.com

Resume: There is represented software modeling of a small HPP business process. There is made detailed analysis of Kobi HPP construction project using Ms Project. In this document there is determined the tasks, that project requires and the order in which they must be completed. There is computed Expected Time and Cost, Variances and Standard Deviation of project in uncertainty conditions, there, is drawn Gantt chart and finally, there is determined the probability of completion the project in previously planned period with a given budget.

Key words: software modeling; network diagram; Gantt chart; probability.

1. INTRODUCTION

The aim of the research is software modeling of a small HPP business process. In the article there is made detailed analysis of Kobi HPP construction project using Ms Project.

Perspective of Kobi HPP will be located in Mtskheta-Mtianeti region of Georgia, Kazbegi Municipality, village Kobi on the river Mnaisistskali. Project has following basic parameters: Total Installed Capacity – 3.85 MW; Average Annual Generation – 18.41 GW/h; Regulation Type – Run of the River; Capacity Usage Ratio – 40%; Construction Cost – 5.7 million USD; Construction Period – 2 Years; Domestic Tariff – 4.8 US ¢ /KWh; Export Tariff – 8 US ¢ /KWh; Project IRR – 17% ; Project NPV – 2.8 Million USD; Equity IRR – 28%; Equity NPV – 3 Million USD; Pay back Period – 8 years; Number of Observations – 15 years.

2. THE BODY OF THE ARTICLE

The first step to the scheduling the project is to determine the tasks, that the project requires and the order, in which they must be completed. In the following research there are ten tasks, labeled A through I. Some tasks can be done concurrently, while others cannot be done until their predecessor task is complete.

Table 1.

ID	Activity	Predecessor
1	Project Preconditions: Exploration of HPP Technical-Economic Activity	
2	Land Allocation	1
3	Environmental Impact Permit	1;2
4	Construction Permit	1;2
5	Water Discharge Permit	1; 2, 3
6	Construction of Object	4
7	Production License	5
8	Network Connection	6
9	Guaranteed Sales of Electricity	7
10	Finish	8,9

Additionally, each task has three time estimates: the optimistic time estimate (O), the most likely or normal

time estimate (M), and the pessimistic time estimate (P). The expected time (T_E) is computed using the formula:

$$T_E = (O + 4M + P)/6. \quad (1)$$

Table 2.

ID	Activity	Predecessor	Opt. (O)	Normal (M)	Pess. (P)	Expected time(T_E)
1	A	----	2	3	4	3
2	B	A	1	1	1	1
3	C	A;B	1	1	1	1
4	D	A;B	1	1	1	1
5	E	A;B;C	1	1	1	1
6	F	D	11	12	13	12
7	G	E	1	1	1	1
8	H	F	3	4	5	4
9	I	G	0	0	0	0
10	Finish	H;I	0	0	0	0

Once this step is complete, we can draw a Gantt chart and a network diagram.

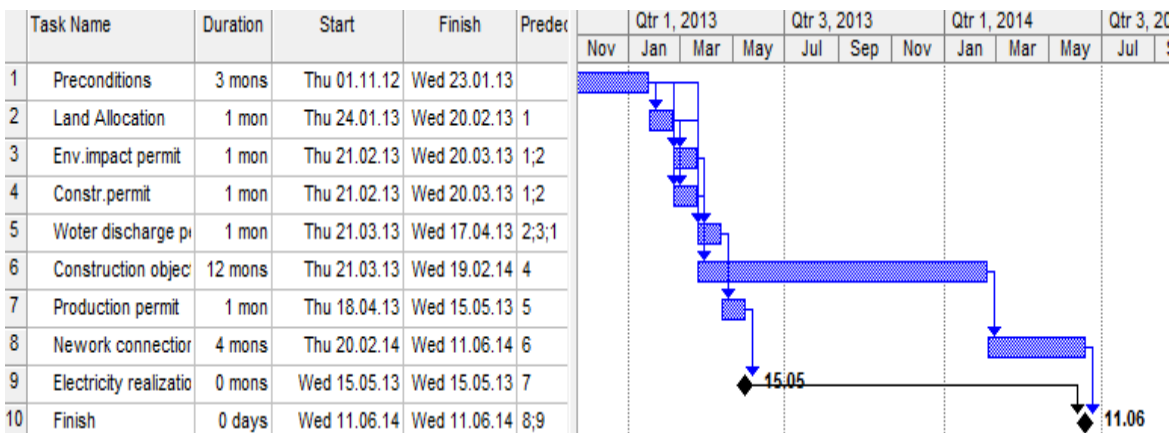


Figure 1. A Gantt chart

The Gantt chart shows all 2 years period: project start 1.11.2012, finish is calculated by software 11.06.2014. There was detected Critical Path, that has not time reserve. Delaying through the critical path shortened probability of project completion in planned period.

There is computed Variance using the formula:

$$V = [(P-O)/6]^2 \quad (2)$$

There is computed Standard deviation using the formula:

$$SD = (P-O)/6 \quad (3)$$

Duration of the project, which is the length of the critical path is obtained simply by adding the durations for those tasks lying on the critical path. This is called EF with a probability of 50% completion time. In the project EF is 24 month.

The standard deviation for the total project duration is the sum of variances for critical tasks only:

$$\delta t = \sqrt{\sum V_c} = 0.58 \quad (4)$$

$$\text{Where } \sum V_c = 0.33 \quad (5)$$

There is computed Z-value using the formula:

$$Z = (LF - EF) / \delta t \quad (6)$$

Then, knowing the EF from the Ms Project and LF, which is required project completion time, we calculated Z value from the following formula:

$$Z = (24 - 24) / 0.58 = 0.00 \quad (7)$$

Probability=50%. To ensure 100% probability of completion the project in planning period, LF must increase up to 26 month.

Table 3.

ID	Activity	Predecessor	Expected time(T_E)	Variance	Standard deviation	Variance of critical tasks	critical path
1	A	---	3	0.11	0.33	0.11	3
2	B	A	1	0.00	0.00	0.00	1
3	C	A;B	1	0.00	0.00	0.00	1
4	D	A;B	1	0.00	0.00	0.00	1
5	E	A;B;C	1	0.00	0.00	0.00	1
6	F	D	12	0.11	0.33	0.11	12
7	G	E	1	0.00	0.00	0.00	1
8	H	F	4	0.11	0.33	0.11	4
9	I	G	0	0.00	0.00	0.00	0
10	Finish	H;I	0	0.00	0.00	0.00	0
						$\sum vc = 0.33$	EF=24

In the article there is conducted project of financial analysis; As it is known, previously planned Construction Cost is 5.7 mln USD. Each task has three cost estimates: the optimistic cost estimate (O), the most likely or normal cost estimate (M) and the pessimistic cost estimate (P). There is computed Expected cost, Variances and Standard deviation. Total project cost is simply the sum of costs for all tasks. The standard deviation is:

$$\delta t = \sqrt{\sum vc} \quad (8)$$

The sum of cost variances for all tasks is $\sum V$, To calculate probability of project completion with a given budget, we must first determine δt , then knowing the Mean Value of Cost (CM) and the Cost Limit (CL), which is the maximum available budget, we can calculate Z-value from following formula:

$$Z = (CL - CM) / \delta t \quad (9)$$

Table 4.

ID	Activity	Opt. (O) \$	Normal (M) \$	Pess. (P) \$	Expected cost (C_E), \$	Variance	Standard deviation
1	A	440000	460000	450000	450000	11111111	3333
2	B	15000	16200	16000	15867	40000	200
3	C	9700	10300	10000	10000	10000	100
4	D	9800	10400	10000	10033	10000	100
5	E	9700	10500	10000	10033	17778	133
6	F	4800000	5500000	5000000	5050000	1361111111	116667
7	G	9900	10100	10000	10000	1111	33
8	H	85500	90000	88000	87917	562500	750
9	I	9970	9010	9000	9163	25600	160
10	Finish	4000	4500	4200	4217	6944	83

There is computed following figures:

Total Cost (Mean Value) is: 5657230.0;

The sum of cost variances for all tasks is:

$$\sum V = 13622896156$$

The standard deviation is: $\delta t = 116717.16$

We calculated Z value:

$$Z = (5700000 - 5657230) / 116717.16 = 0.3664 \quad (10)$$

3. CONCLUSION

Kobi HPP construction project using Ms Project shows, that probability of completion the project in planning period is 50%. To ensure 100% probability of completion the project in planning period, LF must increase up to 26 month.

Probability of completing the project, within the given budget is 64%. To ensure 100% probability of completing the project, within the given budget, the Cost Limit (CL) must increase up to 6 mln USD.

References

1. M.Gudiashvili, Energy Economics. Tbilisi: Published by Technical University, 2012, p 154.
2. M.Gudiashvili, G.Arabidze, T.Jishkariani. Principles of Energy Management. Tbilisi: Published by Technical University, 2011, (Georgian), p 155.
3. R.A. Brealey, S.C.Myers. Principles of Corporate Finance. London: Published by McGrawHill, 2000. pp 760-790.
4. www.mineenergy.gov.ge/perspective_projects/

უკავ 338.24

მცირე პილერებულების დაკროხების ბიზნესპროცესის პრაგიულტერული მოდელირება

მ. გუდიაშვილი

ელექტროენერგეტიკისა და ელექტრომექანიკის დეპარტამენტი, საქართველოს ტექნიკური უნივერსიტეტი, საქართველო, 0175, თბილისი, ქოსტავას 75

რეზიუმე: განხილულია მცირე პერიოდის დაპროექტების ბიზნესპროცესის კომპიუტერული მოდელირება. ჩატარებულია ქობის პერიოდის სამშენებლო პროექტის დეტალური ანალიზი „პროჯექტის“ საშუალებით. დადგენილია პროექტის განსახორციელებლად აუცილებელი ამოცანების თანამიმდევრობა. გაანგარიშებულია პროექტის დასრულების სავარაუდო ვადა და საჭირო ხარჯი, ვარიაციები და სტანდარტული გადახრა განუსაზღვრელობის პირობებში. აგებულია განტის გრაფიკი. საბოლოოდ, განსაზღვრულია პროექტის დადგენილ ვადასა და გამოყოფილი ბიუჯეტის ფარგლებში შესრულების აღბათობა.

საკვანძო სიტყვები: კომპიუტერული მოდელირება; ქსელის დიაგრამა; განტის გრაფიკი; აღბათობა.

УДК 338.24

КОМПЬЮТЕРНОЕ МОДЕЛИРОВАНИЕ БИЗНЕС – ПРОЦЕССА МАЛОЙ ГИДРОЭЛЕКТРОСТАНЦИИ

Гудиашвили М.Н.

Департамент электроэнергетики и электромеханики, Грузинский технический университет, Грузия, 0175, Тбилиси, ул. Костава 75

Резюме: Представлено компьютерное моделирование проектирования бизнес-процесса для малых ГЭС. Проведен детальный анализ строительного проекта с помощью программы Прожект. Установлена последовательность задач, которые необходимы для реализации проекта. Рассчитываются ожидаемое время завершения проекта и необходимые затраты, вариации и стандартное отклонение в условиях неопределенности. Построены график Ганта и сетевая схема. Наконец, вычислена вероятность реализации проекта в установленные сроки и в рамках выделенного бюджета.

Ключевые слова: компьютерное моделирование; график Ганта; вероятность.

მიღებულია დახაბუქრაფ 10.06.2013

სამთო-გეოლოგიური სექცია

შპპ 551.2

საყდრისის ოქრო-საილენდიანი მინერალიზაციის ლოკალიზაციის ტექტონიკური ზარტორები

ნ. ჯაფარიძე

გამოყენებითი გეოლოგიის დეპარტამენტი, საქართველოს ტექნიკური უნივერსიტეტი, საქართველო,
0175, თბილისი, კოსტავას 77

E-mail: Ni_Japaridze@gtu.ge

რეზიუმე: საქართველოში, ჯერ კიდევ გასული საუკუნის 70-80-იან წლებში განსაკუთრებული ურადღებით მიექცა კეთილშობილი და ფერადი მეტალურგიული მინერალიზაციების შესწავლას და უკვე შესწავლილი საბადოების ხელახალ გეოლოგიურ-ეკონომიკურ შეფასებას თანამედროვე მოთხოვნების შესაბამისად. ამან, თავის მხრივ, ხელი უნდა შეუწოს ს/ს „მადნეულის“, შპს „კვარციტისა“ და სხვა საწარმოების ფუნქციონირების გახანგრძლივებას. ამ თვალსაზრისით მნიშვნელოვანია საყდრისის ოქრო-სპილენდიანი მინერალიზაციის ლოკალიზაციის ფაქტორების შესწავლა. გამადნების ფორმირების ერთ-ერთი უძნიშვნელოვანები ფაქტორი წმენითი აშლილობებია, რომლებიც ურთიერთგადმევეთ ნაკრალთა სისტემას ქმნის და ძირითად როლს ასრულებს როგორც უბნის სტრუქტურის ჩამოყალიბებაში, ისე სასარგებლო მინერალიზაციის ლოკალიზაციაში.

საკვანძო სიტყვები: რდვევა; ნაკრალთა სისტემა; დაძაბულობის ველი; დეფორმაციის ელიფსიონი.

1. შესავალი

სასარგებლო წიაღისეული ყოველთვის იყო და დარჩება ციფილიზაციის ძირითად საფუძვლად. ტექნოლოგიების განვითარებასთან ერთად იზრდება მოთხოვნები მინერალურ ნედლეულზე, რაც პროპორციულად აისახება მის ფასზე. XXI საუკუნის დასაწყისიდანვე სწრაფად იზრდება კეთილშობილი და ფერადი მეტალურგიული ფასი. საქართველოში, ჯერ კიდევ XX საუკუნის 70-80-იან წლებში განსაკუთრებული ურადღება მიექცა კეთილშობილი და ფერადი მეტალურგიული მინერალიზებული ტექნიტორიების მასშტაბურ შესწავლას და ადრე ცნობილი საბადოების

გეოლოგიურ-ეკონომიკურ შეფასებას ახალი რეალიების შესაბამისად, რაც გმისახურება ს/ს „მადნეულისა“ და შპს „კვარციტის“ ფუნქციონირების გახანგრძლივებას.

ბოლო დროს ურადღება გამახვილდა საყდრისის (აბულმული) საბადოზე. დაზუსტდა საბადოზე ოქროს შემცველი კვარციტებისა და ოქრო-სპილენდის გამადნების დაძიებული მარაგებისა და რესურსების რაოდენობა, დაიწყო საცდელი მოპოვება.

2. ძირითადი ნაწილი

საყდრისის საბადო მდებარეობს ბოლნისის მადნიანი რაიონის ტერიტორიაზე. გადაჭიმულია სამხრეთ-დასავლეთიდან ჩრდილო-აღმოსავლეთით მდ. მაშავერას გასწვრივ, მისი მარცხენა პატარა შენაკადების ხუნისხევის (აბულმული) და ხუნგბისხევის (ორსაყდრები) ტერიტორიაზე.

საყდრისის საბადოზე გამადნება წარმოდგენილია ციცაბოდ დაქანებული მონოკვარციტებამდე შეცვლილი ზონით. ეს ზონა მოქცეულია ორ რდვევას შორის და მისი სიგანე 250-300მ-ია, სიგრძე კი 2-3მ-ს აღწევს.

მადნიანი კეთილშობის გამოვლენილია ტექნიკური აშლილობები, რომლებიც ხასიათდება ინტენსიური მსხვრევით, დაფიქსირებით, ჰიდროთერმული შეცვლით და ძლიერი ლიმონიტიზაციით. ეს რდვევები ძირითადად ორი მიმართულებისაა – ჩრდილო-აღმოსავლური და ჩრდილო-დასავლური.

საყდრისის მთის სამხრეთ-აღმოსავლეთ ფერზე ფიქლებივ და ლაპილების აგლომერატულ ტუფებში დადგნილია ფერზების გამოსავლური, რომლებიც შეიცავს სხვადასხვა ფორმის და შედგენილობის მსხვილ ნატეხებს. აღსანიშნავია, რომ მათ შორის გეხვდება სულფიდების გამოტუბების სიცარიელეების შემცველი და უნგმიწიო (Oxpa) გაჯერებული ჰიდროთერმული შეცვლილი

20 სმ კვეთის ნატეხები. სშირია მეორადი კვარციტების დაკუთხული ჩანართებიც.

მაღანტემცველი წყების გამკვეთ ფელზიტებში კვარციტების და ჰიდროტერმული მეტასიმატიტების ზემოთ აღწერილი ნატეხების არსებობა მიუთითებს ამ გამკვეთი სხეულების გამადნების შემდგომ ასაკზე. ხოლო ეს უხეშატეხეოვანი გამკვეთი სხეულები გვიან სანტიურით თარიღდება. შესაძმისად გამადნება გვიანსანტონურამდელს უნდა მიგაკუთხოოს.

საყდრისის კვარციტების და ფელზიტებში მათი ჩანართების მიკროსკოპული, სპექტრული და ქიმიური შესწავლის მონაცემების შედარებამ მათ შორის ძირული განსხვავება არ გამოავლინა. ორივე შემთხვევაში ისინი მიკროსკოპულად წარმოდგენილია მონოკვარციტებით და სერიციტინი კვარციტებით, რომლებიც ზოგან გაჯერებულია მადნის მტკრით. იდენტურია მათში არსებული მიკროელემნტებიც. ეს უკლაფერი კიდევ ერთხელ ადასტურებს გამადნების გვიანსანტონურამდელ ასაკს.

გამადნების ფორმირების უმნიშვნელოვანესი ფაქტორია წყვეტითი აშლილობები, რომლებიც ურთიერთგადამკვეთ ნაპრალთა სისტემას ქმნის და ძირითად როლს ასრულებს უნის სტრუქტურის ჩამოყალიბებაში. გამოყოფენ ჩრდილო-დასაჭლური და ჩრდილო-აღმოსავლური მიმართების რღვევებს. მათ შორის განვითარებით განსაკუთრებულია ჩრდილო-დასავლური რღვევები. ეს რღვევები ხასიათდება მეტნაკლებად ერთნაირი დაქანების აზიმუტით – ს.დ. 210-220⁰ და მხოლოდ რამდენიმე რღვევის დაქანების აზიმუტია ს.დ. 230⁰ და 205⁰. უკელა მათგანი ციცაბოა, დახრის კუთხე მერყეობს 80-90⁰ ფარგლებში.

ჩრდილო-აღმოსავლური მიმართების რღვევები უფრო სტაბილური წოლის ელემენტებით ხასიათდება – დაქანების აზიმუტი ჩ.დ.-325-330⁰ და <75-90⁰.

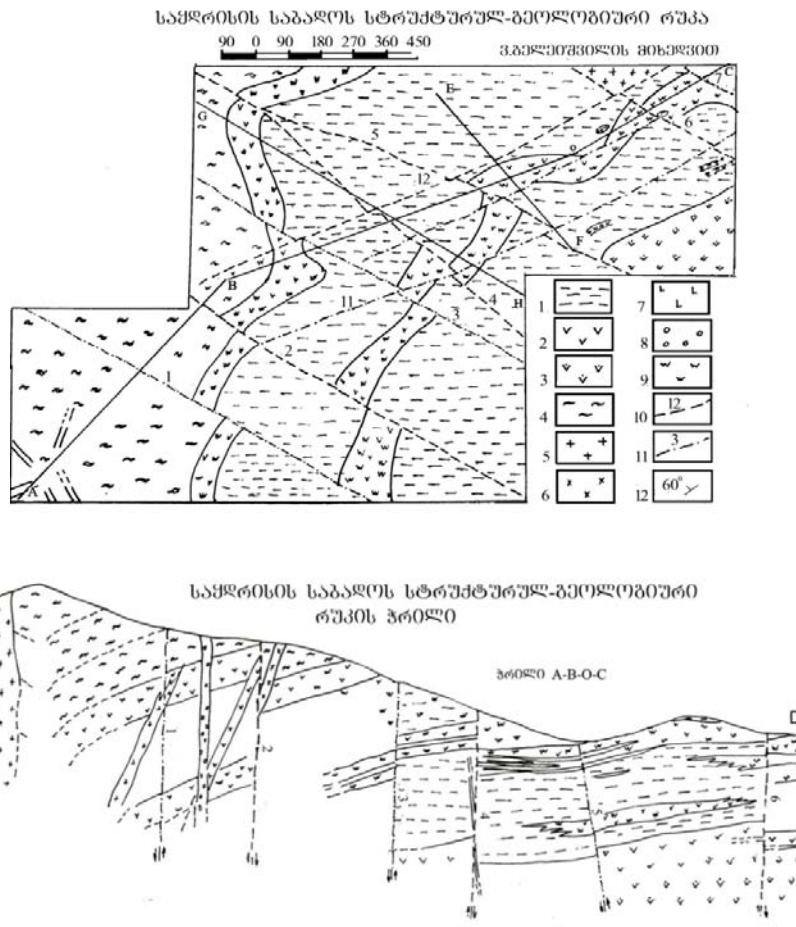
რღვევების ერთი შეხედვით მარტივი ქსელის ცალკეულ ელემენტებს შორის ვლინდება რთული დამოკიდებულება. მაგალითად, ჩრდილო-დასავლური მიმართულების რღვევებს შორის გამოიყოფა შედარებით ძველი აშლილობები, რომლებიც გადაადგილებულია ჩრდილო-აღმოსავლური რღვევებით და შედარებით ახალგაზრდა, რომლებიც კვეთენ და გადაადგილებულებენ ას ბლოკების ჩრდილო-აღმოსავლურ დიზინენტივებს. ასაკობრივად ჩრდილო-აღმოსავლური მიმართების რღვევებს შეალენდური მდგრმარეობა უჭირავს. ყოველივე ეს ადასტურებს, რომ წყვეტითი აშლილობების ამ ქსელმა განვითარების დიდი გზა გაიარა ტექტონიკური სტრესის მრავალჯერადი გამეორებით და ხასიათდება მეტკვიდრეობით ერთგვაროვანი ორიენტაციით.

ეს შეხედულება დასტურდება ჩრდილო-აღმოსავლური და ჩრდილო-დასავლური მიმართების რღვევებს შორის კუთხეების ანალიზით. მათ

ორიენტაციას შორის განსხვავება მერყეობს 60-70⁰ ფარგლებში, რაც უახლოვდება სხლების ნაპრალების შეუდლებულ წყვილებს შორის კუთხეების ოკროულ საშუალო მნიშვნელობას (68%). მათემატიკური სტატისტიკით დადგენილია, რომ კუთხეების აღნიშნული საშუალო მნიშვნელობა მუდმივია ქანების ლითოლოგიის და ნაპრალების წარმოქმნის დროის მიუხედავად. ამრიგად, საყდრისის მადნიან კულტებული განვიხილოთ როგორც სხლების ნაპრალების ურთიერთგადამკვეთ, შეუდლებული სისტემა. აქედან გამომდინარე, აღნიშნული ნაპრალების ორივე სისტემის ჩასახვა დროში უმნიშვნელოდ ჩამორჩება ერთმანეთს. მათი შეუდლების მიუხედავად, ისინი ვერ წარმოქმნებოდნენ ზუსტად ერთდღოულად. შეუდლებული ნაპრალების დროს ერთ-ერთ სისტემას უპირატესობა აქვს განვითარებაში. ჯერ ხდება ერთი სისტემის ჩასახვა და განვითარება, რის შედეგადაც ხდება დააბულობის განტვირთვა. ტექტონიკური ძრების შემდეგ ეტაპზე დააბულობის ორიენტაციის გარკვეულმა შეცვლაში შეიძლება გამოიწვიოს ამავე სისტემასთან შეუდლებული ან დამატებითი ნაპრალების განვითარება.

აქედან გამომდინარე უნდა დავასკვნათ, რომ ჩრდილო-დასავლური რღვევების ერთი ნაწილის ჩასახვა წინ უსწრებდა მათთან შეუდლებული ჩრდილო-აღმოსავლური ნაპრალების განხენას. გარდა ამისა, აღნიშნული რღვევების სისტემებს შირის ასეთი მუდმივი კუთხეების შესანარჩუნებლად აუცილებელი იყო ტექტონიკური დააბულობის უკელა მომდევნო კელის ორიენტაციის უმნიშვნელო ცვლილება.

ი. კ. კუშნარევის (1977) მეორებით რღვევების გასწრები მოძრაობის ანალიზმა აჩვენა, რომ გადაადგილება რთული ხასიათისა. მისი ვერტიკალური შემაგრებელი (შესხება, ნასხელები) მნიშვნელოვნად აღმატება პორიზონტალურს (ნაწევი). ამის საფუძველზე აღდგენილმა დააბულობის ველების ორიენტაციამ აჩვენა, რომ მთელ უბანზე დაფორმაციის ელიფსოიდის საშუალო დერძი ვერტიკალურადა განლაგებული, უმოკლესი (მაქსიმალური შეტკუმშავი ძალის პარალელური) დერძი განლაგებულია პორიზონტალურად ჩ. ა. 275⁰ მიმართულებით, უგრძესი (მინიმალური შეტკუმშავი ძალის პარალელური) დერძიც პორიზონტალურია და მისი მიმართება საშუალოდ ჩ. ა. 50⁰-ია. სამდერძა ელიფსოიდის ასეთი ორიენტაცია ხშირად არ შეესაბამება რღვევების გასწრები გადაადგილების მიმართულებებს, რომელიც ხშირად მათი საწინააღმდეგორია. ეს გარემოება იმით უნდა აიხსნას, რომ ამ რღვევების გასწრები გადაადგილები დროში მნიშვნელოვნადა დაშორებული მათი ჩასახვის მომენტს. როგორც ჩანს, ბოლო მომენტში დააბულობის ველის ორიენტაცია საკმაოდ შეიცვალა.



საყდრისის საბადოს გეოლოგიური რუკა და ჰარჯი
 1. პელიტური ალევროლიტური ტუფები; 2. ფსემიტური და ფსეფიტური ტუფები; 3. აგლომერატული ტუფები;
 4. იგნიმბრიტები; 5. რიოლიტ-დაციტები; 6. რიოლითები; 7. დიაბაზები; 8. ფელზიტები; 9. მონოკარციტები;
 10. შესხლება-ნაწევები; 11. ნასხლებ-ნაწევები; 12. წოლის ელემენტები

3. დასკვნა

უნდა ვიკარაულოთ, რომ საყდრისის მაღინან ვალზე ტექტონიკური აქტიურობა ოთხ ეტაპად მიმდინარეობდა. პირველი სამი ეტაპის დროს ჩაისახა მსხვევების ზონები უმნიშვნელო გადაადგილებებით. ამ ეტაპების დროს დაძაბულობის სამდერძა ელიფსოიდის ორიენტაცია მემკვიდრეობითია და ერთგვაროვანი, მეოთხე ეტაპის დაძაბულობის ორიენტაცია განსხვავდებულია, რამაც გამოიწვია რდველების გასწვრივ მნიშვნელოვანი გადადგილება.

განსაკუთრებით უნდა აღინიშნოს, რომ ჩრდილო-აღმოსავლეური რდველების მსხვევების ზონის ქვეშ კრისტალურ სუბსტრატში გეოფიზიკური სამუშაოებით დაფიქსირებულია სიღრმეული რდველა. როგორც ჩანს, მადანგამოვლინებაზე არსებული

წყვეტითი აშლილობების ქსელი ამ სიღრმეული რდველების ზედაპირული გამოვლინებაა. რდველების აღნიშნული ქსელის განმაპირობებების დაძაბულობის ველი ირიბადა ორიენტირებული სიღრმეული რდველების მიმართ. ამ დაძაბულობის ველის უმოკლესი დერდი რდველების მიმართ 50-55°-იანი კუთხითაა განლაგებული, ხოლო უგრძესი დერდის ორიენტაცია 60-65°-იან კუთხეს ქმნის. ამასთან ორივე დერდი პორიზონტალურია. ასეთ დაძაბულობებს დანალექ საფარში შეიძლება გამოიწვია სუბპორიზონტალური წანაცვლება კრისტალურ სუბსტრატში განვითარებული სიღრმეული რდველების გასწვრივ. ამის შედეგად დანალექ საფარზე მოქმედებს წყვილი მბრუნავი ძალა, მაღანგამოვლინების ჩრდილოეთ ნაწილში – აღმოსავლეთიდან დასავლეთისაკენ და სამხრეთ ნა-

წილში – დასავლეთიდან აღმოსავლეთისკენ. შედეგად წყვეტითი აშლილობების ჩასახვის მოქმედები აღნიშნული სიღრმული რდევების გახვრივ ჩრდილო-დასავლეთი ბლოკი დასავლეთი უნდა გადაადგილებულიყო.

კრისტალურ ფუნდამენტში არსებული ძირითადი რდევების ზედაპირული გამოძახილია მაღანგამოვლინებაზე არსებული წყვეტითი აშლილობების ქსელი. ქსელები ვივარაუდოთ, რომ საყდრისის მაღანგამოვლინებისთვის ეს სიღრმული რდევება მაღანმაკონტროლებულ როლს ასრულებს, ხოლო მასთან დაკავშირებული დანარჩენი რდევები მაღანგამანაწილებული და მაღანმალოკალიზებულია.

ლიტერატურა

1. Коринтели Г.С., Вашадзе Б.Г. Геологический отчет о результатах поисково-оценочных работ на Сакдрийском (Абульмульском) месторождении золота на 1981. - 84гг.
2. Цинцадзе Г.В., Коринтели Г.С. и др. О результатах предварительной разведки золотосодержащих вторичных кварцитов месторождения Сакдриси (Абульмульк) с оперативным подсчетом запасов. 1987г.
3. Чохонелидзе М.И. Отчет о результатах разведочных работ на Сакдрийском месторождении. 1998г.

UDC 551.2

TECTONIC FACTORS OF LOCALIZATION OF SAKDRISI GOLD-COPPER MINERALIZATION

N. Japaridze

Department of applied geology, Georgian Technical University, 77, Kostava str, Tbilisi, 0175, Georgia

Resume: In the 70-80ies of the last century in Georgia the special attention was paid to studying of the mineralized territories of precious and non-ferrous metals and also new geological and economic revaluation of already studied fields, according to modern requirements. It will promote in turn extension of functioning Jsc "Madneuli", Ltd "Kvartsiti" and other enterprises. From this point of view it is important to study of Sakdrixi gold-copper mineralization localization factors. The main factor of formation ore is explosive violation, which creates intercrossing cleft system and has main role both in formation of structure of the area and localizations of a useful mineralization.

Key words: breaking; system of cracks; tension field; deformation ellipsis.

УДК 551.2

ТЕКТОНИЧЕСКИЕ ФАКТОРЫ ЛОКАЛИЗАЦИИ ЗОЛОТОМЕДНОЙ МИНЕРАЛИЗАЦИИ САКДРИСИ

Джапаридзе Н.Н.

Департамент прикладной геологии, Грузинский технический университет, Грузия, 0175, Тбилиси, ул. Костава, 77

Резюме: Еще в 70-80-ые годы прошлого века в Грузии особое внимание уделялось изучению минерализованных территорий благородных и цветных металлов, а также новой геолого-экономической переоценке уже изученных месторождений в соответствии с современными требованиями. Это в свою очередь будет способствовать продлению функционирования АО «Маднеули», ООО «Кварцит» и других предприятий. С этой точки зрения значительным является изучение факторов локализации золотомедной минерализации Сакдриси. Важнейшим фактором формирования оруденения являются разрывные нарушения, которые создают систему взаимопересекающихся трещин и играют основную роль как в формировании структуры района, так и в локализации полезной минерализации.

Ключевые слова: разлом; система трещин; эллипсоид деформации; поле напряжения.

მიღებულია დაბუღად 19.06.2013

შაპ 553.048:15.2.1

**საყდრისის ოქროს მინერალიზაციის თავისებულებანი მიწისძველა და
მიწისზედა სამთო გამონამუშავებებსა და ჰაბურღილებზი**

ნ. ჯაფარიძე*, შ. ჯანაშვილი

გამოყენებითი გეოლოგიის დეპარტამენტი, საქართველოს ტექნიკური უნივერსიტეტი, საქართველო,
0175, თბილისი, კოსტავას 77

E-mail: Ni_Japaridze@gtu.ge

რეზიუმე: განხილულია საყდრისის საბადოს ოქროს მინერალიზაციის განაწილების ცვალებადობის ხასიათი და ინტენსიურობა კვირაცხოვლის უბნის მაგალითზე. მათგანატიკური მოდელირების ალბათობით-სტატისტიკური მეთოდის გამოყენებით დადგენილია მინერალიზაციის ცვალებადობის პარამეტრები და ოქროს შემცველობის საშუალოები ჭაბურღილებში, შტოლებსა და თხრილებში. მიღებულმა მონაცემებმა გვიჩვნა, რომ ამ გამონამუშევრებში საყდრისის საბადოს კვირაცხოვლის უბანზე ცვალებადობის ყველა მაჩვენებელი ერთი რიგისაა და უკიდურესად არათანაბარ ხასიათს ატარებს. ამან განაპირობა ოქროს შემცველობის მათემატიკური მოდელირინის გამოთვლა კლასების სიხშირესთან შეწონით და ამ უკანასკელის საშუალო არითმეტიკულთან შედარებით შესწორების კოეფიციენტის გამოთვლა. შესწორების კოეფიციენტმა უნდა განაპირობოს საქმიანობის გაადვილება მარაგების ოპერატორებით გამოთვლის დროს.

საკვანძო სიტყვები: მათემატიკური მოდელირინი, ოქროს მინერალიზაცია, მინერალიზაციის ცვალებადობა, ვარიაციის კოეფიციენტი, კორგლაცია, შესწორების კოეფიციენტი.

1. შესავალი

ბოლნისის მადნიანი რაიონის საბადოები ჯერ კიდევ უძველესი დროიდან იყო ცნობილი და მუშავდებოდა. ამაზე მიუთითებს უძველესი ლიტერატურული წყაროები. საბადოს ტერიტორიაზე აღმოჩნდილია დღემდე შემორჩენილი უძველესი მიწისქვეშა სამთო გამონამუშევრები და სალდობი დამტლების ნარჩენები. ძვ. აღრ-ით IV-III ათასწლეულებში ეს რეგიონი ოქროს და სპილენის მოპოვების ერთ-ერთი ცენტრი იყო.

კეთილშობილ მეტადებზე მოთხოვნის და ფასების სწრაფი ზრდის გამო, გასული საუკუნის 70-80-იან წლებში დაიწყო საქართველოს ოქრო-ვერცხლის შემცველი საბადოების მასშტა-

ბური შესწავლა და დამუშავება. მოკლე დროში გეოლოგიურ-ეკონომიკურად ხელახლა შეფასდა ცნობილი საბადოები, გამოვლინდა ახალი პერსპექტიული უბნები. ასეთ პერსპექტიულ უბნებს მორის უმნიშვნელოვანებისა საყდრისის საბადო.

2. ძირითადი ნაწილი

საყდრისის საბადოზე გამადნება წარმოდგენილია ორი ციცაბოდ დაქანებული, მონოკვარციტებამდე შეცვლილი ზონით. ზონა მოქცეულია ორ რღვევას შერის და მისი სიგანე 250-300მ-ია, ხოლო სიგრძე 2 კმ-ს აღწევს.

მადნიანი კელის ფარგლებში გამოვლენილია ტექტინიური აშლილობები, რომლებიც ხასიათდება ინტენსიური მსხვერებით, პიდროთერმული შეცვლებით და ძლიერი ლიმონიტიზაციით. ეს რღვევები ძირითადად ორი მიმართულებისაა – ჩრდილო-აღმოსავლური და ჩრდილო-დასავლური.

ჩრდილო-აღმოსავლური რღვევების მსხვერების ზონის ქვეშ კრისტალურ სუბსტრატში გეოფიზიკური სამუშაოებით დაფიქსირებულია სიღრმეული რღვევა, რომლის ზედაპირული გამოძახილია მადანგამოვლინებაზე არსებული წყვეტითი აშლილობების ქსელი. შეიძლება ვივარაუდოთ, რომ საყდრისის საბადოსთვის ეს სიღრმეული რღვევა მადანგამონტრილებელ როლს ასრულებს, ხოლო დანალექ საფარში არსებული მასთან დაკავშირებული რღვევები მაღანგამანაწილებელი და მადანმალოკალიზებელი.

საყდრისის საბადოსათვის განსაკუთხებით დამახასიათებელია შერჩევითი მეტასომატოზი, რაც გამოიხატება პიდროთერმული შეცვლილი უბნების გარევულ ლიმონიტურ სახეობებთან კაფშირში. კერძოდ, პიდროთერმული შეცვლებისადმი ყველაზე მგრძნობიარება ფსეფიტური და ფსამიტური ტუფები. დაფიქსირებულია ორი ასეთი დასტა. მათი მიმართება სამხრეთ-დასავლეთიდან ჩრდილო-აღმოსავლეთისაკენ, დაქანება ჩრდილო-დასავლურია, დახრა კი დამრეცი – 15-25°. დასტაბის სიმძლავრე 20-25 მ-ია. პიდროთერმული შეცვლები განსაკუთრებით ინტენსიურია ფსეფიტური

და ფსამიტური ტუფქის გამადნებამდელი რდგუ-
ვებით გადაკვეთის ადგილებში.

მინერალური შედგენილობის და პიდროთერ-
მელი შეცვლების ხასიათის მიხედვით საყდრისის
საბადო გაითერმული ტიპის საბაზოებს მიეცუთვ-
ნება და ხასიათდება როული სტრუქტურულ-მორ-
ფოლოგიური აგებულებით, რასაც განაპირობებს
როგორც გამადნებამდელი, ისე გამადნების შემდ-
გომი ტექტონიკა.

გამადნებამდელ ეტაპზე მადნიანი უბნების
როული აგებულება, მაკრანჯებული ზონების არ-
სებობა და როული ტექტონიკა ქნის მადანდა-
გროვებისათვის ხელსაყრელ პირობებს, ხოლო
გვიან ეტაპზე ართულებს მადნიანი ზონების და
სხეულების მორფოლოგიას.

საბადოზე დაგენილია მეტასომატოზის და
გამადნების ვერტიკალური ზონალობა (ზემოდან
ქვემო): 0-50მ ზონა წარმოდგენილია კვარც-
ალულარიანი, კვარც-ალბიტიანი, ბარიტ-ვერცხლის
შემცველი მეორადი კვარციტებით; 50-200მ –
კვარც-მონტმორილონიტიანი და მონტმორილო-
ნიტიანი არგილიზიტები, ოქროს შემცველი და
სპილენ-ოქროს შემცველი მეორადი კვარციტე-
ბით; 200-600 – სხვადასხვა ინტენსიურობით პრო-
პილიტებული ტუფქით.

საბადოზე მადნიანი ზონალობა განაპირობებუ-
ლია ორი ტიპის მადნების არსებობით: ქვედა
დონე წარმოდგენილია ოქრო-სპილენიტიანი გამად-
ნებით, რომელსაც თაგზე აღეს ტექტ-კვარციანი
ასოციაცია. ეს უკანასკნელი ძარღვაკულ-ჩანაწინუ-
კლი ტექტურით ხასიათდება. შედეგად წარ-
მოქმედება შედარებით მდლავრი ერთიანი ზონა.
ტექტ-კვარციანი მადნებისთვის დამახასიათებუ-
ლია ჩრდილო-დასავლური ციცაბო დაქანება, ხო-
ლო სპილენ-კრლჩედანური მადნებისთვის – სა-
ვარაუდოდ, სამსრეული.

გამადნება ძლიერ არათანაბარი განაწილები-
საა, მადნიანი უბნები მონაცვლეობს უმადნოსთან.
საბადოზე ფართოდა გაფრცელებული ქანგვის
ზონა, სადაც პირველადი სულფიდების ხარჯზე
წარმოიქმნება რკინის ქანგი და პიდროვენგი, მა-
ლაქიტი, აზურიტი. ამ ზონის კვარციტები მოყვი-
თალო-ქანგისფერია. მას სიღრმეში მოჰკვება მეო-
რადი გამდიდრების ზონა, რომელიც წარმოდგა-
ნილია ქალკოპირიტით, ბორნიტით, კრიველინით.
კიდვე უფრო ქვემო გახვდება შეუცვლელი პირ-
ველადი სულფიდები.

ოქროს მადნიანი სხეულების კონტურების დად-
გენა ხდება დასინჯვის მონაცემების შედეგებით.
კარგად კონტურდება ზონები, სადაც $A_{\text{ს}} \geq 0.3\text{g}/\text{ტ}$. ამ
ფარგლებში გამოიყოფა მადნიანი ზონები $A_{\text{ს}} \geq 0.5-0.6\text{g}/\text{ტ}$ შემცველობით. ასეთ მადნებზე მოღის სა-
შუალოდ მადნიანი ზონების 40-50% და უბნების

მიხედვით იცვლება 40%-დან (ფოსტის ქედი) 60%-
მდე (ქაჩაღიანის უბანზე).

ჩვენ შევეცადეთ საყდრისის საბადოს ერთ-ერთ
გამადნებულ ტერიტორიაზე – კვირაცხოვლის
უბანზე გამადნების ცვალებადობის შესასწავლად
გამოგვეყნებინა ალბათობით-სტატისტიკური მე-
თოდი. ეს უბანი შევარჩინეთ მისი მაღალი პერსპექ-
ტიულობის და კარგად შესწავლილი ზედა პორი-
ზონტების გამო.

საყდრისის საბადოს კვირაცხოვლის უბნის
დეტალურად შესასწავლად გეოლოგიური სამ-
სახურის მიერ თხრილების გაყვანასთან ერთად
სევტერი მეთოდით გაიბურდა 4753 მ საერთო
სიგრძის 19 ჭაბურდილი. ჭაბურდილების მონა-
ცემების შესამოწმებლად გაყვანილია მიწისქვე-
შა სამთო გამონამუშევრები.

შევისწავლეთ საყდრისის საბადოს კვირაც-
ხოვლის უბანზე ოქროს მინერალიზაციის განა-
წილების ბუნება და ცვალებადობის ინტენსი-
ურობა. მათემატიკური მოდელირებით მიღებული
დასკნების სანდოობის მაღალ ხარისხს განა-
პირობებს ას-ის შემცველობის შესახებ მონაცე-
მების დიდი რაოდენობა (2447 სინჯი). შევეცა-
დეთ დაგვედინა ტექროს შემცველობის ცვალე-
ბადობის ინტენსიურობა შტოლნებში, ჭაბურ-
დილებსა და თხრილებში ცალ-ცალკე და შეგვე-
დარებინა ისინი ერთმანეთისათვის. ცნობილი
ხერხით ამ მონაცემების ერთი რიგის კლასებად
დაჯგუფების და შესაბამისი გამოთვლების შემ-
დგებ მივიღეთ, რომ შტოლნებისათვის (ცხრილი
1) ოქროს შემცველობის განაწილების ტიპური
გადახრა

$$\sigma = h \sqrt{\frac{\sum k_i a_i^2}{N} - \left(\frac{\sum k_i a_i}{N} \right)^2} = 5.96 \sqrt{1.45 - 0.86} = 4.60.$$

ვარიაციის კოეფიციენტის საანგარიშოდ სა-
შუალო შემცველობა გამოითვლება განსა-
კუთრებული ფორმულით:

$$\bar{X} = \bar{X}_0 + \frac{\sum k_i a_i}{N} h = 2.39,$$

სადაც X_0 არის ნულოვანი კლასის საშუალო
და უდრის 2.39-ს.

ტიპური გადახრის და საშუალო შემცველო-
ბის მიღებული შედეგით გამოვთვალეთ ვარია-
ციის კოეფიციენტი

$$V = \frac{\sigma}{\bar{X}} 100\% = \frac{4.60}{2.39} 100 = 192.48\%.$$

გინადან მონაცემთა განაწილების ცვალება-
დობა უბიდურესად არათანაბარია, არასწორია
საშუალო არითმეტიკულისათვის მათემატიკური

მოლოდინის სტატუსის მიგუთვნება. ეს უკანასკნელი გამოვთვალოთ სპეციფიკური ფორმულით:

$$\bar{C}_s = \frac{\sum W_i C_i}{\sum W_i K_i} = 0.69 \text{ გ/ტ}, \quad \bar{C}_a \text{ საშუალო არითმეტიკური გამოვთვალით}$$

ტიპული ქი ტოლია 1.19 გ/ტ. ფარდობითი ცდომილება საშუალო არითმეტიკულსა და საშუალო სიხშირესთან შეწონილს შორის უდრის

$$\delta = \frac{\bar{C}_a - \bar{C}_s}{\bar{C}_s} \cdot 100 = \frac{0.69 - 1.19}{0.69} \cdot 100 = 70.66\%,$$

რაც გამორიცხავს საშუალო არითმეტიკულის მარაგების ანგარიშში პირდაპირ გამოყენებას. შემდგომი სამუშაოების ოპერატიულობის გაზრდის მიზნით გამოვიყვანეთ შესწორების კოეფიციენტი, რომლითაც მოხდება საშუალო არითმეტიკულის გადაყვანა საშუალო შეწონილში.

$$K = \frac{C_s}{C_a} = \frac{0.69}{1.19} = 0.59.$$

ცხრილი 1

**ოქროს შემცველობის ცვალებადობის ინტენსიურობისა და საშუალო სიხშირესთან
შეწონილის გამოვლა შტოლნებში**

კლასის სახელები	კლასის პირველი (30s) k_i	კლასის ნომერი a_i	$k_i a_i$	a_i^2	$k_i a_i^2$	კლასის სისიმრე W_i	შემცველობათა ჯამი კლასში C_i	კლასის საშ. შემცველობა ც საშ.	$W_i C_i$	$W_i k_i$
5,96--11,92	1414	-1	-1414	1	1414	0,972	977,93	0,69	951,02	1375,10
11,92--17,88	25	0	0	0	0	0,02	197,5	7,9	3,40	0,43
17,88--23,84	3	1	3	1	3	0,0020	44,3	14,77	0,091	0,0061
23,84--29,8	3	2	6	4	12	0,002	63,7	21,23	0,131	0,01
29,8--35,76	2	3	6	9	18	0,0013	54,5	27,25	0,075	0,003
35,76--41,72	2	4	8	16	32	0,001	64,7	32,35	0,088	0,0027
41,72--47,68	2	5	10	25	50	0,0013	76,7	38,35	0,1055	0,0027
47,68--53,64	0	6	0	36	0	0	0	0	0	0
53,64--59,6	2	7	14	49	98	0,0013	98,9	49,45	0,1360	0,0027
59,6--65,56	0	8	0	64	0	0	0	0	0	0
65,56--71,52	0	9	0	81	0	0	0	0	0	0
71,52--77,48	0	10	0	100	0	0	0	0	0	0
77,48--83,44	0	11	0	121	0	0	0	0	0	0
83,44--89,4	0	12	0	144	0	0	0	0	0	0
89,4--95,36	0	13	0	169	0	0	0	0	0	0
95,36--101,32	0	14	0	196	0	0	0	0	0	0
101,32--107,28	0	15	0	225	0	0	0	0	0	0
107,28--113,24	0	16	0	256	0	0	0	0	0	0
113,24--119,2	0	17	0	289	0	0	0	0	0	0
119,2--125,16	0	18	0	324	0	0	0	0	0	0
125,16--131,12	0	19	0	361	0	0	0	0	0	0
131,12--137,08	0	20	0	400	0	0	0	0	0	0
137,08--143,04	0	21	0	441	0	0	0	0	0	0
143,04--149	1	22	22	484	484	0,0006	144,8	144,8	0,0995	0,00
ჯამი	1454		-1345		2111		1723,03		955,150	1375,55
საშუალო			-0,93		1,45		1,19		0,6569	0,9460

ეს პარამეტრი შტოლნების ანალოგიურად გამოვთვალეთ ჭაბურღილებისა (ცხრილი 2) და თხრილებისათვის (ცხრილი 3).

**ოქროს შემცველობის ცვალებადობის ინტენსიურობის და საშუალო სიხშირესთან შეწონილის
გამოთვლა ჭაბურდილებში**

კლასის საზღვრები	კლასის პიკულაცია k_i	კლასის ნოტერი a_i	$k_i a_i$	a_i^2	$k_i a_i^2$	კლასის სიხშირე W_i	გენერიკული კლასი C_i	კლასის საშუალო გვლობა $C_{\text{სშ}}$	$W_i C_i$	$W_i k_i$
0,03-3,22	135	-1	-135	1	135	0.93	86.88	0.64	80.89	125.69
3,22-6,42	8	0	0	0	0	0.06	36.7	4.59	2.02	0.44
6.42-9.61	1	1	1	1	1	0.01	7.5	7.5	0.05	0.01
9.61-12.81	0	2	0	4	0	0	0	0	0	0
12.81-16.00	0	3	0	9	0	0	0	0	0	0
16.00-19.20	0	4	0	16	0	0	0	0	0	0
19.20-22.39	0	5	0	25	0	0	0	0	0	0
22.39-25.59	0	6	0	36	0	0	0	0	0	0
25.59-28.78	0	7	0	49	0	0	0	0	0	0
28.78-31.98	0	8	0	64	0	0	0	0	0	0
31.98-35.17	0	9	0	81	0	0	0	0	0	0
35.17-38.36	0	10	0	100	0	0	0	0	0	0
38.36-41.56	0	11	0	121	0	0	0	0	0	0
41.56-44.75	0	12	0	144	0	0	0	0	0	0
44.75-47.95	0	13	0	169	0	0	0	0	0	0
47.95-51.14	0	14	0	196	0	0	0	0	0	0
51.41-54.34	1	15	15	225	225	0.01	54.1	54.1	0.37	0.01
ჯამი	145		-199		361				83.34	126.14
საშუალო			-0.82		2.49					

მივიღეთ, რომ ჭაბურდილებისთვის ტიპური გადახრა $\sigma = 4.30$, ნულოვანი კლასის საშუალო $\bar{X} = 1.97$; გარიაციის კოეფიციენტი $V=218\%$; $\bar{C}_s = 0.66$; $\bar{C}_a = 1.28$; ფარდობითი ცდომილება საშუალო არითმეტიკულსა და საშუალო შეწონილს შორის $\delta = 93.75\%$; გადასაყვანი კოეფიციენტი $K = 0.52$.

თხრილებისთვის (ცხრილი 3) ტიპური გადახრა $\sigma = 3.85$, ნულოვანი კლასის საშუალო მიხედვით გამოთვლილი საშუალო $\bar{X} = 2.10$; გარიაციის კოეფიციენტი $V=182.86\%$; $\bar{C}_s = 0.63$; $\bar{C}_a = 1.24$; ფარდობითი ცდომილება საშუალო არითმეტიკულსა და საშუალო შეწონილს შორის $\delta = 97.45\%$; გადასაყვანი კოეფიციენტი $K = 0.51$.

**ოქროს შემცველობის ცვალებადობის ინტენსიურობის და საშუალო სიხშირესთან
შეწონილის გამოთვლა თხრილებში**

ძლიასის სახლები	კოდი	კოდის პოპულაცია k_i	კოდის ნიჭირი a_i	$k_i a_i$	a_i^2	$k_i a_i^2$	ძლიასის სიხშირე W_i	უკმცველობათ ჯამი კლასში C_i	ძლიასის საშ. უკმცველობათ ჯამი $C_{\text{საშ.}}$	$W_i C_i$	$W_i k_i$
0,03-2,84	796	-1	-796	1	796	0,940	493,77	0,62	464,039	748,071	
2,84-5,64	24	0	0	0	0	0,028	104,04	4,34	2,948	0,680	
5,64-8,45	9	1	9	1	9	0,011	61,44	6,83	0,653	0,096	
8,45-11,26	5	2	10	4	20	0,006	49,9	9,98	0,295	0,030	
11,26-14,07	4	3	12	9	36	0,005	48,8	12,2	0,230	0,019	
14,07-16,87	3	4	12	16	48	0,004	45,7	15,23	0,162	0,011	
16,87-19,68	0	5	0	25	0	0,000	0	0	0,000	0	
19,68-22,49	1	6	6	36	36	0,001	21,7	21,7	0,026	0,001	
22,49-25,30	0	7	0	49	0	0,000	0	0	0,000	0	
25,30-28,10	1	8	8	64	64	0,001	25,8	25,8	0,030	0,001	
28,10-30,91	1	9	9	81	81	0,001	29	29	0,034	0,001	
30,91-33,72	0	10	0	100	0	0,000	0	0	0,000	0	
33,72-36,52	0	11	0	121	0	0,000	0	0	0,000	0	
36,52-39,33	0	12	0	144	0	0,000	0	0	0,000	0	
39,33-42,14	0	13	0	169	0	0,000	0	0	0,000	0	
42,14-44,95	1	14	14	196	196	0,001	44	44	0,052	0,001	
44,95-47,75	0	15	0	225	0	0,000	0	0	0,000	0	
47,75-50,56	0	16	0	256	0	0,000	0	0	0,000	0	
50,56-53,37	0	17	0	289	0	0,000	0	0	0,000	0	
53,37-56,18	0	18	0	324	0	0,000	0	0	0,000	0	
56,18-58,98	0	19	0	361	0	0,000	0	0	0,000	0	
58,98-61,79	1	20	20	400	400	0,001	59,9	59,9	0,071	0,001	
61,79-64,60	1	21	21	441	441	0,001	63,4	63,4	0,075	0,001	
ჯამი	847	22	-675		2127		1047,45		468,614	748,913	
საშუალო			- 0,80		2,51		1,24		0,55	0,88	

მიღებული შედეგებით შევადგინეთ გაერთიანებული ცხრილი 4, საიდანაც ჩანს, რომ შემცველებების კაბურლილებსა და თხრილებში ცვალებადობის ყველა მაჩვენებელი ერთი რიგისაა და უპირატესად არათანაბარ ხასიათს ატარებს.

მინერალიზაციის განაწილების ასეთი მაღალი რიგის ცვალებადობის შემთხვევაში მიუღებელია შემცველობების მათემატიკური მოლოდინის საშუალო არითმეტიკულის მეთოდით გამოთვლა.

მიღებული საშუალო არითმეტიკულის და სიხშირესთან შეწონილის საშუალებით შეიძლება მისაღები მიახლოებით გამოვთვალოთ შესწორების K კოეფიციენტი, რომელსაც შემდგებ შეგვენილებით ცალკეული გამონამუშევრის, საძიებო ჭრილების და მარაგების ბლოკების მათემატიკური მოლოდინის გამოსათვლელად

ჩვენს შემთხვევაში ეს კოეფიციენტი შესაბამისად ტოლია K=0.59; 0.52; 0.51. ეს მაჩვენებლები

გამოივლილია შტოლნების, ჭაბურღლების და თხრილების მონაცემებით და, ამდენად, იგი ახასიათებს მინერალიზაციის თავისებურებას მოქლი საბადოსათვის.

ჩვენ გამოვთვალეთ შესწორების კოეფიციენტების საშუალო მონაცემის რაოდენობასთან შეწონილის სიდიდე,

$$\bar{K} = \frac{1454 \times 0.59 + 145 \times 0.52 + 847 \times 0.51}{1454 + 145 + 847} = 0.558.$$

ცხრილი 4

ოქროს შემცველობის ცვალებადობის მაჩვენებლების გაერთიანებული ცხრილი

ცვალებადობის მაჩვენებელი	შტოლნები	ჭაბურღლები	თხრილები
ტიპური გადახრა	4.6	4.05	3.85
საშ. არითმეტიკული	1.19 გ/ტ	1.28 გ/ტ	1.24 გ/ტ
ფარდობითი ცდომილება	192.48 %	218.0 %	182.86 %
საშუალო შეწონილი	0.69 გ/ტ	0.66 გ/ტ	0.63 გ/ტ
ფარდობითი ცდომილება	70.66 %	93.31 %	97.45 %
შესწორ. კოეფიციენტი	0.59	0.52	0.51

3. დასკვნა

1. საყდრისის ოქრო-სპილენდიანი საბადოს ოქროს მინერალიზაციის განაწილება უკიდურესად არათანაბარია ($V=192.48\%$; 243.74% ; 182.86%).

2. ამ კომპონენტის შემცველობის საშუალო არითმეტიკულისა და საშუალო სიხშირესთან შეწონილის მეთოდით გამოვლილი მათემატიკური მოლოდინის სიდიდეებს შორის ცდომილება მიუღებელია ($\delta = 70.66\%$; 92.31% ; 97.45%), ე.ო. არ შეიძლება საშუალო არითმეტიკულისათვის მათემატიკური მოლოდინის სტატუსის მინიჭება და მისი მარაგების ანგარიშში გამოყენება.

3. შემდგომში ოქროს შემცველობის მათემატიკური მოლოდინის სიდიდის მისაღები სანდობით ოპერატორებად გამოსათვლელად საშუალო არითმეტიკული უნდა შესწორდეს $K=0.56$ კოეფიციენტით.

ლიტერატურა

1. კაჯაი ჩ.ა., ჯაკარიძე ჩ.ჩ., თაბათაძე მ.ჩ. ისახურის მინერალიზაციის მათემატიკური მოლოდინის სიდიდის მისაღები სანდობით ოპერატორებად გამოსათვლელად საშუალო არითმეტიკული უნდა შესწორდეს $K=0.56$ კოეფიციენტით.

номерным оруденением // Материалы научной сессии, посвященной 110-летию со дня рождения академика А.И.Джанелидзе, Тбилиси, 2000, стр. 402-406.

2. კაჯან ა.ბ. и др. Математические модели в геологии и разведка полезных ископаемых. М: Недра, 1979.-168 стр.
3. Гуськов О.И. Математические методы в геологии. М.: Недра, 1961.- 203 с.
4. ნ.ქაჯაია, დაბლუაშვილი, ნ.ჯავარიძე, თ. ლიარტია – ბოლნისის დავით-გარეჯის ვერცხლის შემცველი ბარიტის მინერალიზაციის განაწილების მათემატიკური მოდელი // სტუ-ის შრომები, №1(483), 2012.
5. ნ. ქაჯაია. მყარი სასარგებლო წიაღისეულის მარაგები და მათი ანგარიშის საფუძვლები. დამსარე სახელმძღვანელო. თბილისი: ტექნიკური უნივერსიტეტის გამომცემლობა, 2002.- 111გვ.
6. Коринтели Г.С., Вашадзе Б.Г. Геологический отчет о результатах поисково-оценочных работ на Абульмульском месторождении золота на 1981-84г.

UDC 553.048:15.2.1

FEATURES OF SAKDRISI GOLD MINERALIZATION IN UNDERGROUND AND SURFACE MINES MANUFACTURES AND BORE-HOLES

N. Japaridze, Sh. Janashvili

Department of applied geology, Georgian Technical University, 77, Kostava str, Tbilisi, 0175, Georgia

Resume: Teher is considered the question of character and intensity of auriferous mineralization changeability on Sakdrisi deposit. Using of probability – statistical method the parameters of mineralization changeability and average indicators of gold's content in bore-holes, adits and channels have been calculated. The received data showed, that in prospectings and accordingly on the site of "Kviratskhoveli" of Sakdrisi deposit all the indicators changeability belong to the same degree. They are characterized by extreme irregularity.

It caused the necessity to calculate mathematical expectation of gold bearing by method of weighting with the frequency of suitable appropriate classes. By means of comparison of weight average with arithmetical mean correction coefficient of gold's content has been calculated. This coefficient will simplify the operative calculation of resources during the further works.

Key words: mathematical expectation; gold mineralization; variability of mineralization; coefficient of variation; correlation; correction coefficient.

УДК 553.048:15.2.1

ОСОБЕННОСТИ САКДРИССКОЙ ЗОЛОТОНОСНОЙ МИНЕРАЛИЗАЦИИ В ПОДЗЕМНЫХ И НАДЗЕМНЫХ ГОРНЫХ ВЫРАБОТКАХ И СКВАЖИНАХ

Джапаридзе Н.Н., Джанашвили Ш.Г.

Департамент прикладной геологии, Грузинский технический университет, Грузия, 0175, Тбилиси, ул. Костава, 77

Резюме: Рассмотрен вопрос о характере и интенсивности изменчивости распределения золотоносной минерализации на примере участка Квиратховели Сакдриссского месторождения. Используя вероятностно-статистический метод, были вычислены параметры изменчивости минерализации и средние показатели содержания золота в скважинах, штолнях и канавах. Полученные данные показали, что в разведочных выработках, и соответственно на участке Квиратховели Сакдриссского месторождения, все показатели изменчивости относятся к одному порядку. Они характеризуются крайней неравномерностью.

Это вызвало необходимость вычисления математического ожидания золотоносности методом взвешивания с частотой соответствующих классов. Путем сравнения средневзвешенного со среднеарифметическим значением, был подсчитан поправочный коэффициент содержания золота. Этот коэффициент упростит оперативный подсчет запасов во время дальнейших работ.

Ключевые слова: математическое ожидание; минерализация золота; изменчивость минерализации; коэффициент вариации; корреляция; поправочный коэффициент.

მიღებულია დახაბუჭიდავ 19.06.2013

УДК 624.191

АНАЛИТИЧЕСКАЯ ОЦЕНКА НАДЕЖНОСТИ ТЕХНОЛОГИЧЕСКИХ СХЕМ ПРОВЕДЕНИЯ ГОРНЫХ ВЫРАБОТОК

И.К. Гуджабидзе*, Р.В. Мжаванадзе, З.Б. Лебанидзе**

Департамент горных технологий, Грузинский технический университет, Грузия, 0175, Тбилиси, ул. Костава 77

E-mail: i.k.gujabidze@gmail.com, zlebanidze@mail.ru

Резюме: Определены основные критерии оценки надежности технологических схем проведения выработок в зависимости от данных об интенсивностях потоков отказов и восстановлений отдельных видов проходческого оборудования. При этом отдельно оценивается случай отсутствия и наличия резервных операций, которые можно выполнять при возникновении простоев. Данная аналитическая оценка позволяет уже на стадии проектирования технологической схемы проведения выработки предварительно оценить уровень надежности технологии.

Ключевые слова: надежность; критерий; отказ; простой; резерв.

1. ВВЕДЕНИЕ

В соответствии с общепринятым определением надежности, данная величина характеризует вероятность успешного выполнения объектом (в рассматриваемом случае технологическим процессом проведения выработки) своих функций. Оценка указанной вероятности, соответственно, зависит от таких исходных составляющих, как круг принимаемых к учету факторов внешних воздействий и внутренних возможностей системы (процесса) по их компенсации.

2. ОСНОВНАЯ ЧАСТЬ

Среди принимаемых числовых критериев надежности наибольшее распространение получили коэффициенты готовности, определяемые как отношение чистого времени выполнения определенных операций к общей продолжительности их выполнения с учетом простоев. В рассматриваемом случае в качестве главного критерия предлагается использовать коэффициент готовности технологической схемы в целом, определяющийся по формуле

$$K_{r,cx} = \frac{t_u}{t_u + \Delta t_u}, \quad (1)$$

где t_u – продолжительность проходческого цикла при отсутствии простоев, мин ;

Δt_u – увеличение продолжительности цикла в результате простоев, мин.

Черта сверху здесь означает взятие среднего значения соответствующей случайной величины.

Для определения второго дополнительного критерия на основе анализа распределения вероятностей продолжительности проходческого цикла для различных технологических схем проведения выработок комбайновым и буровзрывным способами предлагается использовать вероятность отказа технологии q . Оценка числовых критериев надежности технологических схем проведения выработок (коэффициента готовности $K_{r,cx}$ и вероятности отказа q) производится на основе данных об интенсивностях потоков отказов и восстановлений отдельных видов проходческого оборудования в конкретных горнотехнических условиях и с учетом структурных параметров проходческого цикла. При этом целесообразно отдельно рассмотреть случай отсутствия и наличия резервирования операций и видов работ, которые выполняются при возникновении простоев. Отсутствие указанного резервирования означает, что любое отклонение от нормального течения проходческого цикла вызывает увеличение его продолжительности. В этом случае показатель $K_{r,cx}$ рассчитывается по известным формулам [1, 2], соответствующим параллельному (2) и последовательному (3) выполнению отдельных механизированных операций с продолжительностями t_i :

$$K_{r,cx} = \frac{1}{\sum_{i=1}^k \frac{1 - K_{\Gamma_i}}{K_{\Gamma_i}}}, \quad (2)$$

$$K_{r,cx} = \frac{\sum_{i=1}^k t_i}{\sum_{i=1}^k \bar{t}_{\Gamma i}}, \quad (3)$$

Вероятность отказа q определяется по формуле

$$q = 1 - e^{-\lambda t_u}, \quad (4)$$

где t_u – продолжительность проходческого цикла, мин; λ – суммарная интенсивность потока отказов (1/мин), определяемая по формулам (5) и (6) соответственно при параллельном и последовательном выполнении операции:

$$\lambda = \sum_{i=1}^k \lambda_i, \quad (5)$$

$$\lambda = \frac{\sum_{i=1}^k \lambda_i t_i}{\sum_{i=1}^k t_i}, \quad (6)$$

Для расчета критериев надежности технологической схемы с учетом резервирования операций разобъем проходческий цикл на m интервалов, характеризующихся постоянством внутри интервалов суммарных интенсивностей потоков отказов и восстановлений оборудования, а также пренебрежимо малой вероятностью возникновения на данном интервале более чем одного отказа. Пусть τ_i – продолжительность i -го интервала, мин; τ_{bi} – длительность восстановления оборудования после отказа, произошедшего на i -ом интервале, мин; τ_{oi} – продолжительность работы на i -ом интервале до возникновения отказа, мин; n -численность сменного звена проходчиков, чел.; T_{pezi}^H , T_{pezi}^c – соответственно трудоемкость работ, относимых к “неснижаемому” и к “снижаемому” резервам (т.е. к резерву, отдающемуся постоянным, и резерву, снижающемуся по ходу цикла), чел. - мин; λ_i , μ_i – суммарные интенсивности потоков отказов и восстановлений оборудования.

Тогда справедливы следующие соотношения:

$$\Delta t_{ii} = \max \left[0, \tau_{bi} - \frac{T_{pezi}^H}{n} - \frac{T_{pezi}^c (\tau_i - \tau_{oi})}{n \tau_i} \right], \quad (7)$$

$$\overline{\Delta t_{ii}} = \frac{m}{\sum_{i=1}^m} (1 - e^{-\lambda_i \tau_i}) \frac{1}{\mu_i} \cdot e^{-\frac{\mu_i}{n} T_{pezi}}, \quad (8)$$

где черта сверху означает взятие среднего значения случайной величины.

С помощью соотношения (8) нетрудно определить коэффициент готовности

$$K_{r,cx} = \frac{t_u}{t_u + \Delta t_u},$$

а величина

$$q = p\{\Delta t_u \geq 0\}$$

определяется на основе соотношения (7) по формуле

$$q = 1 - \prod_{i=1}^m e^{-\lambda_i \tau_i} \left[1 + \lambda_i \tau_i (1 - e^{-\frac{\mu_i \cdot T_{pezi}}{n}}) \right]. \quad (9)$$

3. ЗАКЛЮЧЕНИЕ

Таким образом, приведенные соотношения позволяют уже на стадии проектирования технологической схемы проведения выработки предварительно оценить уровень надежности технологии в различных условиях проходки, определить возможные диапазоны повышения надежности при увеличении безотказности работы и (или) ремонтопригодности оборудования, при введении дополнительных резервных работ, изменении структуры проходческого цикла.

ЛИТЕРАТУРА

- Прогрессивные технологические схемы разработки пластов на угольных шахтах. – М.: НГД им. А. А. Скочинского, 1979. Ч. I.- 333 с.
- Нильва Э.Э., Цейтин Н.Э. Горноподготовительные работы на угольных шахтах. М.: Недра, 1981.-280 с.
- Рахутин Г.С. Вероятностные методы расчета надежности, профилактики и резерва горных машин. – М.: Наука, 1970.-204 с.

ზაპ 624.191

ბგირაპების მშენებლობის ფექნოლოგიური სქემების საიმედოობის ანალიზი
შევასება

ი. გუჯაბიძე, რ. მჟავანაძე, ზ. ლებანიძე

სამთო ტექნოლოგიების დეპარტამენტი, საქართველოს ტექნიკური უნივერსიტეტი, საქართველო,
0175, თბილისი, კოსტავას 77

რეზიუმე: განსაზღვრულია გვირაბების მშენებლობის ტექნოლოგიური სქემების საიმედოობის შეფასების ძირითადი კრიტერიუმები საგამყვანო მოწყობილობების მტკუნების ნაკადის და აღდგენის ინტენსიურობის მონაცემების მიხედვით. ცალკე განიხილება სარეზერვო სამუშაოების არსებობის შემთხვევა, რომელიც შესაძლებელია შესრულდეს მოცდენის შემთხვევაში. ეს ანალიზი საშუალებას იძლევა გვირაბების გაყვანის ტექნოლოგიური სქემების საიმედოობის დონე შეფასდეს დაპროგრებას ეტაპზე.

საკვანძო სიტყვები: საიმედოობა; კრიტერიუმი; მტკუნება; მოცდენა; რეზერვი.

UDC 624.191**ANALYTICAL EVALUATION OF RELIABILITY OF THE TUNNEL CONSTRUCTION TECHNOLOGICAL SCHEMES**

I. Gujavidze, R. Mzhavanadze, Z. Lebanidze

Department of mining technologies, Georgian Technical University, 77, Kostava str, Tbilisi, 0175, Georgia

Resume: There are defined main criteria for evaluation of reliability of tunnel construction technological schemes are defined according to data on standstill of tunneling equipment and intensity of restoration. Also, the case of reserve works is separately discussed, that can be implemented in the event of standstill. Presented evaluation and analysis allow to estimate reliability level of technology at the stage of designing the tunneling technological scheme.

Key words: reliability; criterion; standstill; refusal; reserve.

მიღებულია დასაბუჭიდად 29.08.2013

ქოგის ტექნიკური და გეოლოგიური სამინისტრო

УДК 669.26

ОПРЕДЕЛЕНИЕ КОЭФФИЦИЕНТА УМЕНЬШЕНИЯ ЭФФЕКТИВНОЙ ПЛОЩАДИ ДИФФУЗИИ ПРИ ОКИСЛЕНИИ ЖАРОСТОЙКИХ СПЛАВОВ ХРОМА

И.Г. Нахуцришвили, О.И. Микадзе, Н.И. Майсурадзе*, Г.О. Микадзе

Департамент металлургии, материаловедения и обработки металлов, Грузинский технический университет, Грузия, 0175, Тбилиси, ул. Костава 69

E-mail: nmaisuradze@gtu.ge

Резюме: Предложена новая формула определения коэффициента уменьшения эффективной площади диффузии для процесса окисления особожаростойких сплавов с барьерными слоями из стабильных оксидов. Для надежного прогнозирования подобных сложных процессов наряду с подбором адекватной кинетической модели очень важно корректное вычисление параметров окисления. Пригодность новой расчетной формулы для построения теоретических кривых окисления демонстрируется на примере высокотемпературного окисления конструкционного сплава на основе хрома BX1 – 17Б.

Ключевые слова: кинетика; параметры окисления; диффузионные барьеры; расчетные формулы.

3. ВВЕДЕНИЕ

Процесс окисления сплавов, сопровождающийся уменьшением реакционной поверхности, принято описывать кинетическим уравнением [1]

$$W = \frac{1}{k} \ln(k\sqrt{k_p \tau} + 1), \quad (1)$$

где W – удельный привес системы сплав/окалина за время τ , k_p – параболическая константа скорости окисления, k – коэффициент уменьшения эффективной площади реакционной поверхности. Уравнение (1) выводится на базе выражения скорости процесса [1]:

$$\frac{dW}{d\tau} = \frac{k_p}{2W} e^{-kW}, \quad (2)$$

учитывающего, что в отсутствие изменения поверхности ($k = 0$) процесс протекает по «простому» параболическому закону $W^2 = k_p \tau$. Входящие в рассматриваемые уравнения константы k_p и k определяются путем графической обработки экспериментальной кинетической зависимости удельного привеса, которая, согласно уравнению (2), в координатах $dW/dt - 1/W$ в первом приближении является прямолинейной [2].

В работах [3,4] предложены иные способы определения констант k_p и k . В частности, для вычисления коэффициента k выведена формула, применимая для процессов высокотемпературного окисления жаростойких сплавов хрома BX1-17A [4]. Вывод указанной формулы основывается на предположении, что мгновенная начальная скорость процесса $k_r = \infty$. Однако для некоторых других сплавов хрома (напр., BX1-17Б) такое допущение не приводит к корректному соответству экспериментальных и расчетных данных. Поэтому в настоящей работе предпринята попытка вывода более общей формулы, учитывающей возможность протекания процесса с любой возможной начальной скоростью.

С этой целью в качестве исходной использована неявная кинетическая зависимость удельного привеса [5]

$$\begin{aligned} \tau = & \frac{2}{k^2 k_p} \left[e^{kW} (kW - 1) - e^{kW_0} (kW_0 - 1) \right] + \\ & + \frac{1}{k_r k} (e^{kW} - e^{kW_0}) \end{aligned} \quad (3)$$

(k_r – прямолинейная константа скорости процесса, W_0 – начальный удельный привес), корректно описывающая процесс окисления некоторых сплавов хрома на воздухе [6]. Уравнение (3) представляет собой интегральную форму выражения скорости удельного привеса

$$\frac{dW}{d\tau} = \frac{k_p}{2W + k_p/k_r} \quad (4)$$

с граничным условием $\tau = 0, W = W_0$. Последнее уравнение выведено на допущении, что при $k = 0$ процесс протекает по «сложному» параболическому

закону $\frac{W}{k_r} + \frac{W^2}{k_p} = \tau + \tau_0$. Здесь τ_0 – сдвиг по временной оси, соответствующий наличию при $\tau = 0$ начального удельного привеса W_0 . Из уравнения (4) видно, что при

$$\tau = \tau_0, W = 0, \left. \frac{dW}{d\tau} \right|_{\tau = \tau_0, W = 0} = k_r.$$

Введем новый параметр – скорость удельного привеса в точке $\tau = 0, W = W_0$:

$$\left. \frac{dW}{d\tau} \right|_{\tau=0, W=W_0} \equiv k_0 = \frac{k_p}{2W_0 + k_p/k_r} e^{-kW_0}. \quad (5)$$

На схематическом изображении зависимости $W(\tau)$, представленной на рис.1, $k_r = \tan \alpha$ и $k_0 = \tan \beta$. Видоизменим уравнение (5) следующим образом:

$$k = \frac{1}{W_0} \ln \frac{k_p/k_0}{2W_0 + k_p/k_r}. \quad (6)$$

Таким образом, определив по экспериментальной кинетической зависимости удельного привеса параметры W_0 , k_r , k_p и k_0 , с помощью формулы (6) можно вычислить и параметр k .

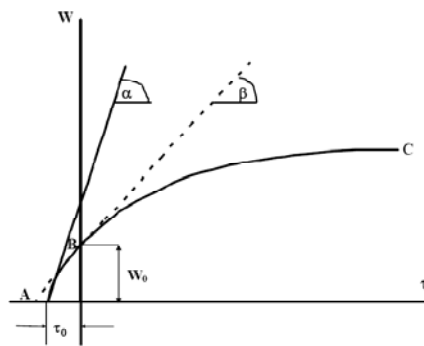


Рис. 1. Схематическое изображение кинетической кривой привеса сплава: AB – участок, соответствующий нарастанию температуры от комнатной до оперативной, BC – участок, соответствующий изотермическому процессу

4. ОСНОВНАЯ ЧАСТЬ РЕЗУЛЬТАТЫ ИССЛЕДОВАНИЙ И ИХ ОБСУЖДЕНИЕ

Продемонстрируем возможность практического применения полученной формулы с использованием экспериментальных данных по окислению сплава ВХ1-17Б [7] на воздухе. На рис. 2 а,б представлены кинетические кривые, полученные при температурах 1300 и 1400°C, а в таблице приведены определенные по ним параметры процесса. С использованием данных для 1300°C можно составить эмпирическое выражение по уравнению (1). Это уравнение получено при граничном условии $\tau = 0, W = 0$ [1]; однако легко показать, что при $\tau = 0, W = W_0$ оно видоизменится следующим образом:

$$W = \frac{1}{k} \ln(k \sqrt{k_p \tau} + e^{kW_0}) \quad (7)$$

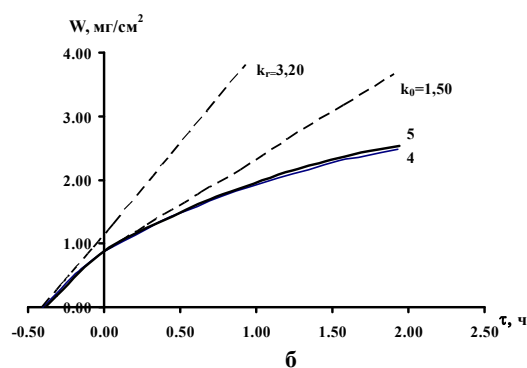
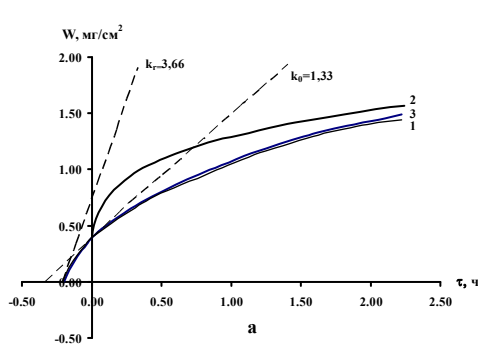


Рис.2. Привес сплава ВХ1-17Б на воздухе при 1300 (а) и 1400°C (б): 1 и 4 – экспериментальные кривые, 2 – по уравнению (7), 3 и 5 – по уравнению (3).

Кинетические параметры окисления сплава ВХ1-17Б на воздухе

$t, ^\circ C$	$W_0, \text{мг}/\text{см}^2$ (*)	$k_0, \text{мг}/\text{см}^2\cdot\text{час}$ (*)	$k_r, \text{мг}/\text{см}^2\cdot\text{час}$	$k_p, \text{мг}^2/\text{см}^4\cdot\text{час}$ (**) (***)	$k, \text{см}^2/\text{мг}$	
					по формуле (6)	(**)
1300	0,4	1,33	3,66	2,48	0,58	0,64
1400	0,83	1,5	3,20	4,90	0,02	—

(*) – экспериментальные данные, (**) – по методике [2], (***) – по методике [3]

и соответственно, для температуры $1300^\circ C$ будем иметь:

$$W = 1,56 \ell n(1,01\sqrt{\tau} + 1,29), \quad (8)$$

где W – в $\text{мг}/\text{см}^2$, τ – в час. Построенная по этому уравнению теоретическая кривая показана на рис.2а. Из рисунка видно некоторое расхождение экспериментальной и теоретической кривых. Подставляя в формулу (6) табличные данные для рассматриваемой температуры, получим: $k \approx 0,58 \text{ см}^2/\text{мг}$. Тогда по уравнению (3) будем иметь:

$$\begin{aligned} \tau &= 2,41[e^{0,58W}(0,58W - 1) + 0,97] + \\ &+ 0,47(e^{0,58W} - 1,26) \end{aligned} \quad (9)$$

(W – в $\text{мг}/\text{см}^2$, τ – в час). Построенная по этому уравнению теоретическая кривая также показана на рис. 2а.

С использованием табличных данных по окислению сплава ВХ1–17Б при температуре $1400^\circ C$, по формуле получим $k \approx 0,02 \text{ см}^2/\text{мг}$ и соответственно, по уравнению (3)

$$\begin{aligned} \tau &= 843,3[e^{0,02W}(0,02W - 1) + 1] + \\ &+ 14,20(e^{0,02W} - 1,02), \end{aligned} \quad (10)$$

где W – в $\text{мг}/\text{см}^2$, τ – в час. Построенная по последнему уравнению кинетическая кривая представлена на рис. 2б. Из рисунка видно хорошее соответствие экспериментальной и теоретической кривых.

3. ЗАКЛЮЧЕНИЕ

Таким образом, полученную в настоящей работе формулу (6) можно использовать для определения коэффициента уменьшения реакционной поверхности

в процессах с образованием в окалине барьерных оксидов, в частности, при окислении жаростойких сплавов хрома.

ЛИТЕРАТУРА

- Evans U. An Introduction to Metallic Corrosion//1981, Arn. Publ. London.- 302p.
- F. Tavadze, O. Mikadze, N. Keshelava, B. Bulia. High-Temperature Corrozon of Dilute Chromium-Lanthanum Alloys. // Oxidation of Metals, 1986, 25, N5/6, pp. 335-349.
- O. Mikadze, I. Nakhutsrishvili, T. Dzigrashvili, N. Maisuradze. Calculation of Oxidation Kinetic Parameters for Heat Resistant Alloys with Decreasing Effective Diffusion Area. //Metallofiz. Noveishie Tekhnol. 2010, 32, 4, pp. 543–548.
- ო. მიქაელი, ი. ნახუცრიშვილი, ნ. მაისურაძე, გ. მიქაელი, ბ. ხარშილაძე მხერვალმედევგი შენადნობების მაღალტემპერატურული ჟანგვის პარამეტრების გამოვლენა ევანსის კონცეპტუალური თეორიის საფუძველზე //სტუდია შრომები, №4(486), 2012, გვ. 35-38.
- I. Nakhutsrishvili. Georgian Engineering News, 2006, N4, pp. 134-138.
- Микадзе О.И., Нахуцришвили И.Г., Майсурадзе Н.И., Микадзе Г.О. Математическая модель высокотемпературного окисления малолегированных сплавов хрома// Металлофизика и новейшие технологии. 2012, 34, №3, с.377-381.
- Конструкционные сплавы хрома//Сб. Научных трудов под редакцией В.И. Трефилова. Киев: Наукова думка, 1986.- 216 с.

შაპ 669.26

**დიფუზიის ეფექტური ზედაპირის შემცირების კოეფიციენტის განსაზღვრა
ძროშის მხრვალებები შენადნობის შანბვისას**

ი. ნახუტრიშვილი, ო. მიქაძე, ნ. მაისურაძე, გ. მიქაძე

მეტალურგიის, მასალათმცოდნების და ლითონების დამუშავების დეპარტამენტი, საქართველოს
ტექნიკური უნივერსიტეტი, საქართველო, 0175, თბილისი, კოსტავა 69

რეზიუმე: შემოთავაზებულია დიფუზიის ეფექტური ფართობის შემცირების კოეფიციენტის განსაზღვრის ახალი ფორმულა სტაბილური ოქსიდების ბარიერული ფენების მქონე მხრვალმედეგი შენადნობების ჟანგვის პროცესისათვის. ასეთი რთული პროცესების საიმედო პროგნოზირებისათვის ადგავატური კინეტიკური მოდელის შერჩევასთან ერთად ძალიან მნიშვნელოვანია ჟანგვის პარამეტრების კორექტული გამოთვლა. ახალი საანგარიშო ფორმულის ვარგისობა ჟანგვის თეორიული მრუდების ასაგებად დემონსტრირებულია ქრომის კონსტრუქციული შენადნობის (BX1-17Б) მაღალტემპერატურული ჟანგვის მაგალითით.

საკვანძო სიტყვები: კინეტიკა; ჟანგვის პარამეტრები; დიფუზიური ბარიერი; საანგარიშო ფორმულა.

UDC 669.26**DETERMINATION OF A COEFFICIENT OF DECREASING EFFECTIVE DIFFUSION AREA IN OXIDATION
OF HEAT-RESISTING CHROMIUM ALLOYS**

I. Nakhutsrishvili, O. Mikadze, N. Maisuradze, G. Mikadze

Department of metallurgy, materials science and metal-working, Georgian Technical University, 69, Kostava str, Tbilisi,
0175, Georgia

Resume: There was proposed the new formula for determination coefficient of decreasing effective diffusion area in oxidation of heat-resisting alloys with barrier layers of stable oxides. For reliable prediction of the similar complex processes along with the most adequate kinetic model application is very important to calculate correctly the oxidation parameters. The suitability of the obtained formula for construction of theoretical oxidation curves is demonstrated by means of high-temperature oxidation of chromium structural alloy BX1-17Б.

Key words: kinetics; oxidation parameters; diffusion barriers; calculation formula.

მიღებულია დასაბუქდარ 12.06.2013

УДК 615.1:663.1.88**КОЛИЧЕСТВЕННОЕ ОПРЕДЕЛЕНИЕ ФЛАВОНОИДОВ В НАСТОЙКЕ СЛОЖНОГО СОСТАВА****И.В. Цомая, Т.Г. Цинцадзе, Н.Дж. Геловани*, Х.Дж. Цикаришвили, К. Т. Бацикадзе**

Департамент фармации, Грузинский технический университет, Грузия, 0175, Тбилиси, ул. Костава 69

E-mail: n.gelovani@gtu.ge

Резюме: Разработана методика количественного определения флавоноидов в настойке сложного состава. Методом дифференциальной спектрофотометрии проведена реакция комплексообразования флавоноидов, позволяющая применять в качестве контроля испытуемый раствор без реагента. Сочетание методики и исчисления суммы содержания флавоноидов препарата по формуле снижает возможность систематической ошибки. Результатом исследования является разработанная методика, обладающая высокой точностью.

Ключевые слова: флавоноиды; спектрофотометрия; рутин; хлорид алюминия; методика.

5. ВВЕДЕНИЕ

Настойка сложного состава была создана для восстановления организма после радиационного облучения как общеукрепляющее средство, показанное для лечения гипотонии, астении астенодепрессивных состояний, неврастений, для профилактики и лечения умственного и физического переутомления.

6. ОСНОВНАЯ ЧАСТЬ

В состав настойки входит растительное сырье следующего состава: плоды шиповника, плоды абрикоса, плоды боярышника, плоды калины, корневища и корни девясила, плоды черной смородины, листья крапивы, корневища лопуха, листья мать-и-мачехи, корневища аира, корни одуванчика, корневища и корни солодки, трава зверобоя, трава пустырника, плоды укропа, плоды облепихи, трава фиалки, трава душицы, семена кориандра, плоды рябины обыкновенной, трава тысячелетника, плоды можжевельника, листья мяты перечной, лист подорожника, слоевища ламинарии, цветы пижмы, трава золототысячника, соплодия ольхи, семена льна, цветки бессмертника.

Состав дан из расчета на 1000 мл готового продукта.

В связи с тем, что в состав препарата лекарственное сырье входит в малых количествах, количественно возможно определить только те действующие вещества, которые присутствуют во многих лекарственных растениях: самыми распространенными действующими веществами в данном сырье являются флавоноиды [3,5,6].

В связи с изложенным выше, целью данного исследования было: разработать методику количественного определения флавоноидов и установить возможность использования её для настойки сложного состава.

Для количественного определения флавоноидов в растительном сырье и фитопрепаратах предложен спектрофотоколориметрический метод после выделения и очистки флавоноидов [2,4,7]. Мы не могли использовать метод прямой спектрофотометрии после выделения и очистки флавоноидов от сопутствующих веществ, т.к. при очистке теряется большое количество флавоноидов и получаются заниженные результаты.

Нами применена дифференциальная спектрофотометрия после проведения реакции комплексообразования флавоноидов с хлоридом алюминия, который вызывает батохромный сдвиг одной полосы поглощения с 330-350 нм до 350-410 нм. Это позволяет применять в качестве контроля испытуемый раствор без реагента и тем самым исключить влияние сопутствующих веществ, а следовательно, исключить стадию очистки раствора от экстрактивных веществ. Для получения более воспроизводимых результатов реакцию комплексообразования проводят в среде 50-60%-ного этанола [1].

В качестве стандартного вещества выбран рутин, дифференциальный спектр поглощения которого с хлоридом алюминия в предлагаемых условиях совпадает с дифференциальным спектром флавоноидов препарата.

Методика. 20 мл препарата помещают в выпарительную чашку, прибавляют 2 мл разведенной хл-

ористоводородной кислоты и упаривают на кипящей водяной бане до 10 мл. Водный остаток в выпарительной чашке охлаждают до комнатной температуры и помещают в стеклянную колонку диаметром 1 см, высотой 25 см с 0,5 г полиамида, выпарительную чашку и колонку промывают 10 мл воды. Когда над сорбентом остается слой жидкости 1-2 мл, водный элюат отбрасывают. Элюирование суммы флавоноидов проводят 25 мл 96%-ного этанола, который добавляют в колонку постепенно, порциями по 5 мл; первые порции элюата (бесцветные и прозрачные) собирают в градуированную пробирку вместимостью 10 мл диаметром 1 см. Когда элюент приобретает окраску и объем окрашенного элюента в пробирке достигает 1 мл, мерную пробирку убирают (граница раздела бесцветного водного и окрашенного спиртового слоев элюата в пробирке хорошо различимы визуально). Элюент из пробирки отбрасывают. Последующие порции элюата собирают в мерную колбу вместимостью 25 мл, объем элюата в колбе доводят 96%-ным этанолом до метки и перемешивают.

В две мерные колбы вместимостью 25 мл отмеривают по 10 мл элюата. В одну колбу добавляют 5 мл 3% спиртового раствора хлорида алюминия и доводят объем раствора в колбах 96%-ным спиртом до метки.

Через 30 минут измеряют оптическую плотность полученного раствора с помощью спектрофотометра при длине волны 407 ± 3 нм в кювете с толщиной слоя 10 мм, используя в качестве раствора сравнения содержимое второй колбы. Параллельно измеряют оптическую плотность раствора, содержащего 1 мл РСО (раствора стандартного образца) рутинса, обработанного аналогично испытуемому раствору, используя в качестве раствора сравнения раствор, содержащий 1 мл РСО рутинса, помещенного в мерную колбу вместимостью 25 мл и доведенного 96%-ным спиртом до метки.

Содержание суммы флавоноидов в препарате в процентах в пересчете на рутин вычисляют по формуле

$$X = \frac{D \times m \times 1 \times 25 \times 25 \times 100}{D_0 \times 100 \times 25 \times 20 \times 10} = \frac{D \times m}{D_0 \times 8},$$

где D – оптическая плотность испытуемого раствора;

D_0 – оптическая плотность РСО рутинса;

m – масса навески рутинса в граммах.

Содержание суммы флавоноидов в препарате на рутин должно быть не менее 0,003%.

Примечание. 1. Приготовление РСО рутина. Около 0,05 г (точная навеска) рутинса (ГФ X, ст. 558), предварительно высущенного при температуре от 130 до 135 °C в течение 3 ч, растворяют в 50 мл 96%-ного спирта в мерной колбе вместимостью 100 мл при нагревании на кипящей водяной бане, охлаждают до комнатной температуры, доводят объем раствора 96%-ным спиртом до метки и перемешивают.

Срок годности раствора - 1 мес.

2. Приготовление раствора хлорида алюминия. 3 г хлорида алюминия (ГОСТ 3759-75) растворяют в 50 мл 96%-ного спирта в мерной колбе вместимостью 100 мл, доводят объем раствора 96%-ным спиртом до метки и перемешивают.

Срок годности раствора - 3 мес.

3. Приготовление колонки. 0,5 г полиамида для колоночной хроматографии (ТУ 6-09-10-822-73) помещают в стакан вместимостью 50 мл, прибавляют 20 мл воды, перемешивают и выливают через воронку в колонку диаметром 1,5 см и высотой 25 см; в каждую часть колонки предварительно помещают небольшой ватный тампон, смоченный водой, колонку заполняют при открытом кране. Элюирование проводят со скоростью 4 мл/мин, не допуская обнажения поверхности сорбента. Толщина слоя жидкости над сорбентом должна быть не менее 2-3 мм.

Методика была апробирована с целью изучения воспроизводимости и точности. Полученные результаты представлены в табл. 1.

Таблица 1

**Метрологические характеристики
количественного определения
флавоноидов в настойке**

f	\bar{X} , г	$S\bar{X}$	P, %	T (p,f)	$\Delta\bar{X}$	A ±, %
9	0,0044	0,00009	95	2,26	0,00020	4,62

Из табл. 1 следует: ошибка единичного определения при доверительной вероятности 0,95 не превышает $\pm 5,0\%$.

Отсутствие систематической ошибки доказано проведением опытов с добавкой рутинса. Полученные результаты представлены в табл. 2.

Таблица 2

Результаты количественного определения флавоноидов с использованием метода добавок

№ п/п	Найдена сумма флавоноидов г/100 мл	Добавлено рутина г/100 мл	Должна быть найдена сумма флавоноидов и рутина г/100 мл	Найдена сумма флавоноидов и рутина г/100 мл	Относительная ошибка, %
1	0,0044	0,0011	0,0055	0,0053	- 3,6
2	0,0060	0,0015	0,0075	0,0074	+ 1,4
3	0,0047	0,0024	0,0071	0,0073	+ 2,8
4	0,0051	0,0026	0,0077	0,0075	- 2,6
5	0,0037	0,0028	0,0065	0,0067	+ 3,1

Результаты показывают отсутствие систематической ошибки.

В табл. 3 представлены результаты количественного определения флавоноидов в производственных образцах настойки сложного состава.

Таблица 3

Серия препаратов	Содержание флавоноидов, %
010211	0,0059
020411	0,0055
040511	0,0050
101211	0,0044
111211	0,0035

На основании результатов установлен предел содержания флавоноидов в препарате не менее 0,003%.

3. ЗАКЛЮЧЕНИЕ

1. Разработана методика количественного определения флавоноидов в настойке сложного состава, основанная на образовании комплексного соединения флавоноидов с раствором хлорида алюминия и измерении оптической плотности с помощью спектрофотометра при длине волны 407 нм.

2. Разработанная методика обладает достаточной точностью. Относительная ошибка определения при доверительной вероятности 0,95 не превышает $\pm 4,62\%$.

ЛИТЕРАТУРА

- Клышев Л.К., Бандюкова В.А., Алюкина Л.С. Флавоноиды растений. Алма-Ата: Наука, 1978. - 220 с.
- Костенникова З.П., Панова Г.А., Дамбраускене Р. Количественное определение флавоноидов в календуле- настойке методом УФ-спектрометрии// Фармация, 1984, № 6, с.33-35.
- Муравьев Д.А. Фармакогнозия. М.:Медицина, 1991. – 560 с.
- Попов Д.М., Пащинская Е.В., Коваленко Л.И. Контроль качества сырья и препаратов пустырника спектрофотометрическим методом//Фармация, 1982, № 4, с.27-31.
- Растительные лекарственные средства./ Н.П. Максютина, Н.Ф. Нестеренко, А.П. Прокопенко и др. под редакцией Н.П. Максютиной. К// Здоровье, 1985. – 280 с.
- Химический анализ лекарственных растений./Ладыгина Е.Я., Сафонович Л.И., Отряшенкова В.Я. и др. Под редакцией Гринкович Н.И., Сафонович Л.И. – М.: Высшая школа, 1983. - 176с.
- Экстракция флавоноидов и их спектрофотометрическое определение/Кривенчук Н.В., Куркин Н.В., Литвинов С.Д. и др. Синтез и свойства биологически активных соединений. Куйбышев, 1984, с.125-129.

შაპ 615.1:663.1.88**ფლავონოიდების განსაზღვრა რთული შედგენილობის ნაყოფი**

ი. ცომაია, თ. ცინცაძე, ნ. გელოვანი, ხ. წიქარიშვილი, კ. ბაციკაძე

ფარმაციის დეპარტამენტი, საქართველოს ტექნიკური უნივერსიტეტი, საქართველო, 0175, თბილისი,
კოსტავა 69

რეზიუმე: შემუშავებულია რთული შედგენილობის ნაყენიდან ფლავონოიდების რაოდენობრივად განსაზღვრის მეთოდიკა. ფლავონოიდების კომპლექსების რეაქცია ჩატარებულია დიფერენციალური სპექტრომეტრის მეთოდით, რაც შესაძლებელს ხდის საკვლევი სხნარის რეაქტივის გარეშე გამოყენებას. აღნიშნული მეთოდიკის და ფლავონოიდების ჯამის გამოთვლის ურთიერთშერწყმა ამცირებს სისტემური შეცდომის ალბათობას. შემუშავებული მეთოდიკა გამოირჩევა დიდი სიზუსტით, რაც კვლევის დადგბით შედეგად შეიძლება ჩაითვალოს.

საკვანძო სიტყვები: ფლავონოიდები; სპექტროფოტომეტრია; რეაქცია; ალუმინიუმ ქლორიდი; მეთოდიკა.

UDC 615.1:663.1.88**QUANTITATIVE DEFINITION FLAVONOIDS IN THE TINCTURE OF DIFFICULT STRUCTURE**

I. Tsomaia, T. Tsintsadze, N. Gelovani, Kh. Tzikarishvili, K. Batsikadze

Pharmacy department, Georgian Technical University, 69, Kostava str, Tbilisi, 0175, Georgia

Resume: There is developed the technique of quantitative definition flavonoids in the tincture of difficult structure. The method of differential spectrometer spends reaction eddied flavonoids complexes, allowing to apply as the control the examinee solution without reactant. The combination of the technique and calculation of the sum of the maintenance flavonoids preparation under the formula reduces possibility of a regular error. Result of research is the developed technique possessing high accuracy.

Key words: Flavonoids; spectrometer; routines; aluminium chloride; technique.

მიღებულია დასაბუჭილად 29.05.2013

სატრანსპორტო და ავტომატური გებლობის სისტემა

УДК 621.9(07)

ПОСТРОЕНИЕ МАТЕМАТИЧЕСКОЙ МОДЕЛИ ДИНАМИКИ ПРИВОДА КРУГЛОПИЛЬНОГО СТАНКА

З.Д. Читидзе, Т.Ф. Мchedlishvili, И.Н. Гелашвили*, В.В. Абаишвили, М.З. Читидзе

Лесо-технический департамент, Грузинский технический университет, Грузия, 0175, Тбилиси, ул. Костава 68⁶

E-mail: igor.gelashvili@yahoo.com

Резюме: Разработана расчетная схема, определяющая моменты инерции вращающихся деталей круглопильного станка; приведены характеристики упругих звеньев привода; определены модули упругости плоских, прорезиненных, хлопчатобумажных и волосяных ремней. Построена математическая модель динамики исследуемой системы с использованием уравнения Лагранжа 2-го ряда.

Ключевые слова: математическая модель; динамика привода; круглопильный станок; модуль упругости плоских ремней; уравнение Лагранжа.

1. ВВЕДЕНИЕ

Известно, что при распиловке различных древесных композиционных материалов необходимо устанавливать то число оборотов шпинделя, которое регламентировано эксплуатационными характеристиками инструмента и инструментального материала. Поэтому станочный привод имеет определенное число ступеней шпинделя.

При изменении чисел оборотов шпинделя путем изменения кинематической цепи, на каждой ступени чисел оборотов динамические характеристики привода различны.

Все вращающиеся детали рассматриваемого привода можно рассматривать как элементы с сосредоточенными массами. Для вычисления моментов инерции детали, последнюю разбивают на участки пос-

тоянного диаметра, определяют момент инерции каждого участка и затем их суммируют.

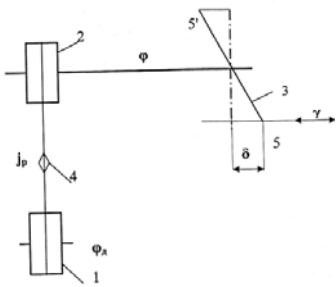
2. ОСНОВНАЯ ЧАСТЬ

Для определения расчетными способами динамических характеристик привода (см. рис.) необходимо сначала подготовить расчетную схему, т.е. вычислить моменты инерции вращающихся деталей, приведенные моменты звеньев, осуществляющих линейные перемещения, вычислить жесткости (податливости) упругих звеньев между звенями, характеристики демпфирования, привести эти элементы к цепной системе, а также вычислить характеристики приводных двигателей.

В рассматриваемом случае (см. рис.) мы имеем дело с приведенными моментами инерции J_{m1} и J_{m2} , где J_{m1} – общий момент инерции вращающихся деталей, укрепленных на валу приводного двигателя; J_{m2} – общий момент инерции деталей: ведомых шкивов, шпинделя вместе с установленной на нем пилой.

Ременную передачу считаем упругой. Также при более широком подходе к расчетной схеме можно рассматривать пилу упругой в направлении оси шпинделя, т.е. в этом направлении возможны упругие деформации последней за счет существования определенного углового несовпадения плоскости вращения пилы с вертикальной плоскостью.

С учетом вышеизложенного в первом приближении схема механической части системы привода может быть представлена схемой, приведенной на рис.



Структурная расчетная схема

На рис: 1 – вращающиеся звенья с моментом инерции J_{m1} ; 2 – вращающиеся звенья с моментом инерции J_{m2} ; 3 – дисковая пила; 4 – ременная передача; $i_p = \frac{\omega}{\omega_c}$ – передаточное отношение ременной передачи; g – точка приведения упругодеформируемой массы в направлении оси γ параллельной оси шпинделя; максимальная величина переноса оси пилы за 1 оборот шпинделя; φ_d и φ – соответственно угловые координаты вращения двигателя и шпинделя станка

Для построения математической модели динамики вводим в рассмотрение упругие перемещения $\Delta\varphi$ и упругие перемещения ΔY в направления оси Y .

Обобщенными координатами являются φ_d , φ и Y , где Y – осевые движения точки 5 пилы.

Для перехода к цепной системе осуществляем приведение моментов инерции и упругих деформаций к обобщенной координате φ . Для приведения моментов инерции звеньев, вращающихся совместно с валом двигателя, используем зависимость [6-8]

$$J_1 = \frac{J_{m1}}{J_p} = \frac{J_{m1}\omega_{db}}{\omega}, \quad (2)$$

где J_1 – приведенный к валу шпинделя момент. Соответственно в дальнейших расчетах будем использовать обозначения $J_2 = J_{m2}$.

Податливость ременной передачи определяется деформациями ремня под действием окружной силы. Так как обычно ремни надеваются на шкивы с предварительным натяжением, то окружная сила воспринимается обеими ветвями передачи. Однако при больших передаваемых нагрузках, которые превышают двойную величину силы P_0 предварительного натяжения, вся нагрузка воспринимается одной ветвью передачи [1].

Приведенная крутильная податливость ременной передачи

$$e_p = \frac{\ell_{\text{eff}}}{aR^2FE}, \quad (3)$$

где R – радиус шкива на валу, к которому приводится податливость в см;

ℓ_{eff} – эффективная (расчетная) длина ветви ремня между шкивами в см;

F – площадь поперечного сечения ремня в см^2 ;

E – модуль упругости ремня;

α – коэффициент, учитывающий влияние предварительного натяжения ($\alpha = 2$, если $P < 2P_0$; $\alpha = 1$, если $P > 2P_0$; когда величина P близка к $2P_0$ и при колебаниях периодически ее превышает, при нормальной эксплуатации $\alpha = 2$).

Ниже дана величина F для стандартных клиновых ремней.

Расчетная длина ветви ℓ_{eff} больше, чем расстояние ℓ между точками касания со шкивами, так как участки ремня, находящегося на краях области охвата, принимают участие в колебаниях тем большее, чем когда они находятся краю и чем больше скорость ремня, так как центробежные силы уменьшают сцепление ремня со шкивом.

Профиль ремня	0	А	Б	В	Г	Д	Е
Площадь сечения (см^2)	0,47	0,81	1,38	2,3	4,76	6,92	11,7

Обработка данных позволила получить формулу

$$\ell_{\text{eff}} = \ell + \frac{V}{100}(R_1\alpha_1 + R_2\alpha_2) = \ell + \frac{V}{100} \left[\Pi(R_1 + R_2) + \frac{2(R_1 + R_2)^2}{L} \right], \quad (4)$$

где V – окружная скорость ремня в м/сек;

R_1 , R_2 – радиусы шкивов в см;

L – межосевое расстояние передачи в см;

α_1 , α_2 – соответствующие углы охвата в ряд [1].

Обычно в станках $\frac{2(R_1 + R_2)^2}{L} \leq \Pi(R_1 + R_2)$, при

этом

$$\ell_{\text{eff}} = \ell + 0,03V(R_1 + R_2) = \sqrt{L^2 - (R_1 + R_2)^2} + 0,03V(R_1 + R_2). \quad (5)$$

Модуль упругости:

плоских прорезиненных ремней $E = (0,8 \div 1,2) \cdot 10^3 \text{ кг}/\text{см}^2$;

плоских хлопчатобумажных ремней $E = (0,3 \div 0,6) \cdot 10^3 \text{ кг}/\text{см}^2$;

по американским данным для кожаных ремней $E = 1,4 \cdot 10^3 \text{ кг}/\text{см}^2$;

тканых хлопчатобумажных ремней $E = 2,8 \cdot 10^3$ кг/см²;

тканых волосяных ремней $E = 2,1 \cdot 10^3$ кг/см²;

прорезиненных («балата») ремней $E = 2,1 \cdot 10^3$ кг/см²;

для плоских быстроходных ремней из высокополимерных материалов (капрон, перлон, полиэфиры) $E = (22,5 \div 38) \cdot 10^3$ кг/см².

По данным ЭНИМС, для отечественных капроновых ремней E близок к верхнему из приведенных значений. В плоских зубчатых ремнях, получивших большое распространение, в качестве корда используют стальные тросики, поэтому жесткость их очень велика. Модуль упругости таких ремней может лежать в пределах $(60 \div 390) \cdot 10^3$ кг/см².

Для клиновых ремней с тканевым хлопчатобумажным кордом рекомендуется $E = (0,6 \div 1,2) \cdot 10^3$ кг/см².

Однако экспериментальное исследование, проведенное в ЭНИМС, показало, что модуль упругости клиновых ремней с хлопчатобумажным кордом, находящихся длительное время под действием силы предварительного натяжения, больше, чем у тех же ремней, не подвергавшихся перед измерением модулю предварительному натяжению. Повышение модуля упругости у новых ремней больше, чем у приработанных и составляет от 20 до 100%; это вызвано, очевидно, постепенной ориентацией по направлению действия силы волокон корда. Кроме того, жесткость ремней при колебаниях больше, чем при статическом нагружении. С учетом этих факторов для клиновых кордтканевых ремней профилей А и Б следует принимать $E = (2,5 \div 4) \cdot 10^3$ кг/см²; для больших профилей значение E следует принимать несколько меньшее. Для клиновых кор-

дтканевых ремней рекомендуется $E = 2,45 \cdot 10^3$ кг/см².

Для клиновых ремней со шнуроным хлопчатобумажным кордом, с учетом указанных факторов, $E = (6 \div 8) \cdot 10^3$ кг/см²; для клиновых ремней со шкурковым кордом из волокна анид E почти не зависит от предварительного натяжения и равен $2 \cdot 10^3$ кг/см².

Установка ремней в передачу (т.е. длительное действие предварительного натяжения) и динамичность нагружения должны сказываться и на величинах модулей упругости плоских прорезиненных и хлопчатобумажных ремней. По аналогии с экспериментальными данными по клиновым ремням можно рекомендовать увеличить приведенные выше значения E в 2 раза.

Коэффициент жесткости пилы C_n в направлении γ наиболее целесообразно определять экспериментально. Приведенную к точкам 5 и 5' массу пилы обозначим через M_n .

Для построения математической модели динамики исследуемой системы используем уравнение Лагранжа 2-го ряда

$$\frac{d}{dt} \left(\frac{\partial L}{\partial \dot{q}_i} \right) - \frac{\partial L}{\partial q_i} = F_{bh} - \frac{\partial \Phi}{\partial q_i}, \quad (6)$$

где L – функция Лагранжа $L = T - \Pi$;

T – кинетическая энергия;

Π – потенциальная энергия;

q_i – обобщенные координаты;

Φ – диссипативная функция.

Для рассматриваемого случая φ_m , φ , и J , $\varphi_1 = \varphi_{\text{дв}} \cdot i_p$,

F_{bh} – обобщенная сила.

Записываем выражения кинематической T и потенциальной Π энергии:

$$T = J_1 \frac{\dot{\varphi}_1^2}{2} + J_2 \frac{\dot{\varphi}_2^2}{2} + M_n \frac{\dot{Y}^2}{2} + M_n \frac{\dot{Y}_1^2}{2}; \quad (7)$$

$$\Pi = C_r \frac{(\varphi_1 - \varphi)}{2} + C_n \frac{\Delta Y^2}{2}; \quad (8)$$

$$\Phi = b_r \frac{(\dot{\varphi}_1 - \dot{\varphi}_2)^2}{2} + b_n \frac{(\Delta \dot{Y})^2}{2}, \quad (9)$$

где $Y = \delta \sin \varphi + \Delta Y$; $Y_1 = -\delta \sin \varphi + \Delta Y_1$.

В развернутой форме будем иметь:

$$T = J_1 \frac{\dot{\varphi}_1^2}{2} + J_2 \frac{\dot{\varphi}_2^2}{2} + m_n \frac{1}{2} (\delta \cos \varphi \cdot \dot{\varphi} + \Delta \dot{Y})^2 + m_n \frac{1}{2} (\delta \cos \dot{\varphi} + \Delta \dot{Y}_1)^2. \quad (10)$$

Определим отдельные составляющие формулы (6):

$$\frac{\partial L}{\partial \dot{\varphi}} = \frac{\partial T}{\partial \dot{\varphi}},$$

$$\frac{\partial T}{\partial \dot{\phi}} = \frac{\partial}{\partial \dot{\phi}} \left[J_1 \frac{\dot{\phi}_1^2}{2} + J_2 \frac{\dot{\phi}^2}{2} + m_n \frac{(\delta \cos \varphi \cdot \dot{\phi} + \Delta \dot{Y})^2}{2} + m_n \frac{(\delta \cos \dot{\phi} + \Delta \dot{Y}_1)^2}{2} \right] = \\ = J_2 \dot{\phi}_0 + m_n (\delta \cos \varphi \dot{\phi} + \Delta \dot{Y}) \delta \cos \varphi + m_n (-\delta \cos \varphi \dot{\phi} + \Delta \dot{Y}_1) (-\delta \cos \varphi) = J_2 \dot{\phi}_0 + m_n \delta^2 \cos^2 \varphi \dot{\phi} + m_n \delta^2 \cos \varphi \Delta \dot{Y} + \\ + m_n \delta^2 \cos^2 \varphi \dot{\phi} - m_n \delta \cos \varphi \Delta \dot{Y}_1; \quad (11)$$

$$\frac{d}{dt} \left(\frac{\partial T}{\partial \dot{\phi}_1} \right) = J_1 \ddot{\phi}_1; \quad (12)$$

$$\frac{d}{dt} \left(\frac{\partial T}{\partial \dot{\phi}_1} \right) = \frac{d}{dt} \left[J_2 \dot{\phi}_0 + (m_n \delta^2 \cos^2 \varphi) \dot{\phi} + m_n \delta^2 \cos \varphi \Delta \dot{Y} + m_n \delta^2 \cos^2 \varphi \dot{\phi} - m_n \delta \cos \varphi \Delta \dot{Y}_1 \right] = J_2 \ddot{\phi} + (m_{\Pi} \delta^2 \cos^2 \varphi) \ddot{\phi} -$$

$$-m_{\Pi} \delta^2 2 \frac{\sin 2\varphi}{\cos \varphi \sin \varphi} (\dot{\phi})^2 + m_{\Pi} \delta \cos \varphi \Delta \dot{Y} - m_{\Pi} \delta \sin \varphi \dot{\phi} \Delta \dot{Y} + m_n \delta^2 \cos \varphi \ddot{\phi} - m_n \delta^2 \sin 2\varphi (\dot{\phi})^2 - m_n \delta \cos \varphi \Delta \ddot{Y}_1 + \\ + m_n \delta \sin \varphi \dot{\phi} \Delta \dot{Y}_1; \quad (13)$$

$$\frac{\partial L}{\partial \varphi} = \frac{\partial}{\partial \varphi} T - \frac{\partial}{\partial \varphi} \Pi; \quad (14)$$

$$\frac{\partial L}{\partial \varphi} T = -m_{\Pi} (\delta \cos \varphi \dot{\phi} + \Delta \dot{Y}) \delta \sin \varphi (\dot{\phi})^2 + m_n (-\delta \cos \varphi \dot{\phi} + \Delta \dot{Y}_1) \delta \sin \varphi (\dot{\phi})^2 = \\ = \frac{1}{2} m_n \delta \sin 2\varphi (\dot{\phi})^3 - m_n \delta \sin \varphi (\dot{\phi})^2 \Delta Y - \\ - \frac{1}{2} m_n \delta \sin 2\varphi (\dot{\phi})^3 + m_n \delta \sin \varphi (\dot{\phi})^2 \Delta Y_1; \quad (15)$$

$$\frac{\partial}{\partial \varphi} \Pi = -C_p (\varphi_1 - \varphi); \quad (16)$$

$$\frac{\dot{\partial}L}{\partial \Delta \dot{Y}} = \frac{\partial T}{\partial \Delta \dot{Y}} = m_n (\delta \cos \varphi \dot{\phi} + \Delta \dot{Y}) = m_n \delta \cos \varphi \dot{\phi} + m_{\Pi} \Delta \dot{Y}; \quad (17)$$

$$\frac{d}{dt} \left(\frac{\partial T}{\partial \Delta \dot{Y}} \right) = m_n \delta \cos \varphi \dot{\phi} - m_n \delta \sin \varphi (\dot{\phi})^2 + m_n \Delta \ddot{Y}; \quad (18)$$

$$\frac{d}{dt} \left(\frac{\partial T}{\partial \dot{\phi}_1} \right) = J_1 \ddot{\phi}_1; \quad (19)$$

$$\frac{\partial L}{\partial \Delta \dot{Y}_1} = \left(\frac{\partial T}{\partial \Delta \dot{Y}_1} \right) = m_n (-\delta \cos \varphi \dot{\phi} + \Delta \dot{Y}_1) = m_n \delta \cos \varphi \dot{\phi} + m_{\Pi} \Delta \dot{Y}_1, \quad (20)$$

$$\frac{d}{dt} \left(\frac{\partial T}{\partial \Delta \dot{Y}_1} \right) = -m_n \delta \cos \varphi \ddot{\phi} + m_n \Delta \ddot{Y}_1 + m_n \delta \sin \varphi (\dot{\phi})^2. \quad (21)$$

Окончательно получаем систему уравнений:

$$J_1 \ddot{\phi} + b_p \dot{\phi}_1 + C_p \dot{\phi}_1 = C_p \varphi + M; \quad (22)$$

$$J_1 \ddot{\phi} + 2(m_n \delta^2) \cos^2 \varphi \ddot{\phi} + 2m_n \delta^2 \sin 2\varphi (\dot{\phi}_1)^2 + b_p \dot{\phi} + C_p \varphi - m_n \delta \sin 2\varphi (\dot{\phi})^3 = \\ = C_p \varphi_1 + m_n \delta \sin \varphi \Delta \dot{Y} + m_n \delta \sin \varphi (\dot{\phi})^2 \Delta Y + m_n \delta \sin \varphi (\dot{\phi})^2 \Delta Y_1 - m_n \delta \cos \varphi \Delta \dot{Y} - \\ - m_n \delta \cos \varphi \Delta \dot{Y} - m_n \delta \cos \varphi \Delta \dot{Y}_1 - m_n \delta \cos \varphi \Delta \dot{Y}_1 + M_{c2}; \quad (23)$$

$$m_n \Delta \ddot{Y} + b_n \Delta \dot{Y} + C_n \Delta \dot{Y} = -m_n \delta \cos \varphi \ddot{\phi} + m_n \delta \sin \varphi (\dot{\phi})^2 + F_2; \quad (24)$$

$$m_n \Delta \ddot{Y} + b_n \Delta \dot{Y} + C_n \Delta \dot{Y} = m_n \delta \cos \varphi \ddot{\phi} - m_n \delta \sin \varphi (\dot{\phi})^2, \quad (25)$$

M – приведенный к валу шпинделя момент двигателя:

$$M = \frac{M_g}{i_p}. \quad (26)$$

3. ЗАКЛЮЧЕНИЕ

Таким образом, динамические характеристики отдельных функциональных элементов привода круглопильной установки согласно составленной расчетной схемы были определены расчетными способами. Построена математическая модель динамики привода круглопильной установки, а также динамическая структурная схема для аппроксимационной двухмассовой модели.

ЛИТЕРАТУРА

- თ. მჭედლიშვილი, ზ. ბალამწარაშვილი, ზ. ჩიტიძე. ჩარხების დინამიკა. თბილისი: საგამომცემო სახლი „ტექნიკური უნივერსიტეტი“, 2008.
- Ривин Е.И. Динамика привода станков. М.: Машиностроение, 1966.
- Орликов М.Л. Динамика станков. Киев: Вища школа, 1980.

შაპ 621.9(07)

მრბგალზერხა ჩარხის ამძრავის დინამიკის მათემატიკური მოდელის აზება

ზ. ჩიტიძე, თ. მჭედლიშვილი, ი. გელაშვილი, ვ. აბაიშვილი, მ. ჩიტიძე

სატექ-ტექნიკური დეპარტამენტი, საქართველოს ტექნიკური უნივერსიტეტი, საქართველო, 0175, თბილისი, კოსტავას 68^б

რეზიუმე: შემუშავებულია საანგარიშო სქემა, რომლის საშუალებითაც შესაძლებელია განისაზღვროს მრგვალხერხა ჩარხის მბრუნავი დეტალების ინერციის მოქმედები. განსაზღვრულია ბრტყელი დენდების დრეკალობის მოდულები. აგებულია გამოსაკვლევი სისტემის დინამიკის მათგარიკური მოდელი ლაგრანჯის მე-2 რიგის განტოლების გამოყენებით.

საკვანძო სიტყვები: მათემატიკური მოდელი; ამძრავის დინამიკა; მრგვალხერხა ჩარხი; ბრტყელი დენდების დრეკალობის მოდული; ლაგრანჯის განტოლება.

UDC 621.9(07)

CONSTRUCTION OF MATHEMATICAL MODEL OF CIRCULAR GRINDING MACHINE'S ACTUATOR DYNAMICS

Z. Chitidze, T. Mchedlishvili, I. Gelashvili, V. Abaishvili, M. Chitidze

Forest-technical department, Georgian Technical University, 68^б, Kostava str, Tbilisi, 0175, Georgia

Resume: There calculated the design diagram defining the moments of inertia of rotating parts of circular grinding machine, there are stated the characteristics of elastic links of actuator, there are defined modulus of elasticity of flat, rubberized, cotton and hairy belts. There is constructed mathematical model of investigated system's dynamics, with application of second order Langrangian equations.

Key words: mathematical model; dynamics of actuator; circular grinding machine; modulus of elasticity of flat belt; langrangian equation.

მიღებულია დასაბუჭიდავ 19.07.2013

შაპ 621.9(07)**მრგვალხერხა ჩარხის დინამიკის საკითხები**

ზ. ჩიტიძე, თ. გელაშვილი*, ი. გელაშვილი*, ვ. აბაიშვილი, მ. ჩიტიძე
სატყეო-ტექნიკური დეპარტამენტი, საქართველოს ტექნიკური უნივერსიტეტი, საქართველო, 0175,
თბილისი, ქოსტავას 68^ა

E-mail: igor.gelashvili@yahoo.com

რეზიუმე: განხილულია ორმასიანი მექანიკური სისტემის სტრუქტურული სქემა. მრგვალხერხა ჩარხის მბრუნავი დეტალების ინერციის მომენტების განსაზღვრისათვის გამოყენებულია თანამიმდევრობითი მიახლოების მეთოდი. მიღებულია ორმასიანი მექანიკური სისტემის გადაცემითი ფუნქციები მართვითი ზემოქმედებით. ჩატარებულია მოცემული იძულებითი ზემოქმედების სიხშირის შედარებითი შეფასება.

საკვანძო სიტყვები: თანამიმდევრობითი მიახლოების მეთოდი; ინერციის მომენტი; ორმასიანი მექანიკური სისტემა; სიხშირის შედარებითი შეფასება; იძულებითი ზემოქმედება.

1. შესავალი

წინა სტატიაში (იხ. გვ. 39) მივიღეთ საანგარიშო სქემა, რომლის საშუალებითაც განისაზღვრება მრგვალხერხა ჩარხის მბრუნავი დეტალების ინერციის მომენტები, ასევე მივიღეთ არაწრფივ განტოლებათა სისტემა, რომლის აპროქსიმაცია შესაძლებელია ცვლადი პერიოდული პარამეტრების მქონე წრფივ განტოლებათა სისტემის მეშვეობით.

დასმული ამოცანის ამოსნის მეორე მიღგომა არის თანამიმდევრობითი მიახლოების მეთოდის გამოყენება.

2. ძირითადი ნაწილი

დასმული ამოცანის ამოსნა თანამიმდევრობითი მიახლოების მეთოდის გამოყენებით შესაძლებელია შემდგენაირად: პირველ რიგში გადავდივართ გაშუალებულ მოდელზე:

$$\left. \begin{aligned} J_1\ddot{\varphi} + b_p\dot{\varphi}_1 + C_p\dot{\varphi}_1 &= C_p\varphi + M, \\ (J_2 + m_n\delta^2)\ddot{\varphi} + b_p\dot{\varphi} + C_p\varphi &= C_p\varphi_1 + M_{C2}. \end{aligned} \right\} \quad (1)$$

$$m_n\Delta\ddot{Y} + b_n\Delta\dot{Y} + C_n\Delta\dot{Y} = F_2; \quad (2)$$

$$m_n\Delta\ddot{Y} + b_n\Delta\dot{Y} + C_n\Delta\dot{Y} = 0. \quad (3)$$

მაშასადამე, სისტემა დაიყვანება უფრო მარტივ თრგანტოლებიან სისტემაზე და თრ დამოუკიდებელ განტოლებაზე.

პირველი სისტემა ასეთია:

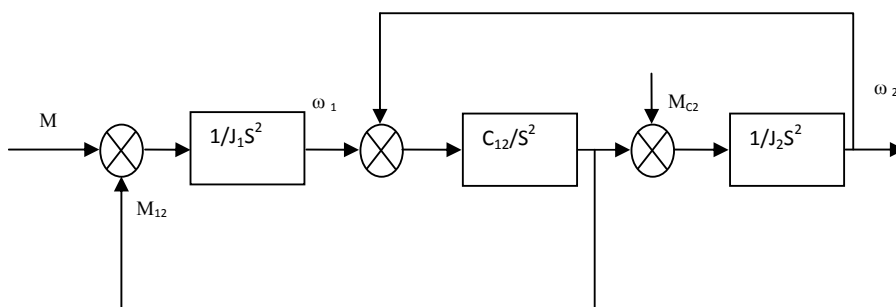
$$\left. \begin{aligned} J_1\ddot{\varphi} + b_p\dot{\varphi}_1 + C_p\varphi_1 &= C_p\varphi + b_p\dot{\varphi} + M + M_{C1}, \\ J_2\ddot{\varphi} + b_p\dot{\varphi} + C_p\varphi &= C_p\varphi_1 + b_p\dot{\varphi} + M_C. \end{aligned} \right\} \quad (4)$$

იმ შემთხვევაში თუ არ გავითვალისწინებთ დისიპიურ ძალებს, დინამიკის განტოლება შემდგენაირად ჩაიწერება:

$$\left. \begin{aligned} M - M_{C1} - M_{12} &= J_1 \frac{d\omega_1}{dt}, \\ M_{12} - M_{C2} &= J_2 \frac{d\omega_2}{dt}. \end{aligned} \right\}, \quad (5)$$

სადაც $M_{12} = C_{12}(\varphi_1 - \varphi)$.

პირველ ნახაზზე მოცემულია ორმასიანი დრეკადი მექანიკური სისტემის სტრუქტურული სქემა.



ნახ. 1. ორმასიანი დრეკადი მექანიკური სისტემის სტრუქტურული სქემა

ანალოგიურად მივიღებთ მართვადი ზემოქმედ-დების სისტემის გადაცემათა ფუნქციებს:

$$W_{\omega 1}(S) = \frac{\omega_1(S)}{M(S)} = \frac{S_2 + \frac{J_1}{J_2 + J_2} \Omega_{12}^2}{J_1 P(S^2 + \Omega_{12}^2)}, \quad (6)$$

სადაც $\Omega_{12} = \sqrt{C_{12}(J_1 + J_2)/J_1 J_2}$ ორმასიანი დრეპა- გი სისტემის თავისუფალი რხევების სისმიურე- შეგვიძლია ჩავწეროთ გადამცემი ფუნქციები:

$$W\omega(S) = \frac{\omega(S)}{M(S)} = \frac{\Omega_{12}^2}{S(J_1 + J_2)(S^2 + \Omega_{12}^2)}. \quad (7)$$

$$W_{M12}(S) = \frac{M_{12}(S)}{M(S)} = \frac{\frac{J_1}{J_2 + J_2} \Omega_{12}^2}{S^2 + \Omega_{12}^2}. \quad (8)$$

$$W'_{\omega 1}(S) = \omega_1(S)/M_{C1}(P) = W_{\omega 1}(S). \quad (9)$$

$$\begin{aligned} W''_{\omega 1}(S) &= \frac{\omega_1(S)}{M_{C2}(P)} = \\ &= W_{\omega 2}(S) \frac{\Omega_{12}^2}{S(J_1 + J_2)(S^2 + \Omega_{12}^2)}, \end{aligned} \quad (10)$$

$$W'_{\omega 2}(S) = \frac{\omega(S)}{M_{C1}(S)} = W_{\omega 2}(S). \quad (11)$$

$$W''_{\omega 2}(S) = \frac{\omega(S)}{M_{C2}(S)} = \frac{S^2 + \frac{J_1}{J_2 + J_2} \Omega_{12}^2}{J_2 S(S^2 + \Omega_{12}^2)}. \quad (12)$$

$$W'_{\omega 2}(S) = \frac{M_{12}(S)}{M_{C1}(S)} = W_{M12}(S). \quad (13)$$

$$W''_{M12}(S) = \frac{M_{12}(S)}{M_{C2}(S)} = \frac{\frac{J_1}{J_2 + J_2} \Omega_{12}^2}{S^2 + \Omega_{12}^2}. \quad (14)$$

დამახასიათებელი განტოლებათა სისტემა გა- ნისაზღვრება განტოლებიდან:

$$S^2 + \Omega_{12}^2 = 0. \quad (15)$$

განტოლების ფესვებია:

$$S_{12} = \pm J \Omega_{12}. \quad (16)$$

გაშასადამე, თუ სისტემაში არ მოქმედებს სიჩარეზე დამოყიდებული ძალები, დრეპა- გექანიკური სისტემა წარმოადგენს იდეალურ მერხევ რგოლს ჩაბმობის გარეშე. ამასთანავე, Ω_{12} არის ამ სისტემის თავისუფალი რხევის სისმიურე. აქ ს ლაბლასის ოპერატორია.

თუ ადგილი აქვს დისიპაციურ ფაქტორებს, სტრუქტურული სქემა მიიღებს მე-2 ნახ-ზე მოცემულ სახეს.

$$W_2 = \frac{1}{J_2 S^2 + b_p S + C_p}; \quad (17)$$

$$W_1 = \frac{C_p}{J_1 S^2 + b_p S + C_p}; \quad (18)$$

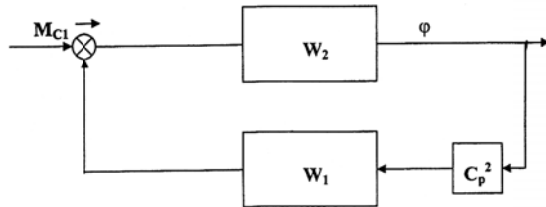
$$\begin{aligned} W_{M2}(S) &= \frac{\varphi}{M_{C2}} \cdot \frac{W_2}{1 - W_1 W_2} = \\ &= \frac{\left[(J_1 S^2 + b_p S + C_p) \right]}{\left[(J_1 S^2 + b_p S + C_p) + C_p \right] \left[(J_2 S^2 + b_p S + C_p) + C_p \right] - C_p^2} = \\ &= \frac{J_1 S^2 + b_p S + C_p}{\left[J_1 J_2 S^3 + (J_1 + J_2) b_p S^2 + C_p [C_p (J_1 + J_2) + b_p] \right] S^2 + 2 b_p C_p}. \end{aligned}$$

პირველი მიახლოებით:

$$M_{C2}(t) = A_M \sin Z \omega_b t = A_M \sin \omega_z(t); \quad (19)$$

$$F_1(t) = A_{\Delta Y} \sin \omega t. \quad (20)$$

სადაც $\omega_z = Z \omega_b$; Z ხერხის კბილობა რიცხვია.



ნახ. 2. სტრუქტურული სქემა სისტემის დისიპაციით

პირველი მიახლოებით ამოხსნის მნიშვნელობები გამოისახება დამოკიდებულებით:

$$\varphi^{(1)} = \alpha_{\varphi 1} \sin(\omega_z t + \varphi_{\varphi p}); \quad (21)$$

$$\Delta Y^{(1)} = \alpha_{Y1} \sin(\omega_b t + \varphi_{Yp}), \quad (22)$$

სადაც $\alpha_{\varphi 1}$ და $\alpha_{Y1} - \varphi$ და ΔY გამომავალი კოორდინატების ამპლიტუდებია;

$\varphi_{\varphi p}$ და φ_{Yp} კი მათი შესაბამისი ფაზური გადანაცვლებაა

$$\alpha_{\varphi 1} = W_{M2}(\omega_b) A_M. \quad (23)$$

$$\alpha_{Y1} = W_{\Delta Y}(\omega_b) A_{\Delta Y}. \quad (24)$$

$W_{M2}(\omega_b)$ და $W_{\Delta Y}(\omega_b)$ სისტემის ამპლიტუდური მახასიათებლებია.

$$m_n \Delta \ddot{Y} + b_n \Delta \dot{Y} + C_n \Delta \dot{Y} = A_{\Delta Y} \sin \omega t. \quad (25)$$

(25) განტოლებიდან მივიღებთ:

$$W_{\Delta Y}(S) = \frac{1}{m_n S^2 + b_n S + C_n}. \quad (26)$$

$$W_{\Delta Y}(\omega b) = \frac{1}{\sqrt{(C_n - m_n \omega_b^2)^2 + b_n^2 \omega_b^2}} =$$

$$= \frac{1}{\sqrt{m_n^2 \omega_b^4 + (b_n^2 - 2m_n C_n) \omega_b^2 + C_n^2}}. \quad (27)$$

$$\varphi_{Y\Phi}(\omega_b) = -\arctg \frac{b_n \omega_b}{C_n - m_n \omega_b^2}. \quad (28)$$

საბოლოოდ ვიღებთ შემდეგ გამოსახულებას:

$$\Delta Y^{(1)} = W_{\Delta Y}(\omega_b) \sin \left(\omega_b t - \arctg \frac{b_n \omega_b}{C_n - m_n \omega_b^2} \right). \quad (29)$$

მეორე მიახლოების $\Delta Y^{(1)}$ ამოსახენელად ჩატვრთო შემდეგი განტოლებათა სისტემა:

$$\begin{aligned} J_1 \ddot{\varphi} + b_p \dot{\varphi}_1 + C_p \dot{\varphi}_1 &= C_p \varphi, \\ J_2 \ddot{\varphi} + b_p \dot{\varphi} + C_p \varphi &= C_p \varphi_1 + M_{C2}(t) + M_{CH}(t). \end{aligned} \quad (30)$$

$$m_1 \Delta \ddot{Y} + b_n \Delta \dot{Y} + C_n \Delta Y = F_2(t) + F_{2H}(t). \quad (31)$$

$$\begin{aligned} M_{CH}(t) &= -m_n \delta \sin \varphi_b (\omega_b)^2 \Delta Y^{(1)} + \\ &+ mb \delta \cos \varphi_b \Delta \ddot{Y}. \end{aligned} \quad (32)$$

$$F_{2H}(t) = m_n \delta \cos \varphi_b \omega_b - m_n \delta \cos \varphi_b \omega_b^2. \quad (33)$$

ანალიზით განხორციელდება შემდეგი მიახლოები:

$$M_{H\varphi} M_{C2}(t) + M_{CH}(t); \quad (34)$$

$$F_{2y} = F_2(t) + F_{2H}(t). \quad (35)$$

3. დასკვნა

ზემოაღნიშნულიდან გამომდინარე, შესაძლებელია ითქვას, რომ ერთ-ერთი უფრო რეალური პირველი მიდგომა განსახილების კონსტრუქტორული და ტექნილოგიური პარამეტრების შერჩევისა, უნდა დაეყრდნოს მოყვანილი იძულებითი ზემოქმედების სიხშირის შედარებით შეფასებას.

ლიტერატურა

- თ. მჭედლიშვილი, ზ. ბალამწარაშვილი, ზ. ჩიტიძე. ჩარხების დინამიკა. ობილისი: საგამოცემლო სახლი „ტექნიკური უნივერსიტეტი“, 2008.
- Ривин Е.И. Динамика привода станков. М.: Машиностроение, 1966.
- Орликов М.Л. Динамика станков. Киев: Вища школа, 1980.

UDC 621.9(07)

ON ISSUE OF ANALYSIS OF CIRCULAR GRINDING MACHINE'S DYNAMICS

Z. Chitidze, T. Mchedlishvili, I. Gelashvili, V. Abaishvili, M. Chitidze

Forest-technical department, Georgian Technical University, 68^b, Kostava str, Tbilisi, 0175, Georgia

Resume: There is applied the method of successive approximations for definition of moments of inertia of rotating parts of circular grinding machine. There is considered structural diagram. The transfer functions of two-mass mechanical system on control action are obtained. The comparative assessment of reduced frequencies of perturbation action is carried out.

Key words: successive approximation method; moment of inertia; of two-mass mechanical system; comparative assessment of frequency; pertrubation action.

УДК 621.9(07)

К ВОПРОСУ АНАЛИЗА ДИНАМИКИ КРУГЛОПИЛЬНОГО СТАНКА

Читидзе З.Д., Мчедлишвили Т.Ф., Гелашвили И.Н., Абаишвили В.В., Читидзе М.З.

Лесо-технический департамент, Грузинский технический университет, Грузия, 0175, Тбилиси, ул. Костава, 68^b

Резюме: Использован метод последовательных приближений для определения моментов инерции вращающихся деталей круглопильного станка. Рассмотрена структурная схема. Получены передаточные функции двухмассовой механической системы по управляемому воздействию. Произведена сравнительная оценка частот приведенных возмущающих воздействий.

Ключевые слова: метод последовательных приближений; моменты инерции; двухмассовая механическая система; сравнительная оценка частот; возмущающие воздействия.

მიღებულია დასაბუქდა 19.06.2013

ზეპ 656.4

საზოგადოებრივი ტრანსპორტის განვითარების ისტორიული ეტაპები და პერსპექტივები

ბ. სოსელია, მ. ზუბიაშვილი, ნ. კიკნაძე*

ტრანსპორტისა და მანქანათმშენებლობის მეცნიერებების დეპარტამენტი, საქართველოს ტექნიკური უნივერსიტეტი, საქართველო, 0175, თბილისი, კოსტავას 68³

E-mail: n.kiknadze@ntour.ge

რეზიუმე: განხილულია საზოგადოებრივი ტრანსპორტის განვითარების ისტორიის ხეთი პერიოდი, მისი სრულყოფის ღონისძიებები, რაც ხორციელდება ეროვნული მეურნეობის გვაჭრობის მაქსიმალური ზრდისა და სამგზავრო გადაზიდვებზე ქალაქის მოსახლეობის მოთხოვნილების სრულად დაქმაყოფილების პირობებში.

საკვანძო სიტყვები: სატრანსპორტო; დილიჯანსი; ომნიბუსი; ეტლი; კრიზისი; ტრამვაი; ტროლეიბუსი; მეტროპოლიტენი; ავტომობილი; ცხენით წევა; ორთქლის წევა; სამგზავრო; საზოგადოებრივი; ელექტრული ტრამვაი; ჩქაროსნული; საქალაქოჟამორისო; სარკინიგზო; ინფრასტრუქტურა; პნევმატიკური; დიზელი; საერთაშორისო; ლიკვიდაცია; კაიტალდაბანდება; ნულოვანი რეისები; დეპო; მგზავრნაკადი; კომფორტული.

ვა, ტროლეიბუსი და მეტროპოლიტენი – იყო ტრანსპორტის ახალი სახეობა. მასვე მიაქციონებენ სამგზავრო ტრანსპორტს (ტროლეიბუსი, მგზავრების ცვლის კაფსულური სისტემა და სხვ.), საპარო ბალიშა და მაგნიტურ საკოდზე თვლების გარეშე მოძრავ შემადგენლობას, მიღგამტარ სამგზავრო ტრანსპორტს და სხვ.

სხვ-ის განვითარების ისტორია მოიცავს ხუთ პერიოდს: ცხენის, ორთქლის, ელექტრული წევის, ავტომობილიზაციის და დღევანდები სამეცნიერო-ტექნიკური რევოლუციის პერიოდს ელექტრული ტექნიკისა და ავტომატიზაციის დანერგვით.

ცხენის გამწვევი ძალის გამოყენება დაიწყო XVIII საუკუნის ბოლო მეოთხედში და გაგრძელდა XIX საუკუნის შემდეგ როდესაც გამოხდა პირველი რინიგზა ნიუ-იორქში, პეტერბურგშა და მოსკოვში.

XIX საუკუნის II ნახევარში დიდი ქალაქების ვიწრო ქუჩები გადატვირთული აღმოჩდა ცხენის წევის ძალით მომზადევ ტრანსპორტით. მეტროპოლიტენთან ერთად გამოჩნდა ქუჩის პირველი რინიგზა და ორთქლმავლები. ის შეიქმნა ლონდონში და მიიღო სახელწოდება Tram-way (ინგლისურად tram – ვაგონი, ვაგონები). ეს არის მოცემული მარშრუტით მგზავრების გადასაყვანი (წვევლებრივ, ელექტრული წევის ძალით) საგზაო და ნაწილობრივ სალიანდაგო საზოგადოებრივი ტრანსპორტი, რომელიც უპირატესად გამოიყენება ქალაქებში (ტრამვაი არის ქალაქის სამგზავრო საზოგადოებრივი ტრანსპორტის უძველესი სახე, რომელიც წარმოშვა XIX საუკუნის I ნახევარში და მუშაობდა ცხენის წევით).

ელექტრულის გარდა ფუნქციონირებს ცხენის (კონკა), საბაგირო (საკაბელო) და დიზელის ტრამვაი. წარსულში არსებობდა პნევმატიკური, ორთქლისა და ბენზინმოტორული ტრამვაი. შესაძლებელია აგრეთვე საობობის ელემენტებზე მომუშავე ტრამვაის გამოჩენა. ტრამვაის სახეებია: საქალაქო, საქალაქოჟამორისო, სანიტარიული, სატერიტო და სხვა.

ზოგიერთი ტრამვაის ხაზი კვეთს არა მარტო აღმინისტრაციულ, არამედ სახელმწიფო საზღვარსაც. ასეთი ხაზით შეიძლება გერმანიიდან საფ-

1. შესავალი

სწორ მეცნიერულ საფუძველზე დამყარებული სამგზავრო გადაყვანების ტექნოლოგიური პროცესები და მაქსიმალური გაოვალისწინებული საბაზრო ექიმომიერის მკაცრი მოთხოვნები აუმჯობესებენ საქალაქი საზოგადოებრივი ტრანსპორტის (სხვ.) მუშაობას და მისი პერსპექტიული განვითარების რეალურ პირობებს ქმნიან.

2. ძირითადი ნაწილი

XIX საუკუნის დასაწყისში ერთადერთი გამწვევი ძალა ცხენი იყო. 10-20-ადგილიანი დილიჯანსი, ომნიბუსის და ცხენის წევით მომზადევ, ეტლის გამოჩენა ნიშავდა ახალი სახის ქალაქის ტრანსპორტის შექმნას ტრადიციულ კარეტასთან შედარებით. ამავე საუკუნის შემდეგში ტრანსპორტის ისტორიაში შეიმჩნეოდა დიდი ქალაქების სატრანსპორტო კრიზისის ნიშაბი. საქალაქი საზოგადოებრივი ტრანსპორტის ახალი პროგრესული სახეობა გახდა კონკა. იგი შეცვალა ჯერ ორთქლის, შემდეგ კი ელექტრულმა წევით.

განვითარების დასაწყისში საქალაქო საზოგადოებრივი ელექტრული ტრანსპორტი – ტრამ-

რანგეთში გადასვლა. მომავალში, კვროპაში შესაძლებელია საერთაშორისო ტრამვაის ფართოდ დამკეიძღება. დასახული გეგმების ცხოვრებაში განხორციელების შემთხვევაში, ტრამვაის ხაზის ერთი ქსელი გააერთიანებს სამ სახელმწიფოს. 2013 წლისათვის იგეგმება ტრამვაის ხაზის აღდგენა ვენასა და ბრატისლავის შორის. იყო არსებობდა 1914-1945 წლებში და გაუქმდა მეორე მსოფლიო ომში მიღებული დაზიანების გამო.

ომისა და ევროპაში პოლიტიკური ცელით ბეჭდის გამო ტრამპის წარმოება ნაკლები ტემპით ვითარდებოდა. მას უკვე გაუწნდა ძლიერი კონტარენტი - მსუბუქი ავტომობილი და ნაწილობრივ – ავტობუსი. მსუბუქი ავტომობილი სულ უფრო მასობრივი და ფასითაც ხელმისაწვდომი ხდებოდა, ავტობუსი კი – ჩქაროსნული და კომფორტული. აღსანიშნავია, რომ ავტობუსი ეკონომიკურიც იყო, ვინაიდან დიზელის საწვავით მუშაობდა. ამავე პერიოდში გაჩნდა ტროლებუსიც. კლასიკური ტრამპის მოძრაობა ფერხედებოდა ერთი მხრივ ავტოტრანსპორტისაგან, მეორე მხრივ კი მოძრაობისას ოვითონაც ქმნიდა მნიშვნელოვან უხერხელობას. ტრამპის კომანდის შემოსავალი დაეკა.

1929 წელს აშშ-ში სრულყოფილი გაგონების სერიის წარმოებამ, ტრამვაის ახლებურმა ტექნიკურმა შეიარაღებამ და გარეგნულმა სახემ არსებითი გავლენა მოახდინა მისი განვითარების მთელ ისტორიაზე.

ბევრ განვითარებულ ქვეყანაში, ტრამვაის ასეთი პროგრესის მიუხედავად, მასზე შეიქმნა აზრი როგორც ჩამორჩენილ, მოუხერხებელ ტრანსპორტზე რომელიც არ შეეფერებოდა თანამედროვე ქალაქებს, რის გამოც ტრამვაის ხაზები უქმდებოდა: ხშირად ტრამვაი იცვლებოდა ტრილიკიბუსით, მაგრამ ვერც ის უძლებდა საავტომობილო ტრანსპორტის კონკურენციას და ბევრგან მასაც აუქმდინენ. მეორე მსოფლიო ომის შემდეგ ტრამვაის ხაზების ლიკვიდაციის პროცესი გრძელდებოდა.

XX საუკუნის 70-იან წლებში მსოფლიოში იმდებარება აზრმა, რომ მასიმუმი ავტომობილით ზაცია იწვევს პრობლემებს, რომელთა გადაჭრა მიითხოვს დიდ კაპიტალდაბანდებას და აქცეს მცირე უკუგება. დაიწყო ტრამვაის ხელახალი დაბადება.

ობს), ინდოეთში (ტრამგაი შემორჩენილია მხოლოდ კალკუტაში), ყაზახეთში, ჩრდილოეთ კორეაში, უზბეკეთსა და იაპონიაში.

სხტ-ის განვითარების პერსპექტივა ძირითადად დამოკიდებულია მგზავრნაცადის ზრდაზე, რასაც განსაზღვრავს მომავალი ურბანიზაცია, ქალაქების ტერიტორიული ზრდა და მოსახლეობის სოციალური პირობები.

სამამულო სსტ-ის განვითარების ძირითადი
მიმართულება იქნება მასობრივი საზოგადოებრივი
ტრანსპორტის ჩვეულებრივი სახეების - ავტობუ-
სისა და ტროლეიბუსის სრულყოფა და ტრანს-
პორტის ამ სახეებთან დაკავშირებული მომსახუ-
რების გაუმჯობესება.

2014 წელს დასრულდება ვაჭა-ფშაველას გამზირზე მდებარე მეტროს საღაზურ „სახელმწიფო უნივერსიტეტის“ მშენებლობა.

თბილისის რამდენიმე რაიონში გველაზე სწრაფი, მკოლოგურად სუფთა და კომფორტული ტრანსპორტი – ტრამვაი დაბრუნდება.

XXI საუკუნის პროექტია შემთვლითი რკინიგზის აგება. ამ პროექტით გადაიჭრება სატრანსპორტო გადაზიდვებთან დაკავშირებული ეკოლოგიური პრობლემები. ახალი სარკინიგზო მაგისტრალი გაიკვირვება თბილისის ზღვის გასწვრივ, პროექტი ხელს შეუწყობს ახალი სამუშაო ადგილების შექმნას.

3. დასკვნა

საქალაქო საზოგადოებრივი ტრანსპორტის
სრულყოფის პერსპექტიული ღონისძიებები ხორ-
ციელდება ეროვნული მუნიციპალიტეტების კუპების
მაქსიმალური ზრდისა და ქალაქის მოსახლეობის
სამგზავრო გადაზიდვებზე მოთხოვნილების შე-
საბამისად. პერსპექტივაშია ტრანსპორტის ხმაუ-
რის სანიტარიულ ნორმამდე დაყანა, სატრანს-
პორტო საწარმოების მიერ ჰაერის დაბინძურების
და კომფორტულობის გაზრდით სატრანსპორტო
გადაფლის მაქსიმალურად შემცირება.

ଲୋକପାତ୍ରା

1. Ефремов И.С., Кобозев ВМ., Юдин В.А. Теория городских пассажирских перевозок. Москва, 2011.
 2. Фишельсон М.С. Транспортная планировка городов. Учебное пособие. – М.: Высшая школа, 1985.
 3. 6. ნაგაძე, ვ. ქართველი მუზეუმი, თ. გორგოვი. სამეცნიერო სააკტორობილო გადაზიდვები. თბილისი: სტუ, 2009.
 4. თბილისური ამბები. 2011-2012 წლების ანგარიში. თბილისის მერია.

UDC 656.4

HISTORICAL STAGES AND PERSPECTIVE OF DEVELOPMENT OF PUBLIC TRANSPORT**B. Soselia, M. Zubiashvili, N. Kiknadze**Department of transport and mechanical engineering management, Georgian Technical University, 68^b, Kostava str, Tbilisi, 0175, Georgia

Resume: In its development the public transport includes five periods. The long-term plans for its improvement are carried out under the terms of maximum growth of the efficiency of the national economy and transportation in order to meet the requirements of the citizens.

Key words: transport; (stage) – coach; omnibus; phaeton; crisis; tram; trolley – bus; metropolitan; car; horse traction; steam traction; travelling; electrical tram; high speed; intertown (interurban); railway; infrastructure; pneumatic; diesel engine; international; liquidation; capitalinvesment; zero trip (cruise); depot; passenger streem; comfortable.

УДК 656.4

ИСТОРИЧЕСКИЕ ЭТАПЫ И ПЕРСПЕКТИВА РАЗВИТИЯ ОБЩЕСТВЕННОГО ТРАНСПОРТА**Соселия Б.Л., Зубиашвили М.Г., Кикнадзе Н.Т.**Департамент менеджмента транспорта и машиностроения, Грузинский технический университет, Грузия, 0175, Тбилиси, ул. Костава, 68^b

Резюме: Городской общественный транспорт в своем развитии объединяет пять периодов. Перспективные мероприятия его усовершенствования проводятся в условиях максимального роста эффективности национального хозяйства и полного удовлетворения потребности пассажирских перевозок городского населения.

Ключевые слова: транспортный; дилижанс; омнибус; карета; кризис; трамвай; троллейбус; метрополитен; автомобиль; лошадина тяга; общественный; дорожный; электрический трамвай; скоростной; междугородний; железнодорожный; инфраструктура; пневматический; дизельный; международный; ликвидация; капиталовложения; нулевой рейс; депо; пассажиропоток; комфортный.

მიღებულია დახაბუჭებად 19.07.2013

შპ 656.4

საქალაქო საზოგადოებრივი ელექტრული ტრანსპორტის სახელის შედარებითი ევალუაცია**ბ. სოსელია, მ. ზუბიაშვილი, ნ. კიკნაძე***ტრანსპორტისა და მანქანათმშენებლობის მენეჯმენტის დეპარტამენტი, საქართველოს ტექნიკური უნივერსიტეტი, საქართველო, 0175, თბილისი, კოსტავას 68^b

E-mail: n.kiknadze@ntour.ge

რეზიუმე: განხილულია საქალაქო საზოგადოებრივი ელექტრული ტრანსპორტის (სსებ) შედარებითი ეფექტურობა, რაც განისაზღვრება არა მარტო მისი სახეობების ტექნოლოგიურად განვითარებული უპირატესობით და ნაკლიოთ, არამედ პირობებული უპირატესობით და ნაკლიოთ, არამედ

მოცემულ კონკრეტულ ქვეყანაში სსების განვითარების საერთო დონით, მის მიმართ მუნიციპალური ტრანსპორტის მოსახლეობის და მოკიდებულებით, ქალაქის გეგმური სტრუქტურის თავისებურებით.

საკვანძო სიტყვები: საზოგადოებრივი; ეფექტურობა; მუნიციპალური; ტეგადობა; ტრამვაი; ტროლეიბუსი; ავტობუსი; ტრანსპორტი; მეტროპოლიტენი; ინფრასტრუქტურა; ჰქალუატაცია; გამტარუნარიანობა; ლისკომფორტი; ლიანდაგი; ენერგომომარაგება; სიგნალიზაცია; გრაფიკი.

1. შესავალი

სეუტის განვითარების საერთო დონე და მის მიმართ მოსახლეობის დამოკიდებულება განსაზღვრავს ამ სახის ტრანსპორტის უფექტს და ნაკლს. ძირითადი განმსაზღვრელი პირობაა სეუტის ტექნოლოგიურად განპირობებული უპირატესობები და უარყოფითი მხარეები.

2. ძირითადი ნაწილი

შენიციპალური ტრანსპორტისა და მოსახლეობის დამოკიდებულებით სსეტ-ის მიმართ და ქალაქების გეგმური სტრუქტურის თავისებურებებით აისახება ამ ტრანსპორტის შედარებითი ეფექტურობა და ნაკლი.

ყვალბაზე მასობრივ სამგზავრო გადაუვანებს ასრულებს სსტე-ი, რომელიც იყოფა სამარშრუტო (ავტობუსი, ტროლეიბუსი, ტრამვაი, მეტროპოლიტენი, კლავეტრობაზარებელი, საბაგირო გზა, ფუნიკულიორის ტრამვაი) და არასამარშრუტო (მსუბუქი ავტომობილი, ტაქსი და მომსახურების მიზნით შეკვეთილი ავტობუსი, მოტოციკლი, არა-მქანიკური სატრანსპორტო საშუალება).

გაზრდილი მგზავრნაკადების ათვისების ამოცანა გარკვეულ ზღვრამდე შეიძლება გადაიტკრას ავტომობილიზაციით. მცირე მგზავრნაკადების მქონე პატარა და საშუალო სიღიზის ქალაქებს მგზავრნაკადების მომსახურება შეუძლია გადაწყვიტოს ავტომობილიზაციით, ხოლო მსხვილმა ქალაქებმა უნდა გაითვალისწინონ საქალაქო მასობრივი ტრანსიტული სამგზავრო ტრანსპორტის აღდგენა და გაუმჯობესება.

ტრამვაის ვაგონის ტევდობა, როგორც წეხი, მეტია, კიდრე ავტობუსისა და ტროლეიბუსის. ტრამვაი ისევვა, როგორც სხვა ელექტრული ტრანსპორტი, არ აძინებულებს პაერს ნამწვი პროდუქტებით; ის მიწისზედა ტრანსპორტის ერთად ფრთი სახეა, რომლის სიგრძის შეცვლა შეიძლება ვაგონების მიმმით პირის საათებში და მოხსნა დანარჩენ დროს (მეტროპოლიტენში ძირითადი ფაქტორი პლატფორმის სიგრძეა); შესაძლებელია რეინიგზის ინფრასტრუქტურის გამოყენება; შემოსასვლელი ტრამვაის მარშრუტის შესახებ მგზავრის ინფორმირება შესაძლებელია უფრო ადრე, სხვა სახის ქუჩის ტრანსპორტთან შედარებით; ტრამვაი უზრუნველყოფს მეტ გამტარუნარიანობას, კიდრე ავტობუსი და ტროლეიბუსი. ავტობუსის და ტროლეიბუსის საზის თპრიმალური დაწ-

ვიროვა არაუმტებეს 3–4 ათასი მგზავრია საათში. „კლასიკური“, ე.ი. ქუჩის ტრამგაის დატვირთვა შეადგენს 7 ათას მგზავრამდე საათში, ხოლო განსაკუთრებულ პირობებში – უფრო მეტსაც. ტრამგაის ვაგონი ბევრად უფრო ძირია ავტობუსსა და ტროლეიბუსზე, მაგრამ იგი გამოირჩევა მომსახურების ხანგრძლივობით. თუ ავტობუსი იშვიათად მუშაობს ათ წელზე მეტსანს, ტრამგაის შეუძლია 30–40 წელი ეჭვის გამოყენებაში ყოფნა.

უარყოფითია ის, რომ: 1. ტრამვას ხაზის ნაგებობა ბევრად უფრო ძვირია, ვიდრე ტროლეიბუსის და მთი უმეტეს ავტობუსის; 2. მისი გატარებულისამართიანობა ნაკლებია მეტროპოლიტენთან შედარებით. ტრამვასისთვის იგი შეადგენს არაუმშეტეს 15000 მგზავრს საათში, ხოლო მეტროპოლიტენისათვის 80000 მგზავრამდეა საათში თითოეული მიმართულებით; 3. ტრამვას რელები წარმოადგენს საფრთხეს განსაკუთრებით იმ ველოსიპედისტებისა და მოტოციკლებისთვის, რომელთაც სურ მათი გადაკვეთა მცირე კუთხით; 4. არასწორად პარკირებულ (დაყენებულ) ავტომანქანას ან საგზაო-სატრანსპორტო შემთხვევას, გაბარიტში, შეუძლია შეაჩეროს ტრამვასის მოძრაობა; 5. ტრამვას დაზიანების შემთხვევაში მის შემდეგ მომავალ შემაღებელობას გადაჰყავს იგი დამოში ან სარეზერვო ხაზზე, რასაც ერთდროულად მწყობრიდან გამოჰყავს მოძრავი შემაღებელობის ორი ერთეული; 6. ავარიის ან დაზიანების შემთხვევაში, ზოგიერთ ქალაქს არა აქვს ტრამვას ხაზის რაც შეიძლება სწრაფი გათავისუფლების პრაქტიკა, რაც ხშირად იწვევს მოძრაობის ხანგრძლივად შეტერებას; 7. ტრამვას ხაზი გამოირჩევა შედარებით ნაკლები მოქნილობით. ავტობუსის ხაზის შეცვლა ძალიან იოლია აუცილებლობის შემთხვევაში (მაგ., ქუჩის რემონტის შემთხვევაში); 8. ტრამვას მეურნეობა თხოულობს იაფ, მაგრამ რეგულარულ მომსახურებას. არადამატაცოფილი ხერვისი იწვევს მოძრავი შემაღებელობის მდგრადარეობის გაუარესებას, მისი სიჩქარის შემცირებას, მგზავრების დისკომფორტს. მიშვებული მეურნეობის აღდგენა ძალიან ძირით ჯდება. ლიანდაგის არადამატაცოფილებული მოგლა-აბრონობის შემთხვევაში იქმნება ტრამვას რელეიდან გადასვლის საფრთხეც, რაც მოცემულ შემთხვევაში ტრამვას ხდის საგზაო მოძრაობის პოტენციურად საშიშ მონაბილებით. მიერ გამორჩეულ ვიბრაციას შეუძლია შემქნას აკუსტიკური დისკომფორტი ახლოს მდგარე შენობებში მცხოვრებთაოვის და გამოიწვიოს ამ შენობების საძირკვლის დაზიანება. ვიბრაციის შემცირებისათვის საჭიროა ლიანდაგის (გახევა ტალღისბური ცვეთის თავიდან ასაცილებლად) და მოძრავი შემაღებელობის (გოგორწვეულების გაჩარხვა) რეგულარული მომსახურება. ლიანდაგის დაგების სრულყოფილი ტექნოლოგიის გამო-

ყნებისას შესაძლებელია ვიბრაციის მინიმუმამდე დაყვანა. ლიანდაგის არადამაკმაყოფილებელი მოვლა-პატრონობის შემთხვევაში, უკავების ძალაში შეიძლება გაიაროს მიწაში და ამ დროს წარმოქმნილი „მოხევიალუ დენები“ აძლიერებს ახლოს მდგბარე მიწისქვეშა ლითონის ნაგებობების (კაბელების გარსაცმი, კანალიზაციისა და წყალგაფვანილობის მილები, შენობების საძირკვლის არმატურას) კოროზიას.

ტრამვაის ზედნაშენის მოწყობის რამდენიმე მირითადი ვარიანტი არსებობს. ტრამვაის ლიანდაგის მოსაწყობად, სხვადასხვა ქალაქში იყენებენ ლიანდის სხვადასხვა სიგანეს. პირობების შესაბამისად გამოიყენება რკინიგზის ჩვეულებრივი ან ტრამვაის სპეციალური რელსები. დაარსებიდან დღემდე ტრამვაისთვის გამოიყენება ხის შაბალები. ხმაურის შესამცირებლად, რელსებს პირაპირში ხშირად აერთებენ ელექტრული ან თერმული შედეგებით. არსებობს აგრეთვე ლიანდაგის მოწყობის თანამედროვე მეთოდები, რომლებიც ხელს უწყობს ხმაურისა და ვიბრაციის შემცირებას.

ტრამვაის რელსების ტალღისებრი გრძივი ცვეთის პრობლემის წარმოქმნის მიზეზი დადგენილი არ არის. ძლიერი ტალღისებრი ცვეთისას ლიანდაგზე მოძრავი ვაგონის ნჯლერევა იწვევს ხმაურს და მასში ყოფნა არაკომფორტული ხდება. ტალღისებრი ცვეთა მხოლოდ რელსების რეგულარული გახეხვის შემდეგ ჩერდება.

ქალაქებში, სადაც ტრამვაიც არის და ტრალებულიც, ტრანსპორტის ამ სახეებს აქვთ საერთო ენერგომომარაგება. ტრამვაი იკვებება მუდმივი დენით ვაგონის სახურავში მოთავსებული დენის მიმღების – პანტოგრაფის საშუალებით. საკონტაქტო სადენის საკიდი ტრამვაიზე მოწყობილია უფრო მარტივად, კიდრე რკინიგზაზე. შტანგის გამოყენებისას საჭიროა ტროლეიბუსის ისრის მხაფვი საჰაერო ისრის მოწყობა.

ტრამვაი ქ. ბორდოში მოძრაობს სადენების გარეშე. დასაწყისში გამოიყენებოდა მესამე საკონტაქტო რელსი, თუმცა მაღალ ამაზე უარი იქვეს, ვინაიდან წვიმის დროს ხშირად ხდებოდა მოკლე შერთვა. კონტაქტი მესამე რელსსა და მცოცავს – დენის მიმღებს შეირის ირლევოდა ჩამოცევილი ფოთლებისა და სიბინძურის გამო. ასეთი სისტემა არ იყო უსაფრთხო 100–150 კოლტზე მეტი ძაბვის დროს (მაღალ გაირკვა, რომ ასეთი ძაბვა არ იყო საგმარისი). ზოგჯერ გამოიყენებოდა საკონტაქტო რელსების სისტემის გაუმჯობესებული ვარიანტი. ასეთ სისტემაში, რელსებს შეორის, ორი საკონტაქტო რელსი თავსდებოდა სპეციალურ დამცავში, რაც ქვეითოთვის გამორიცხავდა ელექტროშოკის საფრთხეს (ამრიგად, ტრამვაი იყო „რელსიანი ტროლეიბუსი“ ქვედა დენის ქვედა მიმღებით).

ქ. ბორდოში ტრამვაის საზის მშენებლობის დროს (გაიხსნა 2003 წელს) შეიქმნა სისტემის თანამედროვე უსაფრთხო ვარიანტი, ქალაქის ისტორიულ ცენტრში ტრამვაი ელექტროენერგიას იღებს ქუჩის ღონებზე განლაგებული მესამე რელსიდან. მესამე რელსი დაყოფილია ერთმანეთისაგან იზოლირებულ რვამეტრიან სექციებად. ძაბვა მესამე რელსის მხოლოდ იმ სექციაშია, რომელზეც მოცემულ მოქმედები მოძრაობს ტრამვაი. ექსპლუატაციისას ამ სისტემას აღმოჩნდა ბევრი, პირველ რიგში წვიმის წელის მოქმედებასთან დაკავშირებული ნაკლი. ამ პრობლემის გამო, ერთ-ერთ, ერთი კილომეტრი სიგრძის უბანზე მესამე რელსი შეცვალეს საკონტაქტო ქსელით (ბორდოს ტრამვაის ქსელის საერთო სიგრძე – 44 კმ, აქვდან 14 კმ – მესამე რელსით). სისტემა აღმოჩნდა ძალიან ძვირად დირექტული. მესამე რელსით ერთი კილომეტრი ტრამვაის საზის მშენებლობა სამჯერ ძვირია ჩვეულებრივ საპარტო საკონტაქტო ქსელთან შედარებით. შემდგომში სისტემა დასრულდა და ამჟამად საკონტაქტო რელსი გამოიყენება ტრამვაის ახალ სისტემებში – რეიმსსა და ორლეანში, ხოლო დუბაისა და ბრაზილიაში შენდება ტრამვაის საზები, რომლებიც გამოიყენებენ ქვედა დენის მიმღებს მთელ სიგრძეზე.

ტრამვაის მართვა შედარებით მარტივია. ვინაიდან ტრამვაი მოძრაობს რელსებზე, მას არ სჭირდება საჭით მართვა. თუმცა, ტრამვაი თხოვლობს წვევის ძალას და დამუხრუქების მართვას, სვლის წინ და უკან გადართვას.

ტრამვაის ბევრ სიტუაციაში აქვს პრიორიტეტი ურელსო სატრანსპორტო საშუალებებთან შედარებით. ტრამვაისთვის შეიძლება გათვალისწინებულ იქნეს სპეციალური შუქნიშები, რომლებიც იმუშავებენ სხვა საზის ტრანსპორტისა და ქვეითოთ მარგულირებელ ნიშნებთან შეთანხმებით. მათი არარსებობისას ტრამვაიზე გამოიყენება ჩვეულებრივი შუქნიშები. ტრამვაის ბუნებრივი ან ხელოვნური მიწის ვაკისი შეესაბამება რკინიგზისთვის არსებულ კონკრეტურის. ტრამვაისთვის სპეციალურ დადგენილი გარდა, ასეთ ვაკისზე მოძრავ ტრამვაიზე ჩვეულებრივ არ ვრცელდება საგზაო შუქნიშები და სიგნალები. ასეთ ვაკისთან ტრამვაის ხაზის გადაკვეთები ხშირად აღიძურებება რკინიგზის გადასასვლელებზე დადგმული მხაფვი სპეციალური შუქნიშებით და შლაგბაუმებით, რომლებიც ტრამვაის მოახლოების ან გავლის დროს აჩერებენ ურელსო ტრანსპორტის ან ქვეითოთ მოძრაობას. თანამედროვე სისტემაში „ტრამვაი-მატარებელი“ ადიკურგება სარკინიგზო სიგნალიზაციის სისტემებით და რკინიგზაზე მოძრაობის დროს ემორჩილება სარკინიგზო წესებს და მოძრაობის მართვის სისტემებს.

ტრამვაის მოძრაობა რეგლამენტირებულია გრაფიკით. გრაფიკის შედგენის ძირითადი მონაცემებია მარშრუტით მატარებლის პრენვის დრო და მარშრუტში მატარებლების რაოდენობა.

3. დასკვნა

სქალაქო საზოგადოებრივი ელექტრული ტრამვაორები, როგორც სოციალური ინსტიტუტი, მოწყობებულია უზრუნველყოს საზოგადოების მომხმარებელების იაფი, მოხერხებული, მკოლოგიური მობილურობით. საქალაქო საზოგადოებრივი ტრანსპორტი არის ქალაქის სივრცის არსებობის და განვითარების აუცილებელი ელემენტი, მისი მოსახლეობის დამსახურებული არსებობის უზ-

რუნგებულების სტრატეგიულად მნიშვნელოვანი სოციალური რესურსი.

ლიტერატურა

1. Фишелльсон М.С. Транспортная планировка городов. Учебное пособие. – М.: Высшая школа, 1985.
2. ნ. ნავაძე, ვ. ქართველიშვილი, თ. გორგოვი. სამგზავრო სააგენტომობილო გადაზიდვები. თბილისი: სტუ, 2009.
3. Ефремов И.С., Кобозев В.М., Юдин В.А. Теория городских пассажирских перевозок. Москва, 2011.

UDC 656.4

COMPARATIVE EFFECTIVENESS OF FORMS OF URBAN PUBLIC ELECTRIC TRANSPORT

B. Soselia, M. Zubiashvili, N. Kiknadze

Department of transport and mechanical engineering management, Georgian Technical University, 68^b, Kostava str, Tbilisi, 0175, Georgia

Resume: Comparative effectiveness of the public electric transport is defined not only according to the technological advantages and disadvantages of its types, but also according to the general level of the public transport development in a specific country, the dependence of the municipal transport and the citizens, the peculiarities of the urban regular structure.

Key words: public; effectiveness; municipal capacity; tram; trolley-bus; bus; transport; metropolitan; infrastructure; exploitation capacity; discomfort; railway; signalization graph.

УДК 656.4

СРАВНИТЕЛЬНАЯ ЭФФЕКТИВНОСТЬ ВИДОВ ГОРОДСКОГО ОБЩЕСТВЕННОГО ЭЛЕКТРИЧЕСКОГО ТРАНСПОРТА

Соселия Б.Л., Зубиашвили М.Г., Кикнадзе Н.Т.

Департамент менеджмента транспорта и машиностроения, Грузинский технический университет, Грузия, 0175, Тбилиси, ул. Костава, 68⁶

Резюме: Сравнительная эффективность общественного электрического транспорта определяется не только технологически обусловленными превосходствами и недостатками его видов, но также общим уровнем развития общественного электрического транспорта в этой конкретной стране, и отношением к нему муниципального транспорта и населения, а также особенностями плановых структур городов.

Ключевые слова: общественный; эффективность; муниципальный; объем; трамвай; троллейбус; автобус; транспорт; метрополитен; инфраструктура; эксплуатация; проводимость; дискомфорт; путь; энергоснабжение; сигнализация; график.

მიღებულია დახაბეჭდით 19.06.2013

შაპ 615.46:616.728

მოდიფიცირებული სუვთა ტიტანი – პერსამზადი გასალა მენჯ-ბარბაზის სახსრის ენდოპროთეზისათვის

რ. თურმანიძე*, დ. ბუცხრიკიძე**, მ. ბერიძე***

*მექანიკის ინჟინერიის საჭარმოო ტექნოლოგიების დეპარტამენტი, საქართველოს ტექნიკური
უნივერსიტეტი, საქართველო, 0175, თბილისი, კოსტავას 68³

**უკრაინის ეროვნული მეცნიერებათა აკადემიის გ.ნ. ბაბულის სახ. ზესალი მასალების ინსტიტუტი,
კიევი, უკრაინა

***უკრაინის ეროვნული მეცნიერებათა აკადემიის გ.ვ. კარპენკოს სახ. ფიზიკურ-მექანიკური
ინსტიტუტი, ლვოვი, უკრაინა

E-mail: inform@gtu.ge, sheykin2003@ukr.net, pohrelyuk@ipm.lviv.ua

რეზიუმე: მოცემულია იმ ამოცანების გადაწყვეტა, რომლებიც დაკავშირებულია მენჯ-ბარბაზის სახსრის ენდოპროთეზის მოხასუნე წყვილის დეტალების მუშა ზედაპირების მოდიფიაციის ტექნოლოგიური მეთოდების შემუშავებასა და სრულყოფასთან. კერძოდ, განხილულია ტიტანის თავის ზედაპირის ციფრული ასტერიკური დაფორმაცია შემდგომი დააზოტებით, რაც უზრუნველყოფს მექანიკური ოვალებებისა და ადჰეზიური ინერცულობის ოპტიმალურ შეთავსებას, აგრეთვე ხირულების ISO 5834-2 აცეტაბულარული ფოსოს ოპტიმალური პარამეტრების შეთავსება, რაც მთიღვა პოლიმერის მოლეკულების განივი შეკვრის გზით.

საკვანძო სიტყვები: ენდოპროთეზი; სუვთა ტიტანი; ხირულები; დაფორმაცია; დააზოტება; პრეციზიული სექცა.

1. შესავალი

დღეს მსოფლიოს ყველა ქვეყანაში ადამიანის სახსრების ერთ-ერთი ყველაზე გავრცელებული დაბავადება არის ართროზი, რომლის განკურნების ერთადერთი ეფექტური საშუალება ენდოპროთეზირებაა. ლიტერატურული მონაცემებით, მე-20 საუკუნის დასახრულს, ერთი წლის განმავლობაში ჩატარებულმა ასეთი ოპერაციების რაოდენობამ 20 მლნ-ს გადაჭარბა. სამწუხაოდ, ცნობილი მიზეზების გამო, ეს რიცხვი ყოველწლიურად ინტენსიურად იზრდება [1].

იმპლანტაციისათვის გამოყენებული მასალების წყვილის შერჩევა ხდება პაციენტის ასაკისა და მისი მატერიალური შესაძლებლობის მიხედვით, რადგანაც იმპლანტაციის მიმართ ძირითადი მოთხოვნებია მისი ხანგამდებობა და ფასი.

2. ძირითადი ნაწილი

ექსპერიმენტული კვლევებით დადგინდა, რომ შენადნობებიდან, ტექნიკური და ბიოლოგიური თვალთახედვით, ენდოპროთეზის დასამზადებლად საუკეთესოა CoCrMo და ისეთი შენადნობები, რომლობი საფუძველი არის ტიტანი.

შენადნობი CoCrMo ენდოპროთეზების პრაქტიკაში, დღემდე გამოიყენება არა მარტო ლითონ-პოლიმერის წყვილში, არამედ ლითონ-ლითონის წყვილში (CoCrMo/CoCrMo). უკანასკნელ შემთხვევაში წყვილის ცვეთის პროდუქტები იღებება პაციენტის შიგა ორგანოებში. ლითონის უმცირესი ნაწილაკები ხდება სისხლში და იწვევს თირქმლების დაზიანებას და აღერგიულ რეაქციებს. გარდა ამისა, ვერც ლითონ-პოლიმერის და ვერც ლითონ-ლითონის კომბინაციით ვერ ვიღებთ ბუნებრივი სახსრის ტოლ ხახუნის კოეფიციენტს [1].

ლითონის შეცვლა კერამიკით მნიშვნელოვნად ამცირებს ხახუნის კოეფიციენტს და, შესაბამისად, შეუძლების ცვეთას, ასევე ზრდის ენდოპროთეზის ხანგამდებობას. კერამიკის ნაძლი მისი სიმყიფვა. გარდა ამისა, ზოგიერთი სახის კერამიკას ახასიათებს ფაზური შედგენილობის არამდგრადობა. შედგენილობა შესაძლებელია შეიცვალოს ადამიანის სითბოს ზემოქმედებით და გამოიწვიოს ზედაპირის დაბზარვა. ტელუზის ტოქსიკოლოგიურ ლაბორატორიაში ჩატარებულმა ადამიანის შარდის სპექტროგრაფიულმა ანალიზმა აჩვენა დადგითი შედეგი ალერგიული პაციენტების დიდ ნაწილში, რომელთაც ჩატარდათ ალერგიის რქისიდის ბაზაზე შექმნილი კერამიკის კომპონენტების შემცველი ენდოპროთეზის იმპლანტაცია.

გასათვალისწინებელია ისიც, რომ მოხასუნე წყვილის – “კერამიკა-კერამიკა” დეტალების დი-

რებულება უფრო მაღალია ვიდრე წყვილისა – “ლითონი-ხირულენი”, რაც იწვევს ენდოპროთეზის ფასის მნიშვნელოვან გაზრდას. ამ ფაქტს განსაკუთრებული მნიშვნელობა აქვს არცოუდიდი შემოსავლის მქონე პოტენციური მომხმარებლისთვის.

ენდოპროთეზის დეტალების დასამზადებელი მასალების შერჩევისას გასათვალისწინებელია ადამიანის ორგანიზმთან მათი შეგუების უნარი.

შენადნობი რომელიც შეიცავს ვანადიუმს, ალუმინს, კობალტს, ბრომს, კადმიუმს, კარბოდებს ტოქსიკურია, აგრეთვე ტოქსიკურია ნახშირბადოვანი ფოლადი. ტიტანი არ იწვევს ალერგიას. ალერგია ნიკელის (უჟანგავი ფოლადის აუცილებელი კომპონენტი) მიმართ კი გავრცელებული მოვლენაა. ეს გარემოება იძულებულს გვხდის ვიფიქროთ კობალტქრომიანი და ტიტანის ლეგირებული შენადნობების გამოყენების უსაფრთხოებაზე. მაგალითად, Ti-6Al-4V შენადნობს მითხვენ პირველი თაობის ბიომასალად და მიუხედავად უცუჩვენების არარეცხობისა მისი გამოყენება მსხვილი სახსრის ენდოპროთეზის დასამზადებლად სულ უფრო იზღუდება.

ენდოპროთეზის დეტალების საექსპლუატაციო მახასიათებლების გაზრდის ერთ-ერთი გზაა სხვადასხვა სახის დაფარვის გამოყენება, რაც მნიშვნელოვნად აძვირებს ნაკეთობას და ამცირებს მის სამედოობას. მაგალითად, ტიტანის ნიტრიდის დაფარვის გამოყენებისას დაფიქსირდა მისი განშრევების შემთხვევა.

ამ გარემოებისა და თანამედროვე მოთხოვნების გათვალისწინებით, მენჯ-ბარაჟის სახსრის ხელმისაწვდომი ენდოპროთეზის შესაქმნელად უმეტესად მიზანშეწონილად მითხვენ ისეთი მასალების გამოყენება, რომლებმაც ბიონიკურულობის თვალსაზრისით მრავალი ათწლეულის განმავლობაში დაიმსახურეს ქარგი რეკომენდაცია. ასეთი მასალებია სუფთა ტიტანი და ხირულენი.

ამასთან, დაბალი მექანიკური თვისებებისა და მასალის წატაცებისაკენ მიღრეკილების გამო, მედიცინაში გამოყენებულ პრაქტიკულად ყველა კონსტრუქციულ მასალასთან კონტაქტში, სუფთა ტიტანის გამოყენება ხახუნის წყვილებში მოხახუნება ზედაპირების შემთხვევის გარეშე შეუძლებელია.

ამრიგად, თანამედროვე მოთხოვნების შესაბამისი, ხელმისაწვდომი დირექტულების მენჯ-ბარ-

მაჟის სახსრის ენდოპროთეზის შემუშავების ამოცანის წარმატებით გადაჭრა შესაძლებელია კომპლექსური ტექნოლოგიური ამოცანის გადაწყვებით, რომელიც შეიძლება დაიყოს შემდგვერაში:

- ნაკეთობის ფორმის დიდი სიზუსტისა და მუშა ზედაპირის მცირე სიმჭიდრის მიღწევა მექანიკური დამუშავების პროგრესული მეთოდებით ISO 7206-2-2005 შესაბამისად;
- ნაკეთობის მუშა ზედაპირის მოდიფიკაცია, რომელიც უზრუნველყოფს მექანიკური მახასიათებლების და ადჰეზიური ინერტულობის ოპტიმალურ შეთავსებას;
- ხირულენის აცეტაბულარული ფოსოს ცვეთამედებობის გაზრდა.

უნდა აღინიშნოს, რომ დღეისათვის ტექნოლოგია, რომელიც შესაძლებელს გახდიდა მოცემული ამოცანის პირველი ნაწილის გადაწყვეტას, არ არის შემუშავებული. ამის მიზეზია სუფთა ტიტანის უკიდურესად არადამატებული დამუშავებადობა აბრაზიული მეთოდებით. ეს გარემოება განაპირობებს ორგაზიანი ტიტანის შენადნობების (Ti-6Al-4V “ინტენი”, კივი), (BT20, BT6(Ti-6Al-4V), მატი მოსკოვი) გამოყენებას ენდოპროთეზის თავის დასამზადებლად. თერმული დამუშავებით სისალის გაზრდის შედეგად შესაძლებელი ხდება ტიტანის უკეთ დამუშავება. ამასთან, ისეთი მნიშვნელოვანი მახასიათებლით, როგორიცაა ბიონიკურულობა, აღნიშნული შენადნობები სუფთა ტიტანს ჩამორჩება.

მოვანილი ამოცანის გადაჭრა შესაძლებელია კომპლექსურად, კერძოდ, პროგრესული აბრაზიული დამუშავების მეთოდისა და უფეხტური მჭრელი იარაღის შემუშავებით.

საქართველოს ტექნიკურ უნივერსიტეტში ათწლეულების განმავლობაში ჩატარებულმა ექსპრიმენტულმა კვლევებმა ლითონური და არალითონური, მნელად დასამუშავებელი მასალების აბრაზიულ-ალმასური ხეხვისას აჩვენა სტუ-ში შემუშავებული ალმასით ხეხვის პროგრესული მეთოდის უპირატესობა ცნობილ მეთოდებთან შედარებით. ეს განპირობებულია, ხეხვის ტრადიციული რეკომენდაციებისაგან განსხვავებით, ჭრის დაბალი სიჩქარით, შესაბამისად ჭრის დაბალი ტემპერატურითა და დასამუშავებელი მასალის პრაქტიკულად ნულოვანი თბური დაფარებით. გარდა ამისა, დასამუშავებელი მასალის ფენა იჭრება უმცირესი სისქის (0,1...0,01 მკმ), რაც

გამორიცხავს მასალის პლასტიკურ თელვასა და წაგლესას. აქედან გამომდინარე, ჩვენი მოსაზრებით, ხსენებული მეთოდი კარგი ბაზაა მოდიფიცირებული ტიტანის მაღალმტარმოებლური და ხარისხობრივი დამუშავების მეთოდის შესამუშავებლად [3, 4].

მეორე მხრივ, ეფექტური მჭრელი იარაღი უზრუნველყოფს მასალის ზედაპირიდან ნამატის მოხსნის სტაბილურობისა და ზედაპირის დაბალ სიმძისეს. ექსპერიმენტულმა კალვებმა აჩვენა, რომ სუფთა ტიტანის მექანიკური დამუშავების საჭირო შედეგების მიღება შესაძლებელია აბრაზიული კომპოზიციების გამოყენებით, რომელთაც აქვთ სტრუქტურისა და თვისებების ადაბტური გადაწყობის უნარი ძალვანი ზემოქმედების შედეგად. კერძოდ, ასეთი კომპოზიცია შეიცავს სინთეზურ ალმასსა და ეპოქსიდურიალურ ფის, რომლის განსაკუთრებული თვისებაა დრეკადობის მოძულის უკუცვევითი შემცირება მასში ჩამაგრებულ ალმასურ-აბრაზიულ მარცვლებზე განხორციელებული მექანიკური დატვირთვის პასუხად.

წინასწარმა ცდებმა დაადასტურა აღნიშნული კომპოზიტის ბაზაზე დამზადებული იარაღის მაღალეფებული კომპოზიტისა და ტიტანის დამუშავების დროს.

დასმული ამოცანის მეორე ნაწილის გადაწყვეტა ანუ მასალის მაღალი მექანიკური თვისებებისა და ენდოართოების თავის მუშა ზედაპირის ადჰეზიური ინერტულობის მიღწევა შესაძლებელია თუ ვიხელმძღვანელებთ პროფ. ი.ვ. კრაგელაკის ხახუნის თეორიის მოლექულურ-მექანიკური დებულებებით, რომელთა მიხედვით არსებობს მასალის ცევამეცენტრის გაზრდის ორი გზა:

1. მოხახუნე ზედაპირების სისალის გაზრდა;
2. ადჰეზიური კავშირების სიმტკიცის შემცირება.

სისალის გაზრდით გამნელდება პლასტიკური დეფორმაცია და თავიდან ავიცილებთ მოხახუნე ზედაპირების მიკროჭრას, შეძლების დაგენარაცია კონტაქტის უბნების დრეკადი დეფორმაციის უზრუნველყოფით. ადჰეზიური კავშირების სიმტკიცის შემცირება საჭიროა ლითონის ზედაპირების წარმატების თავიდან ასაცილებლად.

აღწერილი ეფექტების მიღწევა შესაძლებელია ნაკეთობის მუშა ზედაპირის მოდიფიკაციით და აზოტების მეთოდით. სისტემაში Ti-N ჰომოგენურობის ფართო არის არსებობა შესაძლებელს ხდის ტიტანის აზოტით გამდიდრების გზით შეიცვლილი განვითარების მინარევის შემცველობა და ამით – ნაერთის როგორც ფიზიკურ-ქიმიური თვისებები, ისე მისი კრისტალოგრაფიული და ელექტრონული სტრუქტურები.

ოპტიმალური ცვეთამედვგობის უზრუნველსაყოფად საჭიროა მივაღწიოთ სისალისა და ადჰეზიური ინერტულობის ოპტიმალურ თანაფარდობას. აზოტის შემცველობის დროს – მეტი 15ატ%, სისალის ზომაზე მეტად გაზრდა აუარებს ზედაპირის ტრიბოლოგიურ თვისებებს. შესაბამისად, საუკეთესო ტრიბოლოგიური თვისებების მქონე ზედაპირები უნდა ჰქონდეს სტრუქტურებს, რომლებშიც აზოტის შემცველობა არის 5–15ატ%. აზოტის ასეთი შემცველობა დამახასიათებელია ნიტრიდის სტრუქტურისათვის e-TiN.

ზედაპირის ინჟინერის განვითარების ახალ პერსპექტივებს აჩნის ახალი თაობის ეწ. სამმაგი შენაერთები, რომლებიც შექმნილია ბინალური შენაერთების საფუძველზე, მათ რიცხვში ტიტანის ოქსინიტრიდები. ფიზიკური და ქიმიური თვისებების კეთილსასურველი კომპლექსი, მათი დამოკიდებულება მასალის შედგენილობაზე და უკანასკნელის იოლი მართვის შესაძლებლობა ქმნის კარგ მეცნიერულ საფუძველს ტიტანის და მისი შენაერთების ზედაპირების ამ მასალებით დაფარვის ტრენოლოგიის მეცნიერული ბაზის შესაქმნელად. ამით აისხება ახალი შესაძლებლობები ტიტანის ნაკეთობების ხარისხობრივად ახალი დონის ფუნქციონირების ზედაპირის მისაღწევად.

მრავალი მკვლევრის მიერ ჩატარებული ექსპრიმენტები გვიჩვენებს, რომ დააზოტება მნიშვნელოვნად ზრდის ტიტანისა და მისი ნაერთების ცვეთამედვგობას და ანტიფრიქციულ თვისებებს სხვა მასალებთან წყვილებში, მათ შორის ხირულებობა.

მაგალითად, ა.ა. ილინმა თანამშრომლებთან ერთად წყვილში Ti-6Al-4V-ხირულები ტიტან-ხირულების დააზოტებების შემდეგ დააფიქსირა ხახუნის კოუფიციენტის ~3-ჯერ შემცირება.

ჩვენ მიერ ჩატარებული წინასწარი კვლევებით დადგინდა დააზოტებული სუფთა ტიტან-ხირულების უპირატესობები CoCrMo-ხირულებთან შედარებით. ხახუნის კოუფიციენტი წყვილში დააზოტებული სუფთა ტიტან-ხირულები 25%-ით ნაკლებია, ცვეთა – 60%-ით.

დააზოტებების ეფექტურობის გასაზრდებლად მიზანშეწონილია ნაკეთობის ზედაპირული ფენის დაწერილმარცვლოვანება ცვეთი ზედაპირული

პლასტიკური დეფორმაციით. წვრილმარცვლოვანი სტრუქტურა უზრუნველყოფს დისლოკაციების სიმკვრივისა და მარცვალთშორისი ფართობის გაზრდას, რაც ხელს უწყობს დიდურების ფენის სიღრმისა და მისი სისალის გაზრდას.

ჩვენ შევიმუშავეთ ცივი ზედაპირული პლასტიკური დეფორმაციის ტექნოლოგია. სფერული ფორმების ზედაპირული ფენებისათვის, რომელიც შესაძლებელს ხდის სუფთა ტიტანის წვრილდის პერსიული სტრუქტურის მიღებას, ამასთან სისალის ორჯერადი გაზრდით 1 მმ სიღრმეზე.

მოხასუნე წვრილების მუშა ზედაპირების მოდიფიკაციის ზემოთ მოყვანილი მეთოდები შესაძლებელს ხდის ტიტანის თავის მუშა ზედაპირის თვისებები შეიცვალოს ფართო დააპაზონში ტექნოლოგიური რეჟიმების ვარირების ხარჯზე.

თანამედროვე მოთხოვნების შესაბამისი, მენჯ-ბარძაფის სახსრის ე.წ. სახალხო ენდოპროთეზის შემუშავების კომპლექსური ტექნოლოგიური ამოცნის მესამე ნაწილის, სახელდობრ ხირულების აცეტაბულარული ფოსოს ცვეთამედეგობის გაზრდის გადაწყვეტა შესაძლებელია ან დაფარვის დადგით, ან ხირულენის მოლეკულების განივი შეკვრის (შეკერვის – ხირულენის გარდაქმნის) გზით.

პირველი გზა არ არის იმედის მომცემი, რადგან პოლიოლეფინები ხასიათდება დაბალი ადჰეზიით ყველა მასალასთან, რომელიც შესაძლოა იყოს გამოყენებული ცვეთამედეგი დაფარვისათვის.

რაც შეეხბა მეორე გზას, პოლიეთილენის ფიზიკურ-ქიმიური თავისებურებების გათვალისწინებით, მისი ცვეთამედეგობის გაზრდის უმტკსად მიზანშეწონილ მეთოდს წარმოადგენს ზედაპირული ფენის მოდიფიცირება მასში სამგანზომილებიანი შეკრული სტრუქტურის ფორმირებით პოლიმერის ჯაჭვებს შორის განივი კავშირების წარმოქმნის ხარჯზე.

ამრიგად, მენჯ-ბარძაფის სახსრის სოციალური ენდოპროთეზის შექმნის ამოცანა, რომელიც უპასუხებს თანამედროვე მოთხოვნებს ხანგამძლეობისა და ბიოშეთავსების მხრივ, შესაძლებელია გადაწყდეს მოხასუნე წვრილის დეტალების სუფთა ტიტანის სფერული თავისა და ხირულენის აცეტაბულარული ფოსოს მუშა ზედაპირების თვისებების ოპტიმიზაციით.

3. დასკვნა

1. შემუშავებულია სუფთა ტიტანის მოდიფიცირების მეთოდი მასალის ცივ მდგომარეობაში დეფორმაციით და შემდგომი დაზოტვებით.
2. დადგენილია მოდიფიცირებული ტიტანის პროგრესული მეთოდით მექანიკური დამუშავების ოპტიმალური პირობები აღმასით ხეხვის დროს.
3. ხირულების აცეტაბულარული ფოსოს ცვეთამედეგობის გაზრდა პოლიმერის მოლეკულების განივი შეკვრის გზით.
4. შექმნილია მენჯ-ბარძაფის სახსრის ხანგამდე, ე.წ. სოციალური ენდოპროთეზი სუფთა ტიტანისა და ხირულების ცვეთამედეგი ელემენტების გამოყენებით, არცოუ მაღალი შემოსავლების მქონე პაციენტებისათვის.

ლიტერატურა

1. O. Rozenberg, V. Voznyy, S. Sokhan, R. Turmanidze. Bearing Surfaces with sapphire for total hip-joint replacement. The 66th International Congress of Precision Machining ICPM 2011. Liverpool John Moores University, 13th–15th September 2011. Day 2. Liverpool. P. 121-126. <http://www.scientific.net>.
2. Розенберг О.А., Шульженко А.А., Сохань С.В., Соколов А.Н., Возный В.В. Влияние анизотропии сапфира на иммунологические, трибологические и прочностные характеристики материала// Высокие технологии в машинобудовании: 36. научных трудов НТУ "ХПИ". – Харьков, 2007. – Вып. 2(15). – 281 с.
3. B.I. Batiashvili, D.S. Butskhrikidze, G.L. Mamulashvili, O.B. Mgaloblishvili, R.S. Turmanidze, K. Kromp, B. Mills, W. Steinkellner, E. Schafler, F.G. Rösel, H. Peterlik. Evaluation of surface preparation techniques, SFG: Swing Frame Grinding and LPG: Low Temperature Precision Grinding, by comparison of results on alumini and siliconcarbide model materials. Fracto-graphy of advanced ceramics. International Conference Stará Lesná, High Tatras, May 2001.
4. O. Mgaloblishvili, R. Turmanidze, D. Butskhrikidze, M. Beridze. Grindability of single crystal sapphire in medical use and the scheme of forming highly precise spherical heads. The 66th International Congress of Precision Machining ICPM 2011. Liverpool John Moores University, 13th–15th September 2011. Day 1. Liverpool. 3 pg. <http://www.scientific.net>.

UDC 615.46:616.728

MODIFIED PURE TITANIUM – PERSPECTIVE MATERIAL FOR ENDOPROSTHESIS OF HIP JOINT**R. Turmanidze*, D. Butskhrikidze**, M. Beridz*****

*Department of industrial technologies of mechanics engineering, Georgian Technical University, 68^b, Kostava str, Tbilisi, 0175, Georgia

**U. Bakul institute of super hard materials of NAS of Ukraine, Kiev

***Karpenko physico-mechanical institute of NAS of Ukraine, Lviv

Resume: There are solved the tasks, connected with elaboration and perfection of technological methods of modification of the work surfaces of parts of friction pairs of the endoprosthesis of hip joint. In particular titanium head by cold surface plastic deformation and subsequent nitration, which should result in an optimal combination of mechanical properties and adhesion of inertia, and the acetabular cup of hirulen ISO 5834-2, results in cross-linking of molecules (transformation of hirulen into cross-link).

Key words: endoprosthesis; pure titanium; hirulen; deformation; nitration; precision friction.

УДК 615.46:616.728**МОДИФИЦИРОВАННЫЙ ЧИСТЫЙ ТИТАН-ПЕРСПЕКТИВНЫЙ МАТЕРИАЛ ДЛЯ ЭНДОПРОТЕЗОВ ТАЗОБЕДРЕННОГО СУСТАВА****Турманидзе Р.С.*, Буцхрикидзе Д.С.**, Беридзе М.Д.*****

*Департамент производственных технологий инженерии механики, Грузинский технический университет, Грузия, 0175, Тбилиси, ул. Костава, 68^b

**Институт сверхтвердых материалов им. В.Н. Бакуля Украинской национальной Академии Наук, Киев, Украина

***Физико-механический институт им. Г.В. Карпенко Украинской национальной Академии Наук, Львов, Украина

Резюме: Решены задачи, связанные с разработкой и совершенствованием технологических методов модификации рабочих поверхностей деталей пары трения эндопротеза тазобедренного сустава. В частности рассмотрена титановая головка, полученная холодным поверхностным пластическим деформированием и последующим азотированием. В результате оптимальное сочетание механических характеристик, адгезионной инертности и ацетабулярной чащечки из хирулена ISO 5834-2 приводит к поперечному сшиванию молекул (преобразованию хирулена в кросс-линк).

Ключевые слова: эндопротез; чистый титан; хирулен; деформация; азотирование; прецизионное шлифование.

მიღებულია დახაბუჭლია 29.05.2013

ԱՐԺՈՒԹԱԳՅԱՐՈՒՄ, ՇՐՋԱԲՈՍՔՈՅՈՒՆԱ ԸՆ ԾՈԽԱՌՈՅԻ ԿԵՋՅՈՒ

УДК 72

ПУТИ ГРАДОСТРОИТЕЛЬНОГО РАЗВИТИЯ ГОРОДА БАКУ НА СОВРЕМЕННОМ ЭТАПЕ

Илгар Айдын оглы Исбатов

Азербайджанский Архитектурно-Строительный Университет

E-mail: info@azmiu.edu.az

Резюме: Генеральный план развития города Баку, разрабатываемый в настоящее время, являясь фактически проектом реконструкции существующей планировочной структуры, должен распространяться не только на город, но и на более обширную пространственно – планировочную систему, в рамках которой объединяются селитебные территории, промышленные узлы, группы общественных и обслуживающих учреждений, зоны массового отдыха, территории инженерно – технических устройств, транспортных сооружений и т.д.

Ключевые слова: реконструкция городов; генеральный план развития Баку; пространственно-планировочные системы.

1. ВВЕДЕНИЕ

Среди важнейших градостроительных проблем, поставленных на современном этапе, особое место занимает реконструкция исторических городов. Сама по себе перестройка городских поселений является непременной формой существования любого города на протяжении всей истории человечества. Однако только двадцатый век полностью осознал всю важность сохранения и использования ценной архитектурно-художественной среды прошлого и выделил совокупность необходимых для этого реконструктивных мероприятий в самостоятельную проблему современного градостроительства.

Одной из главных причин, вызывающих потреб-

ность в реконструкции городской среды, является рост города, который влечет за собой определенную перестройку внутренней структуры. Сложившаяся на предшествующем этапе планировка города становится частью новой, охватывающей более обширную территорию планировочной системы. В связи с чем реконструкция городов, это преобразование и обновление населенных мест в целях коренного улучшения в них условий труда, быта, обслуживания и отдыха населения.

Деятельность, связанную с реконструкцией городов, было бы неправильно сводить лишь к ликвидации качественно устаревших зданий и сооружений и замене их новыми, или к переустройству отдельных городских районов с более или менее радикальным изменением типа застройки и благоустройства. Реконструкция предусматривает переустройство и обновление городов в их целостности, последовательное преобразование всей материальной жизненной среды.

Реконструкция городов имеет сложный, комплексный характер. Она охватывает теорию, проектную и строительную практику обновления и усовершенствования планировки, застройки и благоустройства сложившихся населенных мест, развиваясь под воздействием общественного строя и производительных сил общества.

Задачи и способы реконструкции городов, ее характер и масштабы существенно менялись в процессе исторического развития населенных мест. При переустройстве городов находят свое материальное выражение, своеобразную трактовку социальные требования, функциональные потребности, инженерно-технические

и экономические возможности, а также эстетические запросы общества. Для совершенствования планировочной структуры городов используются средства научно-технического прогресса. Осуществление реконструкции – это проявление способности общества при современной рыночной экономике умение управлять развитием города, строить будущее на основе творческого предвидения перспектив этого развития с целью создания максимально благоприятных условий для усовершенствования жизненной среды, в которой обитает человек. Реконструкция городов не может быть сведена к частным вопросам, а служит средством разрешения коренных противоречий развития городов на базе научного предвидения.

Реконструкция, обновление, преобразование и переустройство городов – это термины, обозначающие одно и то же понятие. Разница между ними только в оттенках, характеризующих степень радикальности тех или иных регулярно проводимых реконструктивных мер по коренному обновлению городов на каждом историческом этапе их развития.

Вся новейшая история развития городов свидетельствует о все расширяющейся и углубляющейся урбанизации, росте городов, образовании в ряде регионов и стран мира агломерации – урбанизированной среды, охватывающей города и населенные места различных размеров, а также и межселенные пространства. В последние десятилетия процессы роста городов протекают и в Азербайджанской Республике. Наиболее активно это происходит в городе Баку и прилегающих территориях, начало которых можно отнести к первым десятилетиям XX века.

2. ОСНОВНАЯ ЧАСТЬ

В связи с бурным развитием города Баку, как по численности населения, так и по территориальному росту, одной из главных задач в период начала XX века для города Баку стала задача реконструкции города и улучшение жилищных условий населения. Строительная практика первых десятилетий XX века заключалась в упорядочении существующего жилого фонда, улучшении благоустройства города. Спрямлялись отдельные улицы города, сносились ветхие строения, на месте которых разбивались сады. Озеленение города стало реальным после пуска в действие в 1917 году первого бакинского водопровода. Успех озеленения во многом зависел от наличия посадоч-

ного материала. В 1923 г. в Баку впервые был заложен питомник, который, расширяясь с годами, сыграл значительную роль в озеленении города.

Плохое положение в тот период сложилось с канализацией города, которая даже в существующих отрезках была построена без всякой системы, по частной инициативе отдельных граждан, что было одной из основных причин антисанитарии в городе. Санитарная очистка города в 1920 году производилась ассенизационными обозами, которых не хватало, не вывозился своевременно и мусор.

Вопрос о строительстве канализации в городе Баку рассматривался в конце XIX века и только в 1903 году проект бакинской канализации был заказан Линдлею и его конторе во Франкфурте-на-Майне. Первый водопровод, построенный по его проекту, до сих пор снабжает город шолларской водой. После 1920 года Линдлей, оставшийся в Баку, продолжал работы по проектированию канализации города. Смерть Линдлея прервала эти работы, но материалы его послужили основой и были использованы при дальнейшем проектировании канализации города, строительство которой было начато в 1926 и закончено в 1930 г.

В начале 1924 г. в Баку была пущена в эксплуатацию первая трамвайная линия. В это же время был решен вопрос об электрификации Сабунчинской ветви железной дороги, и первой в СССР электрической железной дороги протяженностью 19,7 км, соединяющей Баку с нефтяными промыслами и рабочими поселками; в 1926 г. она была пущена в действие.

В связи с развитием нефтяной промышленности в 20-ые годы происходит большой приток населения в город Баку. По интенсивности роста населения в начале XX века Баку оставил за собой такие города, как Москва, Киев, Одесса, Харьков.

Путь выхода из острого жилищного кризиса и, главное, улучшение жизненных условий тысяч промышленных рабочих были в строительстве рабочих поселков. Вопрос о строительстве таких поселков был поднят уже в 1920 г. Было принято решение о строительстве в природно-климатических условиях Апшерона современных поселков, отвечающих наиболее прогрессивной для того времени идее города – сада Эбенизера Говарда. Строительство поселков–садов было направлено на ликвидацию жилищного кризиса и преодоление противоположности между городом и деревней.

Для городов–садов намечались участки заведомо не нефтеносные, расположенные вокруг Баку. Предполагалось строительство городов–садов для рабочих Сураханов, Белого и Черного города, Биби – Эйбата и Бинагадов. Предполагалось вести застройку двухэтажными коттеджами. Сады и парки должны были занимать не менее 50% всей площади, однако слабое экономическое положение в начале XX века ограничило создание городов–садов в Баку. Только с 1923 года на Апшероне начали строиться поселки Забрат, Сураханы, Романы, Биби – Эйбат, Баилов и др. Вся поселковая программа предусматривала строительство примерно 22 550 квартир со всеми общественными постройками.

Проектные работы по планировке и застройке этих поселков были поручены в 1924 году профессору А. Иваницкому, однако Иваницкий, учитывая бурный рост города, подготовил проект общего генерального плана Баку и Апшеронского полуострова. А. Иваницким были подготовлены: общая схема размещения поселков Азнефти, генеральный план Баку, проекты детальной планировки всех районов освоения первой очереди, генпланы новых поселков, проекты застройки кварталов, а также проекты жилых и общественных зданий.

Намеченная А. Иваницким схема размещения поселков Азнефти была первой схемой районной планировки Апшерона.

30-е годы XX столетия вызвали в Баку и на прилегающих территориях дальнейшее развитие нефтяной промышленности, что повлекло значительный приток населения в город (население Баку в 1933 г. составляло уже 500 тыс. чел.), требующий огромного культурного, жилищного и коммунального строительства.

В связи с этим возникла необходимость разработки районной планировки Апшеронского полуострова с городом Баку, которые были начаты в 1932 году под руководством проф. Семенова.

В состав основных задач планировочных работ профессора Семенова входило обеспечение всех жителей города и поселков планомерно расположенной сетью культурно – бытового обслуживания.

Были разработаны три варианта расселения на Апшероне. Основными критериями для оценки вариантов были расстояние и время передвижения от жилья до места работы. Одобренный второй вариант предполагал создание пяти городов – спутников Баку по

60 – 80 тыс. населения: в Сумгаите, Билья, южнее Мардакян, напротив острова Пиралахи (бывший Артем) и в районе Гоусаны. Этот вариант был признан оптимальным, так как основное население размещалось в городах, достаточно крупных для создания хорошего уровня обслуживания, на небольших расстояниях от мест приложения труда и расположенных на берегу моря, т.е. в наиболее благоприятных природных условиях Апшерона.

Территориальное развитие Баку, численность населения которого определялась в 665 тыс. чел. на 1937 г. и 750 тыс. чел. на 1942 г., осуществлялось путем освоения территориальных резервов самого города – Нагорного и Наримановского районов. Здесь должны были разместиться около 500 тыс. чел. Остальные 300 тыс. чел. предполагалось расселить в районе поселка имени Бакиханова (бывший Разина) – Ахмедлы, который был близко расположен к нефтепромыслам и к группе промышленных предприятий по Балахнскому шоссе.

Так получала претворение в жизнь трехчастная планировочная структура города с промышленной зоной посередине и жилыми районами – основным, существующим на западе и вновь создаваемым на востоке.

Работа группы В. Семенова не была завершена, она была прервана на стадии первого предварительного эскиза, но все же имела большое значение в выявлении основных положений генплана города, а также оказала влияние на дальнейшее формирование городской застройки.

В 1937 году профессором Ильиным были начаты работы по разработке нового генплана Баку.

Новый генеральный план использовал все ценное, что было заложено в предыдущих разработках, совершенствуя уже наметившиеся решения. Были уточнены места расположения городов - спутников на Апшероне. Были приняты границы города, намеченные еще А. Иваницким, и его членение на три части, причем восточный жилой массив, включающий весь район Ахмедлы, так называемого 8 - го километра поселков имени Бакиханова, Кара - Чухур и группы поселений на Зыхе, трактовался как единое целое, связанное со всем городом единой системой магистралей. Все три части композиционно были слиты в единый организм. Центр города перемещался на восток, ближе к геометрическому центру города.

В 1952 – 1954 годы проектным институтом Бакгипророгор был разработан генеральный план развития города Баку с предложениями по размещению массового послевоенного жилищного строительства. Этот генеральный план решал в основном вопросы планировочного урегулирования территории города Баку в развитии генерального плана 1937 года. В связи с этим в 70-ые годы назрела необходимость разработки нового генерального плана города Баку и Бакгипророгором было составлено технико-экономическое обоснование (ТЭО) развития города на срок 25 – 30 лет, которое было утверждено в 1972 году. На основании этого ТЭО в 1975 – 1976 г.г. был разработан новый генеральный план развития Баку. В 1984 – 1986 годы в генеральный план были внесены корректировки и срок его действия был продлен до 2005 года.

Анализ материалов последнего генерального плана показал, что генеральный план Баку 1986 года попытался отрегулировать общую структуру города, чтобы противопоставить проблеме медленного городского развития, слабой городской инфраструктуре, серьезному загрязнению воды, воздуха и окружающей среды, ухудшению транспортного движения. Однако общая цель развития города не была достаточно ясно определена и ориентируемая на будущее городская структура не соответствовала ему по своей форме. Баку рассчитывали только как самый большой портовый город в Азербайджане и самый большой центр экономики, науки и техники, торговли, информации и культуры, наконец, индустрии. Вопросы развития строительного сектора оставались открытыми и нерешенными.

Начиная с его выполнения, имели место большие изменения. В настоящее время, с введением рыночной системы использования земли, развития городской экономики и нефтедобычи, государство предложило строить Баку, как один из центров мировой энергетики, экономики и торговли так, чтобы область Апшерона и побережья Каспийского моря могли бы сделать скачок вперед, и чтобы развить Баку с его спутником Сумгайитом как экономическую зону, как центр нефтедобычи на Каспийском море и центр нового Шелкового пути (программа «ТРАСЕКА»). Поэтому генеральный план Баку 1986 года, хотя и был в свое время одобрен Бакинским советом (1987 г.), не может сегодня соответствовать потребностям быстрого развития города, который нуждается в трансформации городской структуры.

Городское пространство, в большой степени, тесно связано со структурой города, которая, как исторически сложившаяся структура, является основанием для городского развития. Городское пространство, как поверхностная структура, является физическим представлением городской структуры, воплощение городской истории и контекста. Городское пространственное планирование – идеал будущего развития города, ожидаемый проект будущей структуры и образа, и директива для градостроительства. Цель городского пространственного планирования состоит в том, чтобы обеспечить окружающую среду города для хорошей жизни и устанавливать соответствующую городскую форму. Городское пространство требует долгосрочного плана, высококачественного городского планирования и управления, совершенствования части и целого.

Сталкиваясь с развитием XXI столетия, особенно необходимо приспособить городскую функцию и структурное расположение к экономической системе, планировать демографическое развитие и использование земли, направлять устойчивое развитие города так, чтобы он был встроен в приемлемое и осуществимое пространство. К 2020 году первый этап пересматриваемого плана подойдет к концу. В будущем плане, градостроительное, экономическое и социальное развитие следует объединить в стратегическое планирование. Принимая во внимание интеграцию долгосрочного развития с краткосрочным строительством, полное планирование является научным и рациональным и поэтому более реалистичным и выполнимым. При этом создаются возможности для развития строительного сектора и устойчивого градостроительства.

Далеко идущая цель пространственного развития города – все же не столько структура, которая возьмет городскую идентичность и преемственность исторического контекста, сколько создание в нем пространственной основы для совершенствования и прогресса. Общее городское планирование должно ясно представлять городское пространство. В результате планирование происходит в ходе строительства в период беспрецедентного быстрого развития. Это невозможно осуществлять в рамках существующего генерального плана, который нуждается в пересмотре, чтобы соответствовать потребностям динамичного градостроительства. Кроме того, частные и местные интересы развития строительного сектора приводят к социальной ориентации к быстрому успеху и выгодам, стремлению

к быстрым результатам, пренебрегая общими и долгосрочными интересами. Такое градостроительство, конечно, вызывает вид городского пространственного развития, которое испытывает недостаток в связи с развитием строительного сектора и устойчивым развитием города.

Всё это вызывает необходимость разработки нового генерального плана города Баку, что и начато в настоящее время.

Генеральный план развития города Баку, разрабатываемый в настоящее время, являясь фактически проектом реконструкции существующей планировочной структуры должен распространяться не только на город, но и на более обширную пространственно-планировочную систему, в рамках которой объединяются селитебные территории, промышленные узлы, группы общественных и обслуживающих учреждений, зоны масового отдыха, территории инженерно – технических устройств, транспортных сооружений и т.д.

Так, например, общественные центры города Баку (стадионы, дворцы спорта, театры, цирк и др.) посещают, кроме городского населения, жители близлежащих населенных мест пригородной зоны (Бузовны, Мардакяны, Бильгя, Кала, Маштаги, Хырдалан и др.). Маршруты трудовых поездок к предприятиям и учреждениям города Баку выходят за пределы собственно городской территории. Загородные природные зоны служат местами отдыха горожан (морское побережье, дачи, пляжи и т.д.). Инженерные устройства города Баку обслуживают население пригородной зоны. Очистные сооружения водопровода и канализации города Баку располагаются за его границами. Транспортная система соединяет Баку с окружающими его населенными местами, а дороги пригородной зоны составляют органическое продолжения внутригородских магистралей. Промышленные предприятия, объединяясь по принципу специализации и кооперирования производств, концентрируются в пределах промышленных комплексов, выходящих за границы города (промкомплекс в зоне завода глубоководных оснований и др.).

Становится бесспорным, что при разработке нового генерального плана города Баку и при обновлении его планировочной структуры нужно, в отличие от прошлого, рассматривать город не в пределах его существующих или заданных административных границ, а в системе группового

расселения, распространяя реконструктивные мероприятия не только на сам город, но и на прилегающую к городу территорию и на тяготеющие к Баку города и населенные пункты (Сумгаит, Хырдалан, Говсан, Шыхов и др.). Возникшие между соседними населенными пунктами и городом Баку прочные производственные, хозяйственные, культурно-бытовые, транспортные и другие связи способствуют их пространственно-планировочному сближению и превращению данной взаимосвязанной системы в агломерацию. Сегодня мы можем говорить о сложившейся Бакинской агломерации и, понимая, что городская агломерация - это группа городов и других населенных мест, между которыми возникли устойчивые связи, можно утверждать, что это вызывает общность реконструктивных планировочных мероприятий.

Для дальнейшего развития и улучшения структуры Бакинской агломерации важное значение имеет правильная организация транспортной системы. Внутригородские магистрали должны смыкаться с вылетными магистралями, образуя единую взаимосвязанную транспортную систему, которая на сегодняшний день в Баку начала формироваться (проспект Гейдара Алиева и вылетная магистраль на Аэропорт и далее в район селения Мардакян.).

Упорядочение Бакинской агломерации приведет к работам по оздоровлению охране почв, воздушного и водного бассейнов, рекультивации нарушенных территорий.

3. ЗАКЛЮЧЕНИЕ

В результате планировочного совершенствования Бакинской агломерации, как город Баку, так и населенные пункты системы перейдут от замкнутых планировочных структур с обособленными городами – спутниками к открытым структурам взаимоувязанных населенных мест. Это будет способствовать устойчивому развитию города Баку и всей формирующей системы населенных мест – Бакинской агломерации.

ЛИТЕРАТУРА

- Нагиев Н.Г. Современное градостроительство Азербайджанской республики. ММС. Издательство работников образования.
- Фатуллаев Ш.С. Градостроительство и архитектура

- Азербайджана XIX – начала XX века. Ленинград: Стройиздат – Ленинградское отделение, 1986 год.
3. Эфендизаде Р.М. Архитектура Советского Азербайджана. Москва: Стройиздат, 1986.
4. Бретаницкий Л.Б., Саламзаде А.В. Архитектура Советского Азербайджана. Москва: Изд. литературы по строительству, 1973.
-

შაპ 72**ბაქოს ქალაშბებმარებითი განვითარების ზემდი თანამედროვე ეტაპზე****ილგარ აიდინ ოდლი ისბატოვი**

აზერბაიჯანის არქიტექტურულ-სამშენებლო უნივერსიტეტი

რეზიუმე: ქ. ბაქოს განვითარების გენერალური გეგმა, რომელიც დღეს მუშავდება, ფაქტობრივად არის არსებული დაგეგმარების სტრუქტურის რეკონსტრუქციის პროექტი. ის უნდა შეეხოს არა მარტო ქალაქს, არამედ უფრო დიდ სივრცულ-გეგმარებით სისტემას, რომელშიც შედის სამოსახლო ტერიტორიები, სამრეწველო კვანძები, საზოგადოებრივი და მომსახურების დაწესებულებები, რეკრაციული ზონები, საინჟინრო-ტექნიკური მოწყობილობების ტერიტორიები, სატრანსპორტო ნაგებობანი და ა.შ.

საკვანძო სიტყვები: რეკონსტრუქციის პროექტი; ბაქოს განვითარების გენერალური გეგმა; სივრცულ-გეგმარებითი სისტემა.

UDC 72**WAYS OF CITY-BUILDING DEVELOPMENT OF BAKU CITY AT THE MODERN STAGE****J. Isbatov**

Azerbaijan Architecture and Construction University

Resume: The general developing plan of Baku city elaborated at the present, being actually the project of reconstruction of the existent planning structure must be spread not only to the city, but to more wide space-planning system, in the framework of which the territories, industrial knots, groups of social and serving institutions, zones of mass relaxation, territories of engine-technical structure and transport constructions and so on.

Key words: reconstruction of cities; the general plan of growth Baku city; spatial-planing system.

მიღებულია დასაბუჭიდავ 26.06.2013

ბიზნესინიცირინგის სექცია

შაპ 801314

ლექსიგური და ურაზეოლოგიური სინონიმია

ნ. გამყრელიძე

ლიტერალურ მეცნიერებათა დეპარტამენტი, საქართველოს ტექნიკური უნივერსიტეტი, საქართველო,
0175, თბილისი, კოსტავას 77

E-mail: n.gamkrelidze@mail.ru

რეზიუმე: განხილულია სინონიმის და მისი სტილისტური დიფერენცირების საკითხები. დადგენილია ლექსიგური და ფრაზეოლოგიური სინონიმის მადიფერენცირებელი მარკერი. სტილისტური სინონიმის განხილვისას ხაზგასმულია ინტერ- და ინტრასტილური სინონიმების ფუნქციური თავისებურებები.

საკვანძო სიტყვები: ლექსიგური და ფრაზეოლოგიური სინონიმია; სინონიმის მადიფერენცირებელი მარკერი; ინტერ- და ინტრასტილური სინონიმია; სინონიმია და გარიანტულობა; ლექსიგური ეპივალენტი.

1. შესავალი

თანამედროვე ლინგვისტიკაში პრიორიტეტული ტერმინებიაა ენის სემანტიკურ-სტილისტურ ჭრილში განხილვა. იგულისხმება სინონიმის, როგორც ენის თვისების ტრადიციული გაგება. ენათმეცნიერთა ნაწილი სინონიმებს წმინდა სემანტიკურ მოვლენად მიიჩნევს, თუმცა მიუხდავად ამისა, ისინი ითვალისწინებულ სინონიმის სტილისტურ დიფერენცირებას და ხაზგასმით აღნიშნავენ, რომ დაფერენცირების სწორებ ეს უორმა გამოხატავს ფრაზეოლოგიურ ერთეულთა ექსპრესიულ, ემოციურ და აზრობრივ-შეფასებით თავისებურებებს [1].

2. ძირითადი ნაწილი

ფრაზეოლოგიური ერთეულების გარიანტუ-

ლობის კვლევისას მართებულად მიმაჩნია მათი დიფერენცირება სინონიმური ფრაზეოლოგიზმებისაგან. ამ ორი ენობრივი მოცემულობის გასამიჯნად მოკლედ უნდა შევვხო “სინონიმის” პრობლემას. სინონიმია და ვარიანტულობა ენათმეცნიერთა ინტენსივური კალევის ობიექტია, თუმცა მათი კალევა დღესაც აქტუალურია, რადგან სინონიმის ყოველი ახალი განმარტება აშუქებს მის ერთ მხარეს და ყურადღების მიღმა ტრვებს მეორეს.

დ. პრეციანის აზრით, ლექსიგური სინონიმების თოვქის ყველა განმარტებაში მთავარი დატვირთვა მოდის არა მათ ზოგად სემანტიკურ თვისებაზე, არამედ მათ შორის განსხვავებაზე. ავტორი აღნიშნავს, რომ “ერთმნიშვნელოვან წარმონაქმნებში შეიძლება მონაწილეობდეს მხოლოდ ისეთი ლექსიგური სინონიმები, რომელთა მნიშვნელობა უჟებად უმოხვევა ერთმანეთს” [2].

ი. ჩერნიშოვა კი განმარტავს, რომ “სინონიმისათვის დამახასიათებელია არა მნიშვნელობის იდენტურობა, არამედ მნიშვნელობის მსგავსება. ზუსტად ამ სახის სინონიმია არის ენის ბუნებრივი მოვლენა”. მისი აზრით სინონიმია სრულყოფს ენის ლექსიგურ, სემანტიკურ და პრაგმატიულ პოტენციალს [3]. როგორც წესი, სტილისტური სინონიმის განხილვისას, პირველ რიგში იგულისხმება ინტერსტილური სინონიმები, თუმცა ამ საკითხზე მსჯელობისას უნდა გავითვალისწინოთ ტ. ვინოგრადის აზრი: „არც ინტრასტილისტური სინონიმების არსებობა უნდა დაგვავიწყდეს“ [4].

მნიშვნელოვან მიმაჩნია იმის ხაზგასმა, რომ ინტრასტილისტური სინონიმები ერთგაროვანია

ექსპრესიული და ფუნქციური თვალსაზრისით, თუმცა მათ შორისაც ღიფერგნცირდება სტილისტური ვარიანტებისა. აღნიშნული ხშირად გამოიხატება ქოციური შეფერილობის ხარისხით, ელფერითა და მისი მეტაფორული გაფორმებით.

ი. ჩერნიშოვასა და მ. სტეპანოვას განმარტებით, ფრაზეოლოგიური სინონიმებში იგულისხმება აზრით ერთგვარი ან მონათესავე ფრაზეოლოგიზმები, რომლებიც პარადიგმულ დონეზე საერთო ნიშნებთან ერთად განსხვავდებულ ნიშნებაც წარმოაჩნენ. ფრაზეოლოგიური სინონიმია გერმანული ფრაზეოლოგიური სისტემის ერთ-ერთი კვლავ პროდუქტიული და მოცულობითი აპტეგორია. მისი მარგი ქმედების კოეფიციენტი ენის ფრაზეოლოგიური ფონდის გამდიდრების პროცესში საქმაოდ მაღალია – „კონტაციური ნიშნებლობა დროთა განმავლობაში ახალ-ახალ ფრაზეოლოგიზმებს წარმოქმნის, რაც, თავის მხრივ, ენის ლექსიკური მარაგის გამდიდრების ერთ-ერთი ფექტური საშუალებაა“ [5].

მოცემულ საკითხთან დაკავშირებით მართებულად მიმართავთ ლექსიკური და ფრაზეოლოგიური სინონიმების ღიფერგნცირება. კერძოდ, ფრაზეოლოგიური სინონიმები ლექსიკურისაგან განსხვავდებით აზრობრივად ერთგვარი სინონიმებია, რომელთა წვერების შეცვლა სინტაგმატურ დონეზე ჟესაძლებელია და, წვერების ჩანაცვლების მიუხდავად, აზრი იგივე რჩება. თვალსაჩინოებისათვის მოვიყან რამდენიმე მაგალითს.

ლექსიკური კავივალებები: „ასლა ერთობაშია“, „das Zusammengehöeren, alle... zusammen“

einer fuer Alle, alle fuer Einen
Einigkeit macht stark
viele Haende machen schnell das Ende.

ზემოხსენებულ მაგალითებში სახეზეა იდენტურობა როგორც სემანტიკური, ისე სტილისტური თვალსაზრისით. სტილისტური იდენტურობა გამოიხატება იმაში, რომ ოთხივე ფრაზეოლოგიური ერთეული მიეკუთვნება ყოველდღიურ სასაუბრო (umg.) სტილს; ხოლო სემანტიკური იდენტურობა გამოიხატება საერთო ლექსიკური კავივალებით: „Zusammengehöeren, alle... zusammen“.

მიუხედავად იმისა, რომ სამივე მაგალითში სემანტიკური ნიშნებლობა იდენტურია, ისინი მაინც ვერ ჩაითვლება დუბლიკატებად, ვინაიდან თითოეული მათგანის მნიშვნელობის მოტივაცია სხვადასხვა. სამივე ფრაზეოლოგიური სინონიმი არსებობს ერთმანეთისაგან დამოუკიდებლად და ენის განვითარების სხვადასხვა პერიოდს განეკუთვნება.

ფრაზეოლოგიური სინონიმები, რომლებიც ერთნაირი სტრუქტურით ხასიათდება, სტრუქტურულ სინონიმებად შეიძლება ჩაითვალოს. მაგალითად:

ლექსიკური კავივალებები „ივისებათა იდენტურობა“ Eigenschaftsidentitaet „Gleichheit zwischen Familienmitgliedern“

wie die Frau, so die Dirn, wie der Baum so die Birn
wie der Baum so die Frucht
wie der Herr, so's Gescherr
wie der Abt, so die Moenche.

შეიძლება ითქვას, რომ ამ ტიპის სინონიმები მიიღება ერთი ან რამდენიმე შემადგენელი ნაწილის ანუ კომპონენტის შეცვლის შედეგად. თუმცა შესაძლებელია შეგვხვდეს ერთგვარი სტრუქტურის მქონე ისეთი ფრაზეოლოგიური სინონიმები, რომლებშიც ერთი კომპონენტის ჩანაცვლება ცვლის სემანტიკურ ნიუანსებს და, აქედან გამომდინარე, იწვევს მცირე განსხვავებას. მაგალითად:

ლექსიკური კავივალებები „vertrauensvolle freund-schaftliche Beziehung“

treu wie ein Hund
treu wie ein Schiesshund.

აღნიშნულ ფრაზეოლოგიურ სინონიმებში ერთი კომპონენტის ჩანაცვლება, ამ შემთხვევაში Hund-Schiesshund-ის, იწვევს მათ განსხვავებას სემანტიკური ნიშნით, კერძოდ ექსპრესიულ-ემოციური შეფერილობის ხარჯზე.

ფრაზეოლოგიური ერთეულები შეიძლება იქნას განსხვავებული სტრუქტურის, მაგრამ იდენტური როგორც სემანტიკური, ისე სტილისტური თვალსაზრისითაც. მაგალითად:

ლექსიკური კავივალებები „in der Harmonie leben“, „Harmonie in der Familie“

Freud und Leid teilen
ein Herz und eine Seele sein.

ლექსიკური კავივალებები „Heuchelei“, „bei j.m etw. vortaeuschen“

doppeltes Spiel spielen
mit gleicher Muenze zahlen.

ლექსიკური კავივალებები „Liebe“, „Freundschaft“

Liebe duldet keinen Zwang
Liebe ist blind.

ლექსიკური კავივალებები „Liebe“, „Geduld“

kleine Haerdel staerken die Liebe
was sich liebt, das neckt sich

nur Mut, es wird schon.

მიუხედავად სტილისტური და სემანტიკური იდენტურობისა, ეს ფრაზეოლოგიური სინონიმები

მეტი ხატოვანქბით, სტილისტური შეფერილობით და ექსპრესიულობით გამოიჩინება, ვიდრე მათი მსგავსი არაფრაზეოლოგიური სინონიმები. აღნიშნული შეიძლება აქსენტი იმ გარემოებით, რომ ამ შემთხვევაში საქმე გვაქვს ფრაზეოლოგიური ერთეულის კონტაციურ ასპექტთან, სუბიექტის დამოყიდვებულებასთან ადსანიშნისადმი და დენტრატის სუბიექტის შედევრობა.

ამ საკითხთან დაკავშირებით საინტერესოა თ. ვინოგრაძის მოსაზრება. იგი თვლის, რომ „კარგი იქნებოდა შექმნილიყო ინტერსტილური პარადიგმატიკა, რომელშიც გათვალისწინებული იქნებოდა მკაცრი სისტემურობა, რომლის მიხედვითაც ესა თუ ის ექსპრესიული რიგი დანაწილდებოდა უზრუნველყო“ [4]. ცხადია, ინტერსტილური სინონიმური რიგების შექმნის მცდელობა ვერ იქნება უნაკლო და სრულყოფილი. იგი ვერ შეძლებს მოიცვას ყველა სტილი, რადგან ინტრასტილისტური სინონიმები წარმოაჩნის ინდივიდუალურ-აზრობრივ პოტენციალს. ორ ფრაზეოლოგიურ ერთეულში, რომელიც სხვადასხვა სტილს განეკუთვნება და, შესაბამისად, ინტერსტილურ სინონიმებს წარმოადგენს, სახეზე განსხვავება სემანტიკურ ნიუანსებში. ეს კი, თავის მხრივ, მიუთითებს იმ გარემოებაზე, რომ საუბარია ერთსა და იმავე ფაქტზე, მაგრამ სხვადასხვა კონტაციოთ. მაგალითად:

bekannt wie ein bunter Hund sein (umg. salopp.)
grosses Bekanntschaft haben/sehr bekannt sein. (lit.)
j-n auf den Essel setzen/bringen (umg. salopp)
j-n sehr boese machen (lit.).

ცხადია, ინტერსტილური სინონიმების რაოდვნობა შედარებით ნაკლებია, ვიდრე ინტრასტილისტური სინონიმებისა. აღნიშნული შეიძლება აიხსნას იმ გარემოებით, რომ ზოგიერთი ფრაზეოლოგიური ერთეული მკაფიოდ დიტერატურული, ბიბლიურ-რელიგიური ან მთოლოგიური წარმოშობისაა. ყველა ასეთ შემთხვევაში საქმე გვაქვს ერთი კონკრეტული დენტაციური მნიშვნელობის აქტუალიზაციასთან, რომელიც კონკრეტულ მომენტში ერთი სოციალური ჯგუფისათვის არის რელევანტური.

ლექსიკური გაკიცალების „Begruessungs-Abschiedsform“ „Hilfsbereitschaft aeusern“.

j-m die Hand geben
j-m die Hand druecken
j-m die Hand schuettern
j-m die Hand reichen.

ფრაზეოლოგიურ სინონიმებს, ისევე როგორც ლექსიკურს, ოთხ ჯგუფად ყოფს ი. ჩერნიშოვა [5]:

1. აზრობრივად ერთგვარი სინონიმები;

2. იდეოგრაფიული სინონიმები;

3. სტილისტური სინონიმები;

4. ტერიტორიული სინონიმები.

მოცემული კლასიფიკაციის მიხედვით ფრაზეოლოგიური შესაძლებელია დაჯგუფდეს შემდეგნაირად:

1. აზრობრივად ერთგვარი სინონიმები:

Baer bleibt Baer, fahrt man ihn auch uebers Meer
der Zwerge bleibt immer der Zwerge, und stuend er auch
auf dem hoechsten Berg
die Katze laesst das Mausen nicht

und sass er auch auf goldenem Stuhl, der Frosch
huepft wieder in den Pful.

2. იდეოგრაფიული სინონიმები:

j-n auf dem Zug gefressen haben

j-n im Magen gefressen haben.

3. სტილისტური სინონიმები:

j-m die Zaehne zeigen

j-m Stirn bieten

den Reiter abwerfen

4. ტერიტორიული სინონიმები:

auf den Hund kommen

auf den Hund bringen

j-n als Herrenlosen Hund behandeln

j-n an der Leine haben

j-n an Baendel haben (ავხტ.)

3. დასკვნა

ზემოთქმულიდან გამომდინარე, დასკვნის სახით შეიძლება ითქვას, რომ ფრაზეოლოგიური სინონიმების კლასიფიკაციის შედეგად გამოყოფილი 4 ჯგუფიდან უპირატესობა აზრობრივად ერთგვარ სინონიმებს ენიჭება. ვფიქრობ, ისინი არა მარტო ამდიდრებენ ფრაზეოლოგიურ სისტემას, არამედ კვანტიტატურობითაც გამოიჩინევიან. მნიშვნელოვნები მიმართ, ასევე, კვლევისას ფრაზეოლოგიური სინონიმებისა და დუბლიკატების დიფერენცირების უნარი. ვფიქრობ, მადიფერენცირებელ მარკერად ამ შემთხვევაში მათი ინდივიდუალური შენია ფორმა უნდა მივიჩიოთ, თუმცა არ უნდა დაგვავიწყდეს ის გარემოებაც, რომ მათი მნიშვნელობის მოტივაცია საერთო სემანტიკურ-სტილისტური ნიშნითაა მარკირებული.

ლიტერატურა

-
- | | |
|---|--|
| <ol style="list-style-type: none"> 1. Евгеньева А.Т. Словарь синонимов русского языка. Ленинград, 1970, стр. 10. 2. Апресян Ю.Д. Синонимия и синонимы // Вопросы языкознания, #4. М., 1969.-79 с. 3. Stepanova M.D. Cernischova I.I. – Lexikologie der deutschen Gegenwartssprache. Verlag Hochschule. | <p>Moskau. 1986. S. 18-25, 212, 23, 198, 200.</p> <ol style="list-style-type: none"> 4. Винокур Т.Г. Синонимия в функционально-семантическом аспекте // Вопросы языкознания #5. М., 1975., стр. 54, 59-63, 57. 5. Cernyseva I. – Feste Wortkomplexe des deutschen in Sprache und Rede. Moskau: Vyssaya akademiya. 1980, S. 60, 135-155, 125-130. |
|---|--|
-

UDC 801.314**LEXICAL AND PHRASEOLOGICAL SYNONYMY****N. Gamkrelidze**

Department of liberal sciences, Georgian Technical University, 77, Kostava str, Tbilisi, 0175, Georgia

Resume: There is represented problem of synonymy and its stylistic differentiations. By the examination of stylistic synonymy there is accentuated inter and intrastilistic synonymy and their functional peculiarities.

Key words: lexical and phraseological synonymy; differential marker of synonymy; inter and intrastilistic synonymy; synonymy and variance; lexical equivalent.

УДК 801.314**ЛЕКСИЧЕСКАЯ И ФРАЗЕОЛОГИЧЕСКАЯ СИНОНИМИЯ****Гамкрелидзе Н. О.**

Департамент либеральных наук, Грузинский технический университет, Грузия, 0175, Тбилиси, ул. Костава, 77

Резюме: Рассматриваются проблема синонимии и вопросы ее стилистической дифференциации. При рассмотрении стилистической синонимии подчеркнуты интер- и интрастилистические синонимы и их функциональные особенности.

Ключевые слова: лексическая и фразеологическая синонимия; дифференциальный маркер синонимии; интер- и интрастилистические синонимы; синонимия и вариантность; лексический эквивалент.

მიღებულია დახაბუჭებად 26.06.2013.

შპა 801.314

ცრაზეოლოგიური სინონიმია ენობრივი გარიანტის ჰარიტული**6. გამყრელიძე**

ლიბერალურ მეცნიერებათა დეპარტამენტი, საქართველოს ტექნიკური უნივერსიტეტი, საქართველო,
0175, თბილისი, კოსტავას 77

E-mail: n.gamkrelidze@mail.ru

რეზიუმე: განხილულია ფრაზეოლოგიური სინონიმია ენობრივი ვარიანტის ჭრილში, ასევე ფრაზეოლოგიური ერთეულების ვარიანტების მოფოლოგიური გზით შექმნის მეთოდები. დიფერენცირებულია სტილისტური ფრაზეოლოგიური სინონიმები ფრაზეოლოგიური ვარიანტებისაგან. ფრაზეოლოგიური ვარიანტულობა განხილულია როგორც ლექსიკურ-გრამატიკული ინგარიანტულობა.

საკვანძო სიტყვები: ფრაზეოლოგიური სინონიმია; ენობრივი ვარიანტი; სტილისტური ფრაზეოლოგიური სინონიმები; ფრაზეოლოგიური ვარიანტები; ფრაზეოლოგიური ვარიანტულობა; ლექსიკურ-გრამატიკული ინგარიანტულობა.

1. შესავალი

გერმანული ენა პლურიცენტრულია და, შესაბამისად, შედგება ერთმანეთისაგან განხევავებული, მაგრამ ინტერირებადი ერთგნული ვარიანტებისაგან. აქედან გამომდინარე რელევანტურია ფრაზეოლოგიური სინონიმის საკითხის განხილვა ენობრივი ვარიანტის კუთხით. ფრაზეოლოგია გერმანულ ენაში არ წარმოადგენს პომოგენურ სისტემას, რომლის ფარგლებიც ერთმნიშვნელოვნადაა დადგენილი, ამიტომ საუბარი “კლასიკურ გერმანულ ფრაზეოლოგიაზე” ხშირად არ შექსაბამება მის ფუნდამენტურ არსეს [1].

ნაშრომი გერმანული ფრაზეოლოგიური სინონიმის ენობრივი ვარიანტის ჭრილში განხილვის მცდელობაა და მოიცავს გერმანულენოვანი სივრცის სპეციფიკურ ინტეგრირებულ ეროვნულ ვარიანტებს.

2. ძირითადი ნაწილი

ფრაზეოლოგიური ერთეულების სინონიმია და ვარიანტულობა ერთმანეთთან დაკავშირებული ენობრივი მოვლენებია. ფრაზეოლოგიური ვარიანტები წარმოადგენს ერთი და იმავე ფრა-

ზეოლოგიური ერთეულის ფონემატურ, სიტყვა-წარმოებით, მორფოლოგიურ და სინტაქსურ სახესხვაობებს. ისინი განეკუთვნება ენის ერთსა და იმავე ფუნქციურ დონეს, აქვთ საერთო მნიშვნელობა და ერთნაირი სტრუქტურა. გერმანულენოვან სივრცეში ძირითადად დიფერენცირდება ეროვნული ვარიანტულობით მარკირებული და ერთმანეთთან სპეციფიკურად ინტეგრირებული შემდეგი ჯგუფები:

1. შეა- და სამხრეთგერმანული სივრცის სპეციფიკური ზემოავსტრიული ფრაზეოლოგიზმები;
2. ბავარიულ-ავსტრიული ფრაზეოლოგიზმები;
3. ავსტრიული ოფიციალური ლექსიკის ფრაზეოლოგიზმები;
4. კინაში, აღმოსავლეთ და სამხრეთ ავსტრიაში გაურცელებული ფრაზეოლოგიზმები;
5. რეგიონალურად შეზღუდული ფრაზეოლოგიზმები.

გერმანულ ენაში ფრაზეოლოგიური ერთეულების ვარიანტების შექმნა მორფოლოგიური გზით ხორციელდება. აღნიშნულში იგულისხმება რიცხვისა და ბრუნვის კატეგორიები, წინდებულები, სიტყვათა წყვილების ადგილმონაცელუბა. მაგალითად, რიცხვის კატეგორიის მიხედვით ფრაზეოლოგიური ერთეულის ვარიანტების შექმნის ნიმუშებია:

wer mit dem Hund schlaeft, steht mit Flohen auf / wer mit Hunden schlaeft, steht mit Flohen auf von Eule kommt kein Sperber / von Eulen kommen keiene Sperber.

წინდებულის შეცვლით ფრაზეოლოგიური ერთეულის ვარიანტის მაგალითად შეიძლება დაგასახელოთ:

Topf von Ton und Topf von Eisen sollen nicht zusammenreisen / Topf aus Ton und Topf aus Eisen sollen nicht zusammenreisen.

ბრუნვის კატეგორიაში შეცვლის მიხედვით ფრაზეოლოგიურ ერთეულთა ვარიანტებია:

j.n an die Brust druecken / j.n an der Brust haben.

ფრაზეოლოგიური ერთეულის შემადგენელი წყვილის აღგილმონაცვლებია ისეთი ფრაზეოლოგიური ვარიანტების შექმნას განაპირობებს, როგორიცაა, მაგალითად:

auf Leben und Tot / auf Tot und Leben.

ფრაზეოლოგიური ერთეულის კომპონენტების ადგილმონაცვლეობის შედეგია ისეთი ფრაზეოლოგიური ვარიანტები, როგორიცაა, მაგალითად:

gross und klein / klein und gross

mit Frau und Kind / mit Kind und Frau

mit Blut und Haut / mit Haut und Blut.

საქანთმეცნიერო ლიტერატურაში ფრაზეოლოგიური სინონიმიასთან და ვარიანტთან დაკავშირებით ვხვდებით მრავალგვარ მოსაზრებას: ერთინი ფრაზეოლოგიური ერთეულების გარიანტებს აიგივებენ ფრაზეოლოგიურ სინონიმებთან და მათ „სინონიმებრ რიგებს ან იდიომებს“ უწოდებენ [2]. ლინგვისტთა მეორე ნაწილი გამოთქვამს განსხვავებულ მოსაზრებას. მაგალითად, მ. სტეპანოვა და ო. ჩერნიშვილინა, რომ „ფრაზეოლოგიურ სინონიმებსა ან ვარიანტებზე შეიძლება კიმსჯელოთ იმის მიხედვით თუ რა ცვლილებებს გამოიწვევს ფრაზეოლოგიურ ერთეულში მისი შემადგენელი კომპონენტების ცვლილება“. აგროვები თვლიან, რომ „სინონიმებზე ლაპარაკის უფლება გვაქს მხოლოდ იმ შემთხვევაში თუ ფრაზეოლოგიური ერთეულის შემადგენელი კომპონენტების ცვლილება არ გამოიწვევს სემანტიკურ, სტილისტურ და ტერიტორიულ ცვლილებებს უფრისეულ ფრაზეოლოგიურ ერთეულთან შედარებით“ [3].

ამ მოსაზრების დასასაბუთებლად მ. სტეპანოვასა და ო. ჩერნიშვილის მოქავთ მაგალითები, სადაც არსებითი სახელის ცვლილება იწვევს სტილისტურ ცვლილებას:

ლექსიკური ეკვივალენტი „დუმილი“ „განუშება“ „schweigen“

„den Mund halten“

„den Rand halten“

„den Maul halten“

ჩემი აზრით, ამ შემთხვევაში სახეზეა სტილისტური ფრაზეოლოგიური სინონიმები და არა ფრაზეოლოგიური ვარიანტები. ასეთ შემთხვევებში ფრაზეოლოგიური ერთეულები ერთი შეხედვით შეიძლება იდეოგრაფიულ სინონიმებადაც კი მივიჩნიოთ. თუმცა უნდა გავითვალისწინოთ, რომ სტილის ცვლილების პროდუქტი მხოლოდ სტილისტურ-ფრაზეოლოგიური სინონიმებია და სტილის შეცვლა გამორიცხავს იდეოგრაფიული სინონიმების წარმოქმნას.

ვფიქრობ, ამ პუთხით საინტერესოა აზრობრივად მსგავსი (sinngleiche) ფრაზეოლოგიური სინონიმები. ისინი, მართალია, ერთსა და იმავე აზრს გამოხატავს, მაგრამ არ არის დუბლები,

რაც, თვის მხრივ, გამორიცხავს მათ ვარიანტების მაგალითად:

ლექსიკური ეკვივალენტი: „სამაგიროს გადახდა“ „შერისძიება“ „j.n zur Rechenschaft ziehen“

mit j.m einen Nuesschen zu knacken haben

mit j.m eine Ruebe zu schaben haben

mit j.m ein Huhnchen zu rupfen haben.

ფრაზეოლოგიური სინონიმის ფუნქციურ-სტილისტური მნიშვნელობა დამოკიდებულია მისი შემადგენელი სიტყვა-კომპონენტების სტილისტურ ვარიანტებზე. ფრაზეოლოგიზმთა ფუნქციურ-სტილისტურ ვარიანტებს განეკუთვნება ისეთი ფრაზეოლოგიური სინონიმები, რომლებსაც აქვთ საერთო სემანტიკა, სტრუქტურა და ლექსიკური შედეგნილობა. ამ შემთხვევაში მოდიფიცირებას მხოლოდ ერთი სიტყვა განიცდის, რაც შედგებად აზრობრივ ან ემოციურ-ექსპრესიულ ცვლილებებს იწვევს. ასეთი ფრაზეოლოგიური ერთეულებით სახეზეა განსხვავდებული ფონემატური, სიტყვაწარმოებითი და მორფოლოგიური თვისებები მაგალითად:

ლექსიკური ეკვივალენტი: „სხვის საქმეში ცხვირის ჩაყვავა“ „საკუთარი მოსაზრების თავს მოხვევა“ „zu neugierig, zudringlich, aufdringlich, durchsetzlich, laestig, hartnaeckig sein“

die Nase in etw. stecken

immer in anderen Kochtopf gucken

sich um jeden Dreck kuemmern

j.d muss immer seinen Senf dazutun/dazugeben

in jeden Dreck die Nase stecken

in jeden Quark die Nase stecken

in jeden Topf die Nase stecken.

აღნიშვნელი მაგალითები ხასიათდება საერთო ლექსიკური ეკვივალენტით, თუმცა მარტინებულია სხვადასხვა სტილისტური შეფერილობით.

3. დასკვნა

მაშასადამე, თუკი ფრაზეოლოგიურ ვარიანტების განვიხილავთ როგორც ლექსიკურ-გრამატიკულ ფენომენს და შევადარებთ მას ფრაზეოლოგიურ სინონიმიას, შეიძლება დავასკვნათ:

1. ფრაზეოლოგიური ვარიანტები განსხვავდება ფრაზეოლოგიური სინონიმებისაგან.

2. ფრაზეოლოგიური ვარიანტებისათვის დამახასიათებელია საერთო ლექსიკური ეკვივალენტი და ერთმანეთისაგან უმნიშვნელო სემანტიკურ-სტილისტური განსხვავებები.

3. ფრაზეოლოგიური სინონიმია უფრო ფართო ცნებაა, ვიდრე ფრაზეოლოგიური ვარიანტებისა. ფრაზეოლოგიურ სინონიმებში იგულისხ-

მება არა ფრაზეოლოგიური ერთეულების ვა-
რიანტები სახესხვაობები, არამედ მათი ლექ-
სიკური ინვარიანტები.

ლიტერატურა

1. Foeldes Cs. – Gibt es eine oesterreichische Phraseologie. In: Hartmann D. (Hg.) – „Das geht auf keine Kuhhaut“ Studie zur Phraseologie und Paroemiologie 16. Bochum. Brockmeyer. 1998, S. 120-121.
2. Klappenbach R. - Probleme der Phraseologie. In: Wissenschaftliche Zeitschrift der Karl-Marx-Universitaet, Leipzig. 1968, S. 221-227.
3. Stepanova M.D. Cernischova I.I. – Lexikologie der deutschen Gegenwartssprache. Verlag Hochschule. Moskau. 1986. S. 18-25, 212, 23, 198, 200.

UDC 801.314

PHRASEOLOGICAL SYNONYMY IN THE LANGUAGE VARIANTS

N. Gamkrelidze

Department of liberal sciences, Georgian Technical University, 77, Kostava str, Tbilisi, 0175, Georgia

Resume: There is represented problem of phraseological synonymy in the language variants. There are considered morphological methods of phraseological variation formation. There differentiated phraseological synonyms from phraseological variances. Phraseological variation is considered as a lexical-grammatical invariance.

Key words: phraseological synonymy; language variant; stylistic-phraseological synonyms; phraseological variances; phraseological variation; lexical-grammatical invariance.

УДК 801.314

ФРАЗЕОЛОГИЧЕСКАЯ СИНОНИМИЯ В ЯЗЫКОВЫХ ВАРИАНТАХ

Гамкрелидзе Н. О.

Департамент либеральных наук, Грузинский технический университет, Грузия, 0175, Тбилиси, ул. Костава, 77

Резюме: Рассматривается проблема фразеологической синонимии в языковых вариантах. Рассмотрены морфологические методы образования фразеологической вариантности. Дифференцированы фразеологические синонимы от фразеологических вариантов. Фразеологическая вариантность рассматривается как лексико-грамматическая инвариантность.

Ключевые слова: фразеологическая синонимия; языковый вариант; стилистические фразеологические синонимы; фразеологические варианты; фразеологическая вариантность; лексико-грамматическая инвариантность.

მიღებულია დახაბუჭებად 26.06.2013

୩୧୯ 339.92

ზარმაცევტული გაზრის სახელმწიფო რეგულირების სისტემა

6. ფაილობე*, გ. სულაშვილი, ლ. ვაჩაძე

ბიზნესის ადმინისტრირების დეპარტამენტი, საქართველოს ტექნიკური უნივერსიტეტი, საქართველო, 0175, თბილისი, ქოთა გაბაშვი 77

E-mail: n.pailodze@gtu.ge

რეზიუმე: განხილულია ფაქტორები, რომლებიც გავლენას ახდენს ფარმაცევტული ბაზრის ფუნქციონირების პროცესზე: მოსახლეობის ეკონომიკური მდგრადარეობა, რომლის შედეგია მუდმივი სტრესის, ცუდი კვების, წამლებზე მაღალი ფასების გამო ადამიანის ჯანმრთელობის გაუარესება; ქვეყნაში მძიმე გორლოვიური სიტუაცია, რომელიც გამოწვეულია მირითადად ბუნების დაცვით ღონისძიებებზე დაფინანსების არარსებობით; ასევე მცენიერებაში ფუნდამენტური კვლევების დაუფინანსებლობა, რაც ერთი მხრივ, განპირობებულია ბიუჯეტის დაფიციტით, ხოლო, მეორე მხრივ - რესურსების არასწორი გადანაწილებით.

საკვნძო სიღყვები: ფარმაცევტული ბაზარი, ტრანსფორმაცია, ფასების რეგულირება, ინფორმაციური სტრატეგიები.

1. შესავალი

ვარმაცევტული სფერო ყოველთვის სწრაფი
ტრანსფორმაციისა და გაფართოების შესაძლებ-
ლობებით გამოიჩეოდა. თანამედროვე ბაზარზე,
მასეკონნომიკას საკმარიდ დიდი და მნიშვნელო-
ვანი ძგილი ჰქინია.

მსოფლიო ბაზარზე თითოეული წამლის წარმოების ზედნადები ხარჯი შედარებით დაბალია, ახალი მედიკამენტების კვლევისა და განვითარებისთვის გაწეულ ხარჯთან შედარებით, რაც საკმაოდ დიდია. ვარმაცევტული საშუალებების წარმოებისთვის საჭირო კვლევისა და განვითარებისთვის გაწეული ხარჯი რომ დაიფაროს, კომპანიამ ბაზარზე მიწოდების ისეთი ფასი უნდა დააწესოს, რომელიც მის ზედნადებ ხარჯზე მატები იქნება.

ფარმაცევტულ ბაზარზე ფასების რეგულირების პროცესს საქმაოდ დიდი ყურადღება ჰომიბა. ზოგიერთი ქვეყანა მთლიანად არეგულირებს ფასების დონეს (მაგალითად, კვროკაშირის ძველი ქვეყანა), სხვები ლიბერალურ პოლიტიკას ამჯობინებენ და კონკურენტულ ბაზარზე ფასებს საშუალების აძლევენ წონასწორულ დონეს მიაღწიოს (ამერიკის შეერთებული შტატები). რეგულირების ორივე ფორმა როგორც პოზიტიურ, ისე ჩვებაზრიულ გავლენას ახდენს გათხოვიმიტაზე.

2. ძირითადი ნაწილი

ფარმაცევტული ბაზრის ფუნქციონირების პროცესთან პირდაპირ კავშირშია სახელმწიფო რეგულირების რამდენიმე სფერო, რომლებსაც მიეკუთვნება:

- სამკურნალო საშუალებების ბაზრის ზოგადი სახელმწიფო რეგულირება;
 - სახელმწიფოს მოქმედება ინვაციურ სფეროში;
 - ღონისძიებათა სისტემა წარმოების სტიმულირებისათვის;
 - ახალი სამკურნალო საშუალებების შექმნის მხარდაჭერა;
 - ფარმაცევტულ ბაზარზე საინვესტიციო პროცესების კოორდინირება;
 - ერთიანი ინფორმაციული სივრცის შექმნა ფარმაცევტული ბაზრის უკელა მონაწილის უფრო ღრმა და მკაფიო ინფორმირებისათვის. მოქალაქეების ჯანმრთელობის გაუმჯობესება ახელმწიფო პრობლემაა. სამკურნალო საშუალებების წარმოებისათვის აუცილებელია კვლების ჩატარება სუბსტანციების და პრეპარატების დარღვევი. პერსპექტიულმა სამუშაოებმა უნდა აიაროს აპრობაცია და დაინერგოს წარმოებაში. შექმნილი სამკურნალო საშუალებები აუცილებელია უნდა მიეწოდოს მომხმარებელს. ეკონომიკურ წარმოებას ესაჭიროება რესტრუქტურიზაცია და მირითადი საშუალებების განახლება. მის განხორციელება კი შეუძლებელია ფარმაცევტული ბაზრის კავშირის გარეშე.

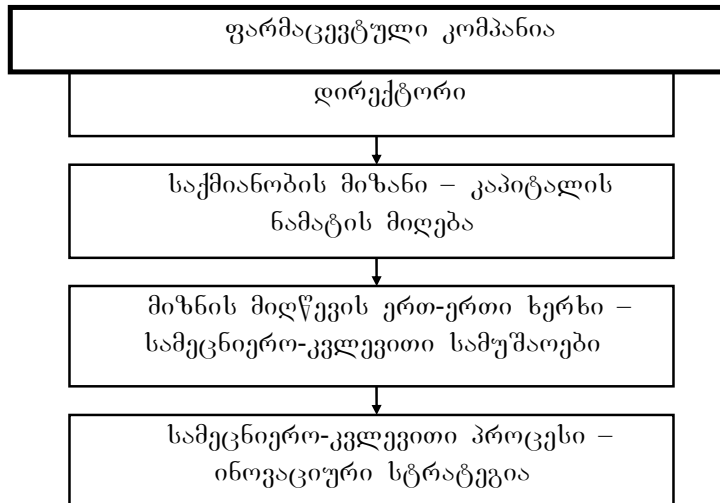
ფარმაცევტულ კომპანიას სჭირდება საკუთარი რესურსების მდგრად განაწილება. ამასთან დაკავშირებით წარმოიშვა ინოვაციური სტრატეგიის ხამოყალიბების აუცილებლობა.

სტრატეგია არის კომპლექსური გეგმა, რომელიც განვითარებულია იმისათვის, რომ უზრუნველყოს ორგანიზაციის მისის და მისი მიზნების განხორციელება. ფუნქციების პრინციპული განაწილების საფუძველზე ინოვაციური სტრატეგიის შექმავება ეფუძნება კომპანიის სამეცნიერო ფუნქციების ერთობლიობას. ინოვაციური სტრატეგიის შექმავების პროცესი მოიცავს რამდენიმე ეტაპს:

1. გრძელვადიანი პერსპექტივის შეფასება.
 2. განვითარების პროგნოზი.

3. მიზნის გააზრება.
 4. სუსტი და ძლიერი მხარეების ანალიზი.
 5. სტრატეგიული ალტერნატივების განზოგადება.
 6. ოპტიმიზაციის კრიტერიუმების შემუშავება.
 7. ოპტიმალური სტრატეგიის შერჩევა.
 8. ღონისძიებების დაგეგმვა.
- კომპლექსური კვლევების ჩატარება და ინოვაციური სტრატეგიის შემუშავება მიზანშეწონი-

ლია მხოლოდ ფარმაცევტული კომპანიის ფუნქციონირების მთავარ მიზნებთან დაკავშირებით. ფარმაცევტული ბაზრის მონაწილის ინოვაციური სტრატეგია უნდა შემუშავდეს მისი ფუნქციონირების მიზნების შესაბამისად. ამასთან დაკავშირებით უველა სამეცნიერო-კვლევითი პროექტი უნდა განიხილებოდეს როგორც კომპანიის მთავარი მიზნის მიღწევის ერთ-ერთი ძირითადი ხერხი.



ინოვაციური სტრატეგიის შემუშავების აუცილებლობა

ინოვაციური სტრატეგიის შემუშავების საფუძვლი არის პროდუქტის სასიცოცხლო ციკლის თვირთვა, ფირმის საბაზრო პოზიცია და მის მიერჩატარებული სამეცნიერო-ტექნიკური პოლიტიკა.

გამოყოფენ ინოვაციური სტრატეგიის შემდეგ ტიპებს:

1. შემტევი – დამახასიათებელია ფირმების თვის, რომელიც აფუძნებენ თავის საქმიანობას მეწარმეების კონკურენციის პრინციპებზე. ეს ახასიათებს მცირე ინოვაციურ ფირმებს.

2. თავდაცვითი – მიმართულია იმისთვის, რომ შეაჩეროს ფირმის კონკურენტული პოზიციები უკვე არსებულ ბაზარზე. ასეთი სტრატეგიის მთავარი ფუნქციაა ინოვაციურ პროცესში გააქტიუროს შეფარდება „დანახარჯი-შედეგი“. ასეთი სტრატეგია მოითხოვს ინტენსიურ სამეცნიერო-კვლევით სამუშაოებს.

3. იმიტაციური – გამოიყენება იმ ფირმის მიერ, რომელსაც ძლიერი საბაზრო და ტექნოლოგიური პოზიციები აქვთ.

ინოვაციური სტრატეგია გამომდინარეობს პრინციპით „დრო ფულია“. ამა თუ იმ სტრა-

ტების მიღებისას ხელმძღვანელობამ უნდა გაითვალისწინოს 4 ფაქტორი:

1. რისკი. რისკის რომელი დონე მიაჩნია ფარმაცევტულ კომპანიას მისაღებად თითოეული მისაღები გადაწყვეტილებისათვის?

2. განვილილი სტრატეგიების ცოდნა და მათი შედეგების გამოყენება გამოადგება ფარმაცევტულ კომპანიებს ახალი სტრატეგიის შემუშავებაში.

3. დროის ფაქტორი. ხშირად კარგი იდეა ფისკურის განვიდის მხოლოდ იმიტომ, რომ მისი შემოთავაზება განხორციელებისათვის მოხდა არასათანადო დროს.

4. მფლობელის რეაქცია. სტრატეგიულ გებამას შემუშავებს კომპანიის მენეჯერი, მაგრამ ხშირ შემთხვევაში მფლობელი ზეწოლას ახდენს მასზე. ხელმძღვანელმა უნდა გაითვალისწინოს ეს ფაქტორი.

სტრატეგიის შემუშავება შეიძლება განხორციელდეს ზევიდან ქვევით, ქვევიდან ზევით და საკონსულტაციო ფირმის დახმარებით. პირველ (ზევიდან ქვევით) შემთხვევაში, სტრატეგიულ გებამას ამუშავებს კომპანიის ხელმძღვანელობას.

„ქვევიდან ზევით“ სტრატეგიის შემუშავებისას, თითოეული ქვედანაყოფი (მარკეტინგის სამსახური, საფინანსო განყოფილება, და ა.შ) თავის კომპეტენციის საზღვრებში შეიმუშავებს სტრატეგიული გეგმის შედგენის საკუთარ რეკომენდაციებს. შემდგომ ეს წინადებები მიუწოდება ფირმის ხელმძღვანელობას, რომელიც განაზოგადებს მათ და იდებს საბოლოო გადაწყვეტილებას კოლექტივში განსახილველად. საკონსულტაციო ფირმის დახმარების შემთხვევაში, სტრატეგიულ გეგმას კომპანიის ხელმძღვანელობა ამჟამადებს საკონსულტაციო ფირმის რეკომენდაციების შემდეგ.

3. დასკნა

ფარმაცევტული ბაზრის სახელმწიფო რეგულირების სისტემის ფორმირებისათვის ჩამოყალიბებულ ეკონომიკურ, პოლიტიკურ და სოციალურ პირობებში საჭიროა:

ფარმაცევტული ბაზრის სახელმწიფო რეგულირების არსებული სისტემის გამოკვლევა;

სახელმწიფო რეგულირების ეფექტურობის ზრდის რეზერვების მოძიება;

სამკურნალო საშუალებების ბაზარზე სამეცნიერო პერსპექტივებისა და სახელმწიფოს ინოვაციური სტრატეგიის რეალიზაციისა და ფორმირების შესაძლო მიმართულებების შემთხვევაში;

იმ ძირითადი პრობლემების გადაწყვეტა, რომ

ლებიც წარმოიქმნება სახელმწიფო ინვესტიციების განხორციელებისას;

ფარმაცევტული რეკლამისა და სპეციალიზებული მარკეტინგული მომსახურების ბაზრის უფალმხრივი კომპლექსური ანალიზი.

ფარმაცევტული ბაზრის სახელმწიფო რეგულირების სისტემა საჭიროებს დრმა და გააზრებულ რეფორმირებას, რაც გამოიწვევს წამლის გაიაფებას და გაიზრდება ხალხისათვის მისი წვდომა.

ლიტერატურა

1. ნ. დვეგდაშვილი. მეცნიერულ-ტექნიკური პროგრესის ძირითადი მიმართულებები ჯანდაცვაში//სამეცნიერო შრომების კრებული «მარკეტინგის აქტუალური საკითხები», V. გამოშვება თბილის: თსუ-ის გამომცემლობა, 2003.
2. დ. ლომინაძე, ნ. თოდეუ. მარკეტინგის გამოყენების თავისებურებანი საკურორტო მედიცინში // ექონომიკა, 2007, 1-2, გვ.125-129.
3. საქართველოს ჯანდაცვის სამინისტროს მონაცემები - www.moh.gov.ge.
4. Boldrin&Levin: Against intellectual Monopoly, Chapter 9.
5. Managerial Economics, fifth edition, Paul G. Keat, Philip K. Y. Young , 2006.
6. Pharmaceutical industry profile 2003. Washington, D.C.: PharmaceuticalResearch and Manufacturers of America, 2003:62.

UDC 339.92

THE SYSTEM OF STATE REGULATION OF THE PHARMACEUTICAL MARKET

N. Pailodze, G. Sulashvili, L. Vachadze

Departament of business administration, Georgian Technical University, 77, Kostava str, Tbilisi, 0175, Georgia

Resume: There is considered factors, which are influenced on pharmaceutical functioning process, in particular trying economic situation, which results in constant stress, poor nutrition, medications high prices and accordingly worsening of human health. Dire ecological situation, which is caused by the financial absence on the security measures of the nature, as well as its influence on the research of fundamental sciences, which is conditioned on the one hand by the budget, while on the other hand by the incorrect redistribution of resources.

Key words: pharmaceutical market; transformation; price regulation; innovation strategy.

УДК 339.92

СИСТЕМА ГОСУДАРСТВЕННОГО РЕГУЛИРОВАНИЯ ФАРМАЦЕВТИЧЕСКОГО РЫНКА**Пайлодзе Н.Р., Сулашвили Г.В., Вачадзе Л.Ю.**

Департамент администрирования бизнеса, Грузинский технический университет, Грузия, 0175, Тбилиси, ул. Костава, 77

Резюме: Рассмотрены факторы, воздействующие на процесс функционирования фармацевтического рынка. В частности, это тяжелое экономическое положение населения, следствием которого являются: постоянный стресс, плохое питание, высокие цены на лекарства, ухудшение экологической ситуации и соответственно здоровья людей. Также отсутствие финансов для проведения мероприятий по защите природы, что объясняется, с одной стороны, дефицитом бюджета, т.е. невозможностью проведения фундаментальных научных исследований, а с другой стороны, неправильным распределением ресурсов.

Ключевые слова: фармацевтические компании; трансформации; регулирование цен; инновационные стратегии.

მიღებულია დახაბუჭებად 17.06.2013

უაპ 339.92**ცარგაცვალები ბაზრის ინოვაციური სტრატეგია****ნ. ფაილოძე*, გ. სულაშვილი, ლ. ვაჩაძე**

ბიზნესის ადმინისტრირების დეპარტამენტი, საქართველოს ტექნიკური უნივერსიტეტი, საქართველო, 0175, თბილისი, კოსტავას 77

E-mail: n.pailodze@gtu.ge

რეზიუმე: განხილულია ფარმაცევტული კომპანიის კვლევის პროცესი, აგებული იმ ინოვაციური სტრატეგიის საფუძველზე, რომელიც შემუშავებულია საფინანსო-ეკონომიკური მეთოდების გამოყენებით. ეს მეთოდები ერთობლიობაში შეადგენს კომპანიის საინოვაციო სტრატეგიის სამეცნიერო-საფინანსო მეთოდოლოგიას.

ლონისძიებების მრავალვარიანტულობის უზრუნველყოფა მენეჯმენტის ერთ-ერთი უმნიშვნელოვანების პრინციპია. უცხოეთის (უშადო კონკურენტების) გამოცდილების ანალიზის გარეშე ფუქია ინვესტიციების ხარჯვა.

საკვანძო სიტყვები: ინოვაციური სტრატეგია; ეკონომიკური ეფექტურობის მაჩვენებლები; ეფექტურობის სახეობები; რისკის გადანაწილება.

1. შესავალი

ბოლო წლებში ფარმაცევტული ბაზრის გაფართოება და სამკურნალო საშუალებების გამოყენების ზრდა გამოიწვია ქვეყანაში შექმნილმა სიტუაციამ, კერძოდ: მოსახლეობის ეკონომიკურმა მდგომარეობამ, ქვეყანაში მმიმებოლოგიურმა სიტუაციამ და სხვა ფაქტორებმა.

საქართველოში, ბოლო ათწლეულია შეზღუდულია სამეცნიერო კვლევებისთვის გამოყოფილი თანხები, კვლევის პოტენციური ობიექტები კი მეცნიერული თვალსაზრისით განსხვავდებად საინტერესოა. სამეცნიერო-საფინანსო მეთოდიკა ზოგადი პრინციპების, ასევე ეკონომიკური კვლევის სპეციალური ხერხებისა და მეთოდების სისტემაა, რომელიც ინოვაციური მენეჯმენტის თეორიულ ბაზას წარმოადგენს.

2. ძირითადი ნაწილი

საბაზრო ეკონომიკის პირობებში ინოვაციური პროექტის ვარიანტი შეირჩევა ინვესტორის ინტერესების გათვალისწინებით.

ინვესტორისთვის წარდგენილი ინოვაციური პროექტი უნდა იყოს მაჩვენებლების ერთიანი სისტემის შესაბამისი და უნდა ექვემდებარებოდეს ანალიზს ამ სისტემის მეშვეობით. ინოვაციური პროექტების შესაბამისობა განისაზღვრება შემდეგი მიზეზებით:

- სამუშაოს მოცულობის მიხედვით, რომელიც სრულდება უახლესი მიღწევების (ტექნიკური გიები, მოწყობილობები და ა.შ.) გამოყენებით;
- ინოვაციების ხარისხობრივი პარამეტრებით;
- დროის ფაქტორით;
- ფასების, ტარიფების დონით. შრომის ანაზღაურების პირობებით.

ღირებულების მაჩვენებლები განისაზღვრება ვარიანტების მიხედვით ინფლაციური ფაქტორის გათვალისწინებით.

ინოვაციური პროექტების ვარიანტების მარკეტინგული დამუშავება ერთნაირი უნდა იყოს, ამავე დროს ერთიანი უნდა იყოს მიღვომა ინოვაციური დაბანდებების რისკის შეფასებისადმი.

ინოვაციური დონისძიების შერჩევის ვარიანტებად გამოიყენება შედარებითი ეკონომიკური ჟღებებურობის მაჩვენებლები, რომლებიც ითვალისწინებს მხოლოდ ცვალებად შემადგენლებს.

ასეთი მაჩვენებლებია:

- დანახარჯი;
- ინოვაციაში დამატებითი ინვესტიციების ამოგებების ვადა;
- ინოვაციაში დამატებითი ინვესტიციების ეფექტურობის კოეფიციენტი.

ინოვაციური პროექტების მართვის პრაქტიკაში იყენებენ რისკის შემცირების შემდეგ ხერხებს:

1. რისკის გადანაწილება პროექტის მონაწილეებს შორის (თანაშემსრულებლებისთვის).

2. დაზღვევა.

3. გაუთვალისწინებული დანახარჯის დასაფარავად სახსრების დარეზერვება.

რისკის გადანაწილება ხდება პროექტის საფინანსო გეგმის და საკონტრაქტო საბუთების შემუშავებისას. ამასთანავე, პროექტის მონაწილეები იღებენ არაერთ გადაწყვეტილებას, რაც ზრდის ან ამცირებს პოტენციური ინვესტორების რაოდენობას. შესაბამისი მოლაპარაკებებისას

პროექტის მონაწილეები ამედავნებენ მოქნილობას იმის მიმართ, თუ რისკის რა ნაწილი იკისრებენ ისინი.

მრავალი მსხვილი პროექტის რეალიზაცია შეიძლება შეტერდეს, რამაც შეიძლება გამოიწვიოს სამუშაოს ფასის ისეთი მატება, რომ მან გადააჭარბოს პროექტის საწყის ღირებულებას. ამიტომ მნიშვნელოვანი როლი ენიჭება რისკის დაზღვევას. რისკის დაზღვევა ნიშნავს განსაზღვრული რისკის გადაცემას სადაზღვევო კომპანიისათვის.

გაუთვალისწინებელი დანახარჯის დასაფარავად სახსრების რეზერვის შექმნა ითვალისწინებს თანაფარდობის ჩამოყალიბებას პოტენციურ რისკსა და დანახარჯს შორის. გაუთვალისწინებელი დანახარჯის დასაფარავად სახსრების დარეზერვების შემთხვევაში გასათვალისწინებელია პროექტის და მისი ელემენტების დირებულების პირველადი შეფასების სიზუსტე. გაუთვალისწინებელი ხარჯის შეფასება იძლევა მის მინიმუმამდე დაფარის საშუალებას.

ინვესტორი უნდა იყოს დარწმუნებული იმაში, რომ, პროექტისგან მიღების შესაძლო მოგება საკმარისი იქნება დანახარჯის, დავალიანების გადახდის უზრუნველსაყოფად.

მიკროდონებზე ძირითადი ყურადღება ექცევა პროექტის კომერციულ ეფექტურობის, რომლიც განისაზღვრება როგორც საფინანსო დანახარჯისა და შედეგის ფარდობა.

ასევე, გათვალისწინებულია საინვესტიციო გადაწყვეტილებების მიღების შემდეგი კრიტიკულებები:

1. უფრო მომგებიანი ალტერნატივის არასებობა.

2. ინფლაციისგან მიღებული დანაპარგების რისკის მინიმუზაცია.

3. პროექტის შედარებითი სიიაფე.

4. შემონატანების სტაბილურობის უზრუნველყოფა.

5. მაღალი რენტაბელურობა დისკონტინების გათვალისწინებით.

ინოვაციების რეალიზაციისგან მიღებული ეფექტურობის მნიშვნელობა იზრდება საბაზრო ეკონომიკის პირობებში. თუმცა არანაკლებ მნიშვნელოვანია იგი გარდამავალი ეკონომიკისათვის.

განასხვავებენ ეფექტურობის რამდენიმე სახეს (იხ. ცხრილი).

ეფექტურობის სახეები

ეფექტურობის სახე	ფაქტორი, მაჩვენებელი
1. ეპონომიკური	მაჩვენებელი ითვალისწინებს გველა შედეგს და დანახარჯს, რომელიც განპირობებულია ინოვაციების რეალიზაციით
2. სამუცნიერო-ტექნიკური	სიახლე, სიმარტივე, სარგებლიანობა, ესთუტიკურობა, კომპაქტურობა
3. საფინანსო	მაჩვენებლების გაანგარიშება ეფუძნება ფინანსურ მაჩვენებლებს
4. რესურსები	მაჩვენებლები ასახავს ინოვაციის ზეგავლენის წარმოების მოცულობასა და ამა თუ იმ სახის რესურსის გამოყენებაზე
5. სოციალური	მაჩვენებლები ითვალისწინებს ინოვაციების რეალიზაციისგან მიღებულ სოციალურ შედეგებს
6. ეკოლოგიური	ხმაური, ელექტრომაგნიტური ველი, განათება, ვიბრაცია. მაჩვენებლები ითვალისწინებს ინოვაციების ზეგავლენას გარემოზე.

ეფექტურობის შეფასების ზოგად პრინციპს წარმოადგენს ეფექტურობისა და დანახარჯის შეფარდება.

განსაკუთრებით მწვავედ დგას სწრაფი შეფასების და სწორი ვარიანტის შერჩევის აუცილებლობა ფირმებში, რომლებიც იყენებენ დაჩარუბებულ ამორტიზაციას, რომლის დროსაც მოქმედი მანქანა-დანადგარის ახლით შეცვლის ვადები მნიშვნელოვნად მცირდება.

ინოვაციების ეფექტურობის გაანგარიშების მფორდი, რომელიც ეფუძნება ათვისების შედეგების დანახარჯთან შესაბამისობას, გვაძლევს უფლებას მივიღოთ გადაწყვეტილება ახალი პროექტის გამოყენების მიზანშეწონილობის შესახებ.

ინოვაციური სტრატეგიის შემუშავების საფუძველია – პროდუქტის სასიცოცხლო ციკლის ოქორია, ფირმის საბაზრო პოზიცია და მის მიერჩატარებული სამუცნიერო-ტექნიკური პოლიტიკა.

3. დასკვნა

ინოვაციური საქმიანობის განვითარება საჭართველოში გართულებულია აღვეკატური საკანონმდებლო ბაზის, შედავათიანი დაბეგვრის, მცირე და საშუალო ბიზნესისათვის იაფი კრედიტების მიუწვდომლობის გამო. ძალიან როულია მცირეთანხიანი კრედიტების მოზიდვა რაც დაკავშირებულია იმასთან, რომ ინვესტორს

უფრო მეტად აინტერესებს ძვირად დირექტული და ხანგრძლივადიანი პროექტი.

ბიზნესის სფეროში ინოვაციური პროცესების წარმატებას ხელს უწყობს ბაზარზე შესვლის ინსტიტუციური და სხვა ბარიერების შემცირება. ასევე კონკურენციის დინამიკურობა, რაც რესურსების გამოყენების ეფექტურობის შემცირების შემთხვევაში, საშუალებას იძლევა შედარებით უმტკიცნებულოდ გადაიტანოს ისინი ახალ სფეროში.

ლიტერატურა

1. ჯანმრთელობის დაცვა, სტატისტიკური ცნობარი. საქართველო, 2008.
2. 6. თოდება, დ. ლომინაძე. სამედიცინო მომსახურების ბაზრის განვითარების ტენდენციები საქართველოში // საერთაშორისო სამეცნიერო-პრაკტიკური კონფერენციის «ეპონომიკის აქტუალური პრობლემები განვითარების თანამდერვე ეტაპზე» სამეცნიერო შრომების კრებული. თბილისი: პაატა გუგუშვილის ეპონომიკის ინსტიტუტის გამომცემლობა, 2010, გვ. 560-565.
3. "სამედიცინო საქმიანობის სახელმწიფო რეგულირების სააგენტოს" მასალები.
4. საქართველოს კანონი „წამლისა და ფარმაცეტული საქმიანობის შესახებ“.

UDC 339.92**PHARMACEUTICAL MARKET INNOVATIVE STRATEGY****N. Pailodze, G. Sulashvili, L. Vachadze**

Department of business administration, Georgian Technical University, 77, Kostava str, Tbilisi, 0175, Georgia

Resume: Pharmaceutical company based on the research process of an innovative strategy, , developed a variety of financial - economic methods, which is a combination of scientific innovation strategy of the company - financial methodology.

Measures to ensure the management of multiple versions is one of the most important principles. Without analyzing experience of foreign investments (direct competitors) is given in vain spending investition.

Key words: innovative strategy; measures of economic effectiveness; redistribution of risks.

УДК 339.92**ФАРМАЦЕВТИЧЕСКИЙ РЫНОК ИННОВАЦИОННОЙ СТРАТЕГИИ****Пайлодзе Н.Р., Сулашвили Г.В., Вачадзе Л.Ю.**

Департамент администрирования бизнеса, Грузинский технический университет, Грузия, 0175, Тбилиси, ул. Костава, 77

Резюме: Фармацевтическая компания, основанная на процессе исследования инновационной стратегии, разработала ряд финансово-экономических методов, которые совместно представляют научно-финансовую методологию инновационной стратегии компании.

Обеспечение многовариантности мероприятий является одним из важнейших принципов менеджмента. Без анализа опыта иностранных (непосредственных) конкурентов получается пустая трата инвестиций.

Ключевые слова: инновационная стратегия; показатели экономической эффективности; перераспределение рисков.

მოღვაწეთა დახაბულია 17.06.2013

06 ფორმატიკისა და მართვის სისტემების სექცია

უაგ 681.3

პროგრამული მართვადი გალვანიზაციის აპარატი

ზ. ღურწკაია*, ზ. მგალობლიშვილი**

ბიოსამედიცინო ინჟინერიის დეპარტამენტი, საქართველოს ტექნიკური უნივერსიტეტი, საქართველო,
0175, თბილისი, ქოხტავას 77

E-mail: : z.gurtskaia@gtu.ge, hausiusi@gmail.com

რეზიუმე: დღეისათვის კურორტოლოგიაში ერთ-ერთი ყველაზე ხშირად გამოსაყენებელი სამედიცინო ელექტრონული ხელსაწყო არის გალვანიზაციის აპარატი, რომლის მეშვეობით შესაძლებელია ორგანიზმში არაინვაზიური მეთოდით პრეპარატის ლოკალურად შეყვანა და კოსმეტიკურ მანიქულაციებში დადგებითი ეფექტების მიღწევა. განხილულია თანამედროვე სტანდარტების შესაბამისად შექმნილი გალვანიზაციის აპარატის ქართული ვარიანტი, რომელსაც გარდა სტანდარტულისა, აქვს კომპიუტრით სამართვი ინტერფეისი და პაციენტების მონაცემთა ბაზის შესანახი პროგრამა, რაც მას უფრო მოსახერხებელს ხდის.

საკვანძო სიტყვები: გალვანიზაცია; კომპიუტერით მართვადი გალვანიზაციის აპარატი; ელექტროფორეზი; ფიზიოთერაპიული აპარატი; ფიზიოთერაპია.

1. შესავალი

გალვანიზაცია ფიზიოთერაპიის ერთ-ერთი ყველაზე გვაჭრული და გამოცემული მეთოდია. გალვანიზაციის აპარატის გამოსახვლებები არსებული გალვანური დენის მეშვეობით მრავალი დადგებითი ეფექტი მიიღება: იგი აუზებს ტკივილს, მოქმედებს ანთების საწინააღმდეგოდ, ხასიათდება აღმდგენი ეფექტით, აცხობის შეზუბებას, აუმჯობესებს სისხლის მიმოქცევას. ამ აპარატის საშუალებით შესაძლებელია ნივთიერების ლოკალურად შეყვანა, კუჭ-ნაწლავის ტრაქტის გადიზიანების გარეშე. სწორედ ეს დირსებები ხდის ელექტროფორეზის აპარატს უალტერნატივობის.

თანამედროვე თერაპიული ელექტროფორეზის აპარატი საქმაოდ ძვირია. მისი ფასი, ხელსაწყოს ხარისხიდან გამომდინარე, 300-დან 2500 ამურიკულ დოლარამდე. ამიტომ საქართველოს

მრავალ კლინიკაში დღესაც ამ აპარატის მოძველებული ვარიანტები გამოიყენება.

2. ძირითადი ნაწილი

ჩვენი მიზანი იყო თანამედროვე სტანდარტულ მორცებული სამედიცინო ხელსაწყოს – კომპიუტერით მართვადი ელექტროფორეზის აპარატის შექმნა.

ფიზიოთერაპიის კურსი – გალვანიზაცია, რომელიც ამ აპარატით ტარდება, არც ისე მარტივი პროცედურაა. ეს არის მრავალებრივიანი პროცესი და სხვადასხვა დაავადების დროს, ექიმთან სხვადასხვა რაოდგნობის ვიზიტს საჭიროებს, ყოველი დაავადების მექანიზმით მიმდინარეობს.

ფიზიოთერაპიული პროცედურის ჩატარებისას ერთ-ერთი მთავარი მოთხოვნაა პროცედურის განმავლობაში ორგანიზმში გატარებული დენის ძალა იყოს მუდმივი. ამის გამო, ადრე, როდესაც ელექტროფორეზის აპარატებს დენის სტაბილიზაციის სქემა არ პქონდა, ფიზიოთერაპევტი პაციენტებს სთხოვდა პროცესის განმავლობაში გაუნდრევლად მჯდარიყო. თანამედროვე აპარატებში ძირითადად ეს პრობლემა აღმოფხვრილი და უსაფრთხოების მექანიზმია გაუმჯობესებული.

სხვადასხვა სეანსი, განსხვავებული ძალის დენით (ნოზოლოგიის შესაბამისად) და ხანგრძლივობით ტარდება, რასაც ექიმი განსაზღვრავს.

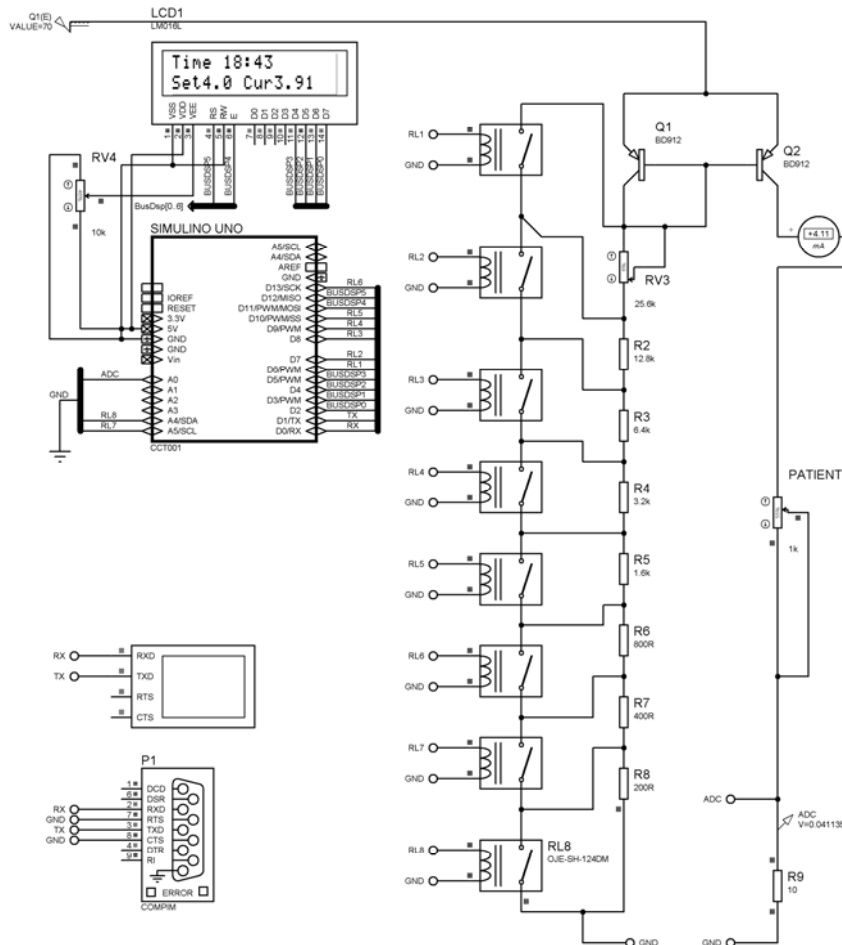
მოცემული აპარატი ზემოთ დასტული პრობლემების გადაწყვეტას ემსახურება, მოწყობილობაში ჩამონეტაჟებული დენის ელექტრონული ხელსაწყლით (რომელსაც მიკროკონტროლერი აკონტროლებს) დამსახურებაა, რომ პაციენტის გაუნდრევლად ჯდომა აღარ არის საჭირო.

თითქმის ყველა თანამედროვე აპარატს ახლავს პროგრამა, რომელიც მართვას მას და აქვს

მონაცემთა ბაზა, სადაც პაციენტის ისტორია ინახება. დღევანდველი სამედიცინო აპარატების ბაზარზე არსებულ გალვანიზაციის აპარატებს კომპიუტერით სამართავი ინტერფეისი არ აქვს. ამ აპარატში ჩამონაბაჯებული უნივერსალური მიმღევრობითი ინტერფეისი (USB) ამავე პორტით უკავშირდება კომპიუტერს და უზრუნველყოფს აპარა-

ტის მართვას კომპიუტერიდან. გარდა ამისა, კომპიუტერილი პროგრამა შეიცვალს თანამედროვე გაიდლაინით აღიარებულ პროტოკოლს, კონკრეტული ნოზოლოგიისთვის რა დენის ძალა და სენსის რა ხანგრძლივობა აირჩიოს.

მოწყობილობის პრინციპული სქემა მოცემულია პირველ სურათზე.



სურ.1. გალვანიზაციის აპარატის პრინციპული სქემა
(მიკროკონტროლერი და გამოსახვლელი წრედი კეთის გარეშე)

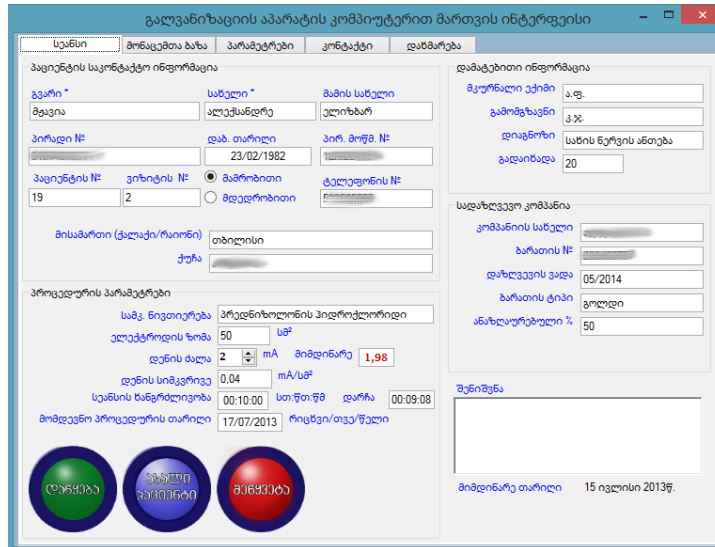
ხელსაწყოს შესაქმნელად გამოყენებულია ARDUINO UNO-ს, ATMEGA 328 მიკროკონტროლერიანი, მზა სქემა, რომელიც ჩვენი სურვილისამებრ არის დაპროგრამებული. ARDUINO-ს სქემის უპირატესობაა მისი უპრობლემო თავსებადობა Windows8-სთან. ასევე გამოყენებულია დამწევი ტრანსფორმატორი, რომლის ტრანსფორმაციის კოეფიციენტია $U_2.1/U_1 = 0.363$, $U_2.2/U_1 = 0.04$, სიმძლავრე კი – 25 ვატი. მიკროკონტროლერის დასაპროგრამებლად გამოყენებულია ARDUINO-ს გარემო.

წინადობის ამოსართავად გამოყენებულია მიკროკონტროლერით მართვადი Sain Smart-ის რვარელეებინი სქემა (სამწუხაოდ, პრინციპულ სქემაზე უბრალოდ რელეებია გამოსახული, ვინაიდან პროგრამა Proteus-ს ბიბლიოთეკაში ეს სქემა არ აქვს).

დამწევი ტრანსფორმატორის მეშვეობით ვიდეო დაახლოებით 80 ვოლტ ძაბვას გამოსახულები წრედისთვის და 5 ვოლტამდე – მიკროკონტროლერის სქემისთვის. თერაპიული მინებისთვის განკუთვნილი ძაბვა დენის სტაბილი-

ზატორის გავლით გამოდის გამოსახვლელებზე დენის სტაბილიზაცია ხორციელდება ორი მეთოდით, პირველია დენის სარკე, მეორე ხორციელდება მიკროკონტროლერით და რვა პრეციზიული წინაღობით, რომელთაგან ყოველი შემდეგი ორჯერ მეტია წინაზე. მიკროკონტროლერი, დროის დისკრეტულ ინტერვალებში ზომავს ძაბვის ვარდნას გამოსახვლელ წრედში მიმღვრობით ჩაყენებულ შენტურ წინაღობაზე, შესაბამისად ადგენს ორგანოებში გამავალი დენის მნიშვნელობას და ამის მიხედვით რელეების საშუალებით ამორთავს ზოგიერთ წინაღობას R1-R8 წინაღობებიდან, სასურველი დენის მისაღებად. LCD1 დისპლაზზე პირველ სტრიქონში ჩანს დენის ძალის მნიშვნელობა მიღლიამპერობით, მეორე სტრიქონში – სეანსის დამთავრებამდე დარჩენილი დრო.

კომპიუტერული აპლიკაცია დაწერილია VISUAL STUDIO 2010 და VISUAL STUDIO 2012-ის გარემოში, VBA ენაზე. პროგრამის უპრობლემო მუშაობისათვის სასურველია SQL Server CE3.5. პროგრამის თავსებადობა Windows XP (SP2, SP3)-სა და Windows VISTA/7/8-სთან შემოწმებულია და პრობლემა არ აქვს. პროგრამის საინსტალაციო ფაილი კომპიუტერზე ავტომატურად აუქნებს NET Framework-ის სასურველ ვერსიას და SQL Server CE-საც. ხელსაწყოსთან დასაკავშირებელი დრაივერი უნდა დაყენდეს ცალკე, მისი დაყენება არავითარ განსაკუთრებულ ცოდნასა და გამოცდილებას არ მოითხოვს. პროგრამა პირველი გაშვებისას პარამეტრების ფანჯრიდან ითხოვს ხელსაწყოს შესაბამისი პორტის არჩევას. ამის შემდეგ მისი დაკავშირება ხელსაწყოსთან, როგორც წესი, უპრობლემოდ ხდება.



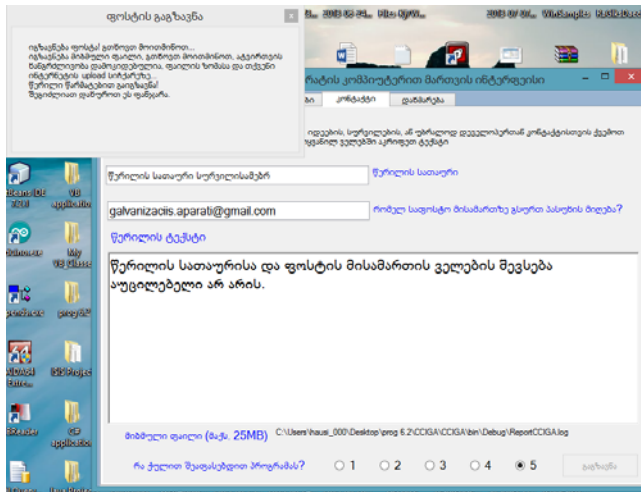
სურ. 2. კომიუტერული პროგრამის ინტერფეისი

პროგრამის საშუალებით შესაძლებელი იქნება პაციენტის პირადი ინფორმაციის შეკვანა. პროგრამას აქვთ მოსახერხებელი ინტერფეისი. მომზარებლის დროის დაზოგვის მიზნით შეტანის ენბის გადართვა ავტომატურად ხდება სხვადასხვა ველში კარების (მოციმციმე ქურსორის) გაჩერებისას, ამ ველში შესატანი მონაცემიდან გამომდინარე. მაგალითად: სახელის, გვარის და ა.შ. შეტანა სასურველია ქართული ასოებით, ფოსტის მისამართისა – ლათინური ასოებით. ასევე დროის დაზოგვის მიზნით, პროგრამა ველში ტექსტის აკრეფისას ამოწმებს მსგავს ტექსტს მონაცემთა ბაზაში და მომზარებელს სთავა.

ზობს მათ გამოყენებას. მაგალითად, თუ აგძრევთ გვარის ველში „მ“ ასოს, პროგრამა მონაცემთა ბაზაში შემოწმებს ყველა სტრიქონს და „მ“ სიმბოლოთი დაწერებული ველი გვარი თანამიმდევრულად გამოჩნდება Listbox-ში (სურ. 4). პროგრამას შეუძლია საკმაოდ ინფორმაციული მონაცემთა ბაზის შექმნა მოხერხებული ქებნითა და კონტროლით, ასევე აქვს ინტერფეისის დაყენების საკმაოდ ფართ შესაძლებლობა, შეცდომის ან შენიშვნის შემთხვევაში დეველოპერთან კონტაქტის ფუნქცია და ზოგიერთი შეცდომის შენახვის უნარი log დოკუმენტში (Report).

მე-2 სურ-ზე ნაჩვენებია პროგრამის ჩანართის „სეანსის“ ინტერფეისი. ამ სურ-ზე გამოსახულის გარდა პროგრამას ჩანართ „სეანსში“ აქვს კიდევ ორი დილაპი „ბეჭდება“, რომელიც მხოლოდ მაშინ გამოჩნდება, როდესაც სეანსი დასრულდება.

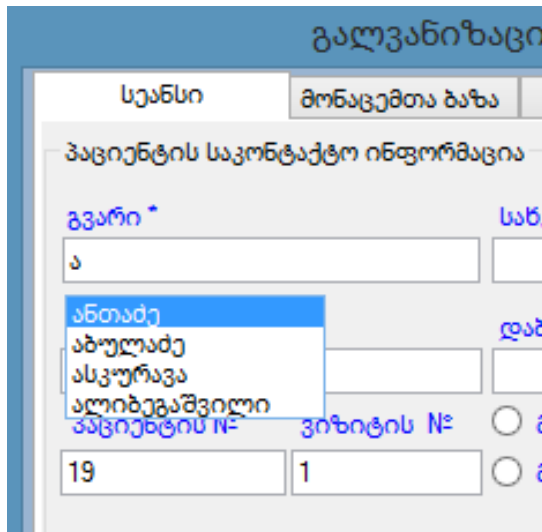
კონკრეტული პაციენტის მონაცემების ამობჭდვა შესაძლებელია ნებისმიერ დროს ჩანართ „მონაცემთა ბაზიდან“, ოდონდ მოცემული სეანსი მომხმარებელმა არ უნდა შეწყვიტოს.



სურ. 3. დეველოპერთან კონტაქტი

მე-3 სურათზე ჩანს დეველოპერთან საკონტაქტო ჩანართიდან ფოსტის გაგზვნის პროცესი.

ფოსით ნოვაციური მიღვომა ფიზიოთერაპეტებს საქმეს ძალიან გაუადვილებს.



სურ. 4. სწრაფი ჩასმის ბლოკი, მონაცემების უფრო სწრაფად და მოხერხებულად შეტანისთვის (მისი ჩართვა-გამორთვა შესაძლებელია ჩანართ „პარამეტრებიდან“)

3. დასკვნა

მიგვაჩნია, რომ ეს აპარატი ხელმისაწვდომობის გამო კონკურენციას გაუწევს უცხოურ ანალოგებს, ხოლო პაციენტთან კომპიუტერული ინტერ-

ლიტერატურა

- გ. დგებუაძე. ელექტრონიკის საფუძვლები. 2007წ.
- შ. ნემსაძე, შ. ნაჭებია. ელექტრული წრედების თეორია, 2009წ.
- ზ. დურწაია, მ. მესხია. დაპროგრამება. 2013წ.
- Титце У., Шенк К. Полупроводниковая схемотехника, 1982г.
- Улащик В.С., Лукомский И.В. – Общая физиотерапия, 2004г.
- Улащик В.С. Универсальная медицинская энциклопедия. Физиотерапия, 2008г.
- Thearon Willis, Bryan Newsome – “Beginning Microsoft Visual Basic 2008” 2008w.
- Rod Stephens – “Visual Basic 2010 Programmer’s Reference 2010.
- Joe Pardue – “C Programming for Microcontrollers” 2005.
- Брайан Керніган, Деннис Рітчі. Программирование С” 2009.
- Клячкин Л.М. Виноградова М.Н. Физиотерапия: Учебник. - 2-е изд., перераб. и доп. - М.: Медицина, 1995. - Учеб. лит. для учащихся мед. училищ – гв. 15-27.

UDC 681.3**COMPUTER CONTROLLED GALVANIZATION APPARATUS****Z. Gurtzkaia, Z. Mgaloblishvili**

Biomedical engineering department, Georgian Technical University, 77, Kostava str, Tbilisi, 0175, Georgia

Resume: Nowadays in balneology, one of the most commonly used medical electronic device is galvanizing apparatus, from its abilities to inject different remedies locally and without invasion. This apparatus has positive influences for curing a lot of nosologies and in cosmetic manipulations. This topic is about creating Georgian version of a modern standard galvanizing device, which has the computer software for controlling the device apart from standard interface. Computer software has possibility to save patient history in database.

Key words: galvanisation; computer controlled galvanization apparatus; electrophoresis; physioteraphy apparatus; physiotherapy.

УДК 681.3**УПРАВЛЯЕМЫЙ КОМПЬЮТЕРОМ АППАРАТ ГАЛЬВАНИЗАЦИИ****Гурцкая З.Т., Мгалоблишвили З.Т**

Департамент биомедицинской инженерии, Грузинский технический университет, Грузия, 0175, Тбилиси, ул. Костава, 77

Резюме: В настоящее время в курортологии одним из самых часто используемых медицинских электронных приспособлений является аппарат гальванизации, который способен вводить в организм локально и неинвазивно препараты. Применение этого аппарата в медицине оказало положительный эффект при лечении многих заболеваний и в косметических манипуляциях. В статье обсужден вопрос создания современного аппарата гальванизации, у которого кроме стандартного, есть интерфейс для компьютерного управления и программа, позволяющая сохранить базы данных пациентов.

Ключевые слова: гальванизация; аппарат гальванизации; интерфейс для компьютерного управления; курортология; физиотерапия.

მიღებულია დანადგვირ 22.05.2013

შაპ 681.3**ბენზი ინცორმაციის კომპიუტერული ანალიზატორი****ზ. ღურწკაია*, დ. შერგელაშვილი****

ბიოსამედიცინო ინჟინერიის დეპარტამენტი, საქართველოს ტექნიკური უნივერსიტეტი, საქართველო,
0175, თბილისი, კოსტავას 77

E-mail: z.gurtskaia@gtu.ge, shergelashvili.dito@gmail.com

რეზიუმე: განხილულია ახალი კომპიუტერული პროგრამის, გენური ინფორმაციის ანალიზის ტერიტორიის, შესაძლებლობები და მუშაობის პრინციპი. მისი საშუალებით მკვდევარს შეუძლია გენტიკური გამოყენებისა და ოპერაციების მცირებროში ჩატარება, მეტი თვალსაჩინოებისათვის კი – შედეგების გრაფიკული ვიზუალიზაცია. აღნიშნული პროგრამის ინტერფეისი მაქსიმალურად არის გამარტივებული, რათა იგი ადვილად აღსაქმელი და ხელმისაწვდომი იყოს მკლევართავის. პროგრამა მონაცემთა ბაზად იყენებს საერთაშორისო გენური ინფორმაციის ბანკს, სადაც ინფორმაციას მუდმივად განახახლებენ. ახალი კომპიუტერული პროგრამით სარგებლობა შეუძლიათ: ბიოლოგებს, გენეტიკოსებს, ბიონურმატიკოსებსა და მედიცინის სფეროში მომუშავე მეცნიერებს.

საკვანძო სიტყვები: გენური ინფორმაცია; გენოტიპი; გენური კოდი; ნუკლეოტიდები; ამონიმური ადენინი; თიმინი; ციტოზინი; კომპიუტერული ანალიზატორი.

1. შესავალი

გენოტიპი უჯრედის ყველა მემკვიდრეობითი ფაქტორის ერთობლიობაა, რომელიც ქმნის ორგანიზმის მემკვიდრეობით საფუძველს და განსახლევას მის სტრუქტურასა და თვისებებს. დღესათვის სამეცნიერო წრეებში აქტუალური საკითხია ორგანიზმის გენოტიპის შესწავლა. მაგალითად შეიძლება მოვიყვანოთ გენური ინჟინერიის განვითარება, რომელიც დაფუძნებულია ორგანიზმის გენური კოდის დამუშავებასა და შესწავლაზე, ასევე მისი მნიშვნელობა მედიცინაში, რაც განისაზღვრება დაგვადებების კვლებითა და მკურნალობით, რომელთა რიცხვი რამდენიმე ასეველს აჭარბებს. აქედან გამომდინარე, ფაქტია, რომ გენოტიპის კვლევა პრიორიტეტული საკითხია თანამედროვე სამეცნიერო წრეებში.

2. ძირითადი ნაწილი

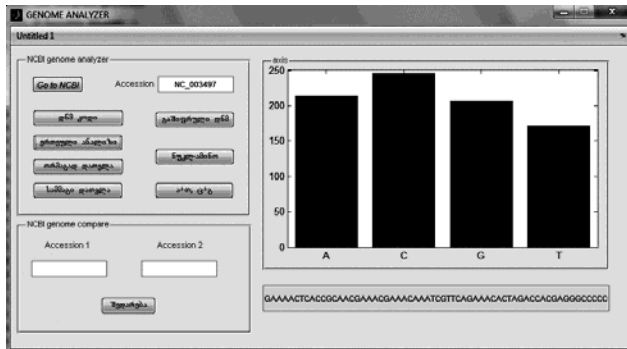
აღსანიშნავია, რომ ორგანიზმის გენური კოდის გამოკვლევა როგორც და ხანგრძლივი პროცესია. ხშირად წლებით საჭირო კონკრეტული გენური კოდის მოსაპოვებლად და გასაშიფრად. იმისათვის, რომ მსოფლიო მასშტაბით ახალი ინფორმაციის გავრცელება ხდებოდეს სწრაფად და ხელმისაწვდომი იყოს ნებისმიერი მომხმარებლისთვის, არსებობს „NCBI“ (National Center for Biotechnology Information – საერთაშორისო ცენტრი ბიოტექნოლოგიური ინფორმაციებისათვის). აღნიშნული ორგანიზაციის ოფიციალურ ვებგვერდზე (<http://www.ncbi.nlm.nih.gov/>) გამოქვეყნებულია ყველანაირი ბიოტექნოლოგიური მიღწევა. რა თქმა უნდა, იგი მთლიანად მოიცავს გენოტიპის შესახებ არსებულ ინფორმაციას. ნებისმიერ მომხმარებელს აქვს საშუალება აღნიშნული ორგანიზაციის ინტერნეტმისამართის მეშვეობით მიიღოს ინფორმაცია მისთვის საჭირო ორგანიზმის გენოტიპის შესახებ.

კომპიუტერის სტანდარტული ინტერფეისი მომხმარებელს არ აძლევს საშუალებას დამატებითი კვლევებისათვის მისთვის საჭირო გენოტიპიზე, ვინაიდან, როგორც ადგინენტ, გენური კოდი დიდი და რთულად დასამუშავებელი ინფორმაციაა. მისი ანალიზისათვის ძლიერი მათვატიგური აპარატია საჭირო. ამიტომ დიდ და ინტერესს იძენს კომპიუტერული პროგრამა „გენური ინფორმაციის ანალიზატორი“, რომელიც ჩვენ შევქმნით Mathlab გარემოში. იგი მომხმარებელს დაეხმარება მარტივად, სწრაფად და ზუსტად შეასრულოს გენურ კოდთან დაგაუშირებული მრავალი მათვატიგური და ლოგიკური ოპერაცია. კონკრეტულად იგი ითვლის ნუკლეოტიდების საერთო რაოდენობას ორ-ორად და სამ-სამად, შესაძლებელია მათი გრაფიკებით ვიზუალიზაცია, ნუკლეოტიდების ამინომეტავებად გარდაქმნა და პირიქით. ასევე შესაძლებელია ორი განსხვავებული გენური კოდის გრაფიკული გამოსახულებების შედარება, რომელსაც დიდი გამოყენება აქვს ესპერიმენტული სამეცნიერო კვლევების ჩასატარებლად. გენური ინფორმაციის ანალიზა-

ტორის ინტერფეისი მარტივი და ადვილად ად-საქმელია. პროგრამის სრულფასოვანი მუშაობი-სათვის აუცილებელია ინტერნეტკავშირი.

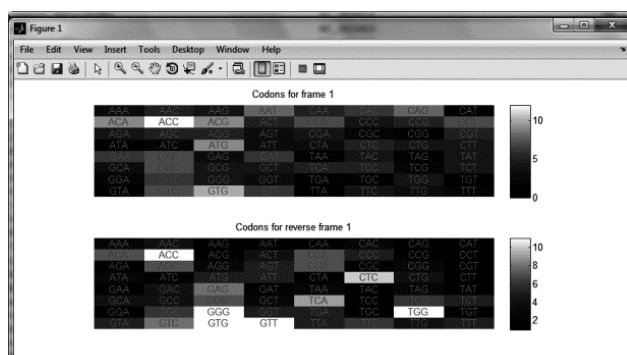
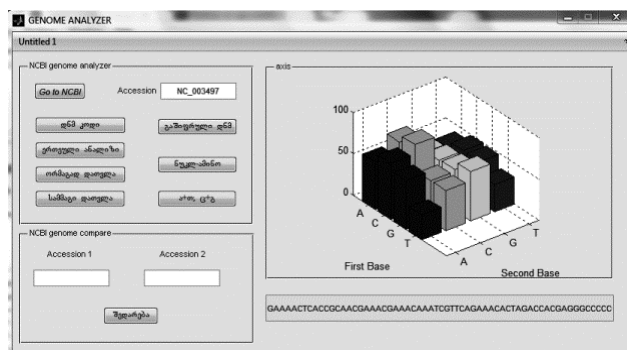
მომხმარებელს მისთვის საჭირო გენოტიპის კოდის მიღება შეუძლია როგორც პროგრამაში

ჩაშენებული, ისე კომპიუტერის სტანდარტული ვებბრაუზერით. პროგრამის ვებბრაუზერის გმო-უენებისათვის მან უნდა ისარგებლოს სურათზე მონიშნული დილაკით, რომელიც პირდაპირ NCBI-ის ოფიციალურ საიტს გახსნის.



ამის შემდეგ მომხმარებელი ირჩევს საჭირო ორგანიზმის გენოტიპის კოდს და სვამს ტექსტის ველში, გენური კოდის სხვადასხვა რეკიმში დასათვალიყრებლად და ანალიზსათვის. “დნმ კოდი” დილაკით პროგრამას ტექსტის ველში გამოაქვს გენური კოდი. ამის შემდეგ მომხმა-

რებელს ადვილად შეუძლია “ერთეული ანალიზის” ჩატარება, რომელიც სათითაოდ დაითვლის ნეკლეოტიდებს და წარმოადგენს მათ გრაფიკის სახით. ამასთანავე შესაძლებელია გენური კოდის ორ-ორად და სამ-სამად როგორც გრაფიკული, ისე რაოდენობრივი გამოსახვა:

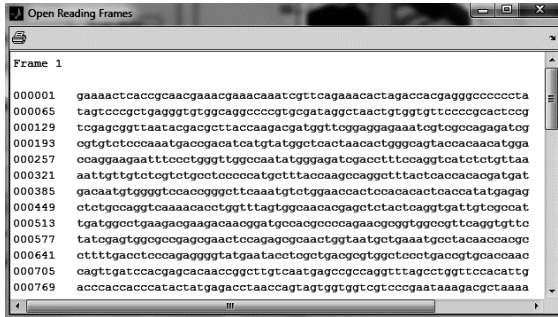


მსოფლიოში გენური კოდის ანალიზე უამრავი მეცნიერი მუშაობს, ამიტომ მისი დიდი ნაწილი გაშიგრულია. რაც მთვარია, ეს ინფორ-

მაცია განთავსებულია ზემოთ აღწერილ საიტზე და მუდმივად განახლების პროცესშია. კონკრეტულ გენოტიპზე მომუშავე მეცნიერს კი ერთი

მარტივი “გაშიფრული დნბ” ღილაკით: შეუძლია ნახოს კოდის ის აღგილები, რომელიც პასუხისმგებელია გენურ ინფორმაციაზე ანუ

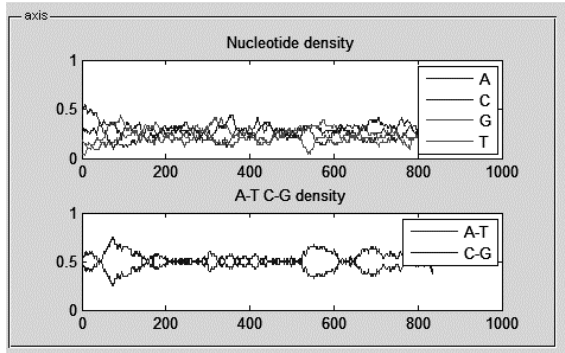
ისეთი ნუკლეოტიდების კომბინაციები, რომ-
ლებიც შეესაბამება გარკვეული სახის ამი-
ნომულებებს.



აღწერილი დილაკის ქვემოთ განთავსებულია
“წელე-ამინო” დილაპი, რომელიც გამოიყენება
ნუკლეოტიდების ამინომჟავებად გარდასაცემ-
ლად. გამოსასვლელი ინფორმაცია კი თავსძება
პროგრამის მარჯვენა ქვედა კუთხეში, ტექსტის
ველში.

გენოტიპის მატარებელი საცდელი ორგანიზმი, რომელიც მოცემულ შემთხვევაში დააკმაყოფილებს კვლევის პირობებს.

ნეკლეოტიდების კვლევისათვის ასევე მნიშვნელოვანია მათი კაგშირების რაოდენობრივი შედარება, კერძოდ: ადენინ-თიმინისა და გუანინ-ციტოზინის. ამ პარამეტრების გრაფისახვისთვის გამოიყენება ლილაკი “ა+თ, ც+გ”. ამ ლილაკების მქმედობით მომხმარებელს ჰუმლია სწრაფად მოიღოს თანაფარდობის გრაფიკული გამოსახულება:



Identities = 491/812 (60%), Positives = 575/812 (71%)

001 SCRUPAGGASERLASRSLAVERKQCGVSPGVAQAEPLVT*RSKGRHGRSPDQLTWAPSER

001 -AA-----GR-----C-----A-----C-----R-----W-----

045 QDORAHNTSRLWPSLULLAAAFAGRATAALMWMFNPOTSDGRVLYNFSNRFOPYHDVSSAAOPCS

046 :::::-----:::-----:::-----:::-----:::-----:::-----:::-----:::-----

010 ---AMHOCJLWPSLULLAAAALCATLATLWMMWFOYCTWBYRBLTYNFSNRFOPYHVSSAAQACV

129 VLDEAFLFQRVLLPFSQSNPFRYLTGRHTLERNLVVSVVTPQCHOLPLTSEVENTYLTTIND

130 :::::-----:::-----:::-----:::-----:::-----:::-----:::-----:::-----

070 VLDEAFLFQRVLLPFSQSNPFRYLTGRHTLERNLVVSVVTPQCHOLPLTSEVENTYLTTIND

193 OCLLSTLETTGCAALCLTFTTQLWNSAECTTFFINITKEIDPFTRFBHGLLTDTSBRYLFLSSLIL

194 :::::-----:::-----:::-----:::-----:::-----:::-----:::-----:::-----

194 OCLLSTLETTGCAALCLTFTTQLWNSAECTTFFINITKEIDPFTRFBHGLLTDTSBRYLFLSSLIL

257 DTLWMAHNNYLNWPFHMLWLGDSFPTTVESTPFFELMRGCSINPVIHYIATGVREVIEWYARLCI

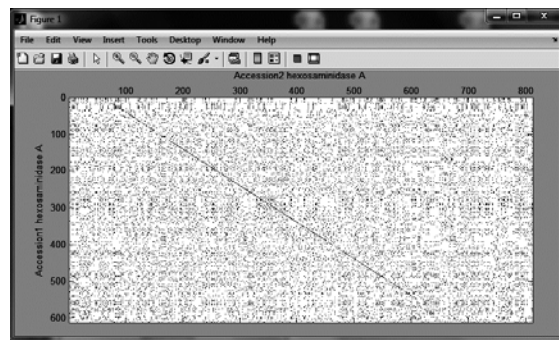
258 :::::-----:::-----:::-----:::-----:::-----:::-----:::-----:::-----

198 DTLWMAHNNYLNWPFHMLWLGDSFPTTVESTPFFELMRGCSINPVIHYIATGVREVIEWYARLCI

321 KVLAFPTTFCGHTLSNDGTCIGLTLTCYSSDSEESTPFPWNPISLNTWTFHSTFLLFVEESVYFDF

322 :::::-----:::-----:::-----:::-----:::-----:::-----:::-----:::-----

262 KVLAFPTTFCGHTLSNDGTCIGLTLTCYSSDSEESTPFPWNPISLNTWTFHSTFLLFVEESVYFDF



3. დასკვნა

ყველა ეს ინტეგრირებული ფუნქცია ერთ
პროგრამაში ძალიან მოსახერხებელი და, რაც
მთავარია, აუცილებელია გენოტიპის კვლევი-
სათვის. პროგრამა ძირითადად განკუთვნილია ბი-
ოლოგების, გენეტიკურების, ექსპერიმენტორე-
ბის, ბიონფორმატიკურების და მედიცინის
სფეროში მომუშავე მეცნიერთათვის. მისი მეშვე-
ობით შესაძლებელია მრავალი გენური გამოკვ-

ლევის ჩატარება მსოფლიოში არსებულ უამრავ აქტუალურ თემაზე თანამედროვე სტანდარტებით.

ლიტერატურა

1. ი. კვაჭაძე, ა. ასათიანი. ადამიანის ფიზიოლოგია. თბილისი, 2006 წ.
2. MATT REDLAY. GENOME. 2011
3. John D. Enderle, Joseph D. Bronzino. Introduction to Biomedical Engineering. 2012
4. Bruce L. Littlefield. Mastering MATLAB. 2009
5. Matlab Introduction With Applications, Amos Gilat.
6. Numerical Methods with MATLAB, Amos Gilat.
7. The Genome Generation, Elizabeth Finkel, 2012.
8. Genome Science, David Micklos, Bruce Nash, Uwe hilgert, 2012.

UDC 681.3

COMPUTER ANALYSER OF GENIC INFORMATION TECHNOLOGIES

Z.Gurtzkaia, D. Shergelashvili

Biomedical engineering department, Georgian Technical University, 77, Kostava str, Tbilisi, 0175, Georgia

Resume: Nowadays in the field of medicine, the study of genotypes of different organisms is being actively discussed. However, working on the genome is not easy and always requires additional work. This thesis will discuss possibilities and some of the advantages and working principles of a new computer program to analyze the genome. It enables researchers to conduct various genetic calculations and operations in a short period of time and gives them the possibility to graphically visualize the results. The program interface is simplified as much as possible in order to make it easy to understand and accessible for researchers. For database the program uses the international genome bank, which is continuously up-dated. The new computer program is available for: biologists, geneticist, bio-information specialists and scientists, working in the field of medicine.

Key words: genic information; genotype; genic code; nucleotides; amino acid; adenoids; thymine; cytosine; computer analyser.

УДК 681.3

КОМПЬЮТЕРНЫЙ АНАЛИЗ ТЕХНОЛОГИЙ ГЕННОЙ ИНФОРМАЦИИ

Гурцкая З.Т., Шергелашвили Д.Р.

Департамент биомедицинской инженерии, Грузинский технический университет, Грузия, 0175, Тбилиси, ул. Костава, 77

Резюме: К сегодняшнему дню в научных кругах важной и актуальной темой является изучение генотипов организма. Но работа над этой темой не так уж проста и требует дополнительных средств. Рассмотрены анализатор генной информации, его возможности и принцип работы в новой компьютерной программе, а для визуализации можно перевести результаты в графическое изображение. Интерфейс указанной программы максимально упрощен, чтобы ее легко воспринимал исследователь. Базой данных этой программы является международный банк генной информации, в котором информация постоянно обновляется. Пользоваться новой программой могут: биологи, генетики, биоинформатики и ученые, которые работают в сфере медицины.

Ключевые слова: генная информация; генотип; генный код; нуклеотиды; аминокислоты; аденин; тиамин; цитозин; компьютерный анализатор.

დოკუმენტის დახაბუძლივ 13.06.2013

ნაგებობების, სპეციალური სისტემებისა და საინჟინრო უზრუნველყოფის ინსტიტუტი

UDC 522.21

DEPLOYABLE SPACE REFLECTOR WITH V-FOLD BAR DEPLOYABLE RING, WHICH DEPLOYMENT IS CARRIED OUT WITH MOTORS

N. Tzignadze, N. Medzmariashvili, O. Tushishvili, L. Philipenko, A. Jakhua

Institute of Constructions, Special Systems and Engineering Maintenance of Georgian Technical University, 68^b
Kostava st. Tbilisi, 0175, Georgia.

E-mail: icssem@gtu.ge

Resume: Discussed research is carried out by the employees of European Space Agency, Munich Technical University and Georgian Technical University on the basis of ESA patent 621. Deployable bearing ring consists of minimum number of compressed, rigged rods and also with minimum number of stretched flexible rods. Thus the rigged and flexible rods are interconnected so, that they represent statically definable and geometrically unchangeable systems and completely providing flexible pre-stressed stretch of the center. Ring can be as prism, also frustum tension and its deployment is carried out with deployable cables and motors.

Key words: Space; reflector; deployable; vertical bars; cable; motor.

1. INTRODUCTION

In 1999 the large deployable space reflector was successfully tested on orbital station "Mir" [1].

The ideology of creation of mentioned structure was based on the scheme of large space reflector, that was presenting load bearing ring of space autonomous satellite system [2].

Georgian Technical University started its researches since 80th of past century [3].

After successful test of space experiment we started researches on the structure lightening, increment of accuracy and preservation of reached stiffness [4].

Lots of novel schemes of the large space deployable reflector were created in this direction [5][6][7].

The cable systems of deployable ring and pre-stressed flexible part of reflector are dominating in newly created schemes [8][9][10][11][12].

The first place in the offered researches takes the deployable load bearing ring with V-fold bars and optimization of its deployment methods, that are reproduced in ESA patent.

2. THE BODY OF THE ARTICLE

The preliminary testing diagram of the mentioned modification was realized in a deployable reflector antenna, during testing of the deploying ring having springs and "V-fold bars", as one of the possible modifications of the structural design. After the successful test, the new ring, which is provided with "V-fold bars", electric drive and cables and, which has a prismatic, or truncated pyramid shape forming circular or oval outline in projection was applied by the European Space Agency for obtaining the European patent.

The ring, which is provided with "V-fold bars", electric drive and a deploying cable has been revealed to be challenging as a result of the conducted experiments.

Just for this reason, 6 meter diameter prismatic reflector antenna has been designed and created, which will undergo full-scale tests as well as further improvements of its respective units in the coming months (Figure 1).

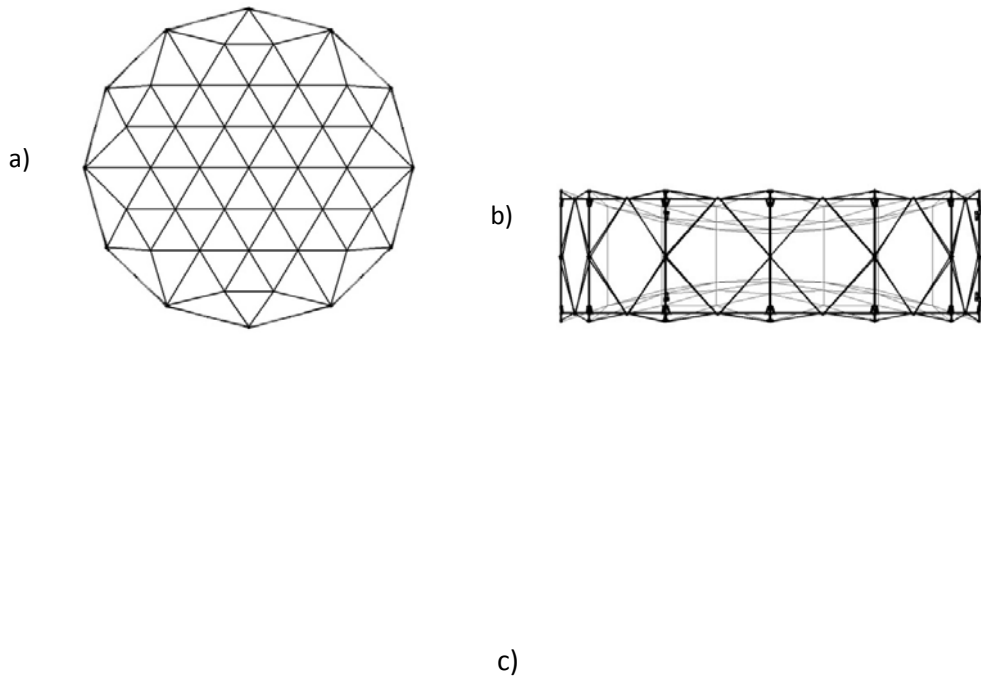


Figure 1. Deployable reflector with 6 meter in diameter having “V-fold-bars”, electric drive, and load-bearing cable

a) top view; b) side view; axonometry

It should be noted, that in the modifications with “V-fold bars”, which have been tested by us it is not important whether the deploying ring is prismatic shape, or truncated pyramid shape.

When designing the deploying ring with new diagram, the objective was to retain the attained

advantages and to overcome the aforementioned drawbacks. For this reason

1. There are no “slidable units” in the deploying ring construction and all of the units 1; 2; 3 are articulated (Figure 2).

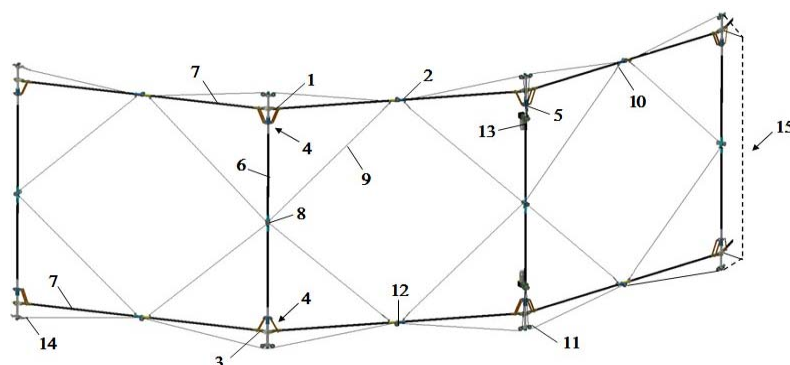


Figure 2. Deploying ring fragment

1; 2; 3 – Articulated units; 4 – Umbrella type synchronizers; 5 – Slidable unit; 6 – Post; 7 – “V-fold bars” 8 – Drum for coiling the cables with a ratchet mechanism; 9 – Stretching cables; 10 - Tender; 11 – Rollers; 12 – V-fold unit; 13 – Drive; 14 – Spring; 15 – Subdiagonal

2. However, an “umbrella” type synchronizer 4 for deploying/folding the “V-fold bars” is mounted on the posts in the experimental modification to ensure additional stabilization of the straightening of the “V-fold

bars”. It should be noted, that the mentioned unit probably will no longer be necessary after testing the construction. Just this synchronization is provided with a short run “slidable unit” 5, that can be fitted to the post

6 more “perfectly”, than it in the case of other systems wherein the “slidable units” are involved in construction operation at the operation stage.

3. Geometrical unchangeability of the structural system and synchronization of the “V-fold bars” 7 occur on a post synchronously – by four deploying cables 9 affixed to a rotary shaft 8, that are arranged in the construction of a rhomb like manner. They are attached to “V-fold units” of the “V-fold bars” by their another ends.

4. The rhomb type elastic diagonal rods in fact replace the mentioned complex cable systems of the ring having the truncated pyramid shape and “V-fold bars”, and their electric drives.

5. As regards the deployment of the ring, it is accomplished by a deploying cable 10 mounted at the upper and lower levels, that passes over rollers 11 on the top of the posts and rollers 12 in the “V-fold bar” units.

The cable from one side coils on the electric drive 13 drum on the one hand, while its another end is attached to springs 14, disposed on the top of a post.

6. To avoid the bending of a post, a cable may be mounted in the form of a subdiagonal 15, that would be fastened in the top and bottom of the post and would pass through and attached to the ends of short length posts, that are rigidly fastened to a rod.

The mentioned modification was used in designing the deploying load-bearing ring and the elastic pre-stressed center with 6 meter diameter, the diagrams, drawings and unit structures of which are shown in Figure 3.

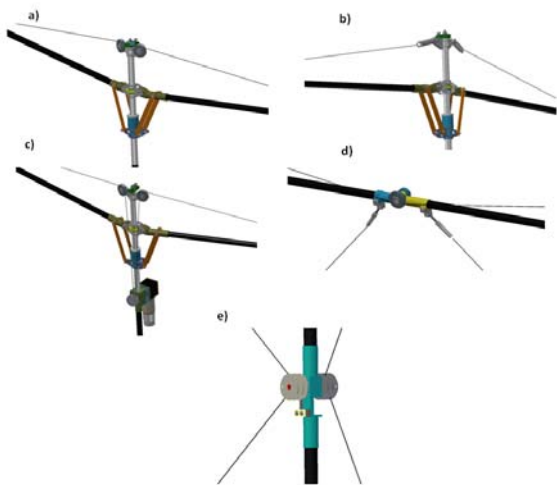


Figure 3. Units intrinsic to the deploying ring

a) Intermediate construction of the unit, when the load-bearing cable is overspread on both of the rollers on the post top; b) Unit wherein a load-bearing ring ends

are attached to the springs; c) Unit - wherein the cables are coiled on the drum mounted on the electric drive shaft; d) Unit in the folding point of the bars;

Four drums are disposed on a single shaft wherein the cables – synchronizers are fixed and coiled so, as to ensure the system geometrical unchangeability.

This solution has been applied to create a new structural system of the ring, which can be seen in Figure 4.

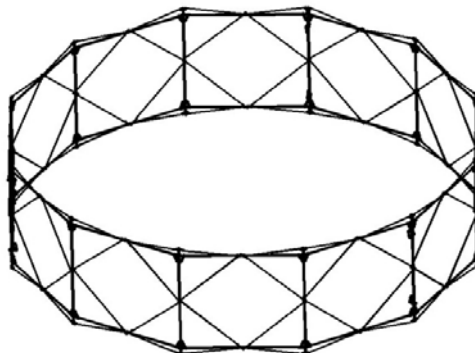


Figure 4. The deploying load-bearing ring construction

The mentioned structure of the proposed new ring can be regarded as an intermediate solution between the ring having truncated cone shape, with “V-fold bars” and springs, and HARRIS ring.

If we compare the new ring structure with that HARRIS reflector antenna ring, we will notice the much simpler and logical scheme intrinsic to the new ring.

In the HARRIS ring, multiple cables are stretched due to the complexity of the ring by internal forces produced at the final stage of deployment, that are caused by dividers induced by the rigid ring just in the final moment, which leads to the stressing of the cables and in this case, a slight inaccuracy of the ring, stretching of the ring cables will be insufficient or will not occur at all in most cases.

Moreover, the created ring structure almost slightly differs from that having “V-fold bars” and springs, but if we consider the new ring geometry, its elements operation and deployment kinetics, we will notice its basic difference from the system with “V-fold bars” and springs.

Let us consider the deployment kinetics. The main function is carried by the cable, that passes over the rollers on the upper and lower ends of a post and the rollers, that are disposed in the “V-fold bar”, which deploys the ring by coiling on the electric drive drum. During the entire process of deployment as well as after the deployment, i.e. in a so called operational state, the

load-bearing stretched cable is not an “operational element” of the system and is not directly involved in its operation. The load-bearing cable exerts influence on the ring structure only by concentrated forces, in the form of external loads (Figure 5) and leads to the deployment of the ring and pre-stressing the diagonal rods.

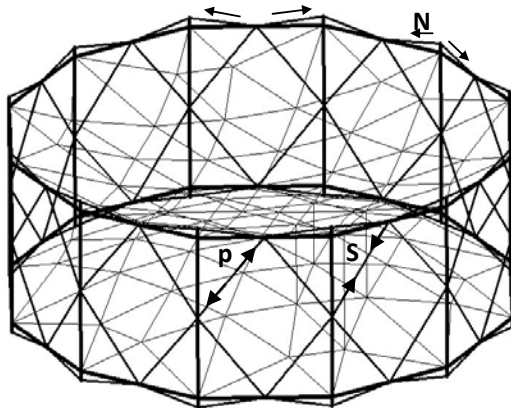


Figure 5. General diagram of the forces acting on the reflector antenna structure and of the produced forces

N – force in the load-bearing cable; S – stretching forces in the cables; P – contracting force in the cables.

N forces lead to the conversion of the ring structure into geometrically unchangeable and statically definable system.

This happens because of the influence, thereof causes stretching of the cables arranged in a rhomb like manner by S force and, by their operation, the entire structure becomes geometrically unchangeable. This

time shrinking forces are produced in the posts and diagonal rods. In this form, the deploying ring is ready for receiving the reactions, produced by the stretching of the reflector antenna elastic center.

The question has been arisen as to the values of the stretching force in the deploying cable and the magnitude of the force it stretches (stresses) the cable system (diagonal rods) arranged in a rhomb like fashion. Whether the stretching thereof will be sufficient for the contracting forces, caused by other force factors, therein not to exceed the stretching forces, produced by the preliminary stretching.

To this end, the complete calculation of the reflector antenna spatial structure has been conducted.

N force was considered to be 10kg. This time the stretching force, that was produced in the diagonal rods was $S=+1.47$ kg.

By other force factors, the (a) force was considered to be the opposite forces H applied on the units and stretched in the “V-fold bars” plane in the units of stopping the ring “upper V-fold” bars and “lower “V-fold” bars at the post, where the value was determined to be equal to 1 kg (Figure 6).

As can be observed, as a result of calculation of the reflector antenna sections, the value of the contracting force in cable rods is as high as 0.825. Such force does not cause stoppage of the operation of a cable, stretched by 1.47 kg, i.e. the system remains pre-stressed, structurally definable and geometrically unchangeable.

Thus the created construction depicted in Figure 7, of which tests have been started, creates a precondition for its successful realization. The weight of the mentioned 6 meter reflector antenna is 12 kg.

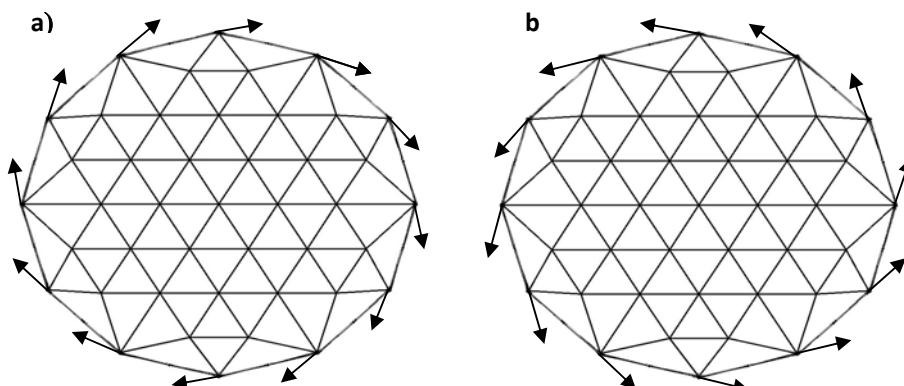


Figure 6. Diagram of torque forces applied on the ring in the upper and lower chord units

a) – upper chord; b) – lower chord.



Figure 7 Photo of the 6 meter deployable reflector antenna having the ring with "V-fold bars"

3. CONCLUSION

1. The super lightweight deployable space reflector antenna provided with "V-fold bars" and an electric drive has been created.
2. The creation of the new type super lightweight reflector antenna was conditioned by optimal structural solution of the deploying load-bearing ring and by fitting of the latter logically to the central stretched part.

3. Choosing the optimal version was conditioned by the use of truss type, geometrically unchangeable and statically definable elements therein that operate on contracting and stretching only.

4. The created stressed and deformed picture of the ring construction determines minimum number of contracted elements, arrangement the elements made of stretched elastic rods and cables according to the new design.

5. The number of stretched elements is also minimal in the ring, which is necessary for ensuring geometrical unchangeability of the system and its stretching force in the structural system is represented, as concentrated external force acting on the cable-rod system units.

6. The system is super light-weight, rigid and it has precise geometrical parameters, which is necessary condition, for attaining the operation shape of the reflector antenna reflecting screen.

7. The reflector system has the capability of adjusting accurately the reflecting surface.

8. The initial fixing unit of the deploying cable ensures motionless fixation of the mesh end, which is necessary for attaining the high rigidity of the construction.

9. The deploying cable coils the rotary shaft without backward motion, which is necessary for enhancing the rigidity of the construction.

References

1. E. Medzmariashvili, V. Blagov, A. Chernyavsky. Space Experiment Confirms Reflector's High Reliability. Aerospace Courier, No 6, 1999
2. E. Medzmariashvili. Transformable Space and Ground Structures. Monograph. Pub. Georgia-Germany-Liechtenstein. 1995
3. E. Medzmariashvili, A. Iacobashvili, G. Bedukadze. Creating and Testing of Large Space Structures of High Precision Surface. Space Power, Volume 12, Number 1-2, 1993.
4. E. Medzmariashvili. Constructive Logic of Mechanical Supporting Ring Reflector. Problems of Mechanics. N: 4 (49) 2012; ISSN 1512-0740
5. E. Medzmariashvili. Deployable Space Reflector Antenna. "E.V.M". International Publication No WO03/003517 A 1. 9.01.2003. International Application Published Under the Patent Cooperation Treaty (P.C.T.)
6. E. medzmariashvili, Sh. Tzerodze, V. Gogilashvili. New Variant of the Large Deployable Ring-Shaped Space Antenna. Space Communications 22 (2009) 41-48.
7. E. Medzmariashvili. The Basic Principles of the Large Deployable Space Antenna. Transactions Technical University of Georgia. 2 (472) 2009
8. E. Medzmariashvili, N. Medzmariashvili. Constructive Logic of Reflector Created with Double Pantograph Deployable Load-Bearing Ring. Proceedings of ESA Antenna Workshop on Large Deployable Antennas. 2-3 October 2012. ESTEC, Noordwijk, The Netherlands.
9. E. Medzmariashvili, Sh. Tzerodze, O. Tushishvili, N. Tzignadze, J. Santiago-Prowald, C.G.M. Van't Klooster, N. Medzmariashvili. Mechanical Supporting Ring Structures CEAS Space Journal of European Aerospace Societies. ISSN 1868-2502. Published online. June 2013
10. E. Medzmariashvili, N. Medzmariashvili, O Tushishvili, N. Tzignadze, J. Santiago-Prowalds, C. Magenot, H. Baier, L. Scialino, L. Philipenko. The possible Options of Conical V-fold Bar Ring's Deployment with Flexible Pre-Stressed Center. CEAS Space Journal of European Aerospace Societies. ISSN 1868-2502. Published online. June 2013
11. E. Medzmariashvili, N Tzignadze, Sh. Tzerodze, J. Santiago-Prowald; C. Mangenot, C.G.M. Van't Klooster, H. Baier, M. Janikashvili. Design of Reflector with Double Pantograph and Flexible Center. Proceedings of ESA Antenna Workshop on Large Deployable Antennas. 2-3 October 2012. ESTEC, Noordwijk, The Netherlands.
12. G. Bedukadze, E. Medzmariashvili, K. Chkhikvadze, M. Sanikidze. Theoretical and Experimental Study of Reflector Anetenna. Problems of Mechanical. N 4 (49) 2012. ISSN 1512-0740
13. E. Medzmariashvili, L. Datashvili, J. Santiago-Prowald, L. Scialino, H. Baier, C. Mangenot, O. Tushishvili, N Tsignadze, K. Chikvaidze, M. Janikashvili. The Structure of Conical Reflector with V-fold Bar's Deployable Ring. Proceedings of ESA Antenna Workshop on Large Deployable Antennas. 2-3 October 2012. ESTEC, Noordwijk, The Netherlands.
14. E. Medzmariashvili, J. Santiago-Prowald, C. MAnge-not, H. Baier, L. Scialino, L. Philipenko, N. Medzmariashvili. The Possible Options of Conical V-fold Bar Ring's Deployment with Flexible Pre-Stressed Center. Proceedings of ESA Antenna Workshop on Large Deployable Antennas. 2-3 October 2012. ESTEC, Noordwijk, The Netherlands.
15. Инженерные Конструкции. Под редакцией В.В. Ермолова. Высшая школа. Москва. 1991.
16. Frei Otto. Zugbeanspruchte Konstruktionen. Bauwelt Verlag. Berlin 1966

უაგ 522.21

**გასაშლელი პოსმოსური რეზლექტორი ჩასატებლეროებიანი გამშლელი
რბოლით, რომლის ბაზლაც ხორციელდება ელექტრომამძრავების საშუალებით**

ნ. წიგნაძე, ნ. მემარიაშვილი, ო. თუშიშვილი, ლ. ფილიპენკო, ა. ჯახუა
ნაგებობების, სპეციალური სისტემებისა და საინჟინრო უზრუნველყოფის ინსტიტუტი, საქართველოს
ტექნიკური უნივერსიტეტი, საქართველო, 0175, თბილისი, კოსტავას 68⁶

რეზიუმე: სტატიაში განხილული ავლენა შესრულებულია ევროპული კოსმოსური სააგენტოს, მიუნხენის ტექნიკური უნივერსიტეტისა და საქართველოს ტექნიკური უნივერსიტეტის თანამშრომლების მიერ. მას საფუძვლად დაედო EKO-ს №621 პატენტი. გამშლელი ძალური რგოლი შედგება მინიმალური რაოდენობის შეკუმშული, ხისტი ღეროებისაგან და ასევე მინიმალური რაოდენობის გაჭიმული მოქნილი ღეროებისგან. ხისტი და მოქნილი ღეროები, ისევ ერთმანეთან დაკავშირებული, რომ ქმნიან სტატიკურად რკვევად და გეომეტრიულად უცვლელ სისტემას და უზრუნველყოფებ მოქნილი წინასწარ დაძაბული ცენტრის გაჭიმვას. რგოლი შეიძლება იყოს როგორც პრიზმის, ისე წაკვეთილი პირამიდის ფორმის და მისი გაშლა ხდება გამშლელი ბაგირების და ელექტრომძრავების საშუალებით.

საკვანძო სიტყვები: კოსმოსი; რეფლექტორი; გამშლელი; ეერტიკალური ღეროები; ბაგირი; ელექტრომძრავი.

УДК 522.21

**РАСКРЫВАЮЩИЙСЯ КОСМИЧЕСКИЙ РЕФЛЕКТОР С РАЗВЕРТЫВАЮЩИМ КОЛЬЦОМ С
V-ОБРАЗНЫМИ СТЕРЖНЯМИ, РАЗВЕРТЫВАНИЕ КОТОРОГО ОСУЩЕСТВЛЯЕТСЯ
ЭЛЕКТРОПРИВОДАМИ**

Цигнадзе Н.Г., Медзмариашвили Н.Э., Тушишвили О.Ш., Филипенко А.П., Джахуа А.А

Институт сооружений, специальных систем и инженерного обеспечения, Грузинский технический университет,
Грузия, 0175, Тбилиси, ул. Костава 68⁶

Резюме: Рассмотренное в статье исследование выполнено сотрудниками Европейского Космического Агентства, Мюнхенского технического университета и Грузинского технического университета. Исследования проводились на основе патента ЕКО №621. Раскрываемое силовое кольцо состоит из минимального количества скатых жестких и растянутых гибких стержней. При этом, жесткие и гибкие стержни так взаимосвязаны между собой, что представляют статически определяемую и геометрически неизменяемую систему, и в целом обеспечивают натяжение гибкого преднатянутого центра. Кольцо может иметь форму призмы или усеченной пирамиды и ее раскрытие осуществляется канатами и электроприводом.

Ключевые слова: рефлектор; космос; раскрываемое; вертикальные стержни; канат; электропривод.

მიღებულია დახაბუჭლად 18.01.10

6. მუსხელიშვილის სახელობის ბამოთვლითი გათემატიკის ინსტიტუტი

შპპ 681.3

0670 რაციონალური და კოტენციალური

ა. კანდელაკი, ზ. ყიფშიძე*, ა. ჩადუნელი

ნ. მუსხელიშვილის სახელობის გამოთვლითი მათემატიკის ინსტიტუტი, საქართველოს ტექნიკური უნივერსიტეტი, საქართველო, 0175, თბილისი, ქოსტავას 77

E-mail: ikakabadze@yahoo.com

რეზიუმე: შემოთავაზებულია ნაწილობრივი ანალოგიის დამტკიცება ინფორმაციის თეორიასა და პოტენციალთა თეორიას შორის. ამ ანალოგიიდან გამომდინარე ნაჩვენებია, რომ ინფორმაციასაც აქვს პოტენციალი. ინფორმაციის თეორია დღეისათვის კარგად შესწავლილი მეცნიერებაა, სადაც ამოხსნილია დისკრეტული პოტენციალის ანალოგიური, როგორც პირდაპირი, ისე შებრუნებული ამოცანები. ეს საშუალებას გვაძლევს განვაზოგადოთ ინფორმაციის თეორიის შედეგი პოტენციალთა თეორიაში, რაც დაგვეხმარება მასში შებრუნებული ამოცანების ამოხსნაში.

საკვანძო სიტყვები: ინფორმაცია; პოტენციალი; კოდინირება.

1. შესავალი

როგორც ჩვენ მიერ ჩატარებულმა გამოკვლევებმა ცხადყო, ინფორმაციის თეორია არის უნივერსალური მეცნიერება. ეს უნივერსალურობა საშუალებას გვაძლევს, რომ იგი გამოვიყნოთ კვლევებისათვის მეცნიერების სხვადასხვა დარგში.

მართალია, პოტენციალთა თეორია კარგადაა შესწავლილი, მაგრამ მასში მაინც არსებობს შებრუნებული ამოცანის ამოხსნის პრობლემა. ეს პრობლემა ასეთია: თუ ვიციოთ პოტენციალი, მივიღოთ განაწილებული მუხებები, რომლებმაც ეს პოტენციალი შექმნა. უწევები პოტენციალისთვის

ეს ამოცანა ჯერჯერობით გადაუტერედია. დისკრეტული პოტენციალისთვის კი ამოცანების საკმაოდ ვიწრო კლასია შესწავლილი.

ინფორმაციის თეორია საშუალებას გვაძლევს სასრული და ზოგიერთი უსასრულო დისკრეტული პოტენციალისთვის ამოცხსნათ ასეთი ამოცანების საქმაოდ ფართო კლასი.

ვიდრე ამ ამოცანის გადაწყვეტას შეგვადგებოდით, საჭირო გახდა ინფორმაციის ფიზიკის შესწავლა. დავადგინეთ ინფორმაციისათვის მასისა და მუხების ცნება (ეს ორი სიდიდე ინფორმაციისათვის ერთი და იგივეა).

ვინაიდან ინფორმაციის თეორიას საფუძვლად თერმოდინამიკის კანონები უდევს, საშუალება მოგვეცა შეგვესწავლა ინფორმაციის და მისი იმპულსის მუდმივობის კანონები. დაგვემზეოცხინა, აგრეთვე, ინფორმაციისათვის სრული დიფერენციალის არსებობა, ე.ი. საფუძველი ჩაგვეყარა ინფორმაციის ფიზიკის შესწავლისათვის. სწორედ ამ გამოკვლეულმა მიგვიყვანა ინფორმაციის პოტენციალის არსებობამდე.

2. ძირითადი ნაწილი

ახლა ვაჩვენოთ ზოგიერთი ანალოგია ინფორმაციის თეორიასა და პოტენციალს შორის. ანალოგიისათვის გამოვიყნოთ ელექტრული კვლის პოტენციალი.

კულონის კანონის თანახმად, ორ მუხებს შორის მოქმედი ძალა $F = \epsilon_0 \frac{Q \cdot q}{r^2}$, სადაც ϵ_0 მუდმივია დამოკიდებულია ერთეულის არჩევაზე. x წერტილში q მუხებით შექმნილი პოტენციალი

რიცხვის ტოლია $\|x - x_0\|$, რომელიც სრულდება ერთეული მუხტის გადასატანად უსასრულობიდან $x \in F \cdot \|x - x_0\| =$

$$= \frac{\varepsilon_0 q q_0}{|x - x_0|^2} \cdot \|x - x_0\| = \varepsilon \frac{q}{|x - x_0|},$$

მუხტის მდგბარეობა. თუ $\varepsilon = \frac{1}{2\pi}$, მაშინ პოტენ-

$$\text{ციალი } u = \frac{1}{2\pi} \frac{q}{|x - x_0|}.$$

განაწილებულია x_1, x_2, \dots, x_n წერტილებში, მაშინ

$$\text{პოტენციალი } u = \frac{1}{2\pi} \sum_{i=1}^n \frac{q_i}{|x - x_i|}.$$

თეორემათა სიმრავლეს, რომელიც აკავშირებს მუხტებს, პოტენციალს და მათ მიერ განსაზღვრულ ფოსებებს R^3 სივრცეში, ეწოდება პოტენციალის კლასიკური თეორია. ოპერატორს, რომელსაც მუხტი გადაჲყავს პოტენციალში, ეწოდება პოტენციალის ოპერატორი. პოტენციალის ოპერატორის ბირთვს გრინის ფუნქცია ეწოდება. როგორც ზემოთ განვმარტეთ, მუხტისა და მასის ანალოგი ინფორმაციის თეორიაში არის ინფორმაციის რაოდენობა ინფორმაციულ წარმონაქმნი, გაზრდილი ენტროპიის ერთეულებით, ბიტობით, კი. თუ x არის ინფორმაციული წარმონაქმნი, მაშინ მისი განუსაზღვრელობა (ენტროპია) არის $S(x)$.

ინფორმაციისა და კოდირების თეორიაში განსაზღვრულია მანძილი ერთი და მიავე სიგრძის ორ ინფორმაციულ წარმონაქმნეს შორის. ასეთ მანძილად მიღებულია ე.წ. ხემინგის მანძილი. ორ ინფორმაციულ ვექტორს შორის ხემინგის მანძილი არის მესამე ვექტორის წონა, რომელიც ამ ვექტორების სხვაობას წარმოადგენს, და ის განსხვავდებულ კომპონენტთა რაოდენობაა. ამ მანძილს აღნიშნავენ d -თი. იგი აქმაყოფილებს მეტრიკის ყველა თვისებას. აქედან გამომდინარე x ინფორმაციული წარმონაქმნის პოტენციალი შეიძლება ასე დაგწეროთ:

$$u = \varepsilon \frac{S(x)}{d}.$$

პოტენციალი, როგორც ვიცით, მუშაობის შესრულების უნარია. ბუნებრივად დაისმის კოთხვა, რა მუშაობას ასრულებს ინფორმაცია. ამ კითხვას რომ ვუპასუხოთ, გავიაზროთ რას ემსახურება ინფორმაცია. არსებობს კავშირი ენერგიასა და ინფორმაციას შორის. ადამიანი გარდაქმნის ენერგიას და გადამუშავებს ინფორმაციას, რათა გარკვეული მუშაობა შეასრულოს. ამით ინ-

ფორმაციას აქვს კავშირი ენერგიასთან. თუ ინფორმაციას მუშაობის შესრულება შეუძლია, მაშასადამე, მას აქვს პოტენციალი. მუშაობა კი პოტენციალის ცვლილებაა. ზამბარას გაუჭიმავ (ან შეუაუმშავ) მდგომარეობაში მუშაობის შესრულება არ შეუძლია. იმისათვის, რომ მან შეასრულოს მუშაობა, იგი უნდა გაჭიმოთ (ან შევეუმშოთ), კი. მას მიგანიჭოთ პოტენციალი. ამის შემდეგ, თუ მასზე მიბმულია m მასის ტვირთი, ზამბარა გადაადგილებს მას და შეასრულებს მუშაობას, რომელიც პოტენციალთა სხვაობით გამოისახება. ინფორმაციის თეორიაში ინფორმაცია მუშაობას ასრულებს გადაადგილების დროს ე.წ. წინააღმდეგობის ძალების (ხელშეშლების) დასაძლევად. თუ გვსურს, რომ ინფორმაციამ შეასრულოს აღნიშნული მუშაობა, მას უნდა მივანიჭოთ პოტენციალი. ეს კი ხდება საწყის ინფორმაციაზე სიჭარების დამატებით (ანალოგია ზამბარის გაჭიმვა ან შეუაუმშავ). ამის მიხედვით თუ რა სიღიდის სიჭარებს დაგუმატებთ, იგი მიიღებს შესაბამის პოტენციალს და შეასრულებს ასევე შესაბამის მუშაობას, რაც წინააღმდეგობის ძალების მიერ დაპარგული ინფორმაციის აღდგენაში მდგომარეობას.

ახლა თუ დავრწმუნდით, რომ ინფორმაციას შეუძლია პქონდეს მუხტი და პოტენციალი, შეიძლება ვიფიქროთ ინფორმაციის თეორიისა და პოტენციალთა თეორიის გარკვეულ ანალოგიაზე. კოდირების თეორია (ინფორმაციის თეორიის ნაწილი) უკვე შეიძლება წარმოვიდგინოთ როგორც ინფორმაციისათვის პოტენციალის მინიჭების ხელოვნება. ამ ანალოგიის დამტკიცების მიზანი თავისთვად გასაგებია. იგი დაემსარება თვით ამ თეორიების მათში გადაუსრული პრობლემების გადაწყვეტაში და დაგვეხმარება ჩვენც, გავიაზროთ ინფორმაციის პირველადობა.

ახლა ვნახოთ, როგორ ვითარდება მუხტისთვის პოტენციალის მინიჭების თეორიები ამ ორ მუცნიერულ დისციპლინაში და შევეცადოთ დავინახოთ ანალოგია. კოდირების თეორიიდან ამ ეტაპზე განვიხილავთ მხოლოდ წრფივი კოდირების მეთოდს და შევეცდებით აღმოვაჩინოთ ანალოგია პოტენციალის თეორიასთან.

დავუშვათ, $f(x)$ არის ფუნქცია H^ℓ მესრის წერტილებზე [1]. ვთქვათ,

$$Pf(x) = M_x f(x(1)) = \sum_y p(1, x, y) f(y),$$

სადაც P ძვრის ოპერატორია ერთ ბიჯში, $p(1, x, y)$

ალბათობაა იმისა, რომ ნაწილაკი წამოსული ხ წერტილიდან ერთ ბიჯში მიაღწევს უწერტილს.

ცნობილია, რომ წრფივი ოპერატორი $A = P - E$, სადაც E ერთგული იყერატორია, არის $\frac{1}{2} \Delta$ -ს დისკრეტული ანალოგი, სადაც $\Delta = \frac{\partial^2}{\partial x_1^2} + \dots + \frac{\partial^2}{\partial x_\ell^2}$ დაპლასის ოპერატორია.

ცნობილია აგრეთვე, რომ საკმარისად გლუკი $f(x)$ ფუნქციისათვის, რომელიც მოცემულია მთელ სივრცეში

$$\Delta f(x) = \lim_{h \rightarrow 0} \frac{\sum f(x + he_k) - 2f(x)}{h}.$$

ასე რომ, დაპლასის ოპერატორი მიიღება ზღვრული გადასვლით $P - E$ ოპერატორიდან შესრის შემოუსაზღვრელი დანაწერებით.

თუ გაფოთვალისწინებო ასეთ ზღვრულ გადასვლას, შეგვიძლია დავწეროთ პოტენციალის მნიშვნელობა სამგანზომილებიან სივრცეში ნებისმიერად განაწილებული მუხტისათვის

$$u(x) = \frac{1}{2\pi} \int_{\mathbb{R}^\ell} \frac{q(y)dy}{|x-y|},$$

სადაც $|x-y|$ დაშორებაა x და y წერტილებს შორის. იგი წარმოადგენს პუასონის განტოლების $\frac{1}{2} \Delta u(x) = -q(x)$ ამონასს. მისი დისკრეტული შემთხვევა, რომელიც ჩვენ ამ ეტაპზე გვაინტერესებს (ცოდირების თეორია დისკრეტული მათემატიკა), ასე გამოისახება:

$$A \cdot u(x) = -q(x)$$

(გამოკლევები ინფორმაციის უწყვეტი პოტენციალისათვის მომავლის საქმე). თუ პოტენციალს აქვს $u = Gq$ სახე, მაშინ ადგილად მტკიცდება, რომ [1]

$$Au = -q,$$

დისკრეტულ პოტენციალს აქვს მარტივი ალბათური აზრი. საქმე ისაა, რომ

$$P^n q(x) = \sum_y p(n, x, y)q(y) = M_x q(x(n)),$$

სადაც $p(n, x, y)$ არის ალბათობა იმისა, რომ n ბიჯში x წერტილიდან გამოსული ნაწილაკი მიაღწევს y წერტილს, $q(y)$ კი არის მუხტის მნიშვნელობა y წერტილში. აქედან შეიძლება მივიღოთ, რომ პოტენციალი

$$Gq(x) = \sum_{n=0}^{\infty} M_x q(x(n)).$$

[2]-ში ნაჩვენებია პოტენციალის ანალოგია ბროუნის მოძრაობასთან. ბროუნის ნაწილაკის მოძრაობა ალბათურ ტერმინებში აიტენინის თანახმად ასე დაიწერება $P(\text{ნაწილაკი}, \text{გამოსული} \text{ უწერტილიდან}, t \text{ მომენტში მოხვდება } E\text{-ში}) = \int \frac{1}{(2\pi)^{3/2}} e^{-|u-y|^2/(2t)} dy$, სადაც E ბორელის სიმრავლეა სამგანზომილებიან R^3 სივრცეში, $|u-y|$ არის უკლილეს მანძილი u -დან y -მდე.

წონასწორობის პოტენციალს ბროუნის მოძრაობის ტერმინებით ასეთი ინტერპრეტაცია აქვს: თუ E არის წონასწორობათა სიმრავლე, მაშინ პოტენციალი x წერტილში არის იმის ალბათობა, რომ ბროუნის მოძრაობის პროცესი, რომელიც იწყება x წერტილში, თდესლაც აღმოჩნდება E სიმრავლეში.

კოდირების თეორიაში ეს მომენტი ასე აღიწერება. კოდური ქვესივრციდან გადაცემის დროს წამოსული კოდური სიტყვა მოხვდება ერთ-ერთ მოსაზღვრე კლასში ამ ქვესივრცის მიმართ ანუ მოსაზღვრე კლასთა სიმრავლიდან ერთ-ერთში (მოსაზღვრე კლასები შეიძლება ჩავთვალოთ წონასწორულ მდგომარეობებად), რომელსაც აქვს თავისი გადასვლის ალბათობა. მაშინ პოტენციალი აქაც უნდა იყოს $M_x q(x(n))$. სრული პოტენციალი კი ტოლი იქნება $M_x \sum_{n=0}^N q(x(n))$, სადაც N მოსაზღვრე კლასთა რაოდენობაა.

თუ გამოვიყენებოთ აღნიშვნას $g(x, y) = \sum_{n=0}^{\infty} p(n, x, y)$, მაშინ გამოსახულება პოტენციალისთვის ასე დაიწერება:

$$u = G \cdot q(x) = \sum_y g(x, y)q(y). \quad (1)$$

$g(x, y)$ მეტად მნიშვნელოვანი ფუნქციაა. მას გრინის ფუნქცია ეწოდება და წარმოადგენს წრფივი გარდაქმნის ბირთვს.

$f(x)$ ფუნქციას H^ℓ მესერზე ეწოდება ჰარმონიული თუ $Af(x) = 0$, და სუპერჰარმონიული თუ $Af(x) \leq 0$ (ყველა x -სათვის). სხვანაირად, f ფუნქცია ჰარმონიულია თუ $Pf = f$ და სუპერჰარმონიულია თუ $Pf \leq f$ [1].

ახლა განვიხილოთ ანალოგია ინფორმაციის თეორიასა და პოტენციალთა თეორიას შორის. განვიხილოთ, რომ ოპერატორი, რომელსაც გადაჰყავს ინფორმაციული მუხტი პოტენციალში, აღიწერება

პოტენციალთა თეორიის ტერმინებით და პირიქით, პოტენციალის ოპერატორი \tilde{M} იძლება გამოვიყენოთ ინფორმაციის ოპერატორად.

როგორც კეთდავთ, პოტენციალის მისაღებად მუხტებ მოქმედებს G წრფივი ოპერატორი, რომლის ბირთვი არის გრინის ფუნქცია $g(x, y)$.

კოქათ, მოცემული გამჭვივება x ინფორმაცია, რომელსაც შეესაბამება $S(x)$ ბიტების რაოდენობა (ინფორმაციის რაოდენობა), რომელსაც ინფორმაციულ მუხტებს ვუწოდებთ. x ინფორმაცია \tilde{A} არმოდგება k სიგრძის ორობით მიმდევრობად. შემთვლით G წრფივი ოპერატორი, რომელსაც კოდირების თეორიაში ვუწოდებთ მაკოდირებელ მატრიცას. G ოპერატორი ირჩევა ისეთნაირად, რომ x ინფორმაციულ ვექტორს გავამრავლებთ მასზე, მაშინ მიღებულმა კოდურმა ვექტორმა შეძლოს გადაცემის ან დამუშავების დროს გარკვეული რაოდენობის შეცდომების გასწორება, ე.ი. ისეთი პოტენციალის მიღება, რომელიც უზრუნველყოფს გარკვეული მუშაობის შესრულებას თვითადგენისათვის. აქედან გამომდინარე, შეიძლება ვთქვათ, რომ x ინფორმაციულ მუხტებს აღვნიშნავთ $I(x)$ -ით, მაშინ მისი პოტენციალი იქნება $u = IG$. პოტენციალიდან მუხტი რომ ადგადინოთ, G ოპერატორი უნდა იყოს გადაუგვრებელი, ამიტომ ამ დამოკიდებულებიდან მუხტის აღდგენა იშვიათადაა შესაძლებელი.

პოტენციალთა თეორიის განმარტებიდან გამომდინარეობს, რომ ეს თეორია არის პოტენციალის და მუხტის კავშირის ხელოვნება. ასევე კოდირების თეორიაც არის ინფორმაციის დაგავშირების ხელოვნება ჭარბი ინფორმაციასთან ან, რაც უმავისობის მუხტის მიღების დაგავშირების ხელოვნება ინფორმაციულ პოტენციალთან. ინფორმაციის კოდირების შედეგად ვდებულობთ ინფორმაციის პოტენციალს, დეკოდირების შედეგად პოტენციალიდან აღვადგენთ მუხტებს.

პუსონის განტოლება არის პოტენციალის კავშირი მუხტობან. თუ პოტენციალს აქვს $u(x) = Gq = q + Pq + P^2q + \dots$ (2) სახე, სადაც P მცრის ოპერატორია ერთ ბიჯზე, ამ ფორმულიდან გამომდინარე მივიღებთ:

$$PGq = Gq - q.$$

მაშინ

$$A \cdot u = (P - E)u = (P - E)Gq = Gq - q - Gq = -q.$$

თუ $q = 0$, მაშინ u პოტენციალი პარმონიული ფუნქციაა და თუ $q \neq 0$, ე.ი. პოტენციალი აღარა

პარმონიული ფუნქცია. მაშინ A ოპერატორი საშუალებას იძლევა დამახინჯებული პოტენციალიდან აღვადგინოთ მუხტი.

მისი ანალოგია კოდირების თეორიაში ასეთია: თუ ინფორმაციული პოტენციალი $u = IG$, მაშინ, როგორც კოდირების თეორიიდან არის ცნობილი, $u \cdot H = 0$. მაგრამ თუ დამახინჯების შედეგად შეიცვალა ინფორმაციული პოტენციალი, მაშინ H ოპერატორის საშუალებით შესაძლებელი იქნება, დამახინჯების გარკვეულ ფარგლებში, აღდგინილ იქნეს ინფორმაციული მუხტი.

კოდირების თეორიაში პუსონის განტოლება $V \cdot H \rightarrow I(x)$ დეკოდირების განტოლების ანალოგიურია, სადაც V არის კოდი H კი – დეკოდირების ოპერატორი (მატრიცა). $I(x)$ გადაცემული ვექტორის ინფორმაციული ნაწილია ან ინფორმაციული მუხტი, რომლის აღდგენას დამახინჯების შემთხვევაში უზრუნველყოფს ოპერატორი. მაშასადამე, A წრფივი ოპერატორი კოდირების თეორიით არის დეკოდირების H მატრიცა, G ოპერატორი – კოდირების ოპერატორი. კოდური სიტყვა (ინფორმაციული ნაწილი ჭარბი ინფორმაციასთან ერთად) მიიღება $I(x) \cdot G$ ნამრავლით.

მაგალითისათვის მოვიყვანთ სემინგის (15.4) ციკლურ კოდს, რომელიც წარმოქმნილია $GF(q)$ ველზე $x^4 + x + 1$ დაუყვანადი პოლინომით, რომლის პრიმიტიული ფესვია α , მაშინ მატრიცას აქვს სახე

$$H = [\alpha^{14} \alpha^{13} \cdots \alpha^2 \alpha \ 1] = \begin{bmatrix} 1 & 1 & 1 & 1 & 0 & 1 & 0 & 1 & 1 & 0 & 0 & 1 & 0 & 0 & 0 \\ 0 & 1 & 1 & 1 & 1 & 0 & 1 & 0 & 1 & 1 & 0 & 0 & 1 & 0 & 0 \\ 0 & 0 & 1 & 1 & 1 & 1 & 0 & 1 & 0 & 1 & 1 & 0 & 0 & 1 & 0 \\ 1 & 1 & 1 & 0 & 1 & 0 & 1 & 1 & 0 & 0 & 1 & 0 & 0 & 0 & 1 \end{bmatrix}.$$

თუ მიღებულ, ერთი შეცდომით დამახინჯებულ კოდურ ვექტორს გავამრავლებთ ტრანსპონირებულ ამ მატრიცაზე, მივიღებთ პოზიციის ნომერს, რომელშიც წარმოიქმნა ერთეული შეცდომა. ამ შეცდომის გასწორებით აღვადგენთ კოდურ სიტყვას, რომელიც არხში დამახინჯდა. შემდეგ გამოვყოფთ ამ სიტყვიდან ინფორმაციულ ნაწილს ანუ ინფორმაციულ მუხტებს.

ზემოთ ჩვენ პოტენციალი აღვმოჩევთ გრინის ფუნქციის საშუალებით (1) ფორმულა. კოდირების თეორიაში გრინის ფუნქცია არის G მაკოდირებელი ოპერატორის ბირთვი, რომელიც H მადეკოდირებელი მატრიცის სტრიქონთა სივრცეს წარმოადგენს. თუ ცხადი სახით მივიღებთ $g(x, y)$ ანუ H მატრიცას და მის სტრიქონთა სივრცეს,

ამინ გარანტირებული გვაქს ჯერ პოტენციალის (კოდური სიტყვის) აღდგენა და შემდეგ მუხტის (ინფორმაციული ნაწილის) აღდგენაც.

ახლა, ციკლური კოდებიდან გამომდინარე, გავერკვეთ რა როლს ასრულებს კოდირების ოპორიაში ძვრის თვერატორი. მაგალითისათვის განვიხილოთ 4 სიგრძის ორობითი მიმდევრობა და ვიპოვოთ მისთვის ძვრის თვერატორი

$$P = \begin{vmatrix} 0 & 1 & 0 & 0 \\ 0 & 0 & 1 & 0 \\ 0 & 0 & 0 & 1 \\ 1 & 0 & 0 & 0 \end{vmatrix}.$$

თუ მიმდევრობა არის $a_1 a_2 a_3 a_4$ და მას მარჯვნიდან გავამრავლებთ P -ზე, მივიღეთ $a_4 a_1 a_2 a_3$ -ს. ახლა თუ P -ს გამოვაკლებთ ერთეულ E თვერატორს, მივიღეთ მატრიცას

$$\begin{vmatrix} 1 & 1 & 0 & 0 \\ 0 & 1 & 1 & 0 \\ 0 & 0 & 1 & 1 \\ 1 & 0 & 0 & 1 \end{vmatrix}.$$

ეს არის A თვერატორი ანუ ჩვენს შემთხვევაში H თვერატორი, რომლის მიხედვით ხშირად ხდება მისი ნულ სივრცის ანუ კოდის აგება. კოდს, რომელიც აღებული მატრიცის ნულ სივრცეს წარმოადგენს, აქეს მინიმალური მანძილი $d=3$, ე. ი. ასწორებს ერთ შეცდომას. ამით იმის თქმა გვინდა, რომ თუ გვექნება P მატრიცა, შესაძლებელი გახდება ავაგოთ კოდი, ე. ი. გამოვდივართ პოტენციალთა თეორიიდან და ვაგებთ კოდს, შესაძლებელია პირიქითაც.

ვაჩვენოთ, უფრო დაწერილებით, ანალოგი კოდსა და პოტენციალს შორის. მივაქციოთ უფრადგება პოტენციალის წარმოდგენას ძვრის თვერატორით (2). აქ, რადგან ძვრა უსასრულოდ გრძელდება, ჯამიც უსასრულოა. მაშასადამე, პოტენციალი წარმოგვიდგება დაძრული მუხტების უსასრულო ჯამად.

კოდირების თეორიაში ყველაფერი სასრულია. კოდი განიხილება სასრულ კელებზე. იგი არის n -განზომილებიანი სასრული კეტორული სივრცის ქვესივრცე. ვთქვათ, კოდი მოცემულია $GF(2)$ კელზე. კოდის წარმომქნელი პოლინომი $g(x) = x^3 + x^2 + 1$. ეს კოდი წარმოადგენს (7,4) ციკლურ კოდს, რომლის კლემენტები

$$\begin{aligned} \{x^3 \cdot g(x)\} &= (1 \ 1 \ 0 \ 1 \ 0 \ 0 \ 0), \\ \{x^2 \cdot g(x)\} &= (0 \ 1 \ 1 \ 0 \ 1 \ 0 \ 0), \\ \{x \cdot g(x)\} &= (0 \ 0 \ 1 \ 1 \ 0 \ 1 \ 0), \\ \{g(x)\} &= (0 \ 0 \ 0 \ 1 \ 1 \ 0 \ 1), \end{aligned}$$

$$G = \begin{bmatrix} 1 & 1 & 0 & 1 & 0 & 0 & 0 \\ 0 & 1 & 1 & 0 & 1 & 0 & 0 \\ 0 & 0 & 1 & 1 & 0 & 1 & 0 \\ 0 & 0 & 0 & 1 & 1 & 0 & 1 \end{bmatrix},$$

შეიძლება წარმოვადგინოთ ბაზისურ კეტორებად და, აქვთან გამომდინარე, G მატრიცა – კოდის წარმომქნელ მატრიცად. ყველა სხვა კოდური კეტორი დაძრული $g(x)$ კეტორის წრფივი კომბინაციაა. მაშასადამე, პოტენციალთა თეორიისაგან განსხვავდით, აქ გვხვდება სასრული ჯამი და პოტენციალების სასრული რაოდენობა.

შეიძლება მოვიყენოთ პოტენციალის წარმოდგნის (2) ფორმულის შინაარსობრივი ანალოგი კოდირების თეორიაში. დაახლოებით ასეთივე სურათს იძლევა ხვეულა კოდები.

ნახვრად უსასრულო კოდური მიმდევრობა ანუ პოტენციალი, რომელიც მიიღება ნახვრად უსასრულო ინფორმაციული მიმდევრობით ანუ მუხტით, G წარმომქნელი მატრიცის გამოყენებით, შეიძლება დაეწეროთ ასეთნაირად $U = IG$, სადაც I ნახვრად უსასრულო ინფორმაციული ნაწილია,

$$G = \begin{bmatrix} G_0 & G_1 & G_2 & \cdots & G_{m-1} \\ 0 & G_0 & G_1 & \cdots & G_{m-2} \\ 0 & 0 & G_0 & \cdots & G_{m-3} \\ & & & \ddots & \\ 0 & 0 & 0 & G_0 & G_1 \\ 0 & 0 & 0 & 0 & G_0 \end{bmatrix}$$

თითოეული G_i მატრიცა შედგება k_0 სტრიქნისა და n_0 სვეტისაგან. G_0 მატრიცად აიღება k_0 რანგის მატრიცა, ამიტომ თითოეული G_i მატრიცის რანგი $k = mk_0$.

თითოეული G_i მატრიცის დაჭრა G მატრიცაში შეიძლება განხილულ იქნეს დროის მომენტად.

მივაქციოთ უფრადგება (1) ფორმულას. ამ ფორმულაში $q(y)$ პოტენციალის მნიშვნელობაა y წერტილში. ვნახოთ, რას წარმოადგენს პოტენციალი კოდირების თეორიაში y წერტილში, როდესაც

შეცდომის გამო, კოდური სიტყვა (კოდური პოტენციალი) მოხვდება უ წერტილში, ე. ი. მოსაზღვრე კლასში კოდური ქვესივრცის მიმართ. გრინის ფუნქცია $g(x, y)$ წარმოადგენს კოდური ქვესივრცის ორთოგონალურ ქვესივრცეს. თუ შეცდომა არ არის, კოდი არ ასრულებს მუშაობას, მაგრამ თუ შეცდომა მოხდა, აქ უკვე კოდური პოტენციალი შეასრულებს შესაბამის მუშაობას. პოტენციალი კი განისაზღვრება იმ განუსაზღვრელობით, რაც კოდურმა სიტყვამ მიიღო შეცდომის შედგენად. რა არის ეს განუსაზღვრელობა? ვთქათ, გადავეცით $a(x)$ კოდური სიტყვა და მასზე იმოქმედა $e(x)$ შეცდომის ვექტორმა, რის შედეგადაც მივიღებთ დამახინჯებულ $a'(x) = a(x) + e(x)$ კოდურ ვექტორს. თუ ამ ვექტორს გავამრავლებთ გრინის ფუნქციაზე, ე. ი. მის H ბაზისურ მატრიცაზე (დეკოდირების მატრიცაზე), მივიღებთ $a'(x) \cdot H = (a(x) + e(x))H = a(x)H + e(x)H$. რადგან $a(x)H = 0$, საბოლოოდ მივიღებთ $e(x)H = S_i$ სინდრომს. S_i შექმენები ვექტორი ცალსახად შეესაბამება შეცდომის ვექტორს ანუ ცალსახად აღწერს განუსაზღვრელობას, ე. ი. პოტენციალს, რომელიც დარჩა კოდურ სიტყვას, როცა იგი გადავიდა უ წერტილის შესაბამის მოსაზღვრე კლასში.

კოდურ სივრცეში, როგორც ზემოთ ვთქვთ, შემოღებულია მეტრიკა ხემიგის მანძილის სახით. თუ მიღებული ვექტორი გადაცემულ ვექტორს დაშორდა d მანძილით, და მისი მუხტი ახალ მდგომარეობაში უ წერტილში არის $I(y)$, მაშინ დამახინჯებული ვექტორის პოტენციალი გადაცემული ვექტორის მიმართ, იქნება $u' = \frac{I(y)}{d} = \frac{S_y(x)}{d}$, სადაც $I(y) = S_y(x)$ არის გადაცემული შეტყობინების ალბათობა, როცა ცნობილია მიღებული შეტყობინება, ე. ი. x -ის ალბათობა, როცა ცნობილია y . აქვე გვინდა აღვნიშნოთ, რომ ინფორმაციის პოტენციალი მართლაც არის პარმონიული ფუნქცია, ვინაიდან, პარმონიული ფუნქციის განმარტების თანახმად, $Au(x) = 0$. ზემოთ აღნიშნული გვქონდა, რომ A წრფივი ოპრატორი პოტენციალთა თეორიაში შეესაბამება H დეკოდირების თეორიაში კოდირების თეორიაში და რადგან $u(x) \cdot H = 0$, ამიტომ $u(x)$ პოტენციალური ფუნქცია პარმონიული ფუნქციაა.

გადაცემული ინფორმაცია, მოქმედი ხელშეჭდების გამო, შემთხვევით ხეტიალობს ხემიგის

მანძილით სასრულ ვექტორულ სივრცეში და მიღებს ახალ მდგომარეობას, რომელიც ვექტორული სივრცის სხვა რომელიდაც ვექტორით გამოისახება (არა კოდური ვექტორით), რომელიც გადაცემული ვექტორიდან დაშორებულია რაღაც დანძილით.

შეიძლება თუ არა ეს ხეტიალი იქნის მარტოგის პროცესი? ამ კითხვაზე პასუხი შეიძლება პირდაპირ გვეთქვა თუ ბოლომდე დამტკიცებულად ჩავთვლილით კოდირების თეორიისა და პოტენციალთა თეორიის ანალოგიას. რადგან ანალოგია პოტენციალთა თეორიასა და ბროუნის მოძრაობას შორის დადგენილია და ეს დადგენილია არა ბროუნის მოძრაობის სპეციფიკური განსაკუთრებულობით, არამედ მხოლოდ მისი მარტივული ხასიათის გამო [2]. ჩვენ მაინც შევეცადოთ წარმოვადგინოთ ინფორმაციის გადაცემის პროცესი მარკოვის ჯაჭვის სახით, ე. ი. ვაჩვენოთ, რომ ინფორმაციის გადაცემის პროცესი კაგშირის არხში აღიწერება საწყისი ალბათობით $P[x_0 = i]$ და გარდამავალი ალბათობით $P[x_{n+1} = j | x_n = i]$, რომელსაც აქვს ერთი და იგივე მნიშვნელობა ყველა სათვის, როცა $P[x_n = i] > 0$.

3. დასკვნა

მიღებულია ზოგიერთი ანალოგია ინფორმაციისა და პოტენციალთა თეორიებს შორის, რაც გვაძლევს საშუალებას, ამ ორი თეორიის შედეგები განვაზოგადოთ ერთმანეთში და ამ გზით გადავჭრათ მნიშვნელოვანი პრობლემები ორივე თეორიაში.

მაგალითად, პოტენციალთა თეორიაში გავაფართოთ ამოცანების კლასი, რომლებიც ექვემდებარებიან ამოხსნას და მიეკუთვნებიან შებრუნებულ ამოცანათა კლასს – მივიღოთ პოტენციალიდან განაწილებული მუხტები. აგრეთვე ცალკეული შედეგები პოტენციალთა თეორიიდან გამოიყენოთ პლატფორმისათვის ინფორმაციის თეორიაში.

ლიტერატურა

1. დინკინ ე. ბ., იუშკევიჩ ა. ა. თეორემები და მიზანმიზული კლასების გადაცემის თეორიაზე. მ.: მეცნიერებლების აკადემია, 1967.
2. კემენი ჯ., სნელ ჯ., კნეპ ა. სურათების გადაცემის თეორიაზე. მ.: მეცნიერებლების აკადემია, 1987.
3. პიტერსონ უ. უელდონ ე. კოდების გადაცემის თეორიაზე. მ.: მეცნიერებლების აკადემია, 1976.

UDC 681.3**INFORMATION AND POTENTIAL****A. Kandelaki., Z. Kipshidze., A. Chaduneli**

Muskhelishvili Institute of computational mathematics, Georgian Technical University, 77, Kostava str, Tbilisi, 0175, Georgia

Resume: There is offered the proof of partial analogy between information theory of potentials. Based on the analogy it is shown, that information also has the potential. Information theory is now fairly well studied science, in which are solved similar to discrete potential both direct and inverse problems. This will provide an opportunity to generalize some results of information theory on the theory of potentials, that will help us with solving of inverse problems, which are problematic in this theory.

Key words: information; potential; coding.**УДК 681.3****ИНФОРМАЦИЯ И ПОТЕНЦИАЛ****Канделаки А.П., Кипшидзе З.Ш., Чадунели А.Ш.**

Институт вычислительной математики им. Н. Мусхелишвили, Грузинский технический университет, Грузия, 0175, Тбилиси, ул. Костава, 77

Резюме: Предлагается доказательство частичной аналогии между теорией информации и теорией потенциалов. Исходя из этой аналогии показано, что информация также обладает потенциалом. Теория информации в настоящее время достаточно хорошо изученная наука, в которой решены аналогичные дискретному потенциалу как прямые, так и обратные задачи. Это дает возможность обобщить некоторые результаты теории информации на теорию потенциалов, что поможет нам в решении обратных задач, которые проблематичны в этой теории.

Ключевые слова: информация; потенциалы; кодирование.

მიღებულია დახაბუჭლიდ 24.06.2013

ავტორთა საძიებელი

Author's index

Указатель авторов

აბაიშვილი ვ. 44	ღურუქაია ზ. 78, 83	Геловани Н.Дж. 35
ბერიძე გ. 53	ყიფშიძე ზ. 94	Гуджабидзе И.К. 28
ბუცხრიკიძე დ. 53	შერგელაშვილი დ. 83	Исбатов Илгар Айдын оглы 58
გამყრელიძე ნ. 64, 68	ჩადუნელი ა. 9	Лебаниძე З.Б. 28
გელაშვილი ი. 44	ჩიტიძე გ. 44	Майсурадзе Н.И. 31
გვასალია ბ. 9	ჯანაშვილი გ. 21	Мжаванадзе Р.В. 28
გაჩაძე ლ. 71, 74	Gudiashvili M. 13	Микадзе Г.О. 31
ზუბაშვილი გ. 47, 49	Jakhua A. 87	Микадзе О.И. 31
თურმანიძე რ. 53	Medzmarishvili N. 87	Мчедлишвили Т.Ф. 39
კანდელაკი ა. 94	Philipenko L. 87	Нахуцришвили И.Г. 31
კვაჭაძე თ. 9	Tsignadze N. 87	Цикаришвили Х.Дж. 35
კიკნაძე ნ. 47, 49	Tushishvili O. 87	Цинцадзе Т.Г. 35
მგალობლიშვილი ზ. 78	Абаишвили В.В. 39	Цомая И.В. 35
მჭედლიშვილი თ. 44	Бацикадзе К.Т. 35	Читидзе З.Д. 39
სოსელია ბ. 47, 49	Гелашвили И.Н. 39	Читидзе М.З. 39
სულაშვილი გ. 71, 74		
ფაილოძე ნ. 71, 74		

ვტორთა საყურადღებოდ!

საქართველოს ტექნიკური უნივერსიტეტის სამეცნიერო შრომების კრებული არის რეფერირებული პერიოდული გამოცემა, რომელიც გამოიცემა წელიწადში ოთხჯერ (პირველი წლის მოცემული პერიოდის 1 იანვრიდან 31 მარტამდე, მეორე წლის მოცემული – 1 აპრილიდან 30 ივნისამდე, მესამე წლის მოცემული – 1 ივლისიდან 30 სექტემბრამდე და მეოთხე წლის მოცემული პერიოდის 31 დეკემბრამდე).

კრებულის დანიშნულებაა მეცნიერების განვითარების ხელშეწყობა, მეცნიერთა და სპეციალისტთა მიერ მოპოვებული ახალი მიღწევების, გამოკვლევათა მასალებისა და შედეგების ოპერატიულად გამოქვეყნება.

სტატიების მიღწევება შეიძლება ქართულ, ინგლისურ და რუსულ ენებზე (ქვეყნდება ორიგინალის ენაზე).

ავტორს შეუძლია მხოლოდ ორი სტატიის მოწოდება.

საქართველოს ტექნიკური უნივერსიტეტის თანამშრომელთათვის სტატიის გამოქვეყნება უფასოა.

სტატიის ავტორთა რაოდენობა ხუთს არ უნდა აღემატებოდეს.

კრებულში ქვეყნდება სტატიები ახალი მეცნიერული კვლევების შედეგების შესახებ შემდეგი თეორიული და გამოყენებითი დარგების მიხედვით:

- მშენებლობა
- ენერგეტიკა, ტელეკომუნიკაცია
- სამთო-გეოლოგია
- ქიმიური ტექნოლოგია, მეტალურგია
- არქიტექტურა, ურბანისტიკა, დიზაინი
- ინფორმატიკა, მართვის სისტემები
- ტრანსპორტი, მანქანათმშენებლობა
- ბიზნესინჟინერინგი
- ნაგებობების, სპეციალური სისტემებისა და საინჟინრო უზრუნველყოფის ინსტიტუტი

გთავაზობთ სამეცნიერო სტატიის გაფორმების წესს:

- ნაშრომის მოცულობა განისაზღვრება A4 ფორმატის ქაღალდის 1,5 ინტერვალით ნაბეჭდი 5-7 გვერდით (მინდვრები 2 სმ) ნახაზების, გრაფიკების, ცხრილების და ლიტერატურის ჩამონათვალით;

- სტატია შესრულებული უნდა იყოს DOC ფაილის სახით (MS-Word) ჩაწერილი ნებისმიერ მაგნიტურ მატარებელზე;
- ქართული ტექსტისთვის გამოიყენეთ შრიფტი – Acadnusx, ზომა 12;
- ინგლისური და რუსული ტექსტის შრიფტი – Times New Roman, ზომა 12;
- სტატიის თავი უნდა შეიცავდეს შემდეგ ინფორმაციას:
 - უაკ-ს (უნივერსალური ათწილადი კლასიფიკაცია);
 - ავტორის/ავტორების სახელს, მამის სახელს, გვარს;
 - ავტორის/ავტორების ელექტრონული ფოსტის მისამართს და საკონტაქტო ტელეფონს;
 - დეპარტამენტის დასახელებას სამივე ენაზე;
 - საკვანძო სიტყვებს სამივე ენაზე.
- სტატიაში ქვესათაურებით გამოკვეთილი უნდა იყოს შესავალი, ძირითადი ნაწილი და დასკვნა;
- ნახაზების ან ფოტოების კომპიუტერული ვარიანტი შესრულებული უნდა იყოს TIFF ფორმატში გარჩევადობით 150 dpi;
- სტატიას უნდა ახლდეს რეზიუმე ქართულ, ინგლისურ და რუსულ ენებზე;
- სტატია შედგენილი უნდა იყოს წიგნიერად, სწორმეტყველებისა და ტერმინოლოგიის დაცვით, სტილისტური და ტექნიკური შეცდომების გარეშე;
- ავტორი/ავტორები პასუხს აგებს სტატიის შინაარსსა და ხარისხზე.

გთავაზობთ სტატიის წარმოდგენისთვის საჭირო დოკუმენტაციის ჩამონათვალს:

- ორი რეცენზია;
- ფაკულტეტის სწავლულ ექსპერტთა დარგობრივი კომისიის სხდომის ოქმის ამონაწერი;
- ფაკულტეტის ან მიმართულების სემინარის ოქმის ამონაწერი.

To the authors attention!

Transactions of Georgian Technical University represents reviewed, periodical edition, which there is published four times in year. (the first number includes the period from 1 January to 31 March, the second number - from 1 April to 30 June, the third number - from 1 July to 30 September and the fourth - from 1 October to 31 December).

Purpose of collection is assistance of science development, new achievements of scientists and specialists, operative publication materials and results of scientific researches.

The articles are accepted in Georgian, English and Russian languages (are published in original language).

Author is allowed to present only two articles.

The publication of articles for the workers of Georgian Technical University is free of charge.

The amount of authors of article mustn't exceed 5.

In transactions are published articles about new results of scientific researches according to the following theoretical and applied sphere:

- Building
- Energetics, telecommunication
- Mining-geology
- Chemical technology, metallurgy
- Architecture, urbanist, design
- Informatic, systems of management
- Transport, engineering industry
- Business-engineering
- Institute of buildings, special systems and engineering maintenance

There is offered the rule of official registration of scientific articles:

- The volume of work is determined A4 paper size at 1,5 line spacing 5-7 printed page (margins - 2cm) draughts, diagrams, tables and a list of literature;
- The article should be carried out in form file DOC (MS-WORD), written down on any magnetic carrier;
- For Georgian text is used Acadnusx font, size 12;
- For English and Russian texts is used font - Times New Roman, size 12;

- The beginning of the article should contain the following informations:
 - UDC (Universal Decimal Classification);
 - Name, surname, of author/authors;
 - E-mail and contact telephone of author/authors;
 - The name of department in all three languages;
 - Key words in all three languages.
- In the article with subtitles should be isolated introduction, the body of the article and conclusion;
- Computer version of pictures or photos must be done in size TIFF with the recognition 150 dpi;
- The article should have resume in Georgian, English and Russian languages;
- The article should be written correctly, with the observance terminology, without stylistic and grammatical mistakes;
- Author/authors are responsible for content and quality of article.

There is offered the following documentation for the article presentation:

- Two reviews;
- Extract from the minutes of a branch commission meeting of faculty learned experts;
- Extract from the seminar minutes of faculty or direction.

К сведению авторов!

Сборник научных трудов Грузинского технического университета является реферированным периодическим изданием, которое выходит в свет четыре раза в год (первый номер включает период с 1 января по 31 марта, второй номер – с 1 апреля по 30 июня, третий номер – с 1 июля по 30 сентября и четвертый – с 1 октября по 31 декабря).

Назначение сборника – содействие развитию наук, новых достижений ученых и специалистов, оперативная публикация материалов и результатов исследований.

Принимаются статьи на грузинском, английском и русском языках (публикуются на языке оригинала).

Автор может представить только две статьи.

Для сотрудников Грузинского технического университета статьи публикуются бесплатно.

Количество авторов статьи не должно превышать 5.

В сборнике печатаются статьи, касающиеся новых результатов исследований по следующим теоретическим и прикладным отраслям:

- Строительство
- Энергетика, телекоммуникации
- Горное дело-геология
- Химическая технология, металлургия
- Архитектура, урбанистика, дизайн
- Информатика, системы управления
- Транспорт, машиностроение
- Бизнес-инженеринг
- Сооружения, специальные системы, инженерное обеспечение

Предлагаем порядок оформления научных статей:

- Объем работы определяется форматом бумаги А4 с интервалом 1,5, 5-7 печатными страницами (поля = 2 см), с перечислением рисунков, графиков, таблиц и списка литературы;
- Статья должна быть выполнена в виде файла DOC (MS-Word), записанного на любом магнитном носителе;
- Для грузинского текста используется шрифт Acadnusx, размер 12;
- Для английского и русского текстов – шрифт Times New Roman, размер 12;
- В начале статьи должна содержаться следующая информация:
 - УДК (Универсальная десятичная классификация);
 - Фамилия, имя, отчество автора/авторов;

-
- Адрес электронной почты автора/авторов и контактный телефон;
 - Название департамента на трех языках;
 - Ключевые слова на трех языках.
 - В статье подзаголовками следует выделить введение, основную часть и заключение;
 - Компьютерный вариант рисунков или фото должен быть выполнен в формате TIFF распознаванием 150 dpi;
 - Статья должна иметь резюме на грузинском, английском и русском языках;
 - Статья должна быть написана грамотно, с соблюдением терминологии, без стилистических и грамматических ошибок;
 - Автор/авторы ответствен/ы за содержание и качество статьи.

Для представления статьи необходимы следующие документы:

- Две рецензии;
- Выписка из протокола заседания отраслевой комиссии ученых экспертов факультета;
- Выписка из протокола семинара факультета или направления.

რედაქტორები: მ. ბაზაძე, დ. ქურიძე, მ. პრეობრაჟენსკაია
კომპიუტერული უზრუნველყოფა ე. ქარჩავასი

გადაეცა წარმოებას 01.07.2013. ზელმოწერილია დასაბეჭდად 23.09.2013. ბეჭდვა
ოფსეტური. ქაღალდის ზომა 60X84 1/8. პირობითი ნაბეჭდი თაბახი 6,5. ჭირაჟი 100 გგ.

საგამომცემლო სახლი „ტექნიკური უნივერსიტეტი“, თბილისი, კოსტავას 77

